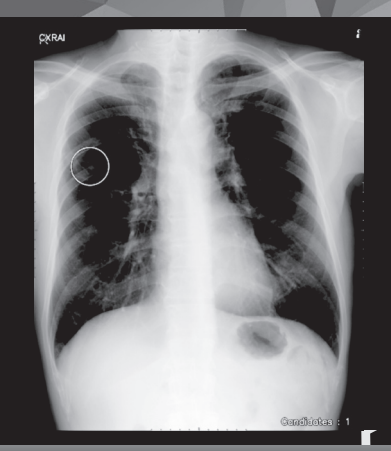






多様な視点で未来をデザインする RETHINK WHAT'S POSSIBLE

結節影



肋骨と重なる部分の病変を抽出



胸郭付近の病変を抽出



心臓裏の病変を検出*

読影結果を学習したAI

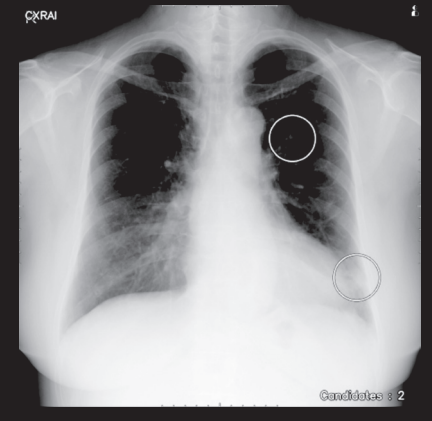
浸潤影



複数個所の病変を検出



肺尖部の病変を検出



心臓影の重なる病変を検出*2

胸部X線画像診断支援AI "CXR Finding-i"は、専門医のスキルを学習したAIが胸部X線画像を解析し、医師による胸部X線画像の読影において、肺がんが疑われる所見である結節影や、肺炎や結核など感染症の所見である浸潤影の見落とし防止を支援します。また、画像処理技術であるBoneSuppression処理*3 や経時差分処理*3 を併用することで、より幅広く読影を支援することが可能です。

胸部X線画像診断支援AI





第52回 断層映像研究会の開催にあたって



第52回断層映像研究会大会長 市川 智章

群馬大学大学院医学系研究科放射線診断核医学講座

謹啓

断層映像研究会は断層撮影法の研究を目的に、CTアナログ版である回転横断撮影装置の開発者として 高名な高橋信次先生らをはじめとして創設され、昭和48年に第1回学術集会が開催され現在51回開催まで 途切れることなく開催されてきた長い歴史を有する研究会であり、日本医学放射線学会の関連学会でもあります。 最近は若手放射線診断医師の教育の場として、今後もますます発展が望まれる研究会でございます。

この度、世話人会のご指名によりまして「第52回断層映像研究会」を2024年11月1日(金)・11月2(土)の両日、軽井沢駅近の"ホテルマロウド軽井沢"にて開催することとなりました。諸先輩先生方の熱い思いが引き継がれている当研究会開催のお世話をさせて頂くことになり、身の引き締まる思いでございます。新型コロナウイルス感染症の5類感染症移行後というタイミングであり、コロナ禍後初の現地開催のみの完全対面形式(後日オンデマンド配信あり)での開催を予定しております。

第52回断層映像研究会のテーマは「読影の秋、画像診断に浸る- in 軽井沢-」としました。放射線診療に携わるあらゆる医師や技師、放射線診断機器・薬品に関わる医療関係者らが、晩秋の軽井沢にて、最新知識のアップデートの場としてじっくり画像診断に浸れる場になることを期待しております。

近年我が国の医学研究の国際競争力に陰りが見えるという指摘がされておりますが、その一因として、若手医師の現地学会不参加、ひいては若手研究者の減少があげられます。これは当研究会・放射線科だけの傾向ではなく、医学会全体の深刻な問題として認識すべき事項です。web参加は効率性という点ではメリットが大きいですが、間違いなく通り一遍の知識しか学べません。日々の臨床において本当に重要な知識や研究の題材は、経験豊富な諸先生方が学会の討論や立ち話の中で非公式に述べる発言の中にこそあるということは、私も幾度ともなく経験してきたことです。また、発表者が醸し出す臨床・研究における"熱量"、それを肌で感じた後自身の内に起こる「やってみよう」という高揚感は、現地参加でしか得ることはできません。若手医師の方々には、是非現地参加をしていただき、web参加との違いを感じていただきたいと切に願っております。本研究会の世話人会は全国規模の学会と遜色ない大勢の高名な方々で構成されております。今後の医学会に対し私と同じ危機感を共有する世話人の先生方は、是非前途有望な若手の先生との同伴出席をお願いしたと思います。

それでは、第52回断層映像研究会開催予定の、夏の喧騒が嘘のようにしっとりと落ち着き紅葉真っただ中の軽井沢でお会いしましょう。

謹白 2024年11月吉日

<u>目</u>次

交通のご案内 ····································
会場のご案内
参加者へのご案内
座長・発表者の皆さまへ 8
日程表
プログラム
ランチョンセミナー1・・・・・・・・・・・・・・・・・・・・・・・・・・・・・・・・・・・・
スポンサードレクチャー
スポンサードセミナー1・・・・・・・・・・・・・・・・・・・・・・・・・・・・・・・・・・・・
教育講演1: 胸部【領域講習1】37
イブニングセミナー49
教育講演2: 泌尿生殖器【領域講習2】 … 59
モーニングセミナー71
一般演題83
教育講演3:腹部【領域講習3】89
ランチョンセミナー2
教育講演4: 頭部·骨軟部【領域講習4】····· 125
スポンサードセミナー2・・・・・・・・・・・・・・・・・・・・・・・・・・・・・・・・・・・・
表彰論文

交通のご案内

大会会場

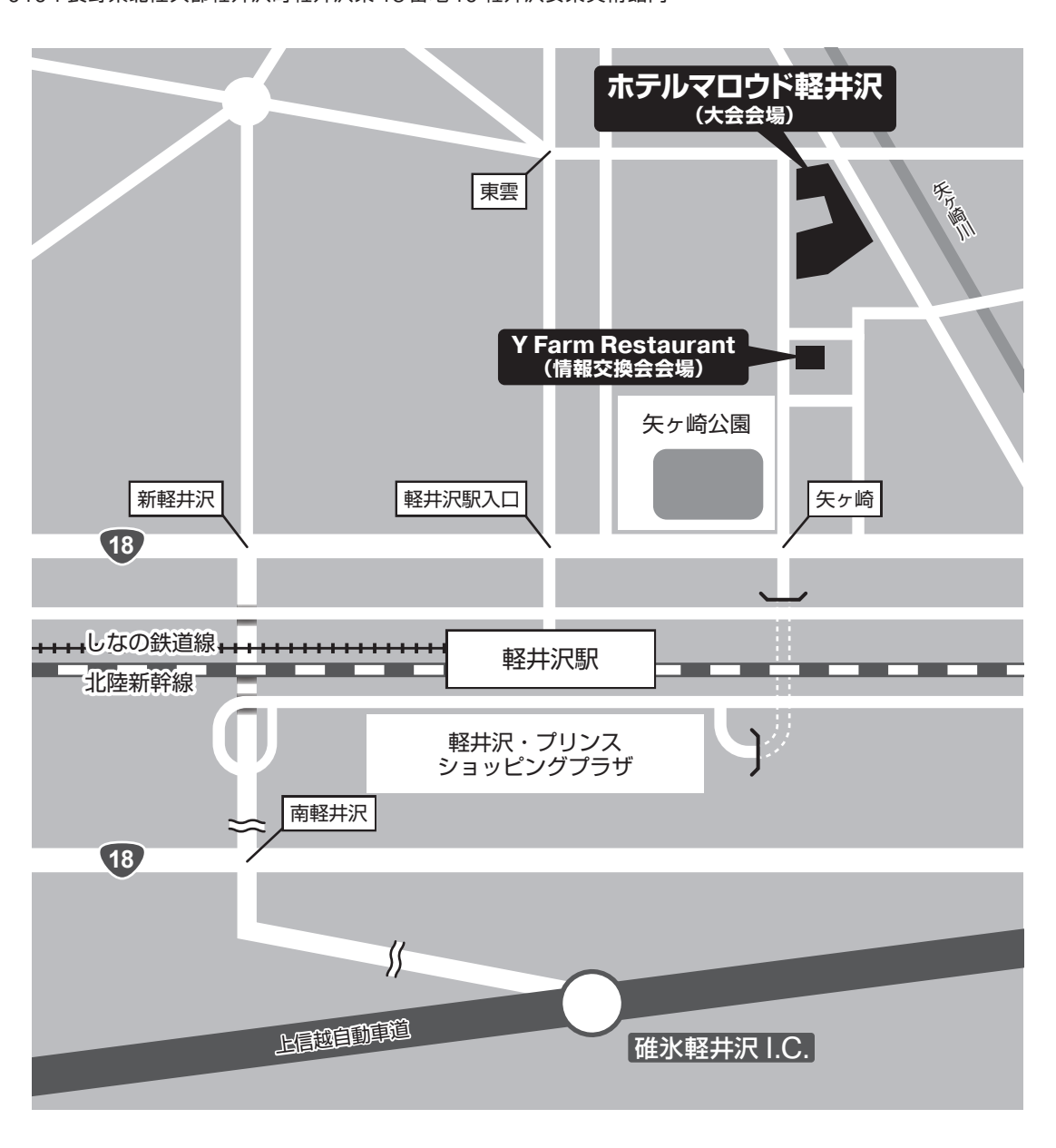
ホテルマロウド軽井沢

〒389-0102 長野県北佐久郡軽井沢町軽井沢 1178 TEL: 0267-42-8444

情報交換会会場

Y Farm Restaurant

〒389-0104 長野県北佐久郡軽井沢町軽井沢東43番地10 軽井沢安東美術館内



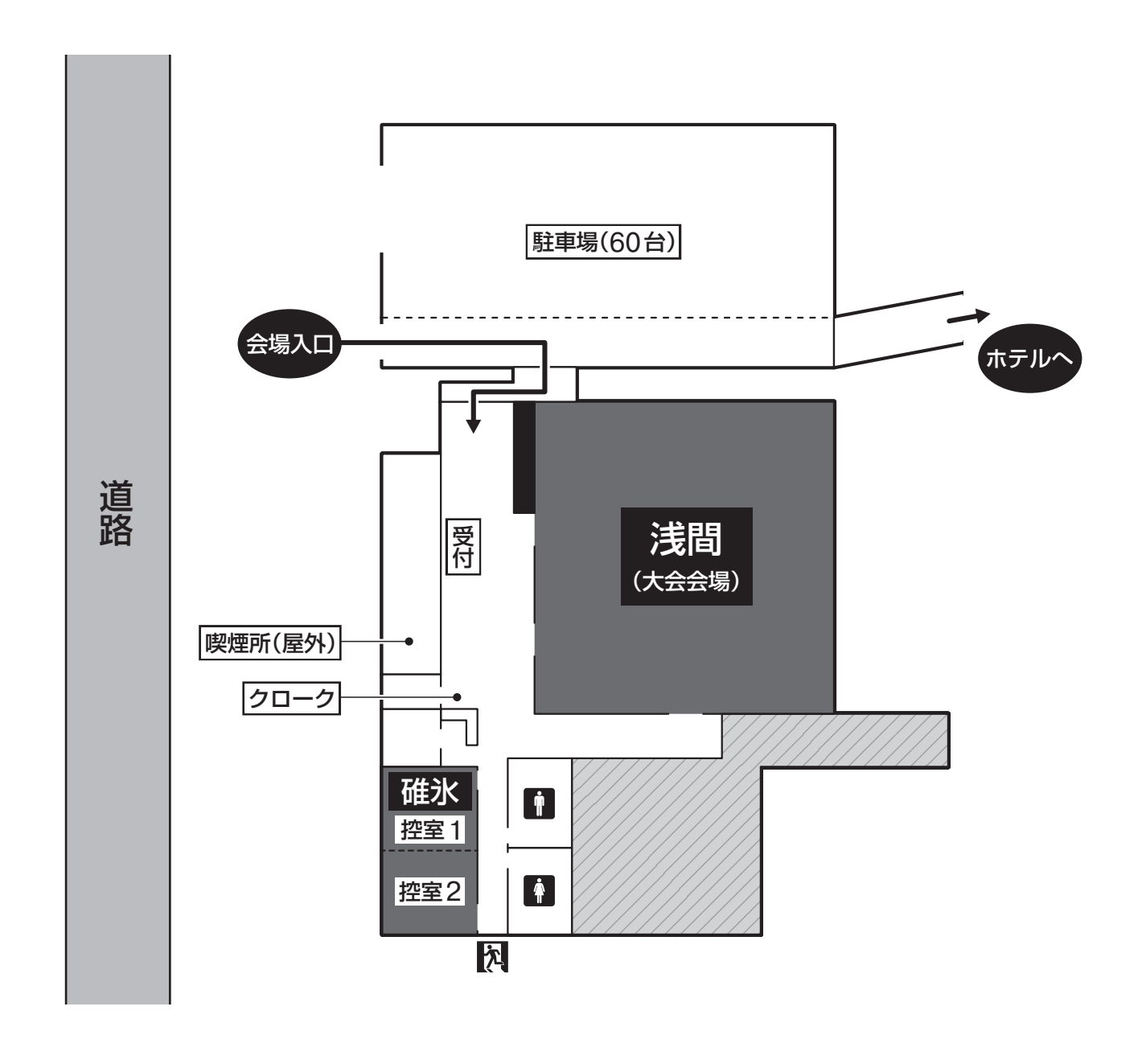
■ 新幹線をご利用の方

・「軽井沢駅」から徒歩で約15分。 軽井沢駅北口を出て、「軽井沢駅入口」の交差点を右折し、約300m直進。「矢ヶ崎」交差点を左折して約450m。

→ お車をご利用の方

- ・上信越自動車道「碓氷軽井沢1.C.」から約20分。 県道43号線を道なりに約6km直進、「新軽井沢」の交差点(中 山道/国道18号)を右折して約800m、「矢ヶ崎」交差点を左 折してから約450m。
- ・ホテルマロウド軽井沢の駐車場(60台【無料】)をご利用ください。

ホテルマロウド軽井沢



参加者へのご案内

開催形式

●現地開催

ホテルマロウド軽井沢 1階 浅間

〒389-0102 長野県北佐久郡軽井沢町軽井沢1178

https://www.marroad.jp/karuizawa/access/

●オンデマンド配信

配信期間: 2024年11月13日(木)~12月31日(火)

配信対象セッション:指定演題、一般演題

※一部座長・演者の同意を得られなかったセッション・演題については配信対象外となりますますので ご了承ください。

参加登録

本学会の参加にはオンライン参加登録が必須となります。

以下の参加登録要項をご確認の上、ご参加いただきますようお願いいたします。

●参加登録期間

2024年8月9日(金)~11月2日(土)

※当日も現地にて受付はございますが、現金での対面受付は行いませんので、事前にオンライン参加 登録・参加支払いを済ませていただきますようお願い申し上げます。

◆参加費

参加カテゴリー	参加費
断層映像研究会 会員	6,000円
断層映像研究会 非会員	7,000円
非会員(コメディカル)	5,000円
非会員(初期研修医、医学部学生、留学生)	無料※

※初期研修医、医学部学生、留学生の方は、参加登録ページから参加登録後に参加費支払いページの証明書送付フォームリンクから、事務局宛に証明書等を送っていただけましたら、参加費を無料とさせていただきます。

◆お支払方法

クレジットカード決済のみとなります。

【利用可能なカードブランド】

VISA · MASTER · Diners Club · JCB · American Express











- ●領収書および出席証明書について 当日現地にて、参加証兼領収書をお渡しいたします。
- ●キャンセルポリシー 決済完了後のお取消し及びご返金は理由の如何に関わらずお受けいたしかねますので、予めご了承ください。

当日受付

日時: 2024年11月1日(金) 10:30~ 11月2日(土) 8:00~

場所:ホテルマロウド軽井沢 1階

現金での参加費のお支払いはできません。

参加登録時に発行しました、QRコードをスマートフォン画面または印刷してご持参ください。 受付にて参加証兼領収書とネームホルダーをお渡しします。研究会開催中は常に名札をご着用ください。 事前登録をされていない方は、入場前にPCまたはスマートフォンなどでオンライン登録と参加費の決済を 行い、QRコードを提示の上、受付を行ってください。

単位取得

本学会は、日本医学放射線学会の放射線専門医資格更新単位取得制度における学術集会単位として5単位が認定されています。また日本専門医機構が認定する放射線科領域の専門医取得・更新に用いる学術集会参加単位(その他の活動_学術業績・診療外活動の実績)として2単位も参加することによって付与されます。本研究会においては現地参加の場合のみ単位の取得が可能となります。

単位を取得するためには、日本医学放射線学会会員カード(ICカード)で、研究会受付にて大会参加登録を行ってください。大会参加登録が完了していないと、各講習の受講登録ができませんのでご注意ください。

●日本専門医機構認定放射線科領域講習(診断)の単位取得について 規定のセッションを聴講することにより最大4単位取得が可能です。取得単位は各1単位です。

単位取得対象の講習は以下の通りです。

11月1日(金) 11月2日(土)

教育講演1 (15:50~16:50): 胸部 教育講演3 (11:00~12:00): 腹部

教育講演2(18:10~19:10):泌尿生殖器 教育講演4(13:20~14:20):頭部·骨軟部

【注意事項】

講習開始後10分以上経過した場合は、受講開始登録はできません。 講習ごとに必ず受講開始登録・受講完了登録を行ってください。

共催セミナー

11月1日(金)

● ランチョンセミナー1 12:20~13:20
 ● スポンサードレクチャー 13:30~14:30
 ● スポンサードセミナー1 14:40~15:40
 ● イブニングセミナー 17:00~18:00

11月2日 (土)

● モーニングセミナー 8:30~ 9:30
 ● ランチョンセミナー2 12:10~13:10
 ● スポンサードセミナー2 14:30~15:30

世話人会・総会のご案内

◆世話人会:11月1日(金)11:00~11:30

会場:ホテルマロウド軽井沢 碓氷

※受付にて参加登録をお済ませの上、世話人会へご参加ください。

◆総 会:11月1日(金)11:30~11:50

会場:ホテルマロウド軽井沢 浅間

情報交換会(自由着席)のご案内

◆日 時:11月1日(金)19:30~20:30

◆場 所: Y Farm Restaurant

軽井沢安東美術館

〒389-0104長野県北佐久郡軽井沢町軽井沢東43番地10

◆参 加 費:研究会参加者は無料

必ずネームカードを着用の上、ご参加ください

座長・発表者の皆さまへ

座長の先生方へ

- ・事前に大会ホームページから参加登録をお済ませください。
- ・担当プログラムの30分前までには受付で参加証をお受け取り下さい。
- ・各プログラム開始10分前までに、会場前方の「次座長席」へご着席ください。
- ・進行につきましては、座長の先生に一任いたします。
- ・一般演題では大会運営側でベルを鳴らしますが、それ以外のセッションでは鳴らしません。

演者の先生方へ

- ・事前に大会ホームページから参加登録をお済ませください。
- ・担当プログラムの30分前までには受付で参加証を受け取り、発表データをPC受付にご提出ください。
- ・担当プログラムの10分前までに会場前方の「次演者席」へご着席ください。

●発表データ作成方法

- ・会場に用意するPCは、Windows10、Power point2019です。
- ・文字フォントは標準フォントを推奨いたします。特殊フォントは表示に不具合が出る可能性がありますの でご注意ください。
- ・会場に設置されるプロジェクターの比率は16:9 (ワイド画面) となりますが、発表データの比率は4:3 (標準画面) でも発表可能です。
- ・動画(movie file)がある場合には、リンクではなくスライド内に埋め込むようお願いいたします。動画の形式はMP4を推奨いたします。その他の形式では、動画の再生ができないことがございます。

●発表時の注意事項

- ・演台上に液晶モニター、キーボード、マウスがセットしてあります、ページ送りは発表者ご自身で行ってください。
- ・Power pointの機能「発表者ツール」はご利用いただけません。発表原稿が必要な方は、あらかじめプリントアウトしてお持ちください。
- ・ご自身のPCを使用する場合は、事前に運営事務局にご連絡ください。

●PC 持込の注意事項

- ・ご自身のPCを使用する場合は、念のため発表データはUSBでご用意いただき、PC受付に発表データをご提出ください。
- ・外部出力が出来るWindows、Macのどちらでも持込可能です。
- ・会場に用意するケーブルコネクタはHDMIです。変換が必要な場合には付属アダプターは各自ご持 参ください。また、ACアダプター(充電ケーブル)は必ずお持ちください。
- ・パスワード、スクリーンセーバー、省電力設定は事前に解除してください。
- ・プログラム開始の20分前に会場前方にあるPCオペレーター席にPC本体をお持ちください。
- ・発表開始前にPCオペレーターが演台上にお持ち込みのPCを設置いたします。
- ・発表終了後にPCをオペレーター席で返却いたします。

日程表

	【1日目】11月1日(金) ホテルマロウド軽井沢 「浅間」	【2日目】11月2日(土) ホテルマロウド軽井沢 「浅間」
8:00-		8:00 ~ 受付開始
9:00-		8:30~9:30 モーニングセミナー 「進化するMRI技術~前立腺のAI診断の可能性と代謝のvisualization」 座長:中島 崇仁 演者:檜垣 篤、内匠 浩二 (株式会社フィリップス・ジャパン)
10:00-		9:40 ~ 10:50 一般演題 座長:横山 健一、藤永 康成
11:00-	10:30 ~ 受付開始	11:00 ~ 12:00 教育講演3:腹部(領域講習3)
12:00-	11:30~11:50 総会 11:55~12:00 開会の挨拶:市川智章	座長:吉満 研吾、玉田 勉 1. 「この所見に注目! 肝画像診断のポイント」 市川 新太郎 2. 「膵充実性腫瘍の診断のポイント ―注意すべき所見―」 福倉 良彦
13:00-	12:00 ~ 12:10 基調講演:対馬 義人、陣崎 雅弘 12:20 ~ 13:20 ランチョンセミナー 1 「未来を拓く診断技術:治療への架け橋となる画像診断」 座長:山田 哲 演者:丸山 光也、折居 誠 (GEヘルスケア・ジャパン株式会社)	12:10 ~ 13:10 ランチョンセミナー 2 座長:市川 智章 演者:久野 博文、八坂 耕一郎 (キヤノンメディカルシステムズ株式会社)
14:00-	13:30 ~ 14:30 スポンサードレクチャー 座長: 竹原 康雄 演者: 陣崎 雅弘、浅見 勇太 (富士製薬工業株式会社)	- 13:20 ~ 14:20 教育講演4:頭部・骨軟部(領域講習4) 座長:阿部修、栗井和夫 1.「中枢神経感染症の画像診断」 松木 充 2.「骨軟部感染症の画像診断」 野崎 太希
15:00-	14:40 ~ 15:40 スポンサードセミナー 1 座長:藤永 康成 演者:ウッドハムス玲子 (バイエル薬品株式会社)	14:30 ~ 15:30 スポンサードセミナー 2 「DeepResolveが切り拓く腹部骨盤MRI撮像のUpdate」 座長:木戸 晶 演者:角谷 嘉亮、大彌 歩 (シーメンスヘルスケア株式会社)
16:00-	- 15:50 ~ 16:50 教育講演1:胸部(領域講習1) 座長:長縄 慎二 「胸部疾患:おさえておきたい画像所見」 氏田 万寿夫	15:40 ~ 17:00 表彰論文 座長:市川 智章、伊東 克能
17:00-	17:00 ~ 18:00 イブニングセミナー 座長:市川 智章 演者:室賀 浩二、真鍋 徳子 (GEヘルスケアファーマ株式会社)	17:00 ~ 17:10 第53回断層映像研究会のご案内とご挨拶:伊東 克能 17:10 ~ 17:15 閉会の挨拶
18:00-	18:10~19:10 教育講演2:泌尿生殖器(領域講習2)	
19:00-	座長:石神 康生、木戸 晶 1.「AuntMinnie Cases 泌尿生殖器・腹膜・後腹膜」 渡谷 岳行 2.「婦人科画像,診断からくり」 今岡 いずみ	
20:00-	19:30 ~ 20:30 情報交換会 場所:Y Farm Restaurant 軽井沢安東美術館内	
_		

2024年11月1日(金)

ホテルマロウド軽井沢【1F浅間】

10:30~ 受付開始

11:00~11:30 世話人会

ホテルマロウド軽井沢【1F 碓氷】

11:30~11:50 総会

11:55~12:00 開会の挨拶

群馬大学 市川 智章

12:00~12:10 基調講演

群馬大学 対馬 義人 慶應義塾大学 陣崎 雅弘

12:20~13:20 ランチョンセミナー 1

共催:GE ヘルスケア・ジャパン株式会社

座長:山田哲(信州大学)

未来を拓く診断技術:治療への架け橋となる画像診断

I:「Revolution Apex Elite による Dual energy CT ― IVR での活用例 ―」

島根大学医学部附属病院 放射線科 丸山 光也

Ⅱ:「循環器臨床での治療選択に貢献する心臓 MR 活用法」

岩手医科大学放射線医学講座 折居 誠

13:30~14:30 スポンサードレクチャー

共催:富士製薬工業株式会社

座長: 竹原 康雄 (社団医療法人 HIMEDIC Nagoya トラストクリニック)

I:「CT 研究の場を取り巻く現状と今後について」

慶應義塾大学医学部 放射線科 陣崎 雅弘

Ⅱ:「Split bolus 法 - その臨床応用」

東京医療センター 放射線診断科 浅見 勇太

14:40~15:40 スポンサードセミナー 1

共催:バイエル薬品株式会社

座長: 藤永 康成 (信州大学)

「産婦人科救急疾患の画像診断」

北里大学医学部附属新世紀医療開発センター IVR 学 ウッドハムス 玲子

15:50~16:50 教育講演 1: 胸部【領域講習 1】

座長:長縄 慎二(名古屋大学)

「胸部疾患:おさえておきたい画像所見」

立川メディカルセンター立川綜合病院 放射線科 氏田 万寿夫

17:00~18:00 イブニングセミナー

共催:GE ヘルスケアファーマ株式会社

座長:市川 智章(群馬大学)

I:「CT 造影技術 — 冠動脈 CTA と可変注入における Time Enhancement Curve (TEC) の変化 —」

長野赤十字病院 放射線診断科部 室賀 浩二

Ⅱ:「心筋を診る: MRI 対 CT どっちを選ぶ?」

自治医科大学附属さいたま医療センター 放射線科 真鍋 徳子

18:10~19:10 教育講演 2: 泌尿生殖器【領域講習 2】

座長:石神 康生(九州大学) 木戸 晶(富山大学)

I:「AuntMinnie Cases 泌尿生殖器·腹膜·後腹膜」

国立国際医療研究センター病院 放射線診断科 渡谷 岳行

Ⅱ:「婦人科画像、診断からくり」

神戸大学大学院医学研究科 放射線医学分野 先進医用画像診断学部門 今岡 いずみ

19:30~20:30 情報交換会

2024年11月2日(土)

ホテルマロウド軽井沢【1F浅間】

8:00~ 受付開始

8:30~9:30 モーニングセミナー

共催:株式会社フィリップス・ジャパン

座長:中島 崇仁(筑波大学)

進化する MRI 技術~前立腺の AI 診断の可能性と代謝の visualization

I:「前立腺 MRI: AIと Synthetic DWI の臨床応用」

川崎医科大学 放射線診断学教室 植垣 篤

Ⅱ:「代謝の可視化: MR7700 と多核種撮像の可能性」

鹿児島大学大学院医歯学総合研究科 放射線診断治療学 内匠 浩二

9:40~10:50 一般演題

座長: 横山 健一(杏林大学) 藤永康成(信州大学)

1. 血行動態の把握に4D-CTA が有用であった気管支動脈肺動脈瘻の1例

山口大学大学院医学系研究科 放射線医学講座 伊原 研一郎

2. Dual Energy CTを用いて物質弁別解析を行った前立腺癌骨転移治療後の一例

東京医科大学病院 放射線部 相田 東吾

3. 副腎悪性腫瘍との鑑別に苦慮した capillary hemangiomaの一例

徳島大学病院 放射線診断科 亀井 友志

4. FDG-PET/CTで偶発的に診断した大動脈解離の一例

公立藤岡総合病院 放射線診断科 吉松 美穂

5. 出血性梗塞を合併した肺葉外肺分画症の一例

杏林大学医学部 放射線医学教室 林 宏享

6. IVRの画像診断報告書に基づく手技の自動分類: 自然言語処理モデルを用いた検討

東京大学医学部附属病院 放射線科 八坂 耕一郎

7. 腹部MRIを用いたIPMNの長期経過観察例の検討

信州大学医学部 画像医学教室 福澤 拓哉

11:00~12:00 教育講演 3:腹部【領域講習 3】

座長: 吉満 研吾(福岡大学) 玉田 勉 (川崎医科大学)

I:「この所見に注目! 肝画像診断のポイント」

浜松医科大学 放射線診断学講座 市川 新太郎

Ⅱ:「膵充実性腫瘍の診断のポイント ―注意すべき所見―」

川崎医科大学 機能代謝画像診断学 福倉 良彦

12:10~13:10 ランチョンセミナー 2

共催:キヤノンメディカルシステムズ株式会社

座長:市川 智章(群馬大学)

I:「頭頸部癌における最新 CT 技術の臨床応用: photon-counting detector CT の初期経験」

国立がん研究センター東病院 放射線診断科 久野 博文

Ⅱ:「MRIの新世代画像再構成法:画質改善が臨床にもたらすインパクト」

東京大学医学部附属病院 放射線科 八坂 耕一郎

13:20~14:20 教育講演 4: 頭部・骨軟部【領域講習 4】

座長: 阿部修(東京大学) 粟井 和夫(広島大学)

I:「中枢神経感染症の画像診断」

自治医科大学とちぎ子ども医療センター 小児画像診断部 松木 充

Ⅱ:「骨軟部感染症の画像診断」

慶應義塾大学医学部 放射線科学教室(診断) 野崎 太希

14:30~15:30 スポンサードセミナー 2

共催:シーメンスヘルスケア株式会社

座長: 木戸 晶(富山大学)

DeepResolve が切り拓く腹部骨盤 MRI 撮像の Update

I:「Deep Resolve で「今」 撮れる、 膵の高精細 MRI シーケンス 萎縮と 膵管、 わずかな変化を捉えるために」 石川県立中央病院 放射線診断科 角谷 嘉亮

Ⅱ:「正確な診断に必要な画像を得るために ~ Deep learning Reconstruction が拓く女性骨盤領域~」 信州大学医学部附属病院 放射線部 大彌 歩

15:40~17:00 表彰論文

座長: 市川 智章 (群馬大学) 伊東 克能 (山口大学)

1. A Pictorial review: Lymphoma and Lymphoproliferative disease of Thorax

奈良県立医科大学附属病院 放射線診断·IVR学講座 中野 亮汰

2. 尿道病変の画像診断における包括的な診断アプローチ

Department of Molecular and Medical Pharmacology, Ahmanson Translational Theranostics
Division, David Geffen School of Medicine at UCLA /東京科学大学 画像診断·核医学 木村 浩一朗

3. Repeated Carbon-Ion Radiation Therapy for Intrahepatic Recurrent Hepatocellular Carcinoma

国立がん研究センター東病院 放射線治療科 富澤 建斗

4. 頭頸部癌における Iodine imaging

国立がん研究センター東病院 放射線診断科 檜山 貴志

5. How to Find CHD7 Disorder — Beyond CHARGE Syndrome —

千葉大学医学部附属病院 画像診断センター 服部 真也

17:00~17:10 第53回断層映像研究会のご案内とご挨拶

山口大学 伊東 克能

17:10~17:15 閉会の挨拶

群馬大学 対馬 義人

11月1日(金)

ランチョンセミナー 1

未来を拓く診断技術:治療への架け橋となる画像診断

I: 「Revolution Apex EliteによるDual energy CT ― IVRでの活用例 ―」

Ⅱ:「循環器臨床での治療選択に貢献する心臓 MR活用法」

ランチョンセミナー 1

ランチョンセミナー1-I

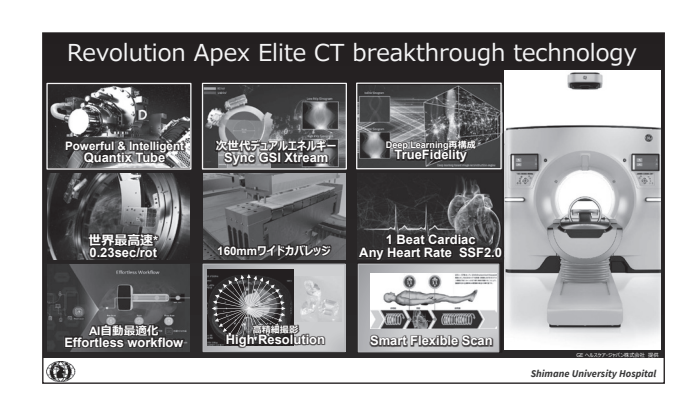


島根大学医学部附属病院 放射線科 九山 光也

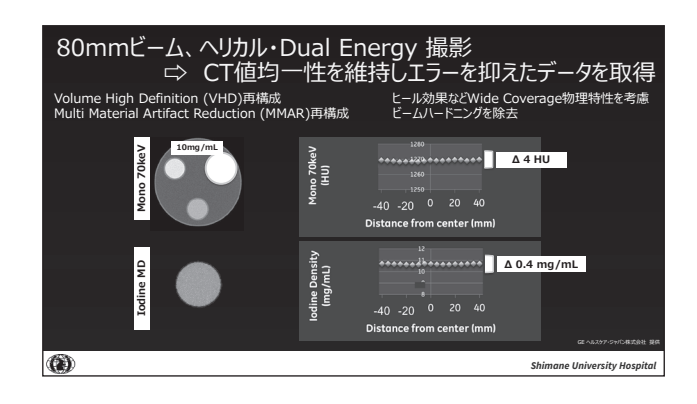
Revolution Apex Eliteによる Dual energy CT — IVRでの活用例 —

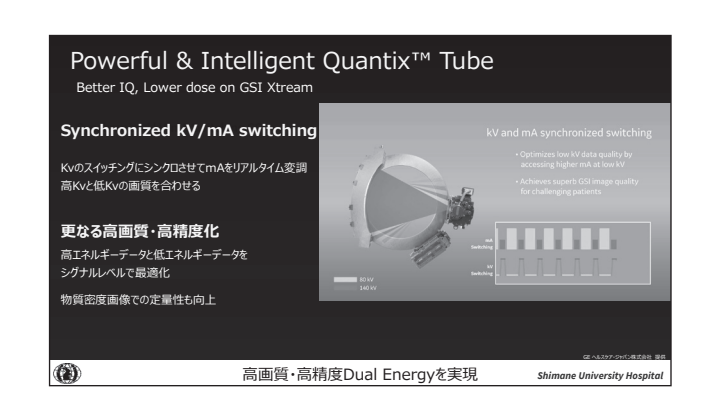
GEへルスケア社製256列CT「Revolution Apex Elite」は高精度なDual Energyを実現している。また、TrueFidelity DLにより、画質の違和感を抑えた読影しやすい Dual Energy 画像である。読影端末のアプリケーション上で、カスタマイズしたプリセットの Dual Energy 画像を表示でき、使いやすさも向上している。今回、Dual Energy 画像の Interventional Radiology での活用例を紹介する。①ヨード造影剤減量による血管情報取得(3D Road Mapへの流用)、② Iodine (Water) 画像の活用(コイル塞栓後の腸管造影効果や Endoleakの確認)、③血管形成術症例における不安定プラークチェックの3つの具体例を提示する。

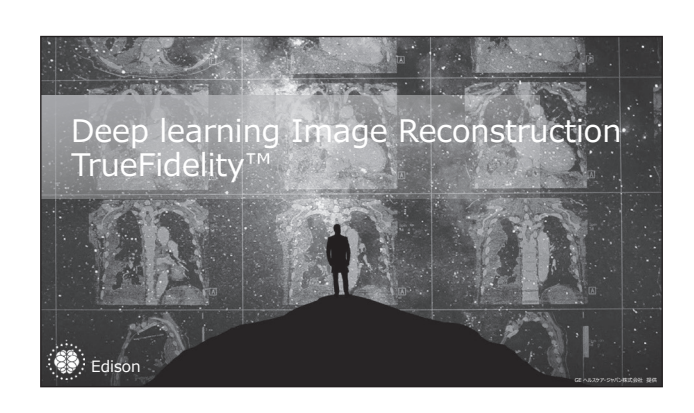


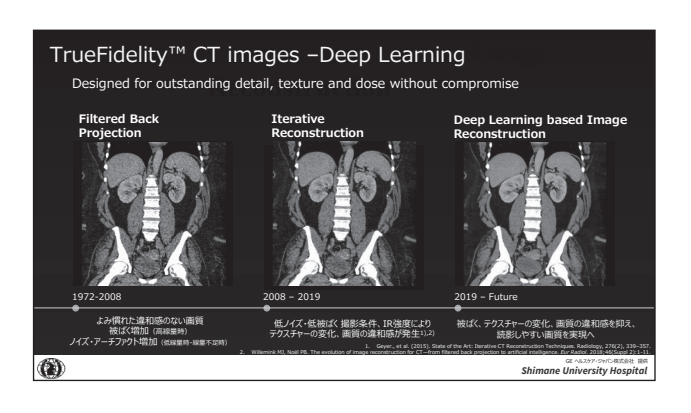


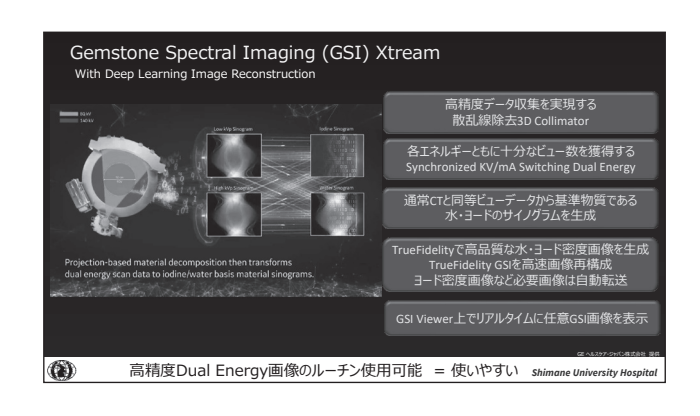


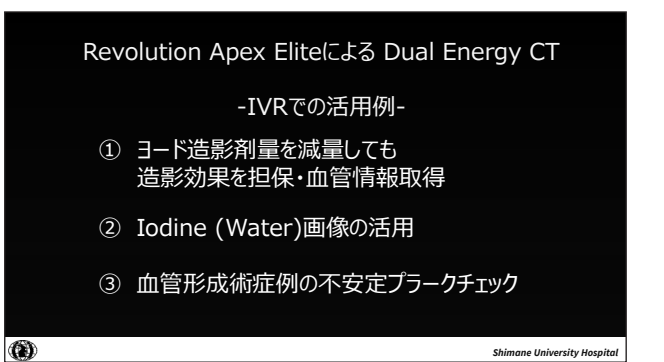


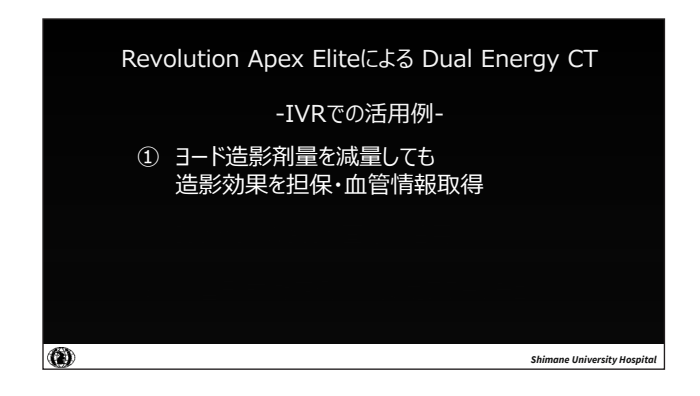


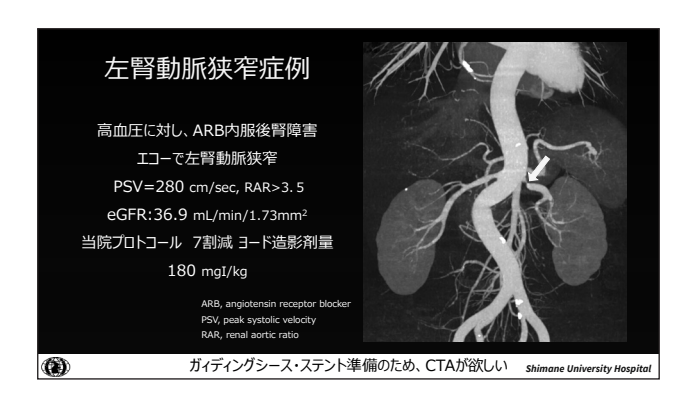


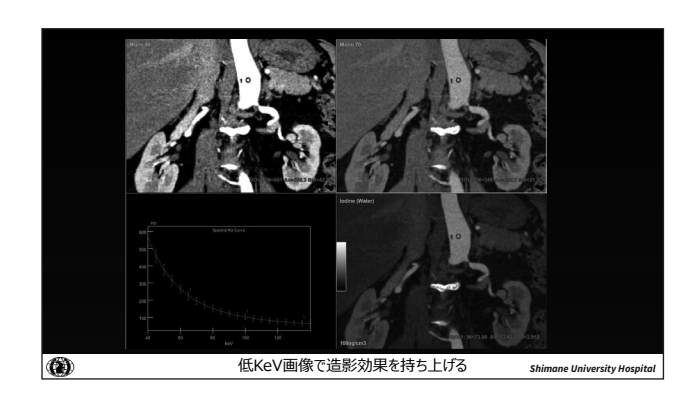


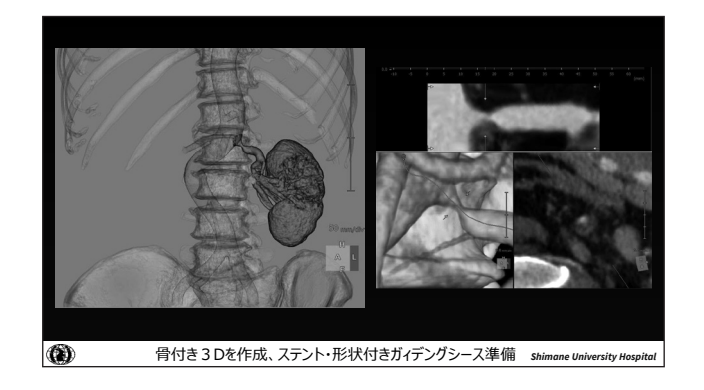




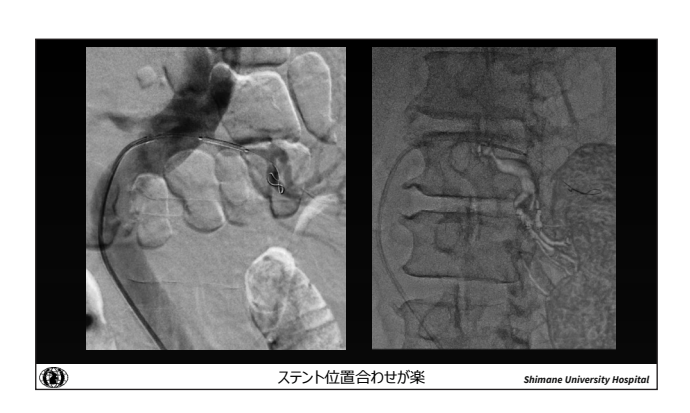


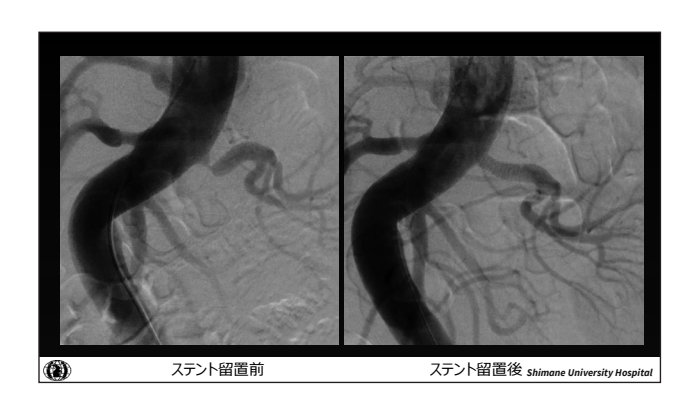




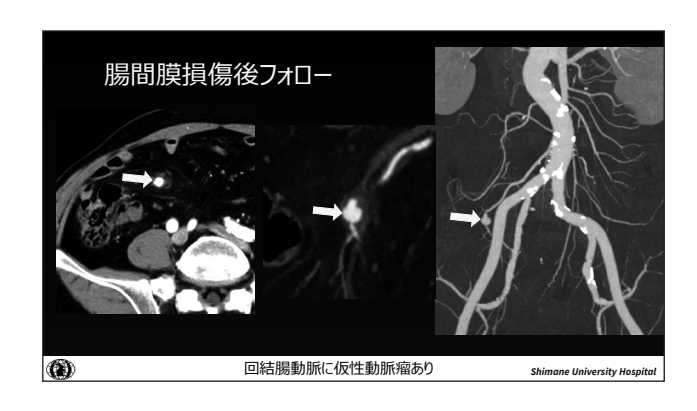


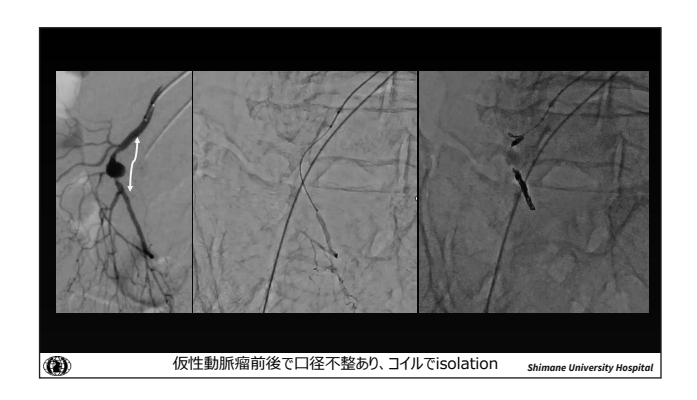


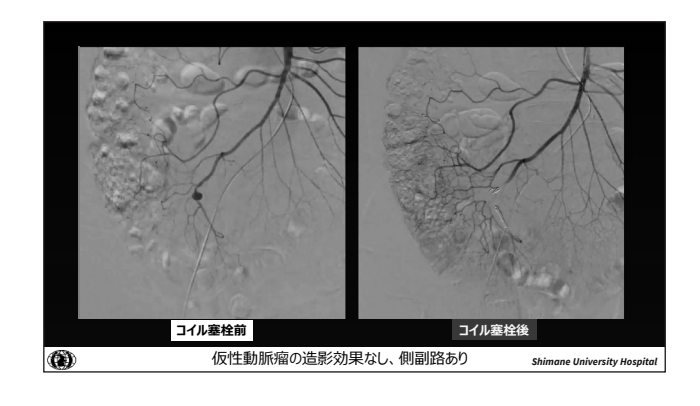


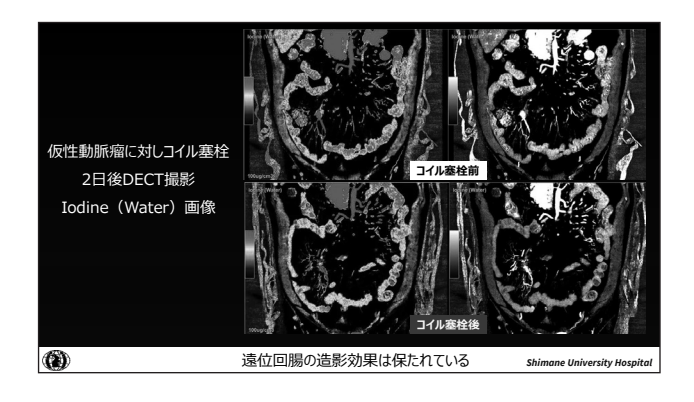


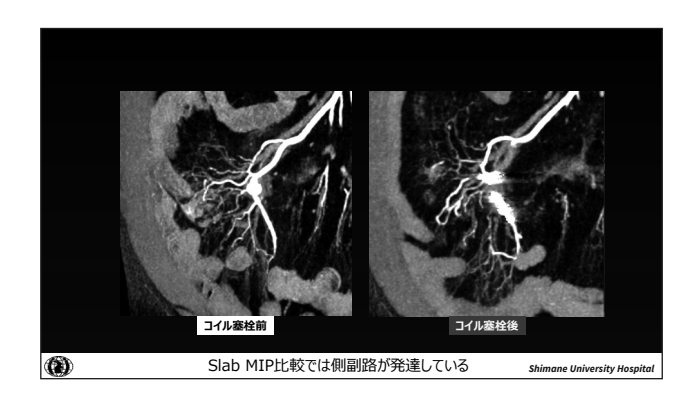


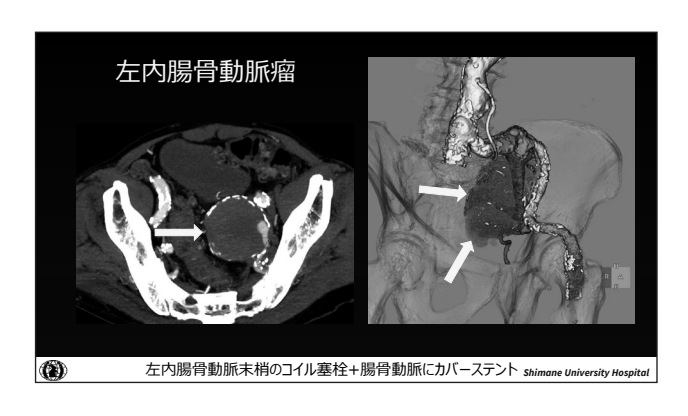


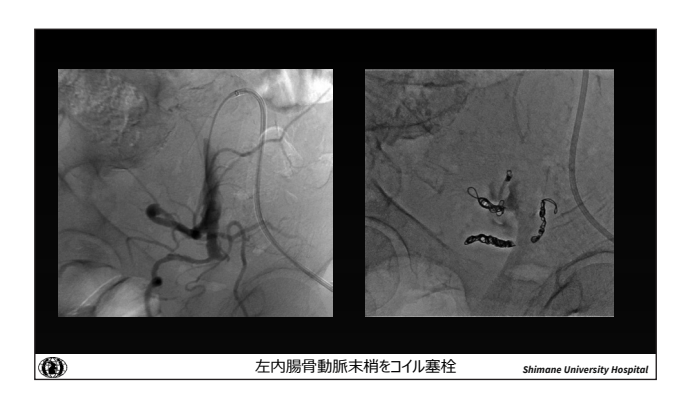


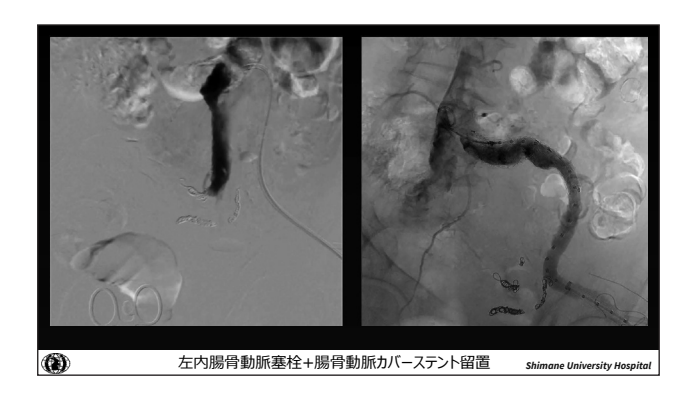




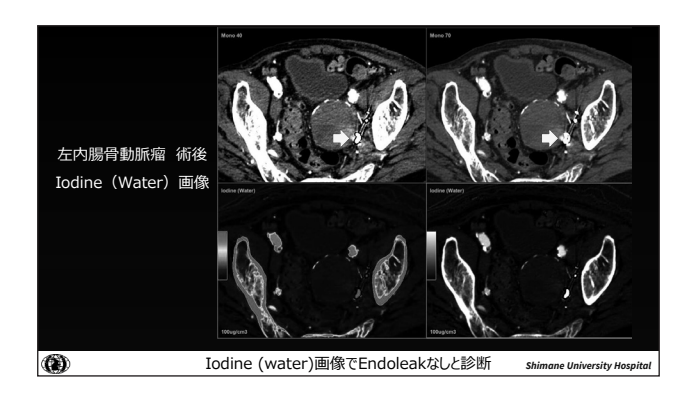


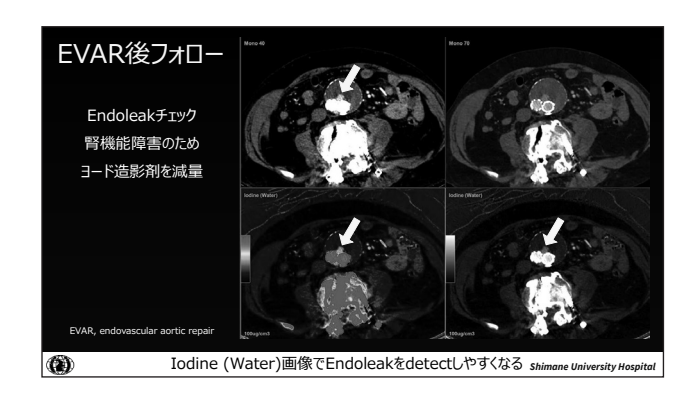






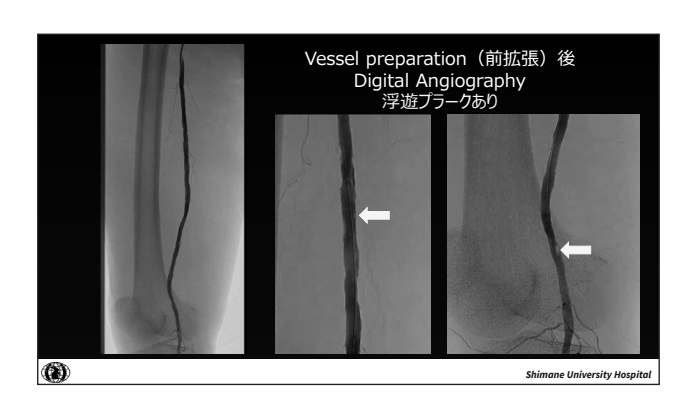


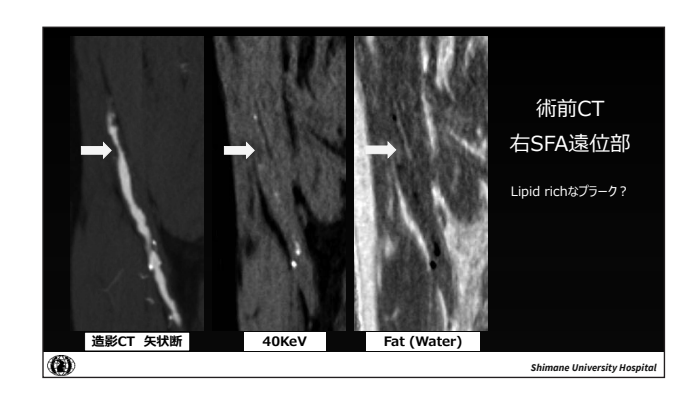


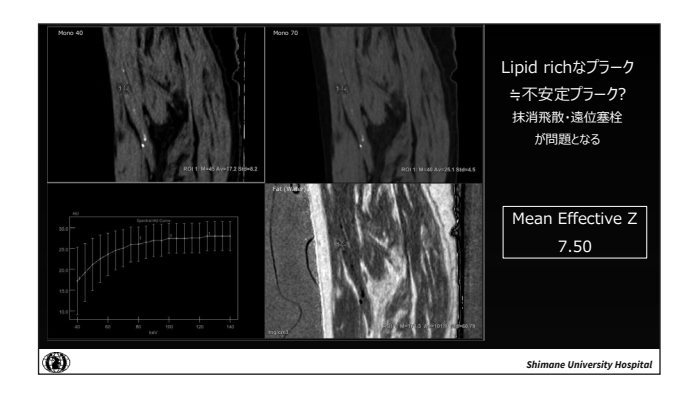


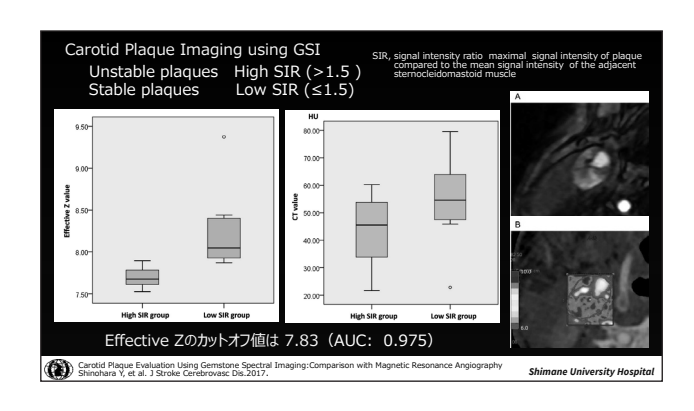


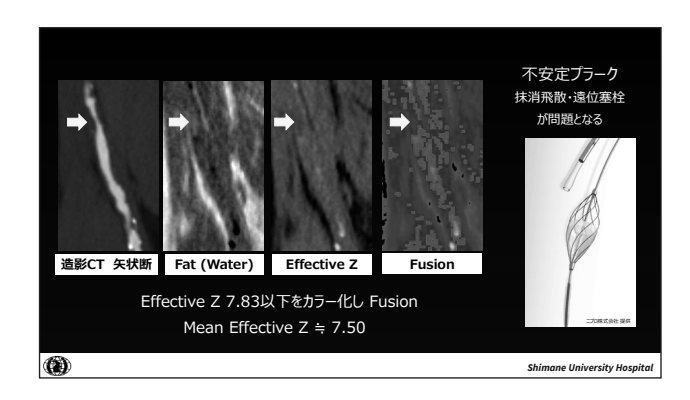


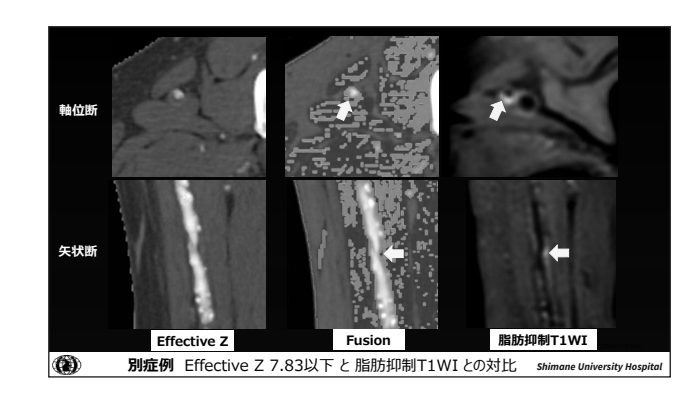


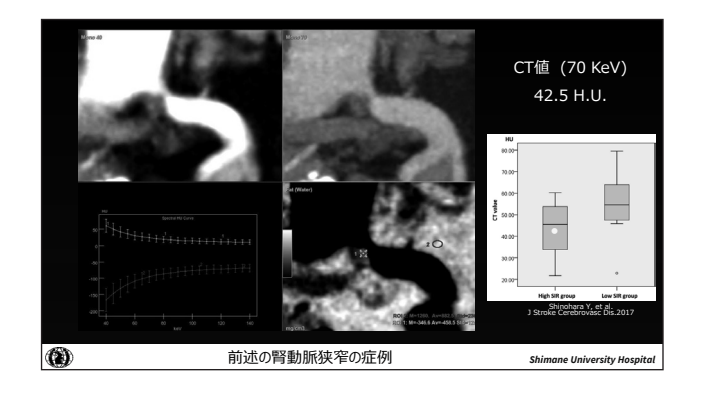


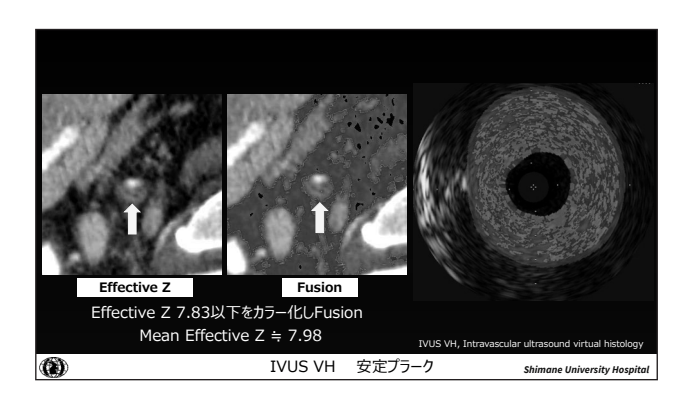




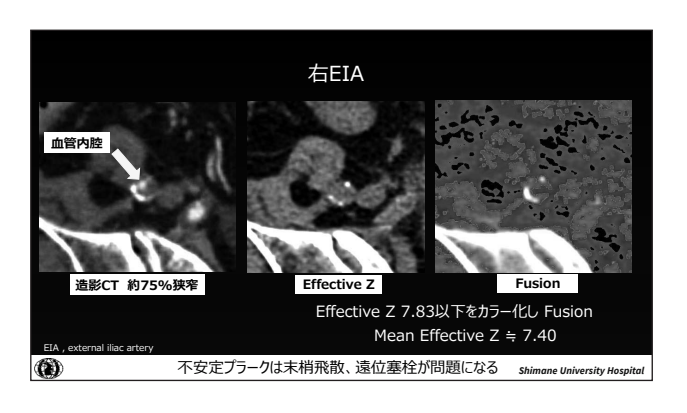


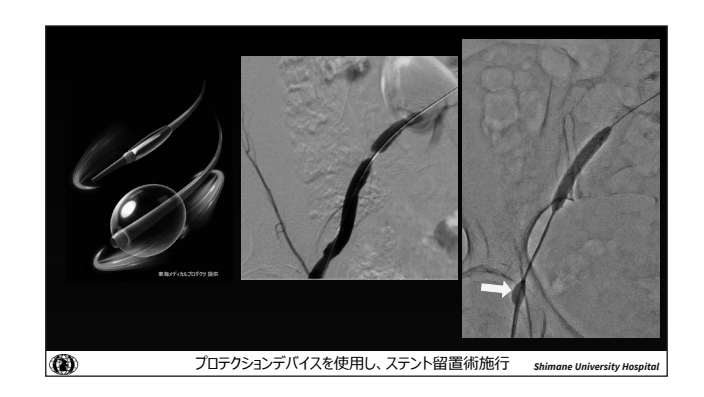












Revolution Apex Eliteによる Dual Energy CT

-IVRでの活用例-

- ① 3-ド造影剤量を減量しても 造影効果を担保・血管情報取得
- ② Iodine (Water)画像の活用

(3)

③ 血管形成術症例の不安定プラークチェック

Shimane University Hospital

ランチョンセミナー1-11



岩手医科大学放射線医学講座 折居 誠

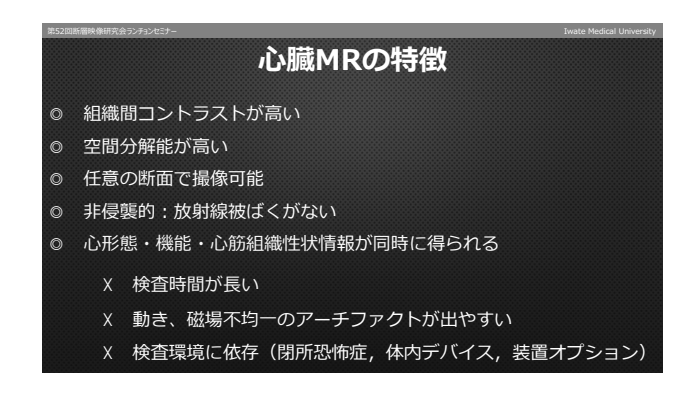
循環器臨床での治療選択に貢献する心臓 MR活用法

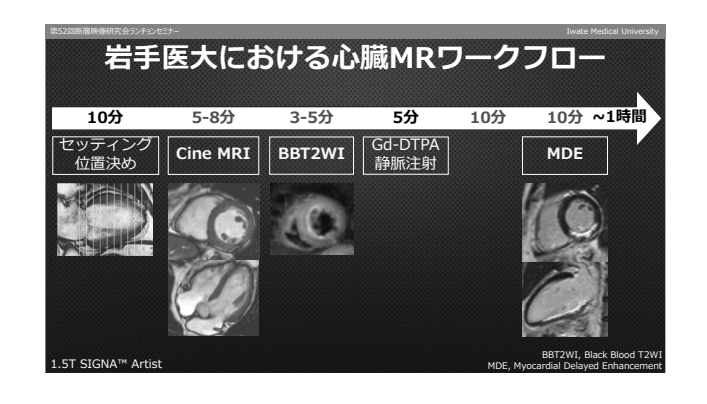
心臓 MR (CMR) は心機能や血流評価, 冠動脈の評価に加え, 心筋浮腫や線維化, 心筋性状の定量評価など多角的に情報収集することが可能である. 本邦における CMR の需要は年々高まり, 2023年 CMR の実施件数は51,226件(循環器疾患診療実態調査)と, 5年間で約9,000件増加している. 一方,情報の過多は臨床医の意思決定に貢献できない危険性が内在する. そこで本セミナーでは, 治療選択から逆算した CMR プロトコルの構築について概説する.



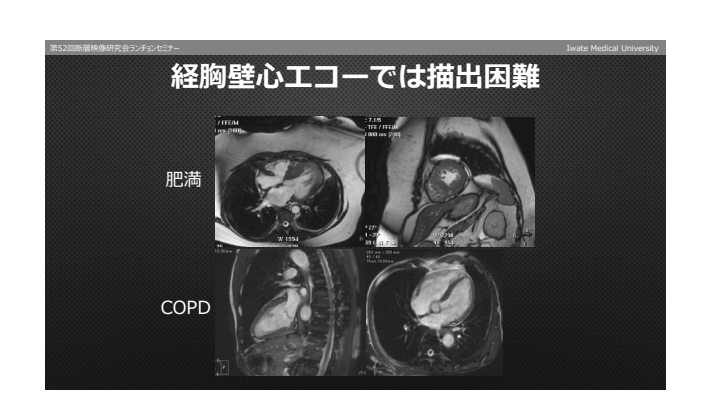






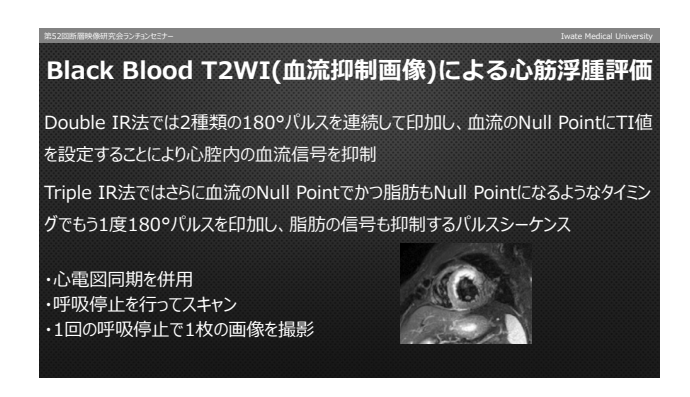


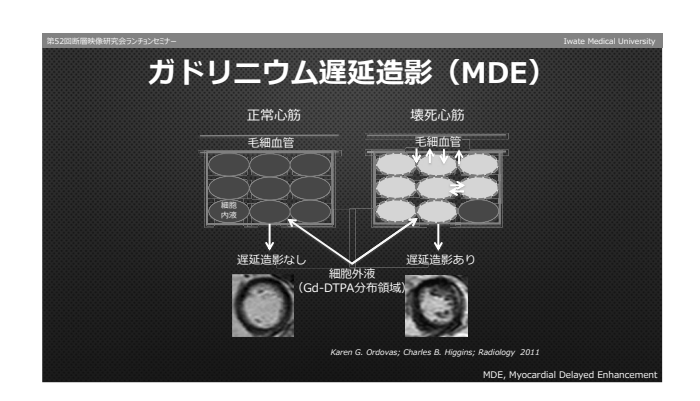




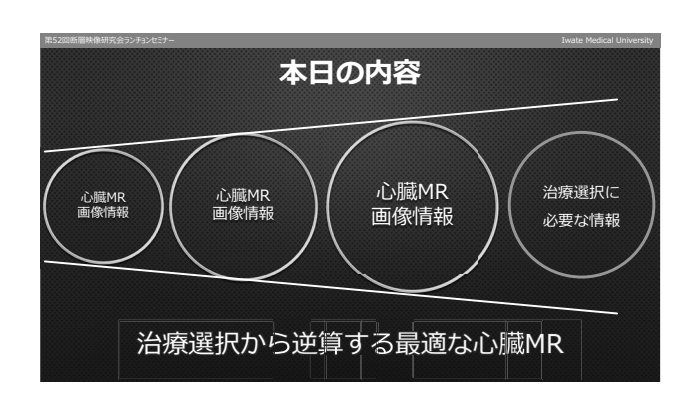


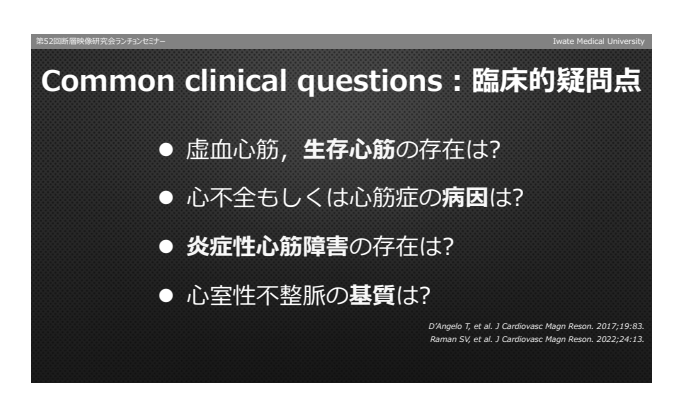


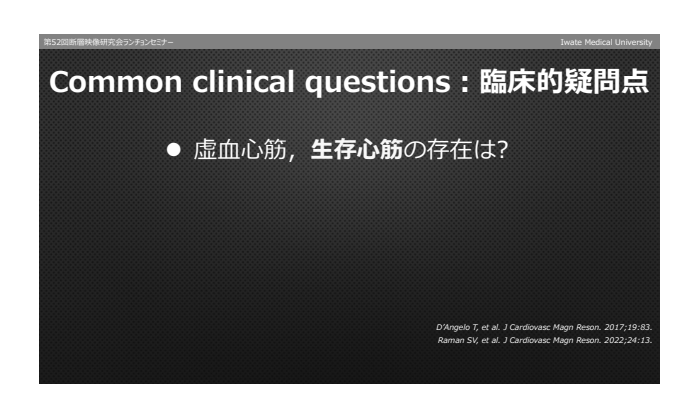




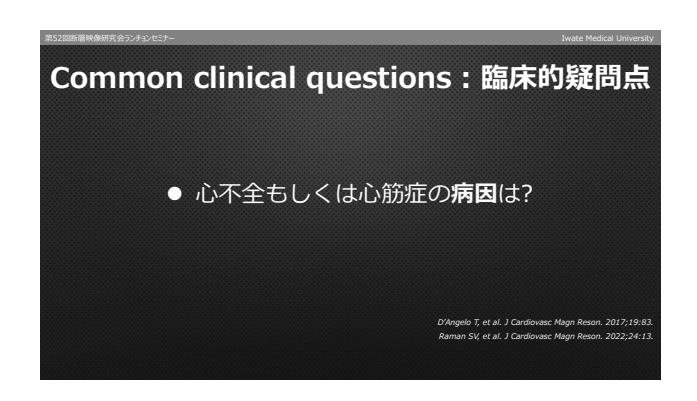


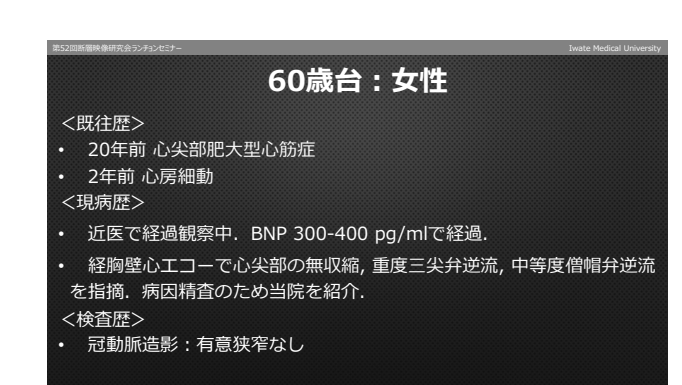


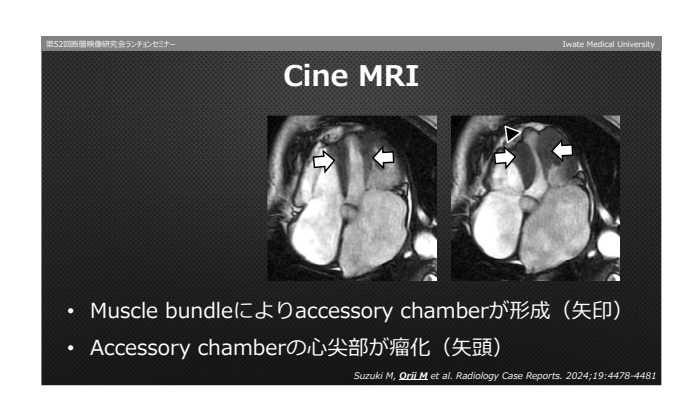








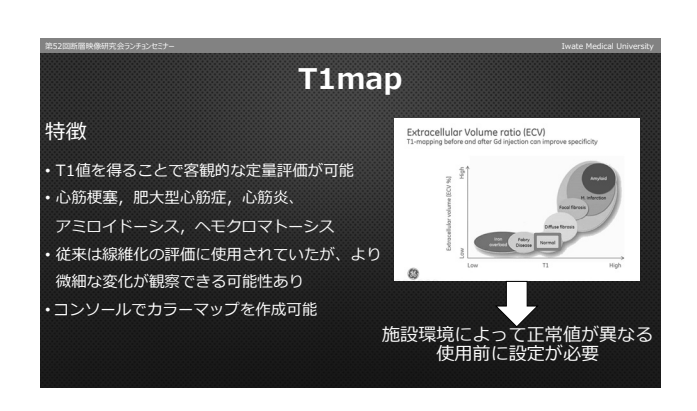




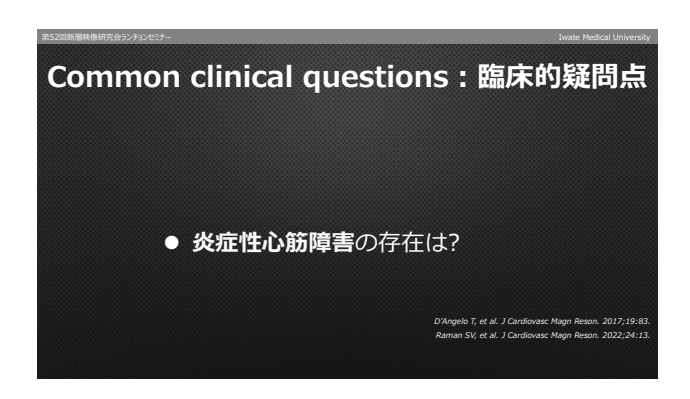


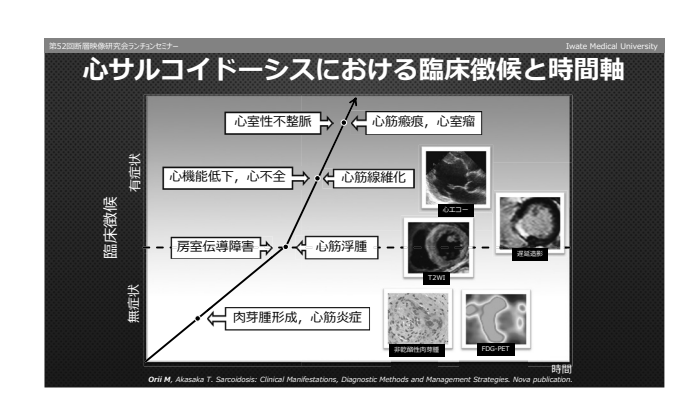


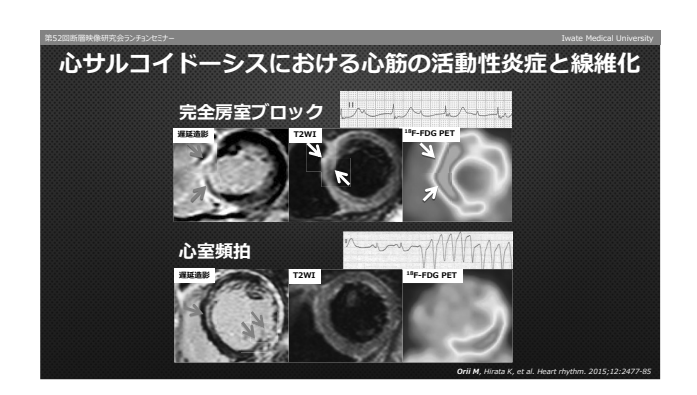


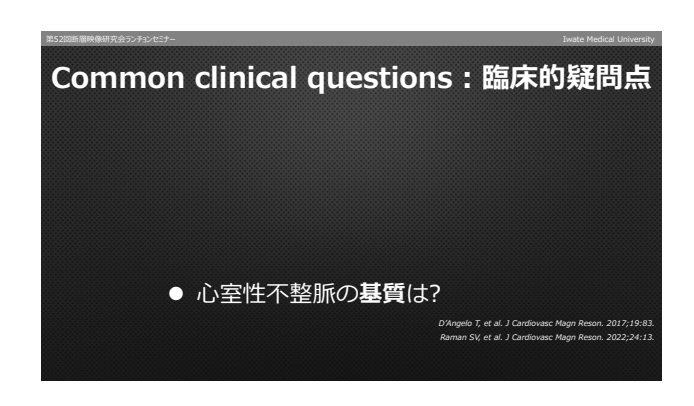


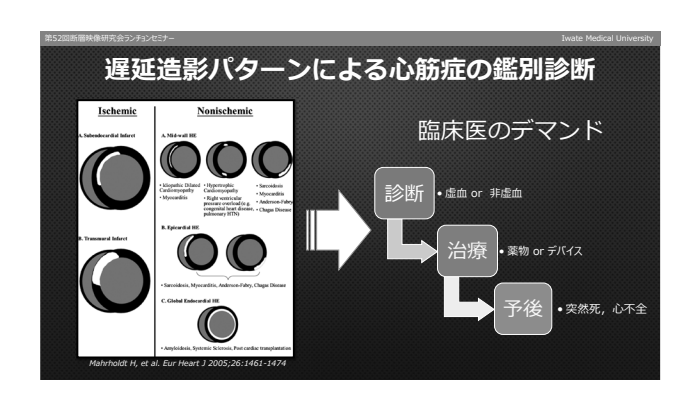




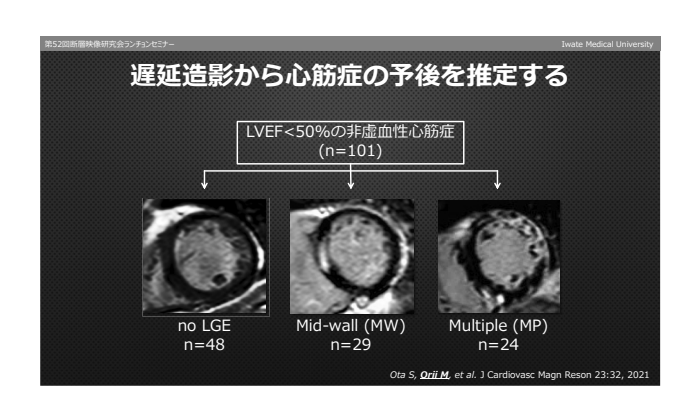


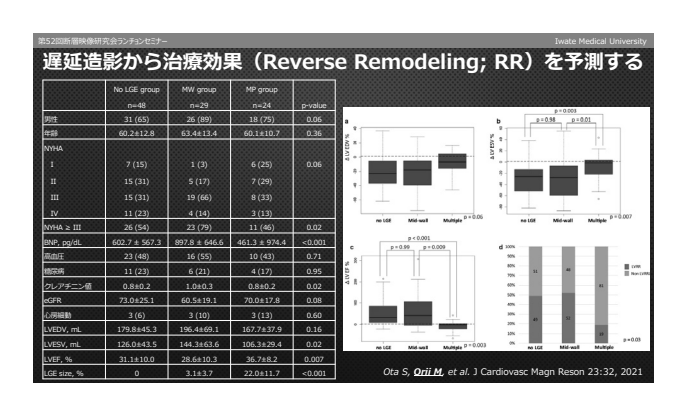


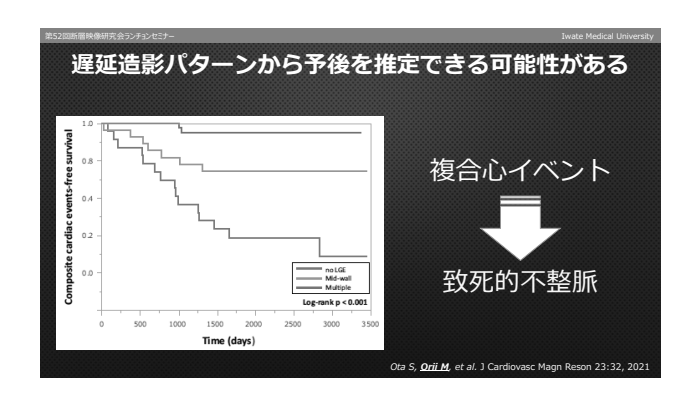








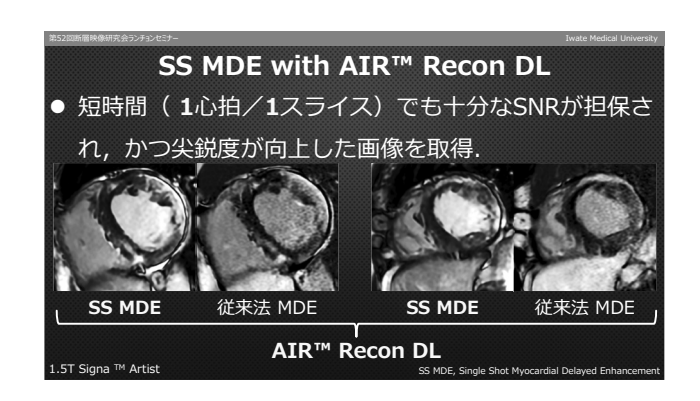


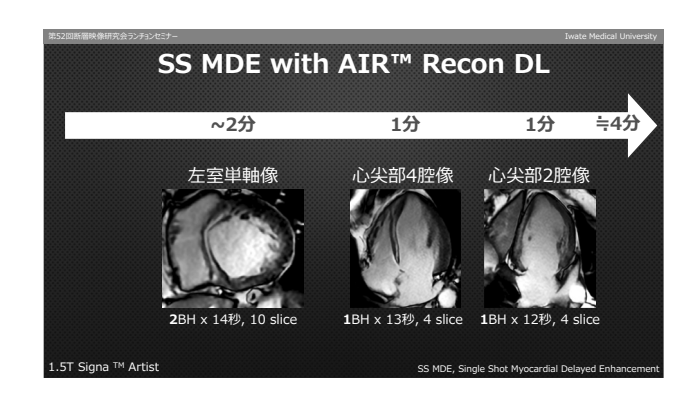




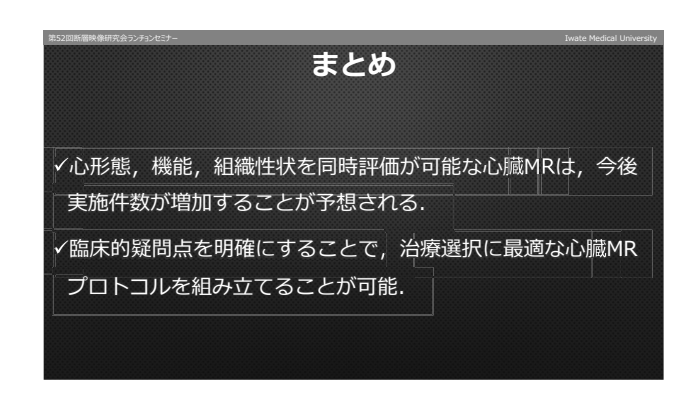


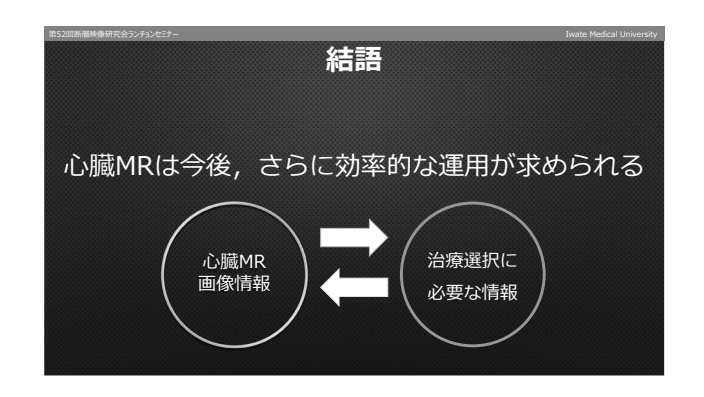














11月1日(金)

スポンサードレクチャー

I:「CT研究の場を取り巻く現状と今後について」

Ⅱ: 「Split bolus法 - その臨床応用」

スポンサードレクチャー

スポンサードレクチャー-[



慶應義塾大学医学部 放射線科 陣崎 雅弘

CT研究の場を取り巻く現状と今後について

近年CTの進歩は著しく、ハード面でのフォトンカウンティングCT、解析法でのAIを始めとしていくつかの新たな動向がある。画像診断に関して、磁気共鳴学会、超音波医学会、核医学会、IVR学会がある中でCTやX線を議論に特化した大きな会はない。国際的に見ても、ISCT(International Society of CT)というアメリカを中心とした学会が年1回開催されている程度である。新し技術の臨床応用とその撮影法、deep learningや生成AIを使った解析法や読影法などの現状を共有しながら、今後これらのことを専門的に議論する場の必要性について話したい。

スポンサードレクチャー-11



東京医療センター 放射線診断科 浅見 勇太

Split bolus法 - その臨床応用

Split Bolus 法は造影剤を2回以上に分割して投与し1回の撮影をすることで動脈相+門脈相など、複数フェーズを同時に評価することが出来る手法である。通常のダイナミックCTと比較して撮影回数が少なくなるため被ばくを低減、読影負担を軽減させることができるが、各臓器の造影効果の強度が普段と異なるため、プロトコルを使用する症例を慎重に検討する必要がある。今回は当院で臨床応用している肺血栓塞栓症・下肢静脈血栓症や肝胆膵領域の撮影方法と症例について紹介する。

11月1日(金)

スポンサードセミナー1

「産婦人科救急疾患の画像診断」

スポンサードセミナー1

北里大学医学部附属新世紀医療開発センター IVR学 ウッドハムス 玲子

産婦人科救急疾患の画像診断

産婦人科救急疾患の診断は、妊孕性の温存や生命予後に関わることがあり、画像診断の果たす役割は大きい。画像診断の知識、疾患と病態の理解と共に、臨床経過を考慮した総合的なアプローチが正確な画像診断につながる。また、CT、MRIのそれぞれの特徴を理解し、適切な画像診断モダリティを選択することも正確な画像診断のために必要である。本講演では、産婦人科救急疾患の画像診断について解説する。

11月1日(金)

教育講演1:胸部【領域講習1】

「胸部疾患: おさえておきたい画像所見」

教育講演1:胸部【領域講習1】



立川メディカルセンター立川綜合病院 放射線科 氏田 万寿夫

胸部疾患: おさえておきたい画像所見

画像診断のステップは、意義ある所見を拾い上げ、年齢や病歴、経過、他の検査所見などを参考に鑑別診断に重み付けすることであろう。胸部領域では、古くからシルエットサインをはじめとする多くの画像サインが知られており、異常の検出や診断に応用されてきた。ある疾患に特異的な所見がある一方で、さまざまな疾患が類似の画像を呈することも多い。本講演では、胸部画像診断において疾患特異性の高いいくつかのサインや所見について述べる。

教育講演1

第52回断層映像研究会

胸部疾患 おさえておきたい画像所見

立川メディカルセンター 立川綜合病院放射線科 氏田万寿夫 m.ujita@jikei.ac.jp

Objectives

・肺疾患の診断に役立つさまざまな画像所見 やサインを学ぶ



追加情報

- 血液検査
 - 抗核抗体40倍, 抗dsDNA抗体 2.8 IU/mL, 抗SS-A抗体陰性, 抗SS-B抗体陰性, MPO-ANCA陰性, PR3-ANCA陰性
 - クラミジアニューモニエIgA<8倍, IgG 64倍, 肺炎マイコプラズマ抗体<4倍, HIV陰性
- 問診
 - •ペットなし,常用薬なし,アレルギーなし
 - ・喫煙:1ヶ月前から2~3本/日

Aunt Minnie case

- Neuhauser (1908-1987) が名付け、Felson (1913-1988) が広めた
- A case with radiologic finding so specific and compelling that no realistic differential diagnosis

Bob's your uncle

この疾患しか考えられない!

Linton O. Edward B. D. Neuhauser. J Am Coll Radiol. 2011; 8:882

2

20M 発熱、呼吸困難

- 2日前から発熱、咽頭痛、呼吸困難
- 来院時所見
 - BT 40.2°C, HR 140/min, BP 110/80mmHg, SpO₂ 87%
 - PaCO₂ 30.7, PaO₂ 46.7 Torr
 - W 27200 (Neu93%, Eo4%, Ly3%) CRP 20.45
 - 呼吸音 ラ音 (-)、心雑音 (-)



鑑別診断

- ・感染症:ウイルス、クラミドフィラ、ニューモシスチス
- ・びまん性肺胞傷害(ARDS)
- 急性間質性肺炎
- 肺胞出血(血管炎、Goodpasture synd)
- 薬剤性肺障害
- 肺胞蛋白症

気管支鏡検査

- 肺胞洗浄液: 好酸球多数
- ・生検:DAD様変化(フィブリン析出、肺胞上皮軽度腫大、 硝子膜形成なし)

診断:急性好酸球性肺炎

問診:1ヶ月前からたばこを吸い始めた

急性好酸球性肺炎 acute eosinophilic pneumonia

- 20-30歳代
- 急性発症の発熱, 低酸素性呼吸不全
- なんらかの吸入抗原に対する過剰反応
 - ・タバコ、カビ
 - β-D-glucan found in BALF (Chest 2003; 123)
- ・初期:血中好酸球数は正常~軽度増加⇒のちに増加
- 気管支鏡検査:
 - 好酸球增多, 血管透過性肺水腫
- ・ステロイドが著効し再燃はみられない

Allen et al. N Engl J Med 1989; 321

20M AEP:胸痛、発熱38℃、咳嗽. SpO₂ 91-93%. 3ヶ月前より喫煙1日2-3本



本来の肺の間質一肺胞壁性間質

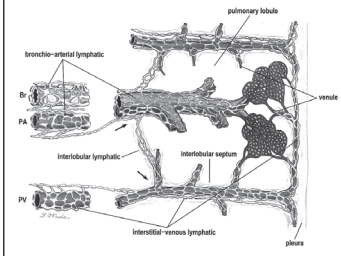
Ⅰ型およびⅡ型肺胞上皮の基底膜と毛細血管の 基底膜に挟まれた領域





村田喜代史ほか. 画像診断 2018; 5:447-466 より

広義の間質=豊富なリンパ管ネットワーク (リンパ路性間質)





胸部のCT 第4版 メディカルサイエンスインターナショナル p117

原図: 岡田慶夫 図説 肺のリンパ系と肺癌 金芳堂

佐藤達夫. 胸部の地図帳 講談社 p.58

CT findings in 29 pts with AEP

• Lung abnormalities

100% GGO Septal lines 90% Thickening of BVBs 66% Consolidation 55% 31% Nodules



Distribution

Cross-section: random 62%, peripheral 31% Cranio-caudal: random 58%, lower 28%, upper 14%

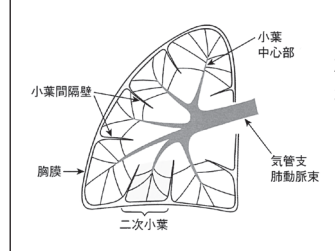
· Pleural effusion 79%; bilateral 76%

Daimon et al. Eur J Radiol 2008; 65:462

肺の間質 interstitium

- 1. 本来の間質(狭義間質)
- Ⅱ. 肺のフレームワークを形成する広い意味での間質 (広義間質)

広義の間質 -肺のフレームワークを形成する間質



- 1. 気管支肺動脈束
- 2. 小葉間隔壁、胸膜下
- 3. 肺胞管周囲 1と2を結ぶ

ビギナーのための胸部画像診断 Q&Aアプローチ(秀潤社) p148 原図: Webb et al. ed. High-resolution CT of the lung 4th

リンパ路病変の画像

気管支血管束や肺静脈周囲・小葉間隔壁・胸膜下間質 の肥厚や顕在化



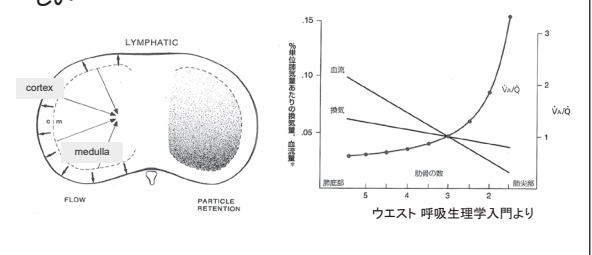


リンパ路病変の分類

異物処理経路:肉芽腫	リンパ路に病巣を形成
サルコイドーシス	癌性リンパ管症
珪肺症	悪性リンパ腫
	リンパ増殖性疾患
	アミロイドーシス
	Erdheim-Chester 病
	サルコイドーシス

リンパの流れ

- 非常におそい(推定 20ml/hr)
- ・肺血流と胸郭の動きの影響大
- ・上肺野、肺の内層・背側ではリンパのクリアランスが乏 しい



71M 咳嗽

肺胞蛋白症 Pulmonary alveolar proteinosis PAP

- ・肺胞内界面活性物質(PAS陽性)の過剰貯留
- 病因

自己免疫性: 抗GM-CSF抗体(+) 90% ⇒ 肺胞マクロファージの処理能力低下

続発性: 抗GM-CSF抗体(-)かつ基礎疾患(+) 1% 分類不能型: 抗GM-CSF抗体(-)かつ基礎疾患(-) 1%以下 先天性

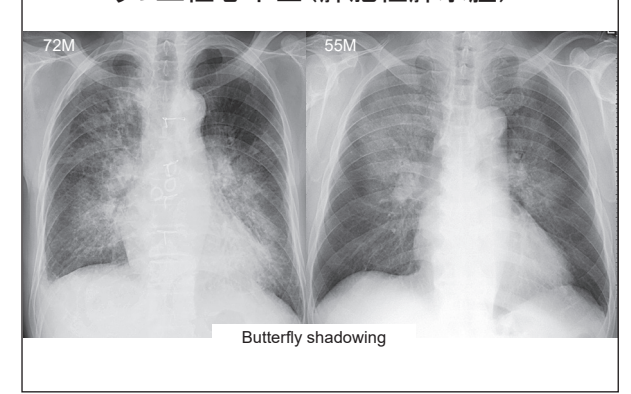
- 30~50歳代, 男女比 2:1, 喫煙者, 粉塵吸入歴
- 血液生化学検査
 - KL-6, SP-A, SP-D, LDH, CEA 髙値

12F 急性腎盂腎炎



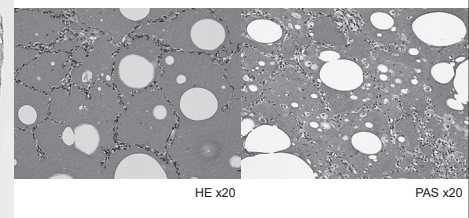
間質性肺水腫のエックス線所見 Podgy heart Hilar haze Peribronchial cuffing Kerley lines Small pleural effusions

うつ血性心不全(肺胞性肺水腫)



病理組織診断:肺胞蛋白症





血清抗GM-CSF抗体陽性

自己免疫性PAPのCT所見

- ・地図状のすりガラス影、網状影
 - 両側性
 - 下葉優位
 - ・胸膜直下は保たれる
- Crazy-paving appearance (Murch & Carr 1989)
 - すりガラス影に重なる小葉間隔壁肥厚、小葉内網状影
 - ・成因:間質の浮腫、リンパ管や静脈拡張、小葉や細葉 辺縁部の沈着

Murayama S, et al. JCAT 1999; 23:749 Johkoh T et al. Radiology 1999; 211:155

Crazy-paving



a hard surface for paths made with <u>broken</u> <u>pieces</u> of stone or concrete

ふぞろいな敷石





Crazy-paving

Crazy-paving?



ウイルス肺炎 COVID-19

急性間質性肺炎

浸潤性粘液性腺癌





癌性リンパ管症 lymphangitic carcinomatosis

- ・胃癌、肺癌、乳癌、大腸、前立腺など腺癌が多い
- ・病理:リンパ管内の腫瘍増殖、腫瘍塞栓による血管や リンパ管拡張、間質の浮腫や線維化

画像所見

- 多角形/亀甲様の小葉間隔壁肥厚、小葉中心部の粒状分枝状影
- ・ 気管支肺動脈周囲間質の肥厚
- ・ 結節状、ビーズ状の間質肥厚
- ・胸水、リンパ節腫大

Crazy-paving appearanceを示す疾患

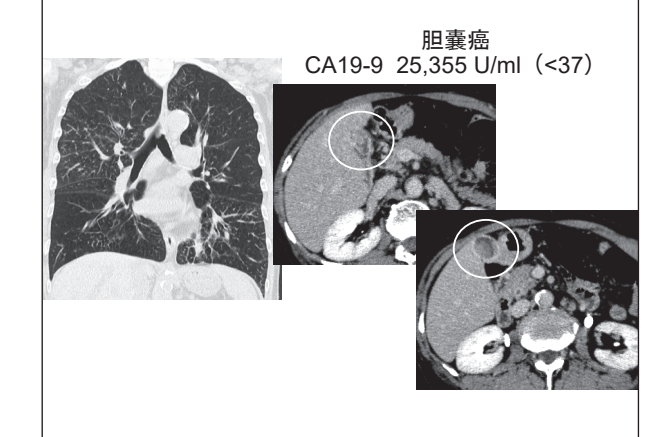
- PAP
- 肺水腫、肺胞出血
- ARDS/AIP, NSIP, OP, 薬剤性肺障害, 好酸球性肺炎
- ・リポイド肺炎
- ウイルス肺炎, PCP, マイコプラズマ, クラミドフィラ
- 浸潤性粘液性腺癌

Murayama S, et al. JCAT 1999; 23:749 Johkoh T et al. Radiology 1999; 211:155 Rossi SE et al. Radiographics 2003; 23:1509

77M 呼吸困難

- 数日前から歩行時の息切れが強くなっ
- BT 36.8℃、P 100/分、SpO₂94%
- 肺機能検査:1秒量0.85L、1秒率46.9%
- 喫煙:10本/日X52年





The beaded septum sign

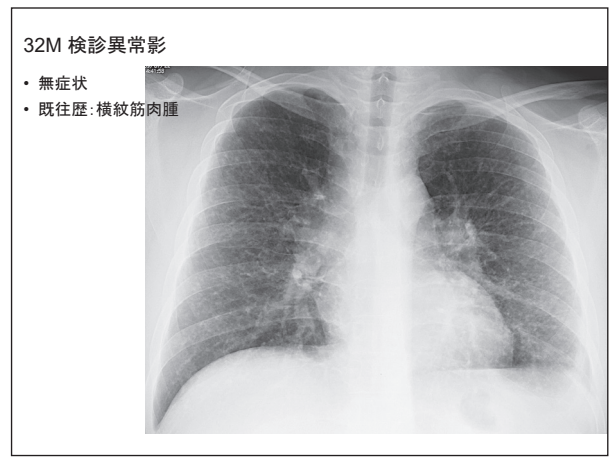
ビーズの列のような不整で結節状の小葉間隔壁肥厚

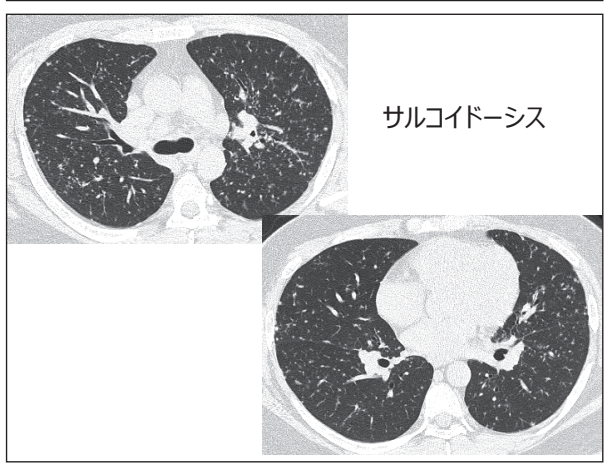
鑑別診断

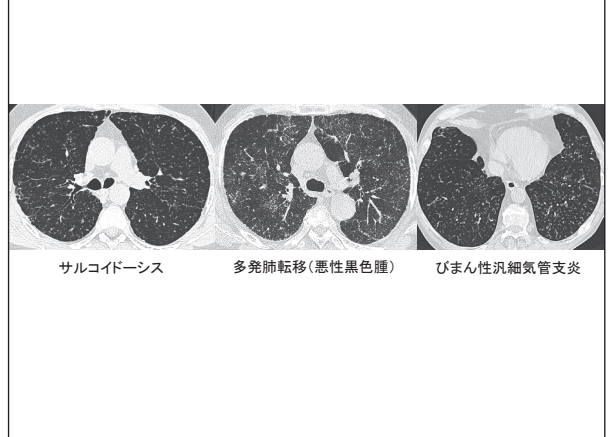
- ・癌性リンパ管症
- ・サルコイドーシス
- ・リンパ増殖性疾患、リンパ腫
- ・珪肺
- Kaposi肉腫
- ・アミロイドーシス

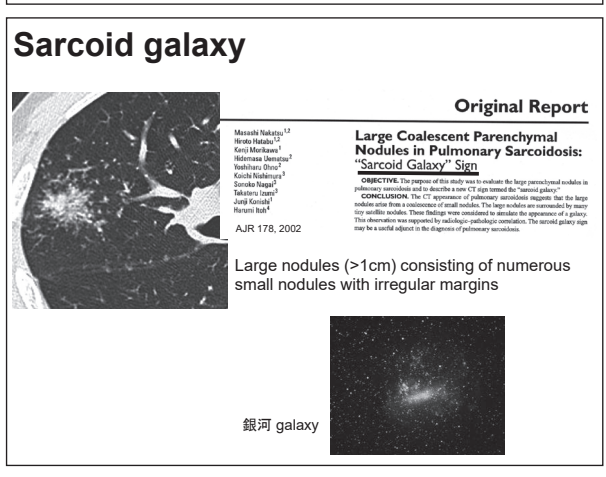


53M 癌性リンパ管症(肺腺癌)



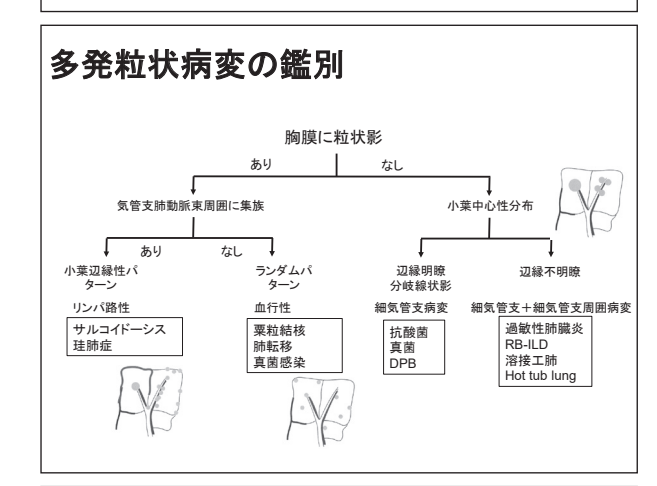


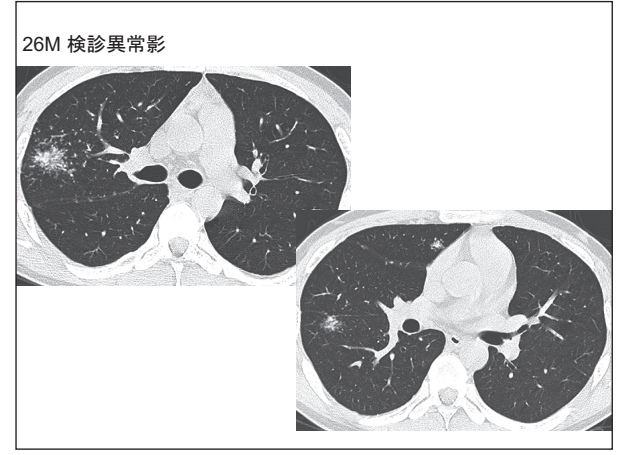


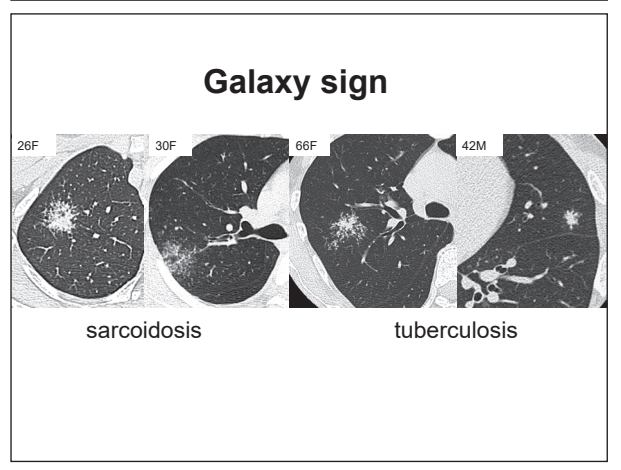


多発粒状影の鑑別診断(エックス線)

上中肺野優位	下肺野優位	全肺野
サルコイドーシス	ヘモジデローシス(慢性期)	粟粒結核
珪肺症	びまん性汎細気管支炎	転移性腫瘍
肺結核	特発性肺線維症	癌性リンパ管症
ランゲルハンス細胞組織球症	肺胞微石症	水痘肺炎





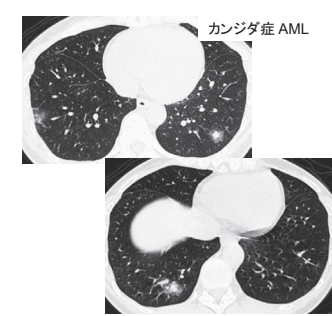




免疫不全患者におけるCT halo sign

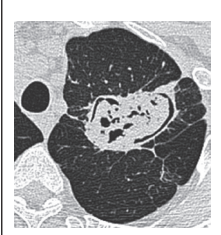
- ・アスペルギルス(血管侵襲性アスペルギルス症)
- ムコール(接合菌)
- ・カンジダ
- ・サイトメガロウイルス

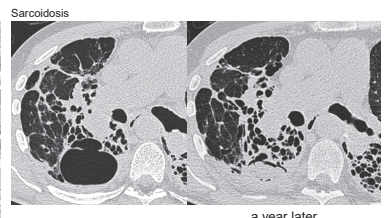


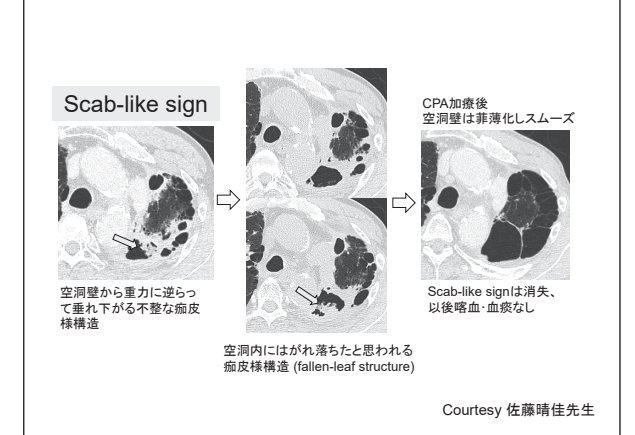


Air crescent signスリット状/環状のガス像

- ・血管侵襲性アスペルギルス症(IPA)の回復期
- 菌球型アスペルギルス症(アスペルギローマ、fungus ball)







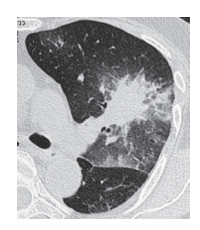
CT halo sign



- ・中心部の充実性結節やコンソリデーションと周囲のす りガラス影
- ・血管侵襲性アスペルギルス症の早期像と報告
- 充実部分: 梗塞や壊死、すりガラス影: 出血

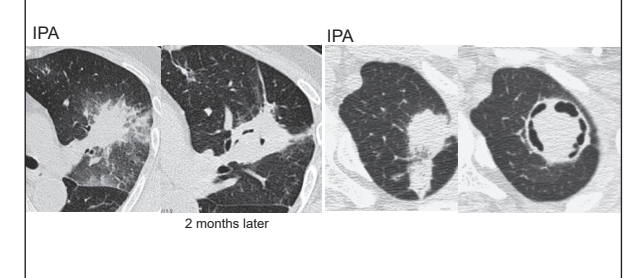
Janet E. Kuhlman, M.D. Elliot K. Fishman, M.D. Stanley S. Siegelman, M.D.

Invasive Pulmonary Aspergillosis in Acute Leukemia: Characteristic Findings on CT, the CT Halo Sign, and the Role of CT in Early Diagnosis¹



Air crescent signスリット状/環状のガス像

- ・血管侵襲性アスペルギルス症 IPAの回復期
- ・菌球型アスペルギルス症(アスペルギローマ、fungus ball)



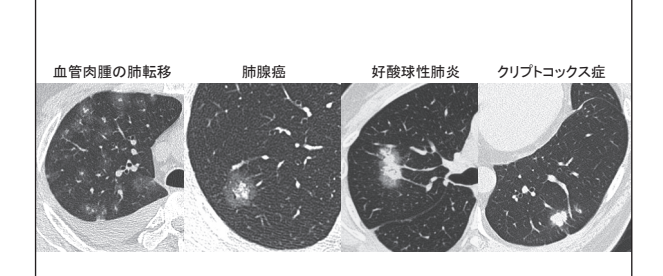
Scab-like sign

- ・慢性進行性肺アスペルギルス症において<u>喀血を予測するCT所見</u>
- ・重力に逆らって空洞壁に存在するいびつな「かさぶた様 構造」
- 病理所見との対比でフィブリン膿性塊や血痂が証明され、 まさにかさぶたが剥がれ落ちることで喀血したと考えられる

免疫正常者におけるCT halo sign

さまざまな疾患でみられる

Halo of GGO	疾患
出血	血管炎:多発血管炎性肉芽腫症
	原発性腫瘍:Kaposi肉腫、硬化性肺胞上皮腫
	転移性腫瘍:血管肉腫、絨毛癌
腫瘍浸潤	腺癌、悪性リンパ腫(MALTリンパ腫)
炎症細胞浸潤	感染症:クリプトコックス、寄生虫、結核
	非感染:好酸球性肺疾患、器質化肺炎、リポイド肺炎

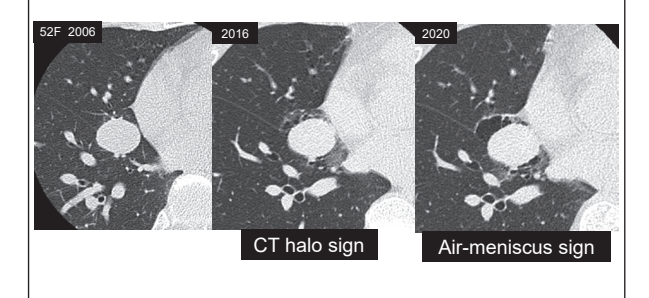


硬化性肺胞上皮腫のCT所見

- 辺縁平滑、境界明瞭な充実性結節
- 胸膜近傍、直下
- 石灰化はまれ
- ・著明な造影効果(haemangiomatous component)

強く疑う所見

- 結節近傍のすりガラス影(出血):CT halo sign
- ・結節内部にair-cleft1)
- ・結節周囲の気腫性変化²⁾³⁾-air meniscus sign
- 1) Takatani et al. AJR 2007; 189:W26-28
- 2) Bark et al. Radiology 1978; 128:27-29 3) Nam et al. JCAT 2002; 26:358-361
- 硬化性肺胞上皮腫



Reversed (CT) halo sign/Atoll sign

Sang Jin Kim¹ Kyung Soo Lae² Young Hoon Ryu¹ Young Cheol Yoon³ Kyu Ok Choe³ Tae Sung Kim² Ki Jun Sung⁴

Reversed Halo Sign on High-Resolution CT of Cryptogenic Organizing Pneumonia: Diagnostic Implications AJR 180, 2003



- 特発性器質化肺炎 (COP) の19%にみられた
- GPA、EGPA、浸潤性粘液性腺癌、慢性好酸球性肺炎ではみられなかった

Zompatori M, et al.

Bronchiolitis obliterans with organizing pneumonia (BOOP), presenting as a ring-shaped opacity at HRCT (the atoll sign). A case report. Radiol Med (Torino) 97:308-310, 1999.

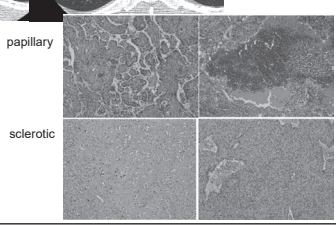
硬化性肺胞上皮腫 sclerosing pneumocytoma

- 旧名 sclerosing haemangioma (WHO 2015)
- ・良性肺腫瘍の10%
- 女: 男 = 5:1, 中年
- 80% 無症状
- ・ 非常に緩徐に増大 (Volume doubling time 平均1254 days*)
- ・ <5% リンパ節転移(ただし予後に影響なし)
- ・4つの組織像が混在
 - Papillary, sclerotic, solid, haemangiomatous (haemorrhagic)

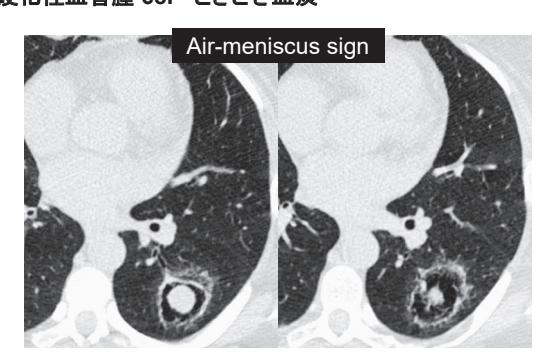
* 平井ほか 日呼外会誌 1993: 7:547

34F 硬化性肺胞上皮腫





硬化性血管腫 68F ときどき血痰



Atoll sign/Reversed CT halo signを呈する疾患

感染症

- - 真菌

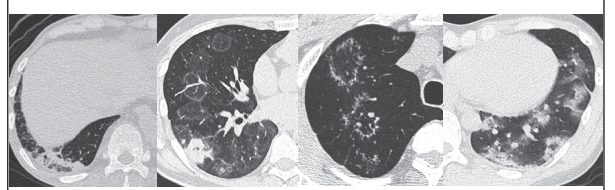
 - ・ アスペルギルス ・ パラコクシジオイデス
- 結核
- ウイルス(COVID-19)
- ニューモシスチス肺炎
- ・レジオネラ、肺炎球菌

Godoy et al. Br J Radiol 2012; 85:1226

非感染/非腫瘍性疾患

- 器質化肺炎
- 慢性好酸球性肺炎
- NSIP
- サルコイドーシス
- 多発血管炎性肉芽腫症 (GPA)
- Lymphomatoid granulomatosis
- リポイド肺炎
- 肺水腫
- 肺塞栓/肺梗塞

Atoll signを呈する疾患 一<u>感染症</u>-

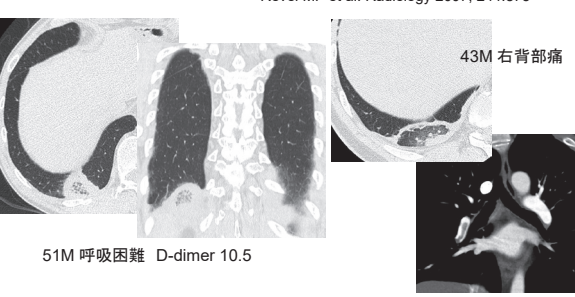


血管侵襲性アスペルギルス パラコクシジオイデス症

亥症 COVID-19肺炎

Atoll signを呈する疾患 一<u>肺梗塞</u>ー

下葉・胸膜直下のRHSは肺梗塞を示唆するきわめて有用な所見 Revel MP et al. Radiology 2007; 244:875



肺胞性肺炎: 肺炎球菌、クレブシエラ、レジオネラ





肺炎球菌

クレブシエラ

コンソリデーション主体の非感染性疾患

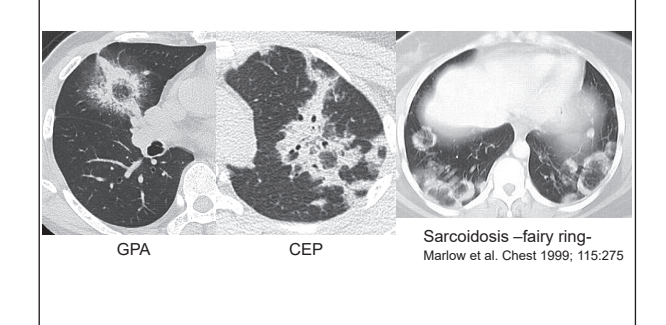
腫瘍

- 肺癌(潤性粘液性腺癌)
- 転移性腫瘍(粘液産性)
- ・悪性リンパ腫

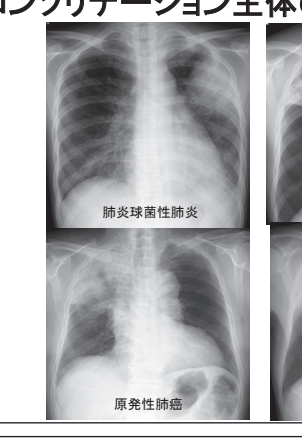
非腫瘍性

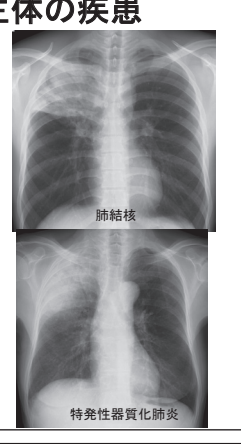
- •器質化肺炎
- 慢性好酸球性肺炎
- 肺水腫
- 多発血管炎性肉芽腫症
- DAD/ARDS • 遊刘炒時陪宴
- 薬剤性肺障害
- 放射線肺臓炎

Atoll signを呈する疾患 - 非感染性疾患-



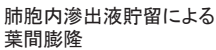
コンソリデーション主体の疾患

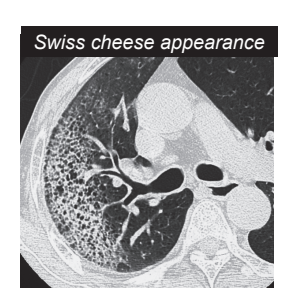




おぼえておきたいCTサイン(肺胞性肺炎)







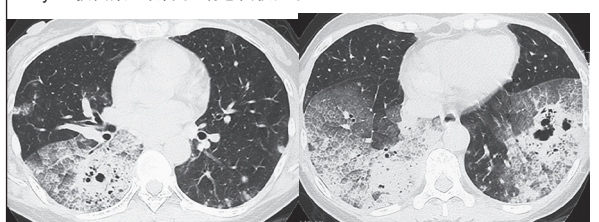
肺気腫による虫食い様穴あき

49F 発熱、喀痰

- 1週間ほど前から38-39℃台の 発熱と喀痰
- 37.5°C, SpO₂ 93.9%
- WBC 10200, CRP 3.7
- PaCO₂ 35.6, PaO₂ 69.9 Torr
- 両側下肺野に水泡音を聴取



Day10 抗菌薬で改善なく有意菌検出なし



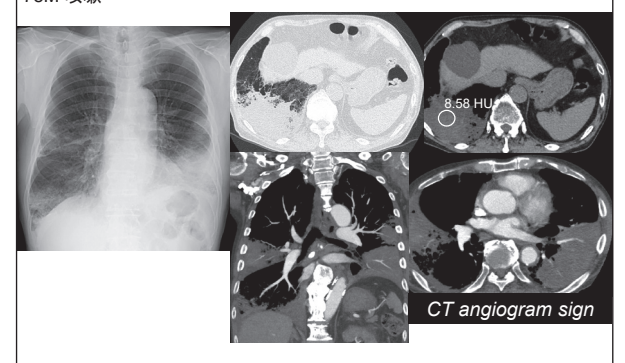
TBLB: Adenocarcinoma

Bubble-like low density (pseudocavity): 肺腺癌を疑う





78M 咳嗽



器質化肺炎と慢性好酸球性肺炎のCT所見

	器質化肺炎	慢性好酸球性肺炎
主な所見	非区域性コンソリデー	ーション・すりガラス影
分布	胸膜直下や気管支血管束周囲 下肺にやや多い	胸膜直下 肺尖、上肺野胸膜直下に多い
器質化所見	しばしばみられる	通常みられない
副所見	Atoll sign perilobular pattern	Atoll sign 胸膜に平行な帯状・板状影

器質化所見: 陰影内部の軽度の気管支拡張、構造改変、容積減少

CTでの鑑別は難しい Arakawa et al. AJR 2001; 176:1053

CT所見: 浸潤性粘液性腺癌 invasive mucinous AdCA (IMA)

- ・非区域性コンソリデーション、すりガラス影
 - 下葉優位
 - 小葉内網状影
 - 空洞、bubble-like low density
- 経気道性転移
 - 小葉中心性粒状影
 - 小結節
- CT angiogram sign

Akira et al. AJR 1999;173:1623 Kim TH Eur Radiol 2006;16:1763

CT angiogram sign

- ・造影CT:陰影内を肺血管が枝分かれしながら3cm以上 みられる所見
- 浸潤性粘液性腺癌に特異性が高い(92.3%)と報告 -Im JG et al Radiology 1990; 176:749
- 肺炎、閉塞性肺炎、リポイド肺炎、悪性リンパ腫、肺水腫 などでも認められる -Murayama et al JCAT 1993; 17:609

器質化肺炎と慢性好酸球性肺炎

76F 発熱、咳嗽、黄色痰

36M 咳嗽



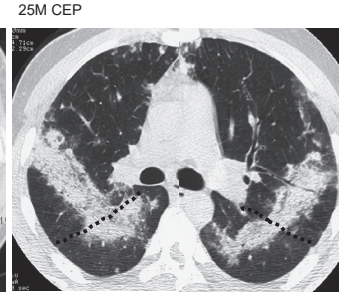
特発性器質化肺炎

慢性好酸球性肺炎

Crossing fissure sign

葉間胸膜を介して連続するコンソリデーション 器質化肺炎や慢性好酸球性肺炎でみられる(他疾患との鑑別に有用)

58F OP (乳房温存療法後)





肺クリプトコックス症

- ・ Cryptococus neoformans (まれにC. gattii)
- 37℃で増殖、厚い莢膜(Mφ貪食に抵抗)
- 鳥の糞に汚染された土壌
- 経気道的吸入→末梢肺胞領域に初感染巣
- 免疫正常:免疫低下=1:1
- ・細胞性免疫が関与(T細胞、マクロファージ)・HIV、糖尿病、悪性腫瘍、ステロイド、血液疾患
- 内因性再燃もある?
- 診断

 - ・ 病理組織 ・ 血清クリプトコックス抗原: 感度>80%、特異度>90%(単発結節は陽性率低い) ・ B-D-グルカンは通常陰性

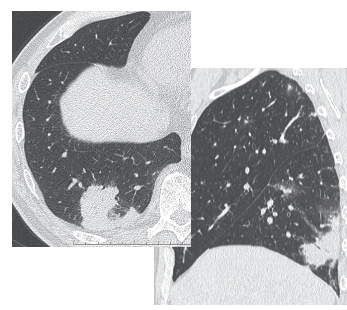
Lortholary et al. Semin Respir Crit Care Med 2004; 25:1241

コンソリデーション (OP like)

37M 異常陰影 鳩飼育 クリプト抗原陽性

72M: 咳嗽 クリプト抗原陽性





おぼえておきたい画像所見やサイン(本日の内容)		
所見	代表的な疾患	
リンパ路間質の異常	急性好酸球性肺炎、肺水腫、サルコイドーシス、リンパ増殖性疾患など	
Crazy-paving appearance	肺胞蛋白症	
Beaded septum sign	癌性リンパ管症、サルコイドーシスなど	
Galaxy sign	サルコイドーシス、肺結核	
CT halo sign	器質化肺炎ほか多数	
Air crescent sign	アスペルギローマ、血管侵襲性アスペルギルス症(回復期)	
Scab-like sign	喀血のリスク(慢性肺アスペルギルス症)	
Air meniscus sign	硬化性肺胞上皮腫	
Atoll sign reversed CT halo sign	器質化肺炎、ムコール症、肺梗塞など	
Bulging fissure sign	肺胞性肺炎、浸潤性粘液性腺癌	
Swiss cheese appearance	肺胞性肺炎(肺気腫)	
Bubble-like low density (pseudocavity)	肺腺癌	
CT angiogram sign	浸潤性粘液性腺癌ほか多数	
Crossing fissure sign	器質化肺炎、慢性好酸球性肺炎	
同一肺葉内多発結節	肺クリプトコックス症	

画像所見:肺クリプトコックス症

- 多発性 or 孤立性
 - 辺縁:整~不整、スピクラ
 - 空洞化(40%)
 - Halo sign
 - ・ 下葉の胸膜直下
 - ・ 同一肺葉内に多発
- ・コンソリデーション
 - ・器質化肺炎(OP)パターン
 - ・ 辺縁整な肺炎様均等影

芦澤ら. 臨床放射線 2006; 51:91. 古谷ら. 臨床放射線 2018; 63:1.

鑑別診断

肺癌

肺転移

抗酸菌/真菌症/ノカルジア/放線菌

器質化肺炎

多発血管炎性肉芽腫症

細菌性肺炎

悪性リンパ腫

同一肺葉内多発結節

76M: 異常陰影(無症状)



Conclusions

- •「この疾患で決まり!」という画像所見は限られる
- さまざまな疾患が同様の画像所見を呈する
- ・いくつかの特徴的な画像所見やサインを知ることで診 断を絞り込める

11月1日(金)

イブニングセミナー

I:「CT造影技術

— 冠動脈 CTA と可変注入における Time Enhancement Curve (TEC) の変化 —」

Ⅱ:「心筋を診る: MRI対 CT どっちを選ぶ?」

イブニングセミナー

イブニングセミナー-I



長野赤十字病院 放射線診断科部 室賀 浩二

CT造影技術

一 冠動脈 CTA と可変注入における Time Enhancement Curve (TEC) の変化 一

冠動脈CTAの造影剤投与は、造影剤注入時間が短いことが特徴である。動脈の造影効果は多くの因子が影響するが、その影響は注入時間によって変化する。可変注入は注入速度を連続的に変化させる注入法で、注入速度一定で注入する1相注入では限界であったTECが形成でき、効果的な造影剤投与が期待できる。今回、注入時間の違いがTECに与える影響の変化と、可変注入によるTECの特徴について解説する。

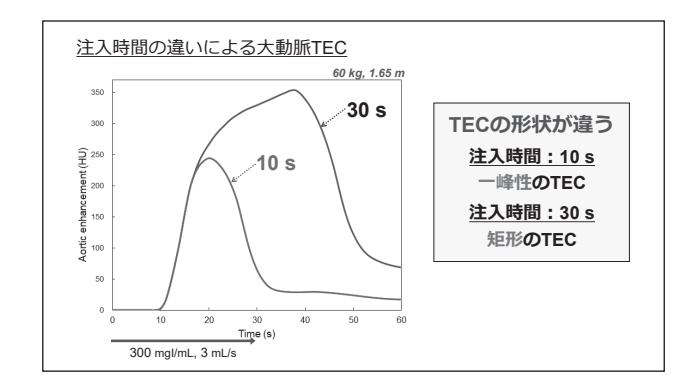
本日の内容

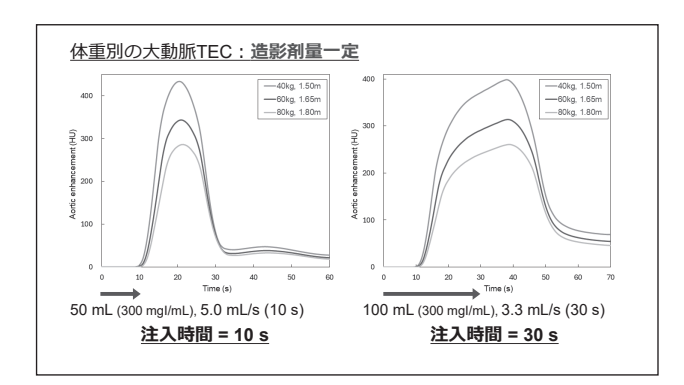
CT造影技術

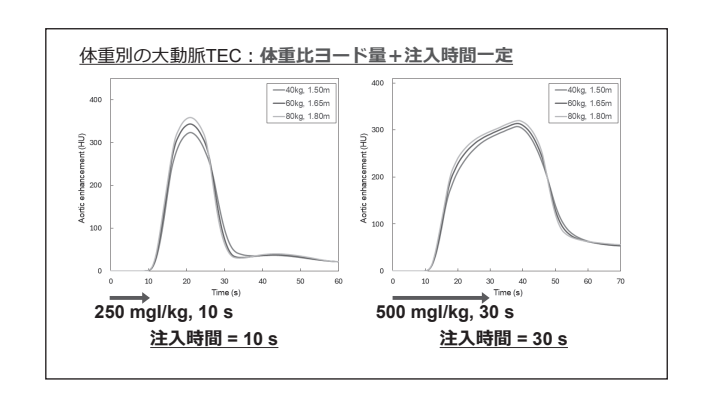
- 冠動脈 CT angiography (CTA)
 - 体幹部造影CT、肝Dynamic CT: **注入時間** ≧ **25** s
 - ・ 冠動脈CTA: 注入時間 ≦15 s (短時間注入)
 → 注入時間によるTECの変化
- 可変注入

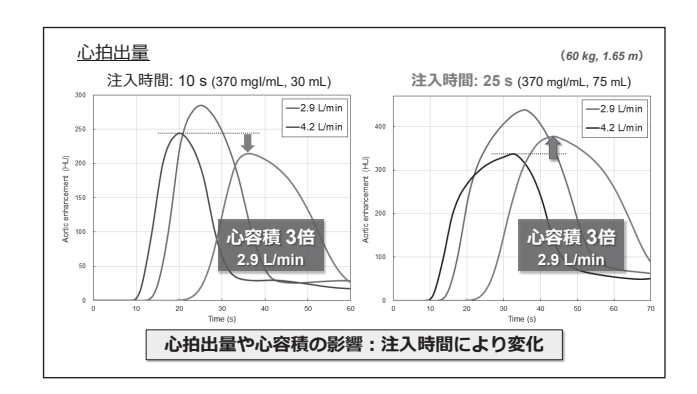
注入速度を連続的に変化させて注入する方法

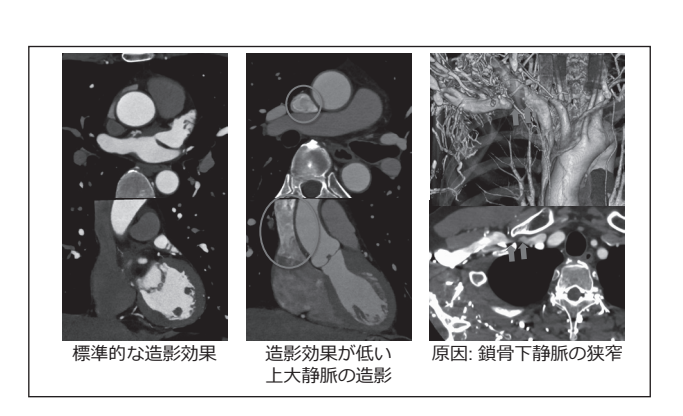
→ TECの形状 (ピーク時間, 最大CT値) を変化できる

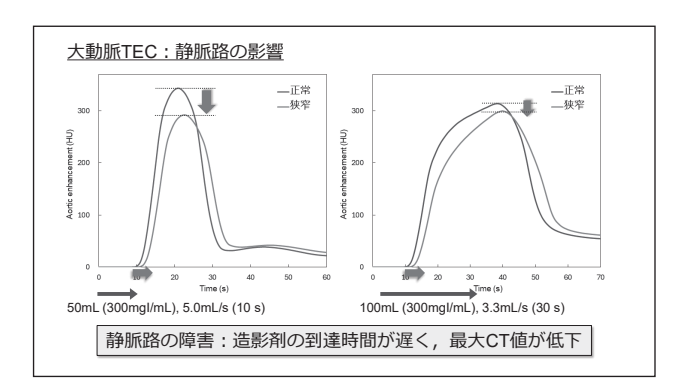












冠動脈CTA (注入時間の違い) のまとめ

■ 変わらないこと

基本の注入プロトコル:体重比ヨード量,注入時間一定

■ 変わること

注入時間が短いと...

・心拍出量の影響が小さい:心拍出量による差が小さい

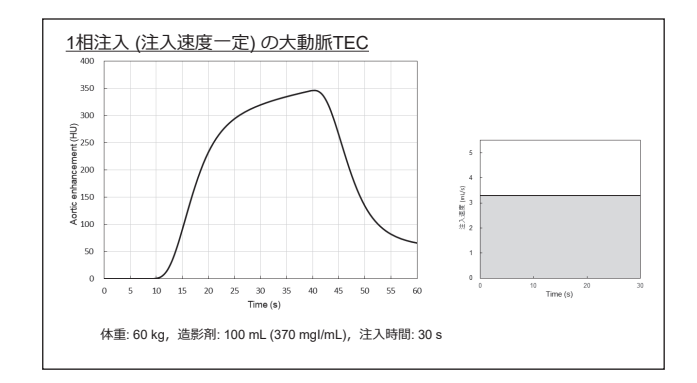
・心容積の影響が大きい:心容積が大きいと造影効果が低下

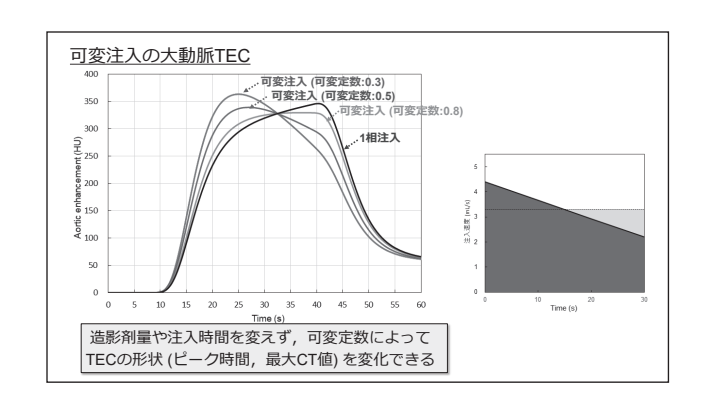
・静脈路の影響が大きい:造影効果の低下が顕著

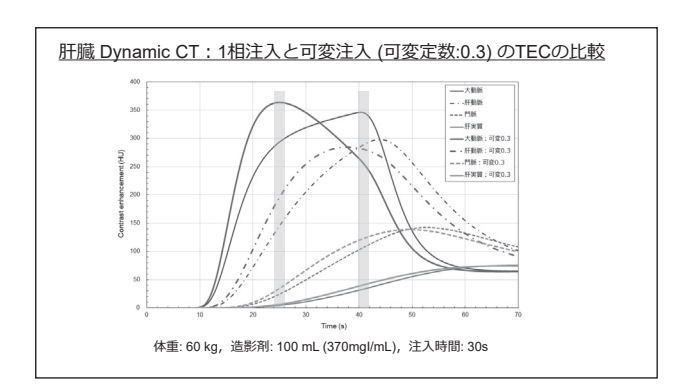
冠動脈CTA:造影効果が低いと診断能が低下

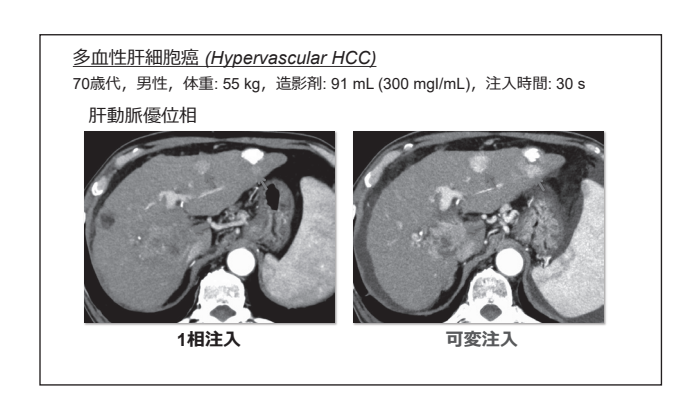
→ 心拡大・上肢の学上角度を考慮した造影剤投与が必要

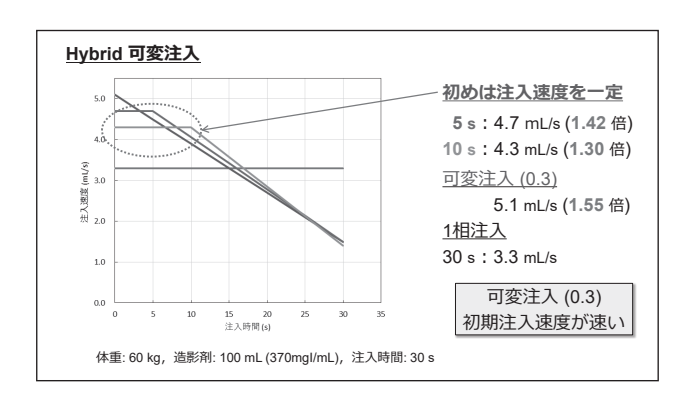
イブニングセミナー

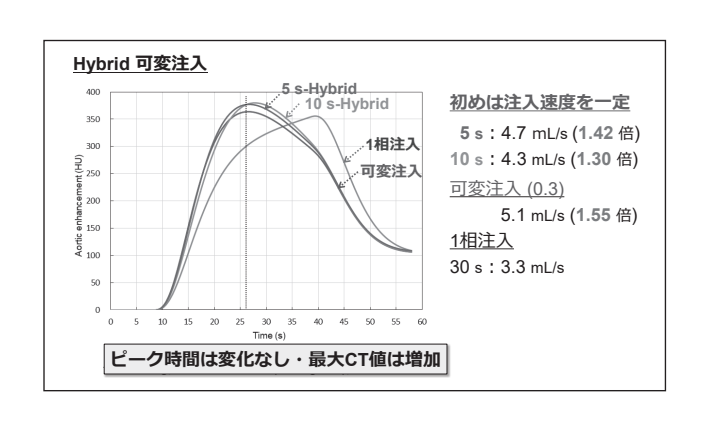


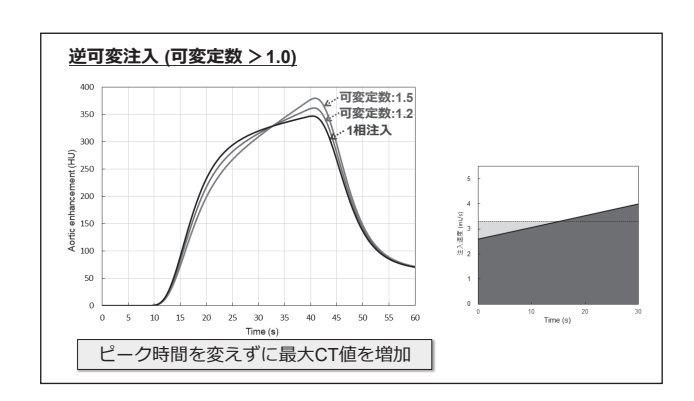












<u>可変注入のまとめ</u>
■ 1相注入 (注入速度一定)
TECの形状を変化できない
■ 可変注入 (Hybrid 可変注入), 逆可変注入
造影剤量や注入時間を変えず,
TECの形状 (最大CT値, ピーク時間) を変化できる

今後さらに多様化する診断タスクに対応
TECをオーダーメイドで調整できる

11月1日(金)

教育講演2:泌尿生殖器【領域講習2】

I:「AuntMinnie Cases 泌尿生殖器・腹膜・後腹膜」

Ⅱ:「婦人科画像、診断からくり」

教育講演2:泌尿生殖器【領域講習2】-Ⅱ



神戸大学大学院医学研究科 放射線医学分野 先進医用画像診断学部門 今岡 いずみ

婦人科画像、診断からくり

モニターを睨み、所見を探し集めていると、一つの診断が浮かび上がってくる。静かな興奮を、誰しもが感じたことがあるのではないかと思います。パーツを丁寧に組み上げて模型が姿を現すような、刻んで煮込んで料理ができあがるような。中には、どうにも代替できない「部品や材料」があって、それがなければ上手くいかないでしょう。「ホームラン」を生み出せるよう、婦人科画像診断のからくりをご一緒に考えられたらと思っております。

11月2日(土)

モーニングセミナー

進化するMRI技術 ~前立腺のAI診断の可能性と代謝のvisualization

> I:「前立腺MRI: AIとSynthetic DWIの臨床応用」 Ⅲ:「代謝の可視化: MR7700と多核種撮像の可能性」

モーニングセミナー

モーニングセミナー-[

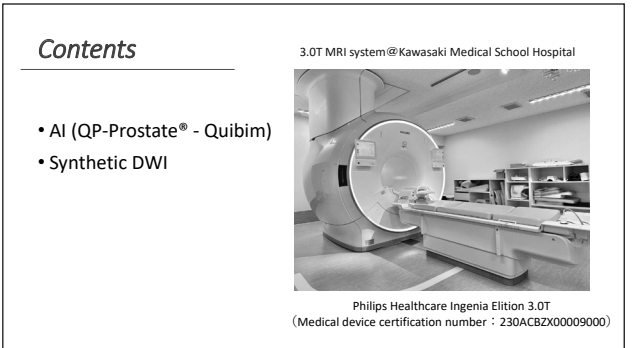


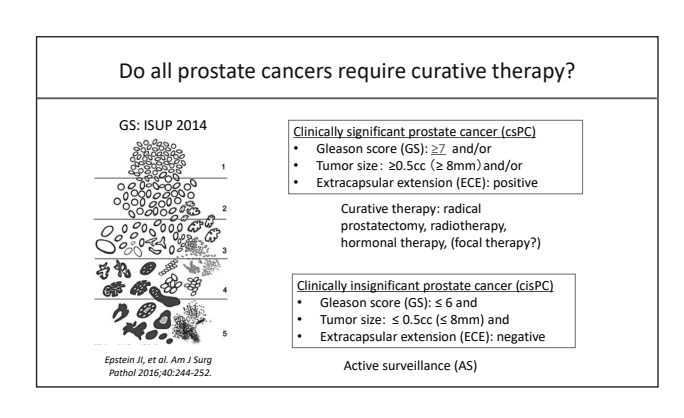
川崎医科大学 放射線診断学教室 檜垣 篤

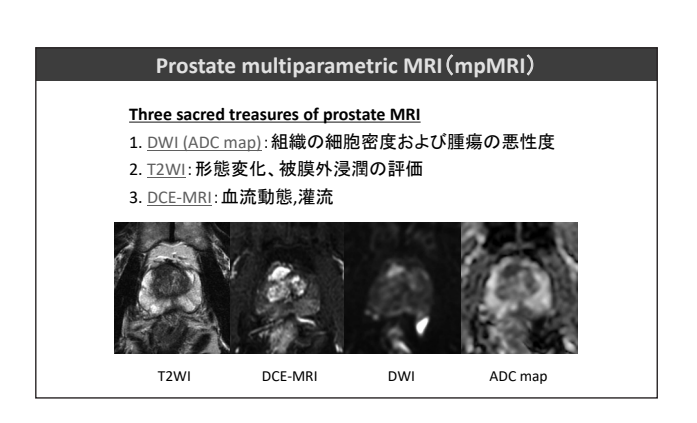
前立腺MRI: AIとSynthetic DWIの臨床応用

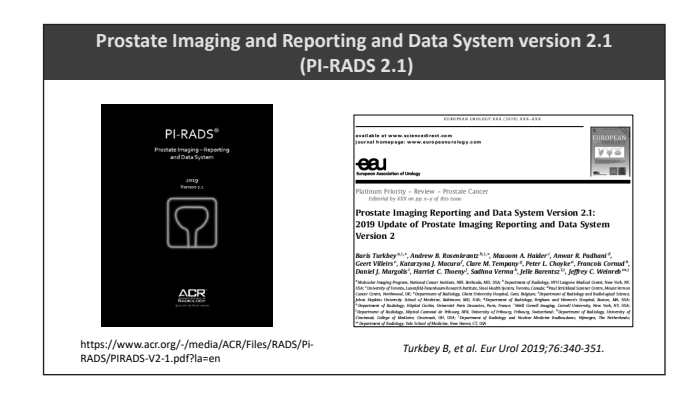
前立腺癌は男性で2番目に多い癌であり、MRIによる診断精度の向上が課題である。前立腺に特化したQP-ProstateのAIアルゴリズムは、臨床的有意癌の高リスクおよび中リスク領域を強調する。 Synthetic DWIは、腫瘍の拡散コントラストを高め、ADC、T1、T2を同時に収集する手法であり、診断精度を向上させる。本講演では、AI技術とSynthetic DWIによる臨床的有意癌の診断パフォーマンスを中心に述べる。

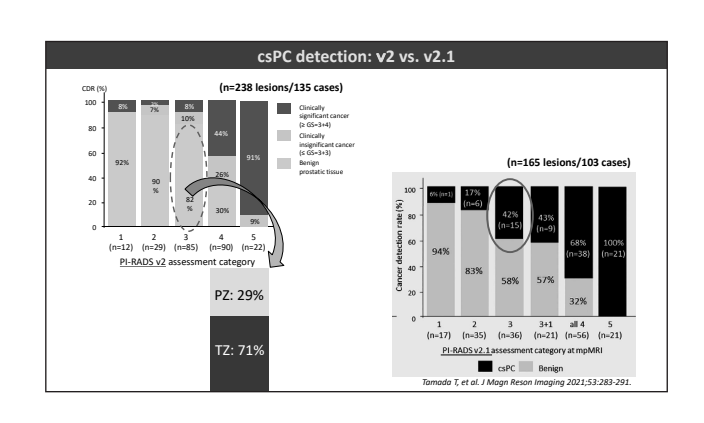




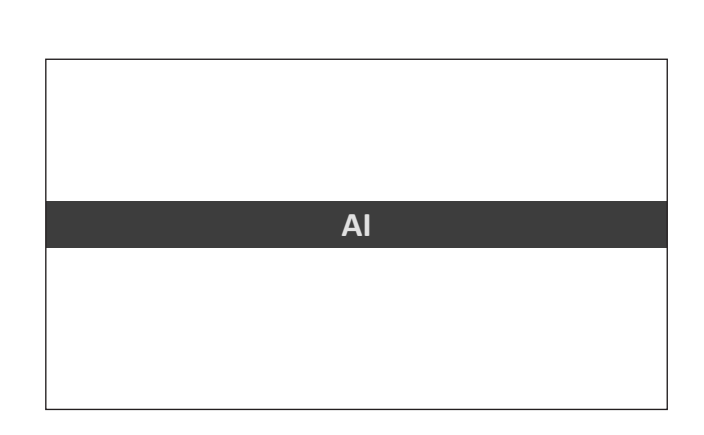








現状の課題 前立腺がん診断におけるmpMRIの課題 > 読影者間のばらつきの改善 > 高品質な実行と報告の必要性 > 費用対効果の確保 > 不必要な生検の回避 期待される新しい技術 > AI > Synthetic DWI



AIの可能性

Allは病変検出の標準化や診断補助、効率の向上に寄与できる。特に、Alは診断のセカンドリーダーとして機能し、医師の診断精度を補完する役割を果たすことが強調されている。

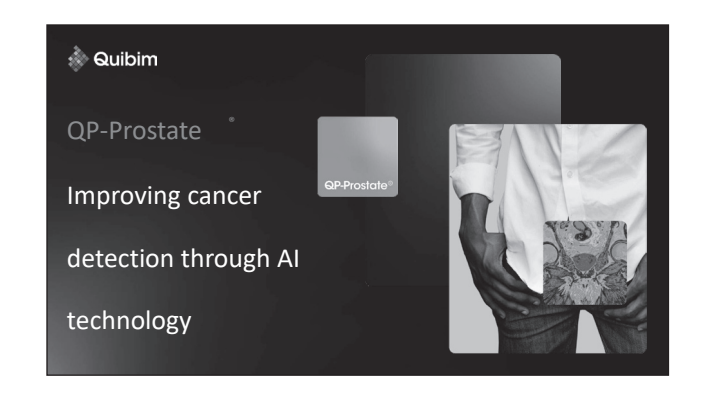
現在の成果と課題

AIモデルの診断精度はAUC 0.86(95% CI, 0.81-0.91)と報告されており、臨床的に有意な前立腺癌の検出能力が確認されている。また、AIを使用することで診断時間が21%短縮され、診断精度も向上したとされている。さらに、AIは放射線科医による読影のばらつきを減らし、病変検出を標準化する潜在力を持っている。

今後の展望

Alは前立腺MRIにおいて重要な役割を果たすことが期待されているが、さらに多様で 大規模なデータセットを用いた研究が求められている。

> 1.Turkbey, B., AJR Am J Roentgenol, 2021. 2.Hamm, B., Diagnostics, 2021.



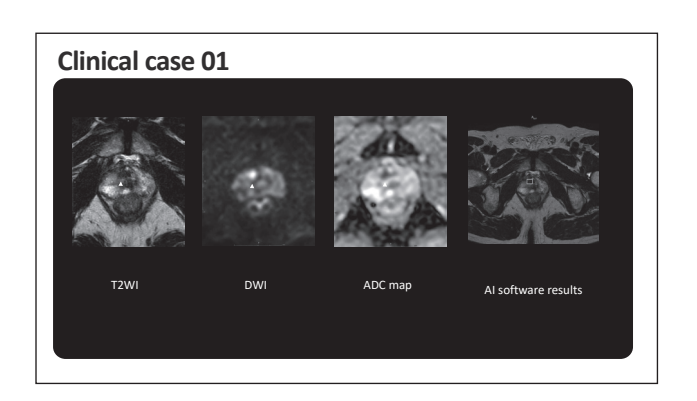


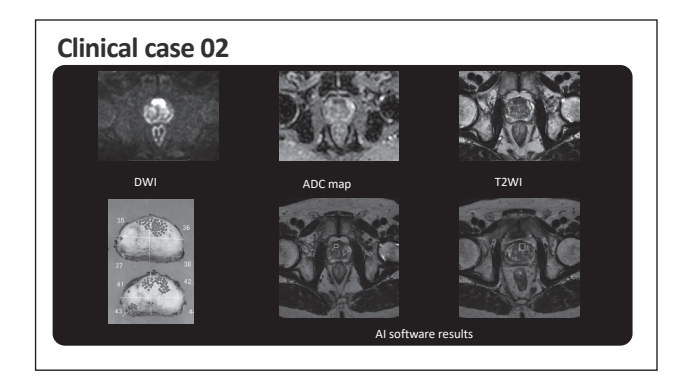


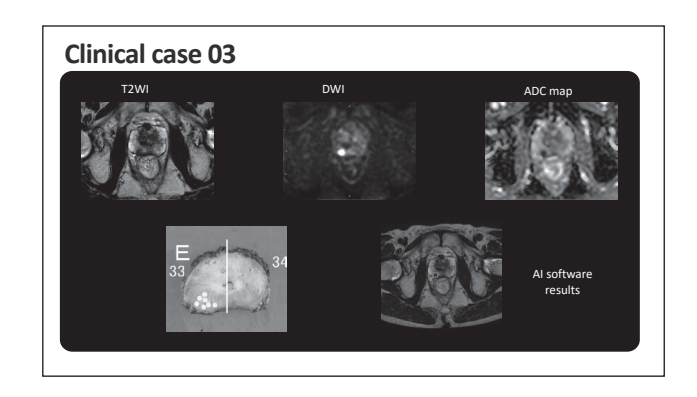




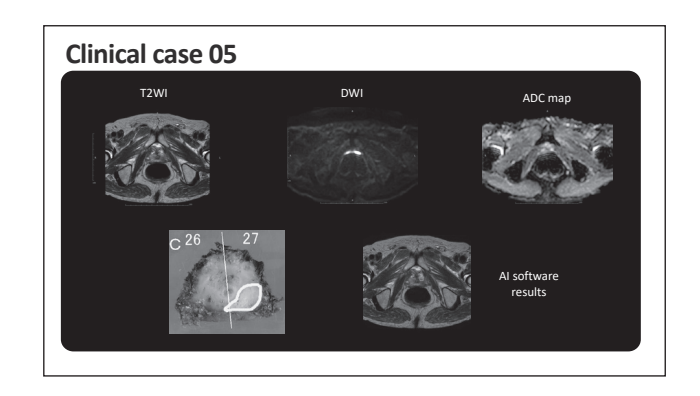


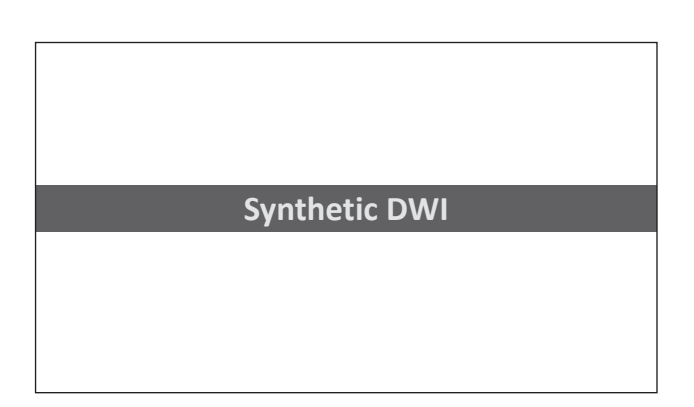


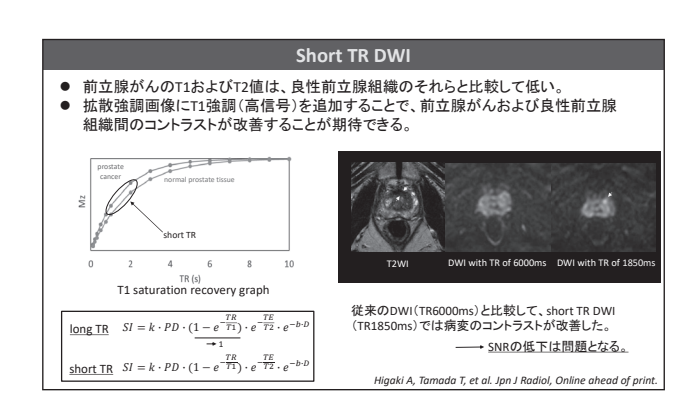


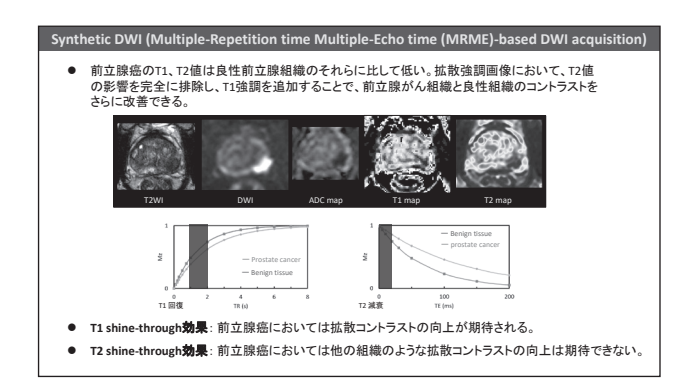


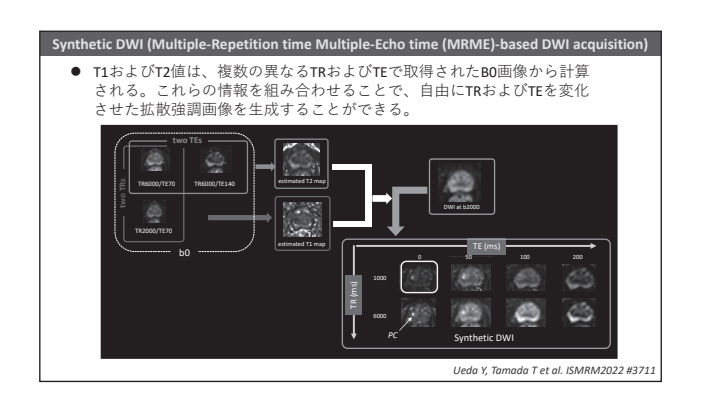




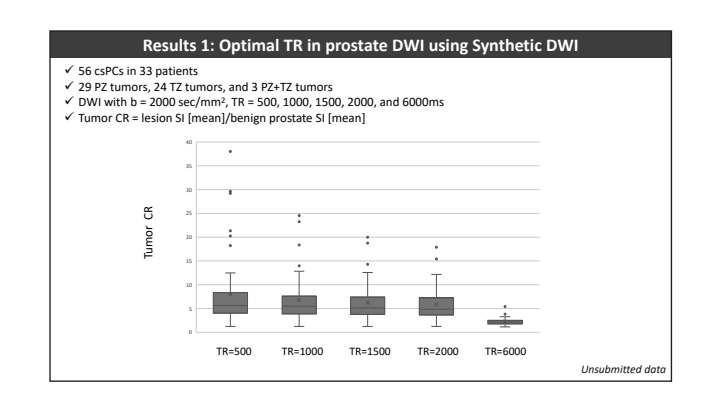






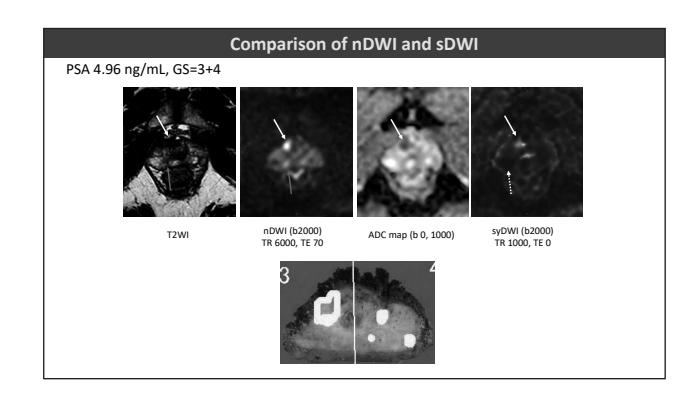


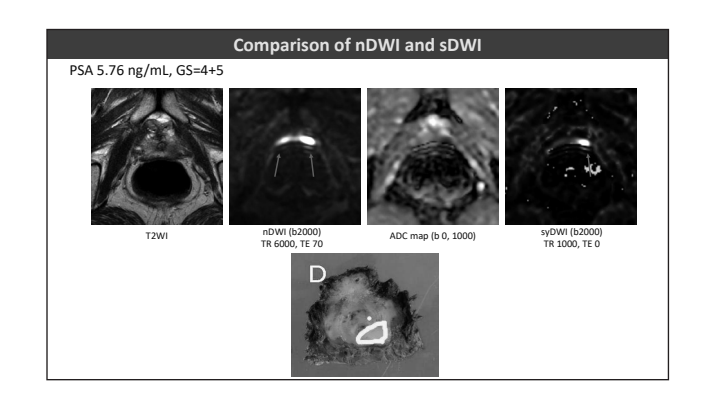
Acquisition parameters for Synthetic DWI (sDWI) and native acquired DWI (nDWI) Parameters Synthetic DWI Native DWI b-value (s/mm²) 0 1000 and 2000 0, 1000, 2000 FOV (mm²) 300 × 300 300 × 300 300 × 300 6000/70, 6000/140, TR/TE (msec) 6000/70 6000/70 and 2000/70 Acquired voxel size (mm³) $3.13\times3.13\times3.00 \quad 3.13\times3.13\times3.00 \quad 3.13\times3.13\times3.00$ SENSE reduction 2 (b0), 4 (b1000), Number of signals 4 (b1000) and 8 2 (b0) 8(b2000) Scan time 4 min 06 sec 3 min 54 sec

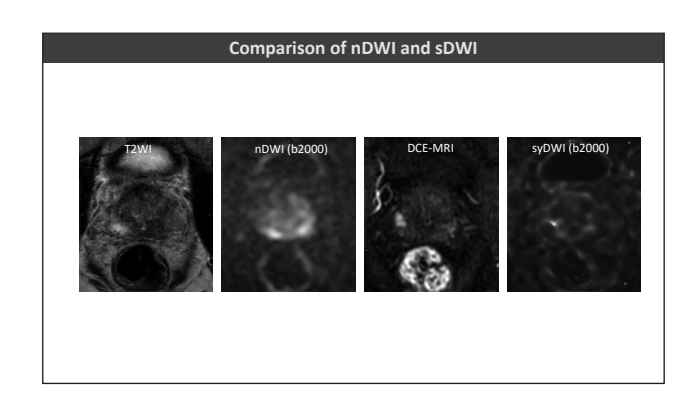


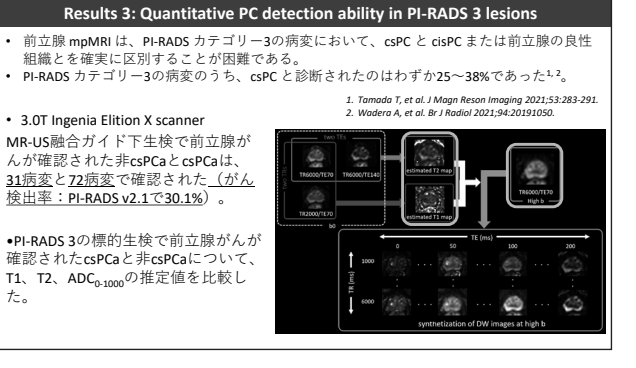
Results 1: Optimal TR in prostate DWI (Reader 1) Lesion conspicuity score (LCS): 0, low; 1, iso; 2, slightly high; 3, moderate high; 4, very high OWI score in PI-RADS v2.1: score 1 to 5 Overall image quality (10(1): 0, extremely poor; 1, poor; 2, fair; 3, good; 4, extremely good Prostate edge burring: 0, evaluation difficulty; 1, strong; 2, moderate; 3, slight; 4, none Prostate edge burring: 0, evaluation difficulty; 1, strong; 2, moderate; 3, slight; 4, none Prostate background signal: 0, very high; 1, moderate high; 2, mild high; 3, slightly high; 4, low 3.8 vs. 3.9 3.8 vs. 3.8 3.8 vs. 3.8 LCS P<0.00 3.6 vs. 1 3.9 3.6 vs. 3.9 3.6 vs. 3.9 3.9 vs. 3.9 P<0.00 3.0 vs. 1 3.3 3.0 vs. 3.1 3.3 vs. 3.3 3.3 vs. 3.1 OIQ Edge blurring P<0.00 3.2 vs. 1 3.6 3.2 vs. 3.7 3.2 vs. 3.1 3.2 vs. 2.7 3.6 vs. 3.7 3.6 vs. 3.1 3.6 vs. 2.7 3.7 vs. 3.1 3.7 vs. 2.7 3.1 vs. 2.7 3.7 vs. 3.4 √ The optimal TR for Prostate DWI would be 1000 ms or 1500 ms. Unsubmitted data

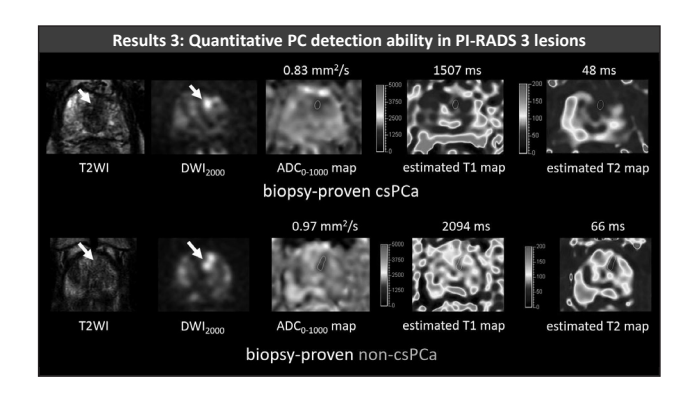


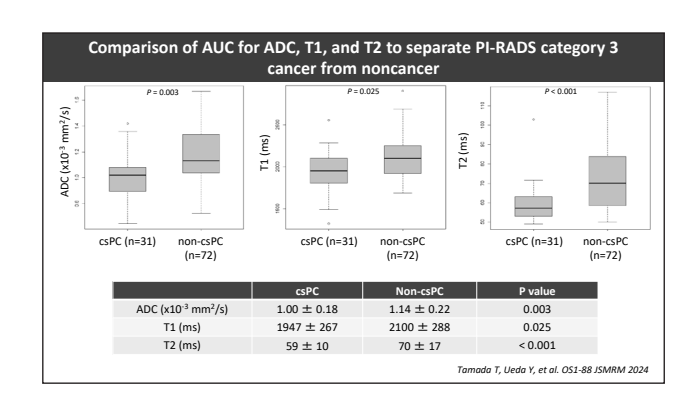




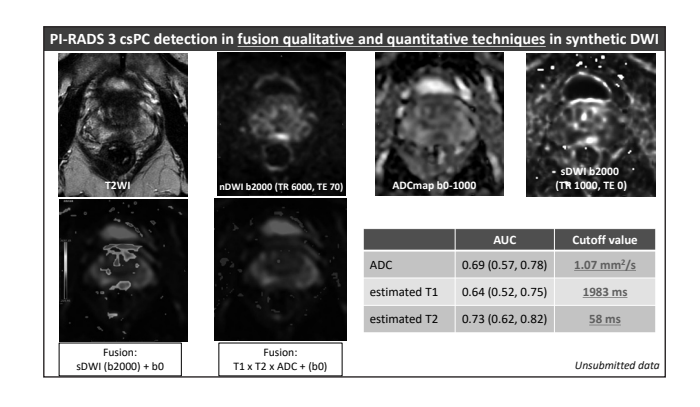








Comparison of AUC for ADC, T1, T2, and their combination to separate PI-RADS category 3 cancer from noncancer T1 0.64 (0.52, 0.75) 0.266 1983 ms 61 3 65.3 <u>0.73</u> (0.62, 0.82) 0.377 61.3 76.4 58 ms T1+T2+ADC 0.75 0.468 59.7 87.1 neses are 95% conf Tamada T, Ueda Y, et al. OS1-88 JSMRM 2024



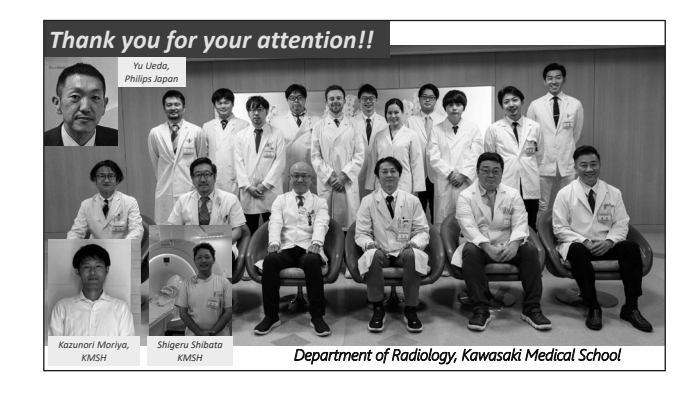
Alは前立腺がん診断において、病変の検出や分類の精度を向上させるとともに、診断のばらつきを減らし、診断時間の短縮や高リスク病変の早期発見に寄与し、放射線科医の負担を軽減する有用性を

Synthetic DWIは、従来のDWIと比較して取得時間の増加が最小限である。

持っている。

Conclusions

- > Synthetic DWIを用いた定性的評価は、診断特異性を向上させ、臨床的に重要ながんの検出において不要な生検を排除する。また、読影者間の再現性向上にも寄与する。
- Synthetic DWIでは、T1、T2、およびADCマップを同時に取得することができ、すべての画像において同じ位置にROIを設定することで定量的評価が可能となる。



モーニングセミナー-Ⅱ



鹿児島大学大学院医歯学総合研究科 放射線診断治療学 内匠 浩二

代謝の可視化: MR7700と多核種撮像の可能性

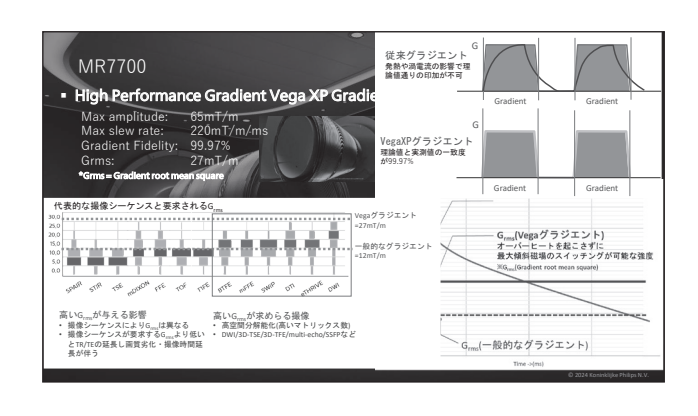
近年、MRI技術は急速に進化しており、多核種MRIがいよいよ臨床導入され、新たな可能性が拓かれることが期待されている。本講演では、Philips MR7700が提供する多核種MRI技術を用いた、体内でのリン化合物代謝情報の評価とその臨床応用の可能性について解説する。

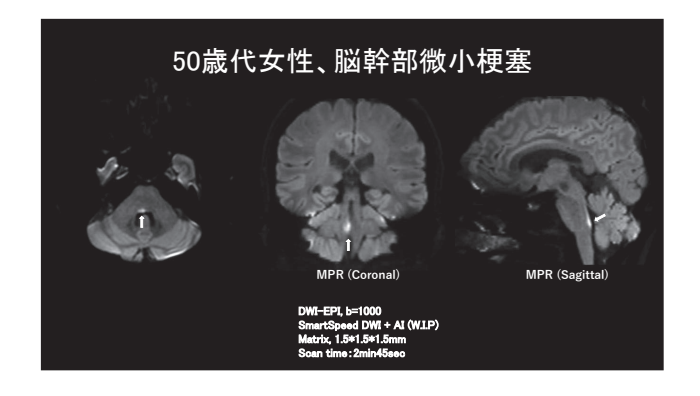
さらに、MR7700の特徴であるVega XP Gradientによる拡散強調像を中心とした画質の向上についていくつかの症例を提示して紹介する。

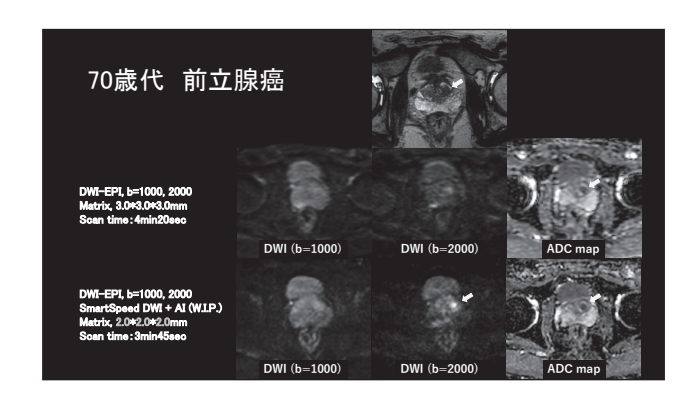


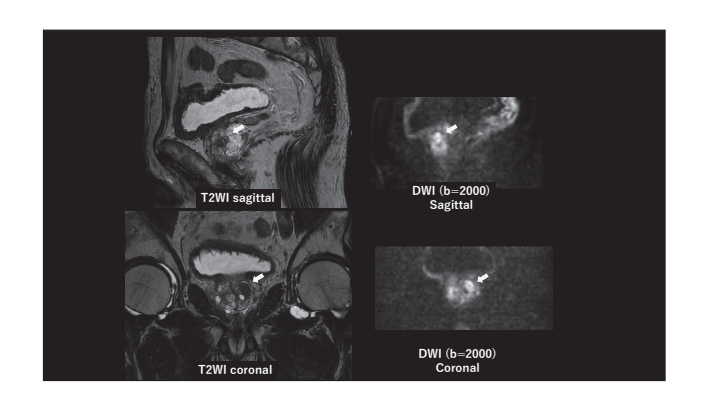
Contents ・Vega XP gradientを用いたDWI ・Multi-Nuclei imaging (²³Na, ³¹P)

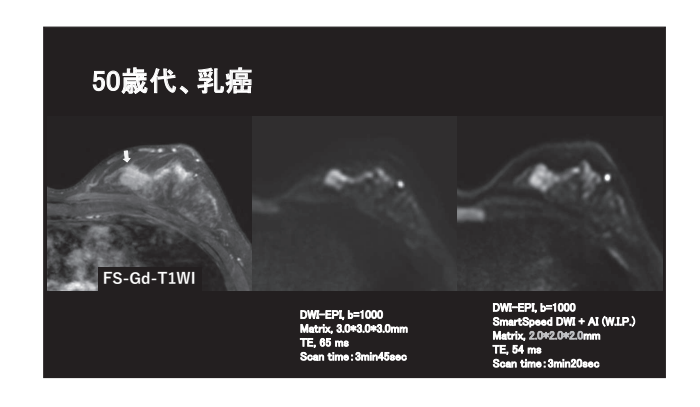


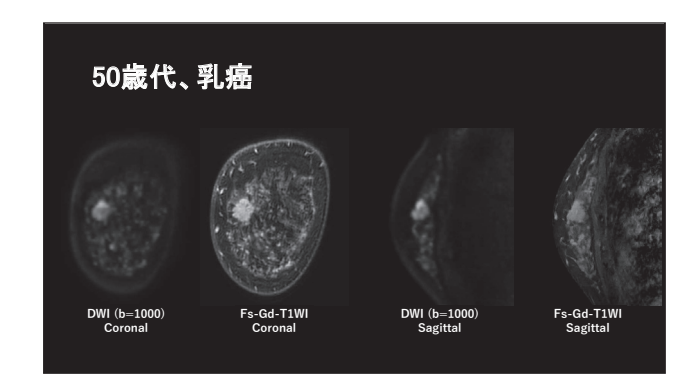


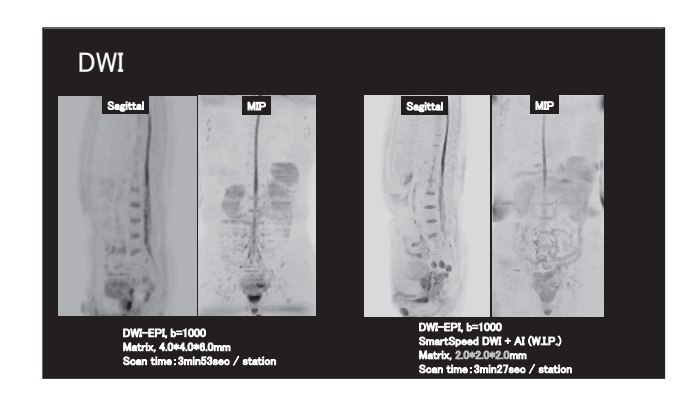


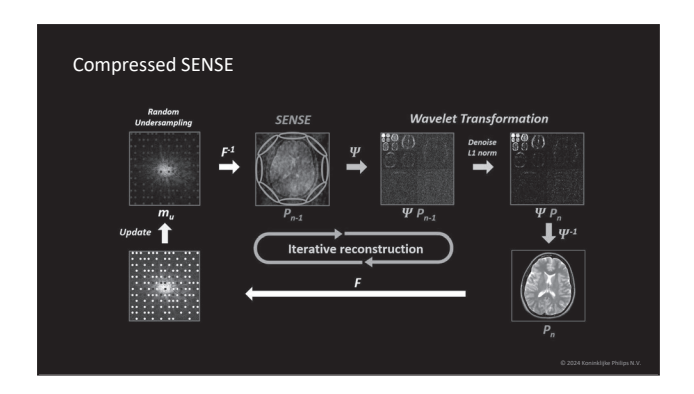


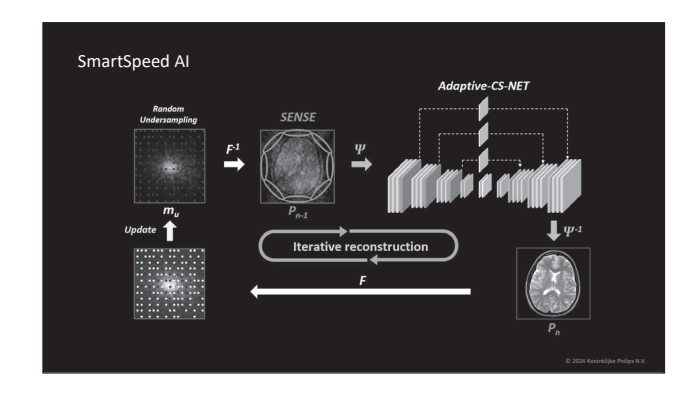


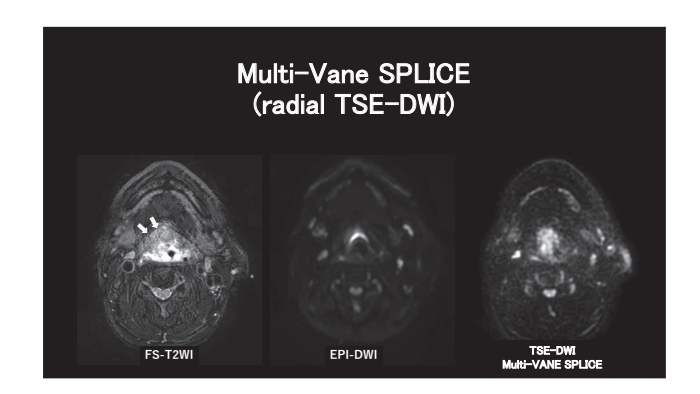


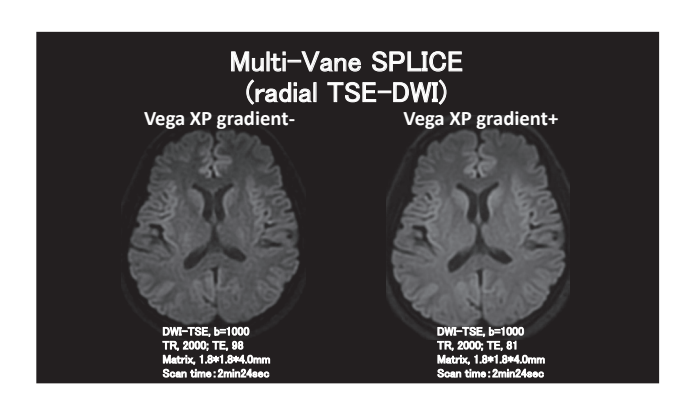






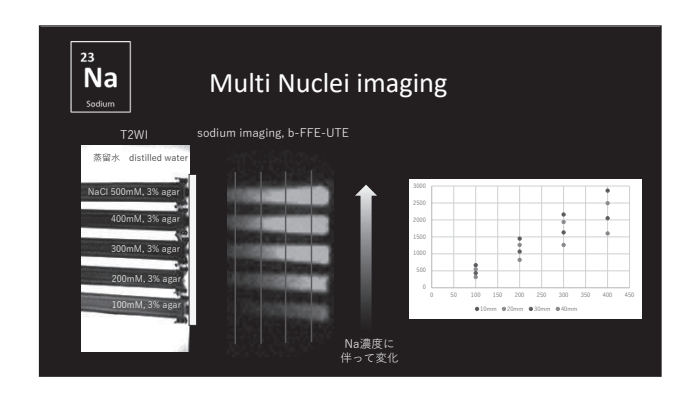


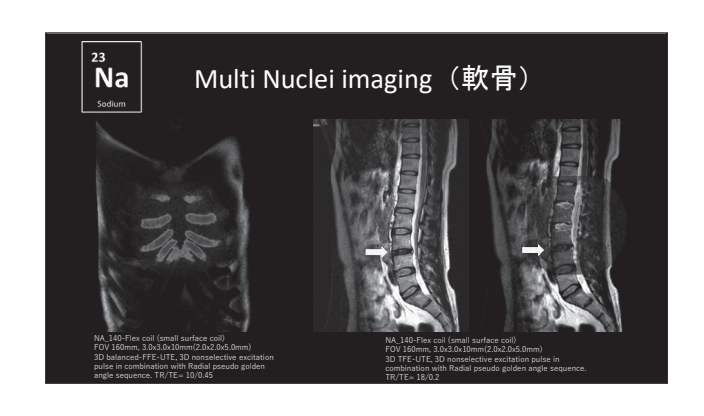


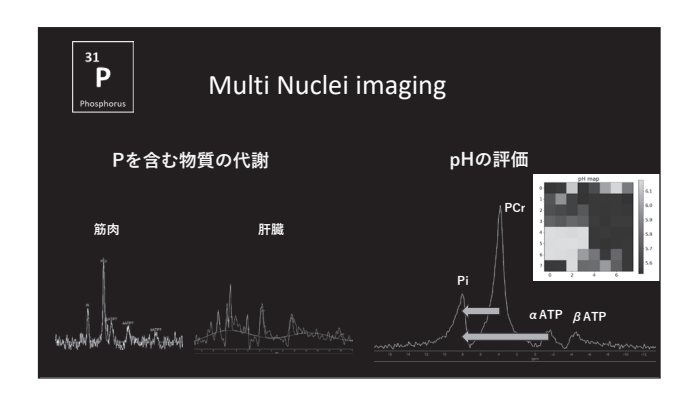


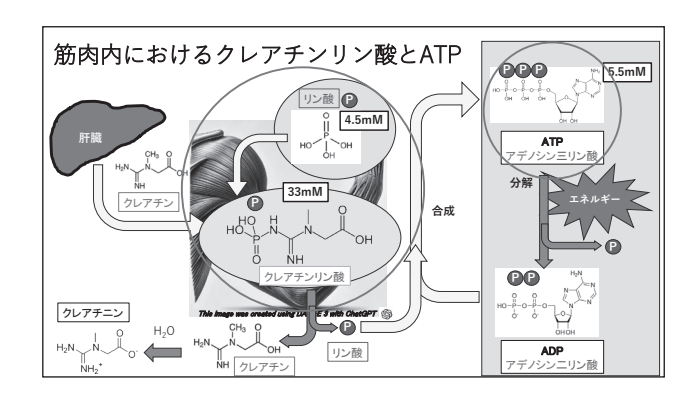


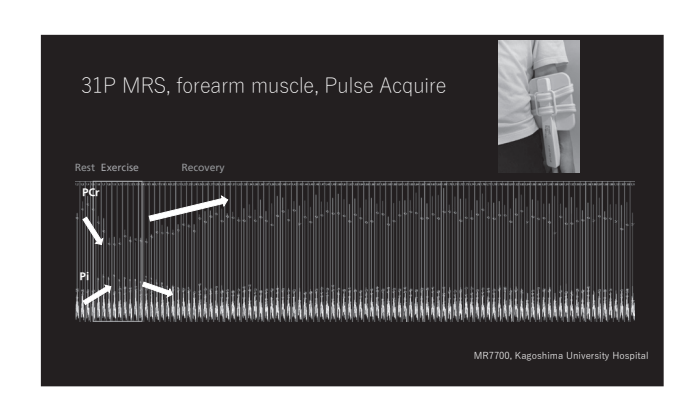


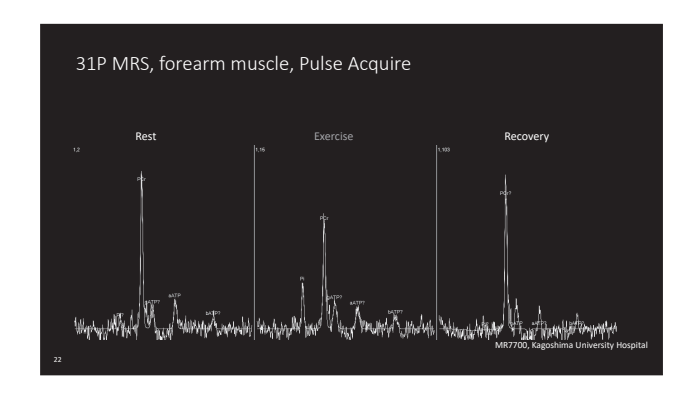


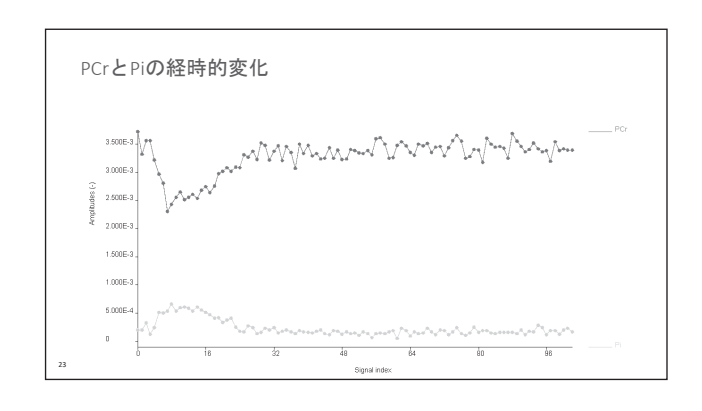


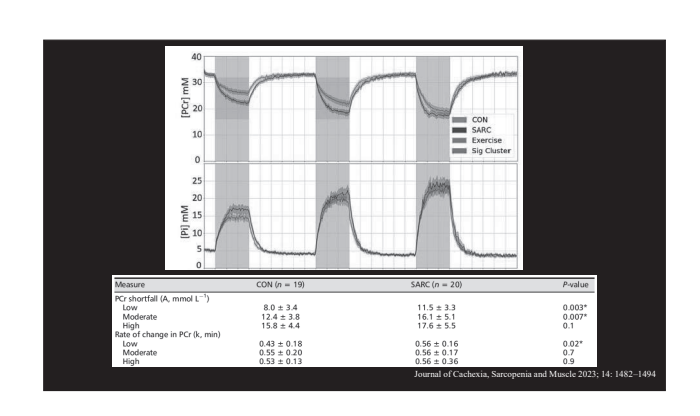


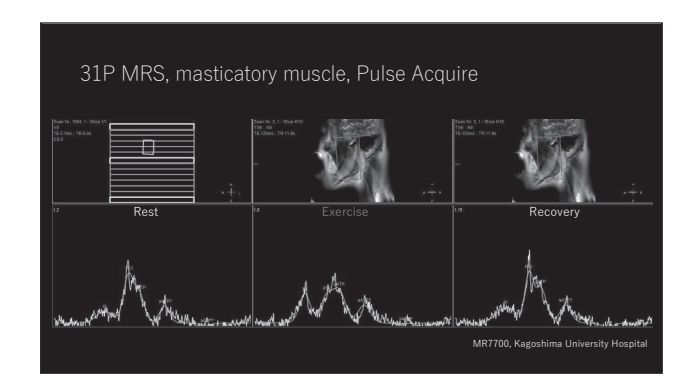


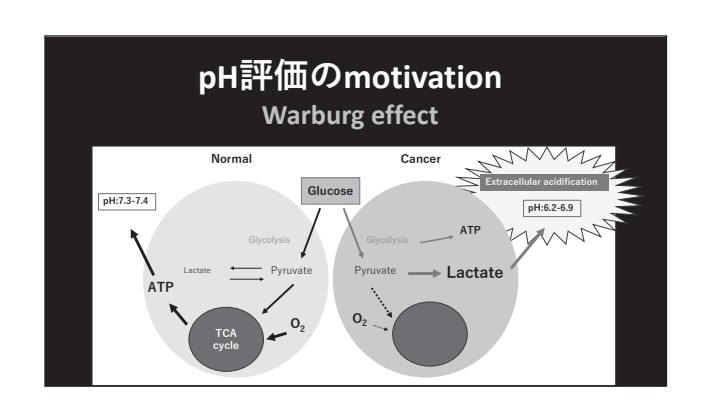


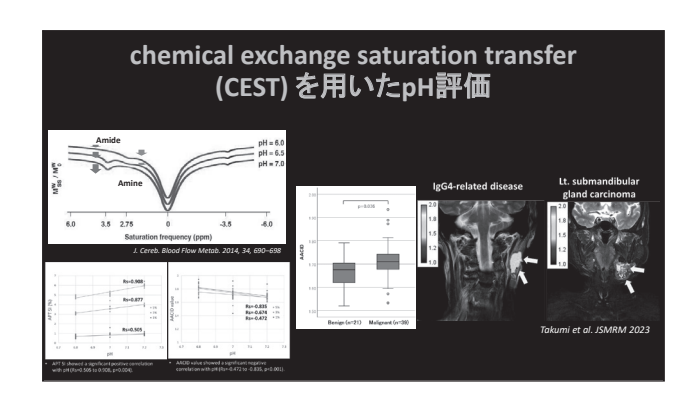


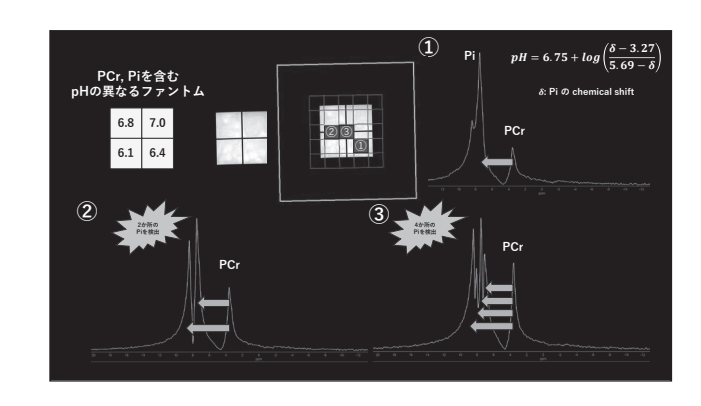


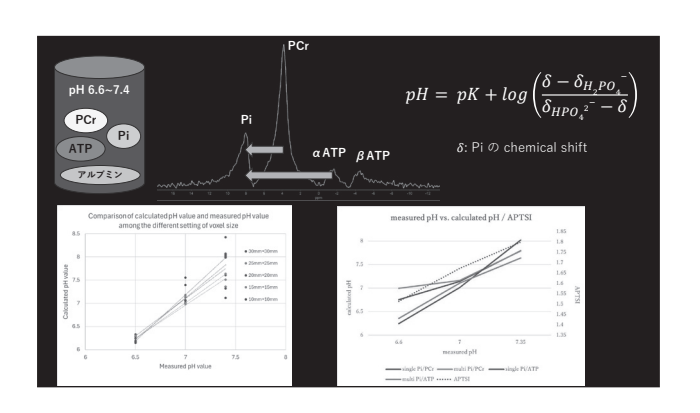


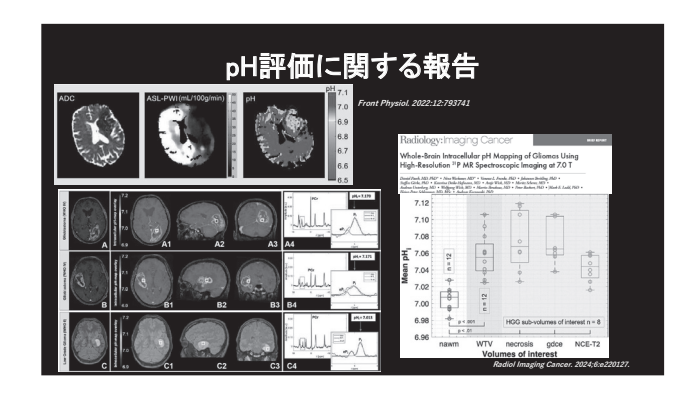
















11月2日(土)

一般演題

血行動態の把握に4D-CTAが 有用であった気管支動脈肺動脈瘻の1例

○伊原 研一郎, 田辺 昌寛, 伊東 克能 山口大学大学院医学系研究科 放射線医学講座

症例は40台女性。不随意運動の精査目的に施行された造影CTで偶発的に気管支動脈瘤を伴う気管支動脈肺動脈瘻を指摘された。4D-CTAでは発達した右気管支動脈の右肺動脈A7へのシャントとシャント部直前に13mm大の気管支動脈瘤を認めた。右肺動脈A7は肺動脈相ではnegative flowとなっており、血管造影検査でも同様の所見であった。シャント疾患の詳細評価に4D-CTAは有用であり、若干の文献的考察を加えて報告する。

Dual Energy CTを用いて物質弁別解析を行った前立腺癌骨転移治療後の一例

〇相田 東吾 11 ,向本 哲生 11 ,高橋 政樹 11 ,白井 誠司 11 , 袴田 大介 11 ,宮嶋 南里依 11 ,荒木 洋 $^{-11}$,内田 健 $^{-11}$, 阿部 光一郎 21 ,吉村 真奈 21 ,齋藤 和博 21

- 1) 東京医科大学病院 放射線部
- 2) 東京医科大学病院 放射線科

前立腺癌骨転移に対してホルモン療法後、ランマーク治療後の患者を骨シンチグラフィで撮像し、Dual Energy CTで撮影し物質弁別解析を行った。

転移部分は骨条件CTでCT値が高く、物質弁別解析のWater-Calciumでは水密度値が高いが、Water-HAP(Hydroxyapatite)では水密度値が高値と低値を示す部分が混在した。また、Water-HAPでの水密度値が高い部分と骨シンチグラフィの集積部分が一致した。物質弁別解析を用いることで骨転移治療後の評価の可能性を示唆する一例であった。

副腎悪性腫瘍との鑑別に苦慮した capillary hemangiomaの一例

〇亀井 友志¹⁾, 新家 崇義¹⁾, 古谷 光平¹⁾, 松本 真奈¹⁾, 簑手 鴻¹⁾, 原田 雅史¹⁾, 柿本 拓海²⁾, 上原 久典²⁾, 冨田 諒太郎³⁾, 大豆本 圭³⁾, 古川 順也³⁾

- 1) 徳島大学病院 放射線診断科
- 2) 徳島大学病院 病理診断科·病理部
- 3) 徳島大学病院 泌尿器科

症例は65歳男性。X-4年に右腎腫瘍に対して腎部分切除術が施行され、右腎細胞癌(clear cell carcinoma)と診断された。以後経過観察されていたが、X年の造影CTで右副腎結節の増大傾向と早期造影効果が認められた。腎癌の副腎転移や副腎癌、後腹膜肉腫も懸念されたため、右副腎摘除術が施行された。術後の病理所見では副腎由来のcapillary hemangiomaと診断された。副腎に発生するcapillary hemangiomaは稀であり、副腎や後腹膜由来の悪性腫瘍との鑑別に苦慮する症例がある。

FDG-PET/CTで偶発的に診断した 大動脈解離の一例

〇吉松 美穂 $^{1)}$, 神宮 晶子 $^{1)}$, 小松 嵩和 $^{1)}$, 松本 明香 $^{2)}$, 阿部 知伸 $^{3)}$, 立石 涉 $^{3)}$, 渋谷 \pm $^{4)}$, 対馬 義人 $^{4)}$

- 1) 公立藤岡総合病院 放射線診断科
- 2) 公立藤岡総合病院 外科
- 3) 群馬大学医学部附属病院 外科診療センター 循環器外科
- 4) 群馬大学医学部附属病院 放射線診断核医学科

FDG/PET/CTで大動脈解離が発見された症例を経験したので報告する。症例は70代女性。右副乳癌の転移検索目的にFDG-PET/CTが施行され、上行大動脈壁に沿って淡い集積を認めた。造影CTでStanford A型の偽腔閉塞型大動脈解離と診断した。偽腔は最大7mm、上行大動脈径49mmで全身状態良好であり、降圧で経過観察となった。しかし2週間後、エントリーが上行大動脈の偽腔開存型大動脈解離を発症し、緊急手術が施行された。偽腔開存や径拡大の危険性をFDG集積により予想できた可能性がある。

出血性梗塞を合併した肺葉外肺分画症の 一例

〇林 宏享, 片瀬 七朗, 竹下 祐平, 高島 一, 横山 健一 杏林大学医学部 放射線医学教室

症例は30歳代男性。2か月前より咳嗽にて他院加療中であったが突然の心窩部痛により当院受診となった。胸部非造影CTでは右肺底部に胸水を伴う紡錘状の軟部腫瘤が認められた。その後造影CTおよび胸部MRIが施行され、縦隔腫瘍あるいは感染を伴う肺分画症の診断により胸腔鏡下切除術が施行された。病理診断は出血性梗塞を伴う肺葉外肺分画症であった。出血性梗塞を合併した肺分画症の成人発症例は少なく若干の文献的考察を加えて報告する。

IVRの画像診断報告書に基づく手技の 自動分類:自然言語処理モデルを用いた検討

○八坂 耕一郎,阿部 修 東京大学医学部附属病院 放射線科

自然言語処理モデルを用いて、IVRの画像診断報告書をもとに手技の自動分類を行うことができるか検討した。2018年1月から2024年7月にかけてIVRを施行された患者を対象とした。画像診断報告書の「依頼詳細欄」、「診断欄」、「所見欄」を入力データ、IVR手技のカテゴリ分類を教師データとして、Bidirectional Encoder Representations from Transformers (BERT) のfine-tuningを行った。Fine-tuning後のBERTを用いることで、IVRの画像診断報告書をもとに、高い精度で手技のカテゴリ分類が可能であった。

腹部MRIを用いたIPMNの 長期経過観察例の検討

○福澤 拓哉, 金子 真穂, 佐野 遙香, 青沼 宇倫, 藤永 康成 信州大学医学部画像医学教室

膵管内乳頭粘液性腫瘍(Intraductal Papillary Mucinous Neoplasm;IPMN)は最も頻度の高い膵の前癌病変の1つである。当院における腹部MRIを用いた長期経過観察例229例(平均経過観察期間83か月)を検討した。膵癌出現は9例、膵癌の累積発症率は5年で2.0%、8年で4.8%、10年で10.0%であった。対照群と比較して癌出現群ではIPMN診断時の主膵管拡張が有意に多く見られ、経過観察中にHigh risk stigmata及びWorrisome featuresの各画像所見の出現が有意に多く見られた。IPMNの長期経過で癌の出現を認める症例は少なくないため、経過観察を継続することが必要と思われる。

11月2日(土)

教育講演3:腹部【領域講習3】

I:「この所見に注目! 肝画像診断のポイント」

Ⅱ:「膵充実性腫瘍の診断のポイント ―注意すべき所見―」

教育講演3:腹部【領域講習3】

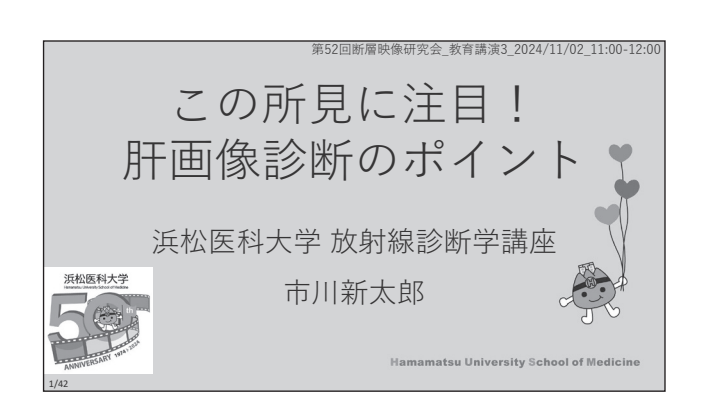
教育講演3:腹部【領域講習3】-I



浜松医科大学 放射線診断学講座 市川 新太郎

この所見に注目! 肝画像診断のポイント

本講演では特徴的な画像(CT, MRI)所見を呈する肝疾患(脾臓を含む)を1) 若年者の多血性腫瘤(正常肝症例)の鑑別、2) 嚢胞性腫瘤の鑑別、3) その他、特徴的な所見を呈する肝疾患、4) 特徴的な所見を呈する脾疾患、の4部構成でCase-based reviewの形式で呈示する。画像診断の「サイン」は鑑別診断の絞り込みに有用なことがあるが、その画像所見を呈する背景と関連づけて記憶することが重要であることを強調したい。

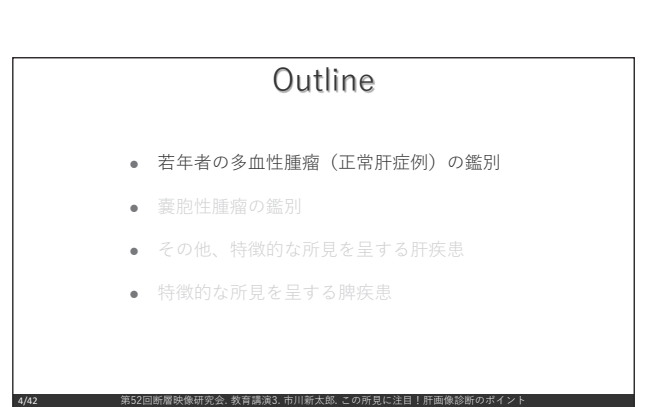




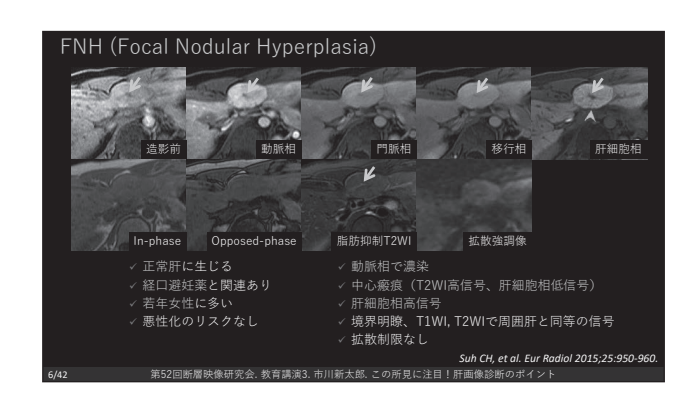
Outline

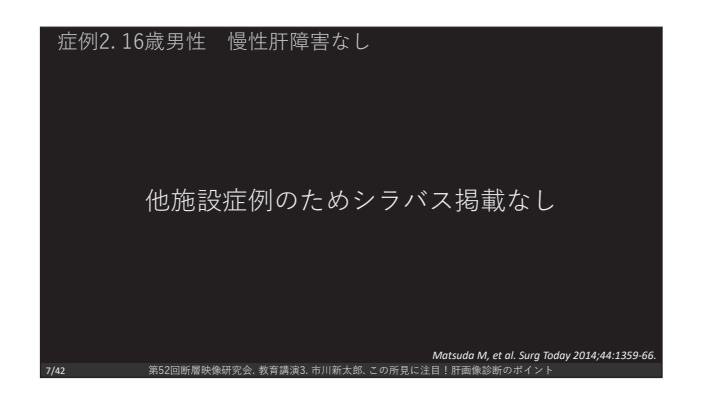
- 若年者の多血性腫瘤(正常肝症例)の鑑別
- 嚢胞性腫瘤の鑑別
- その他、特徴的な所見を呈する肝疾患
- 特徴的な所見を呈する脾疾患

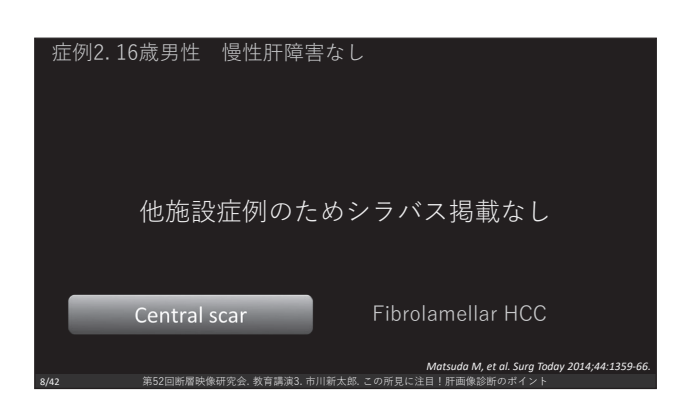
第52回断層映像研究会. 教育講演3. 市川新太郎. この所見に注目! 肝画像診断のポイント



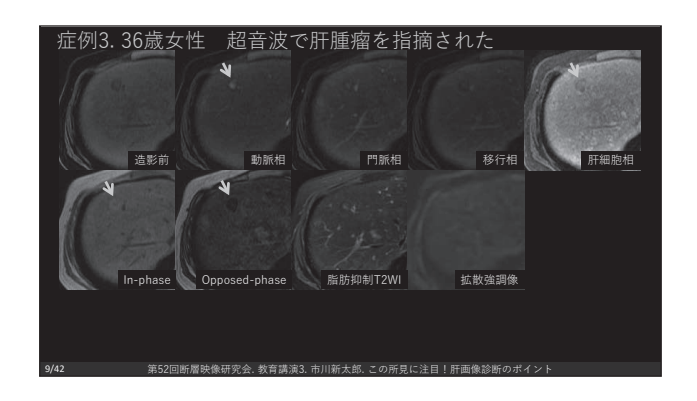








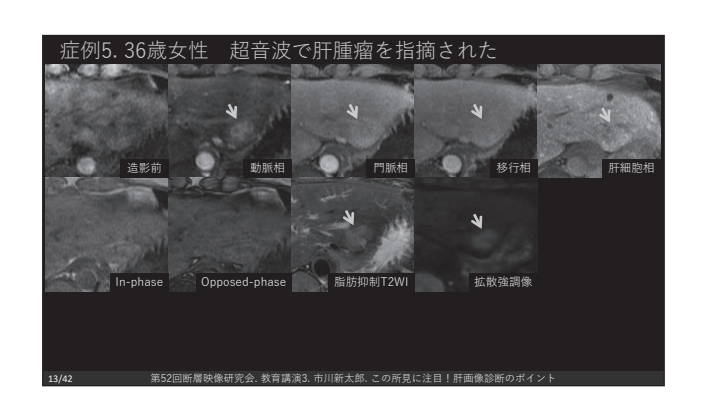
教育講演3:腹部【領域講習3】











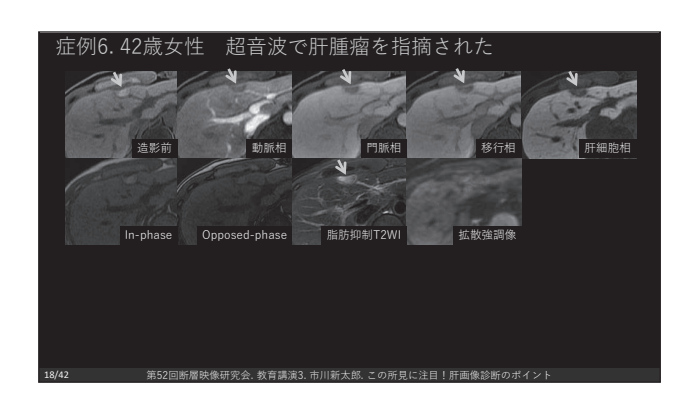


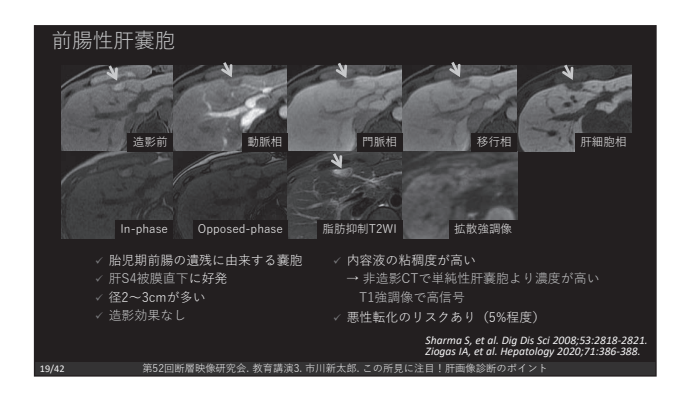
п		腫瘤(正常肌	
	肝細胞腺腫	FNH	Fibrolamellar HCC
年齢	20-40歳	20-40歳	15-30歳
性別	M << F	M << F	M = F
ステロイド/ 経口避妊薬	++	+ / -	-
症状	急性腹症 (出血)	-	腹痛など
形態	円形、辺縁整	円形、辺縁整	分葉状
被膜	30%	-	35%
石灰化	-	-	68% (中心部)
出血	25%	-	-
中心瘢痕	-	+ (vascular scar) T2強調像高信号	+ (fibrous scar) T2強調像低信号
遅延相	low - iso	iso - high	low
EOB 肝細胞相	low	iso - high	low

H-HCA IHCA b-HCA and b-IHCA												
HCAに占める頻度	30~35%	35~40%	b-HCA, 10% b-IHCA, 10~15%									
性差	ほぼ女性 (閉経前)	女性(閉経前)が多い	女性優位だが、他のサブタ プより男性の割合が多い									
危険因子、背景疾患	経口避妊薬	肥満、アルコール、 メタボリック症候群、脂肪肝	アンドロゲン、 メタボリック症候群									
病変の特徴	単発、多発いずれもあり	単発、多発いずれもあり	単発が多い。多発は稀									
出血のリスク	あり (特に径5cm以上)	あり (特に径5cm以上)	あり(特に径5cm以上)									
悪性転化のリスク	最も低い	低い	Exon 3は高リスク Exon 7/8はリスクなし									

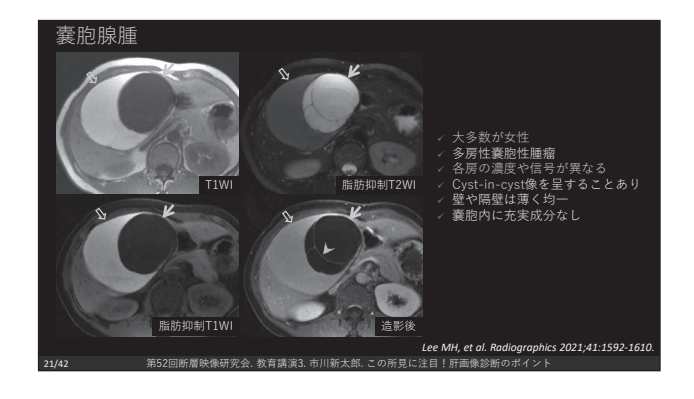
Outline

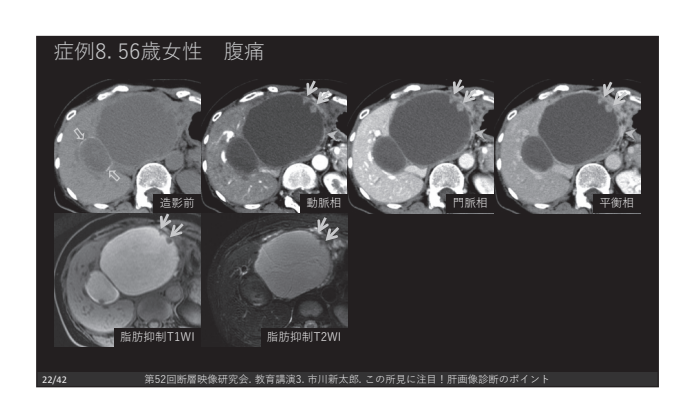
- 若年者の多血性腫瘤(正常肝症例)の鑑別
- 嚢胞性腫瘤の鑑別
- その他、特徴的な所見を呈する肝疾患
- 特徴的な所見を呈する脾疾患

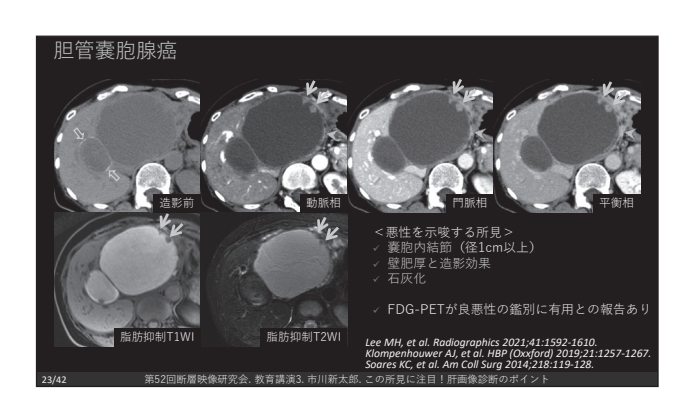


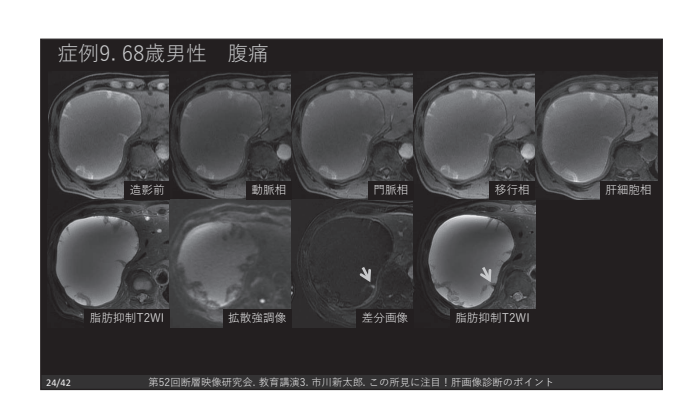




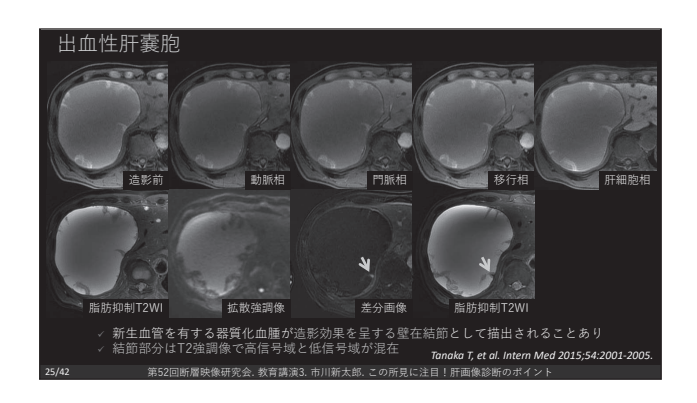


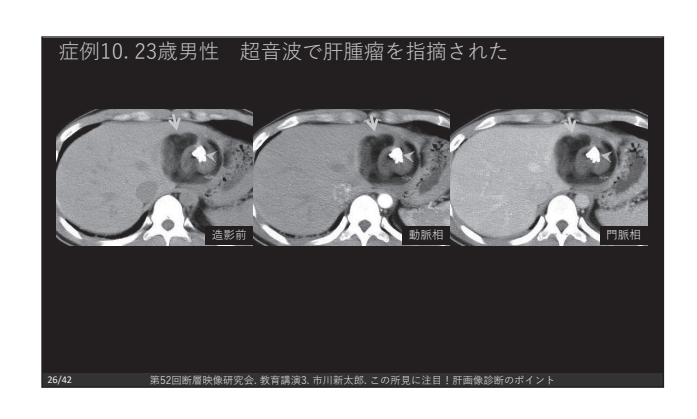


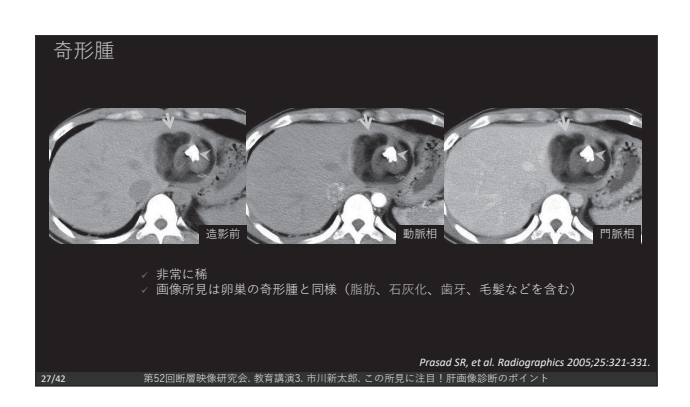


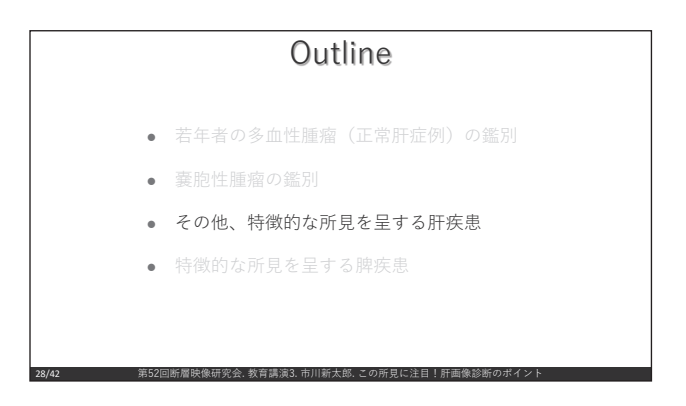


教育講演3:腹部【領域講習3】

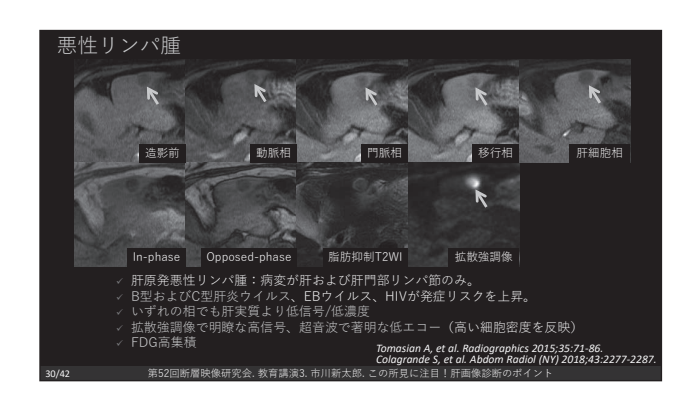




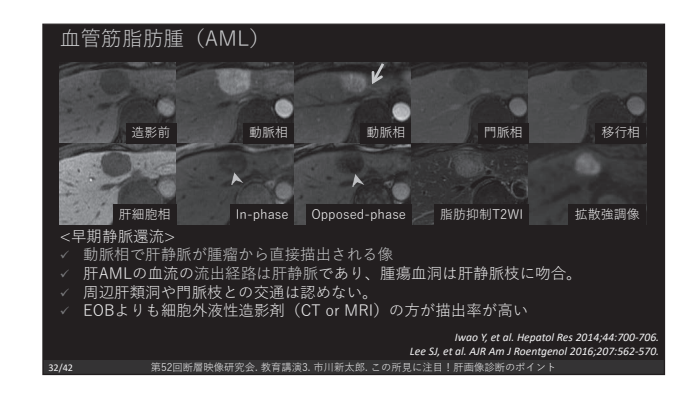


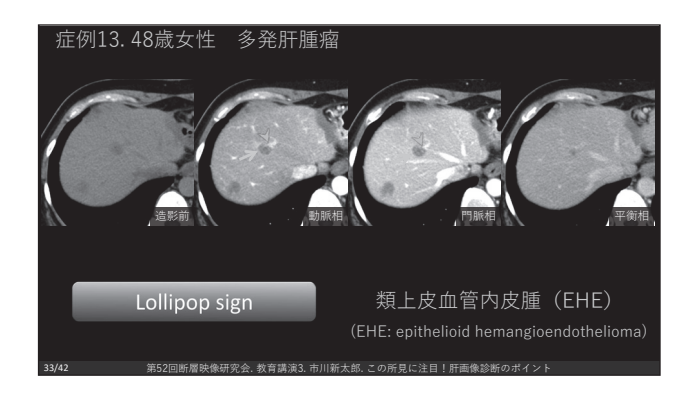


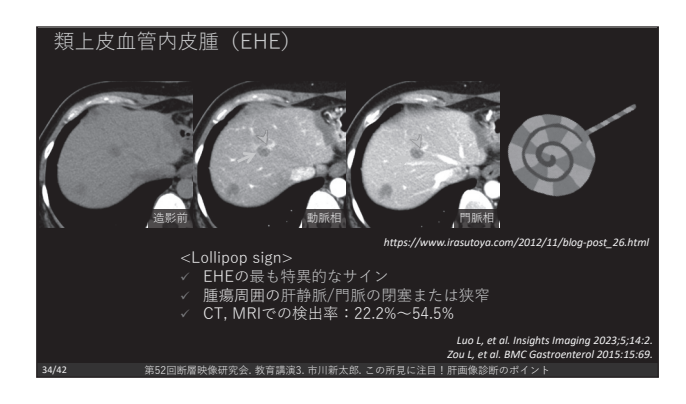


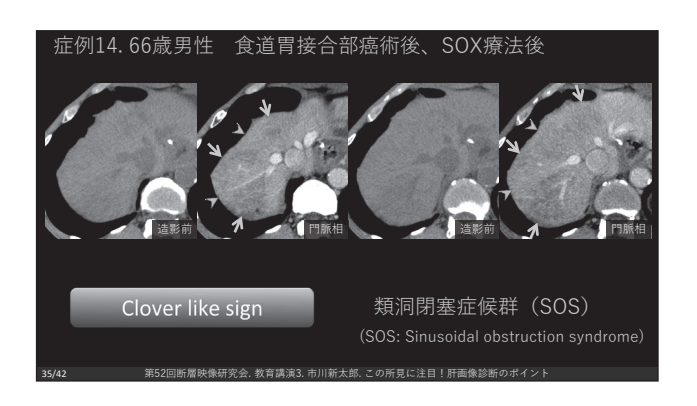


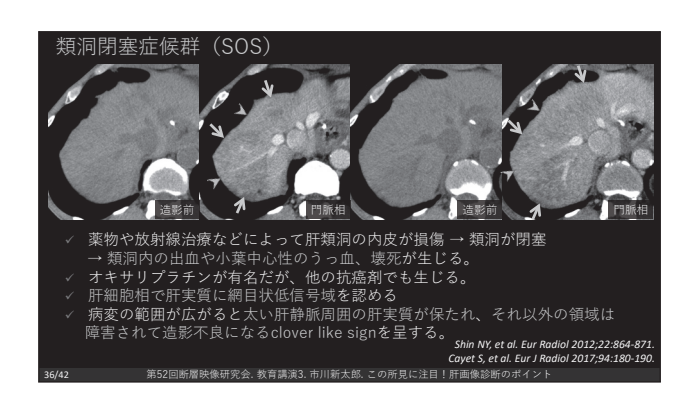


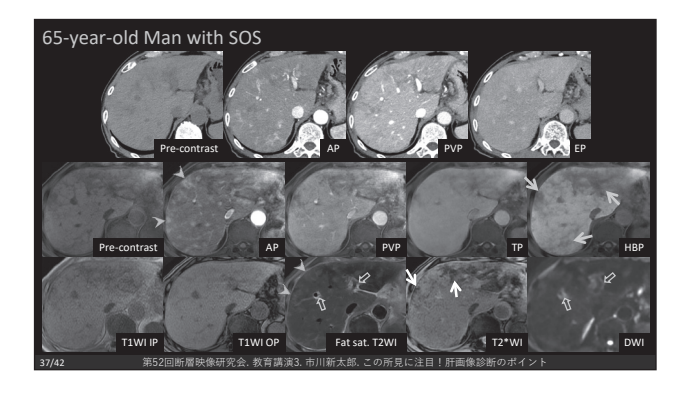




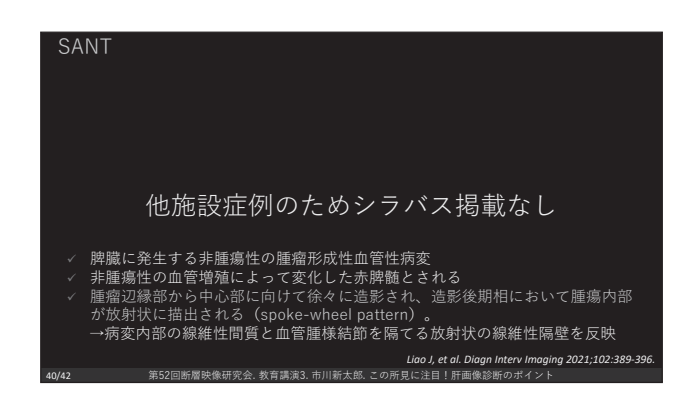












Take Home Points

- 若年者の多血性腫瘤(正常肝症例)の鑑別

- ✓ FNH ✓ Fibrolamellar HCC ✓ 肝細胞腺腫(H-HCA, IHCA, b-HCA)
- 嚢胞性腫瘤の鑑別
 ・ その他、特徴的な所見を呈する肝疾患
 ・ 悪性リンパ腫
 ・ 血管弱脂肪腫
 ・ 出ので内皮腫
 ・ 規の発剤を含わた
 ・ 規の発剤を含わた
 ・ 規の関連を検討
 ・ 規列閉塞症候群

- 特徴的な所見を呈する脾疾患
 - ✓ SANT



教育講演3:腹部【領域講習3】

教育講演3:腹部【領域講習3】-Ⅱ



川崎医科大学 機能代謝画像診断学 福倉 良彦

膵充実性腫瘍の診断のポイント 一注意すべき所見一

膵臓癌の罹患数は悪性腫瘍全体の第6位と年々増加傾向にあり、日常の画像診断において避けては通れない疾患である。

膵充実性腫瘍の大部分を占める通常の膵臓癌(膵管腺癌)と鑑別を要する充実性腫瘍として、膵管癌の亜型である腺扁平上皮癌、粘液癌、退形成癌や膵管癌以外の腺房細胞腫瘍、充実性偽乳頭状腫瘍、神経内分泌腫瘍などがある。いずれも鑑別に苦慮する画像に遭遇することがあるが、鑑別に有用な組織学的特徴を反映した画像所見に注目することにより、診断が可能となることがある。

今回、膵充実性腫瘍の診断における注意すべき画像所見を中心に述べる。

第52回断層映像研究会 2024年11月2日 軽井沢

膵充実性腫瘍の診断のポイント 一注目すべき所見一

川崎医科大学 機能代謝画像診断学

福倉良彦



膵充実性腫瘍 診断の3つのポイント

- 造影効果と増殖形態
- T2強調像
- T1強調像

膵充実性腫瘍の鑑別法

*造影効果

- √ 多血性≒膨張性増殖
- ✓ 乏血性≒浸潤性増殖
- 1. 境界•辺縁

(明瞭・不明瞭、整・不整、周囲組織の圧排/塞栓・狭窄)

2. 内部

(線維化、凝固壊死、嚢胞・出血、石灰化、脂肪)

神経内分泌腫瘍 (neuroendocrine neoplasms)

神経内分泌細胞マーカー 陽性の細胞が索状、リボン状、 ロゼット状などの多様な増殖パターン を呈する

性別:男/女=1/1.15

年齢:平均50歳(30-60歳)

部位: 膵頭部(約60%)

形態:**膨張性発育(84%),線維性被膜(15%)**

T1WI 低信号(80%), T2WI 高信号(82%)

多血性腫瘍(79-88%),門脈系脈管内腫瘍塞栓(12-33%)

壊死 (32%), 囊胞·出血変性 (8.5%、2.1%)

石灰化 (23%), 脂肪 (5-10%)

MEN I (30-80%), von Hippel-Lindau病 (15%),

NFI, 結節性硬化症など

Eur J Radiol. 2015; 84:1436-43

膵腫瘍 膵癌取扱い規約[第8版]

1 上皮系腫瘍

A. 外分泌腫瘍

- 4. 浸潤性膵管癌 (invasive ductal carcinomas: IDCs) (腺癌, 腺扁平上皮癌, 退形成癌, 粘液癌) 5. 腺房細胞腫瘍 (acinar cell neoplasms: ACNs)

B. 神経内分泌腫瘍 (neuroendocrine neoplasms: NENs)

D. 分化の不明な上皮性腫瘍

1. 充実性偽乳頭状腫瘍(solid-pseudopapillary neoplasm: SPN)

F. その他

3. 転移性腫瘍

膵臓のCT撮像プロトコル

画像診断ガイドライン2021年度

膵腫瘍MDCT撮像プロトコール

	撮像部位	撮像開始時間	スライス厚
単純	肝~腎		3 mm
早期動脈相	肝~腎	25 秒	3 mm
後期動脈相	肝~腎	45 秒	3 mm
門脈相	肝~腎	60 秒	3 mm
平衡相	肝~骨盤	240 秒	3 mm

*注入時間一定法(30秒)

膵充実性腫瘍の鑑別法

*造影効果

✓ 多血性 ÷ 膨張性増殖 神経内分泌腫瘍(G1-2)

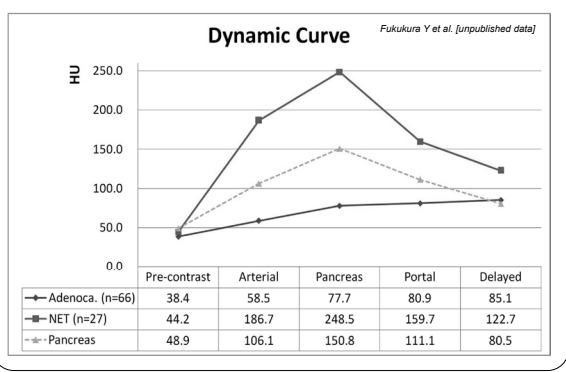
1. 境界•辺縁

(明瞭・不明瞭、整・不整、周囲組織の圧排/塞栓・疾病)

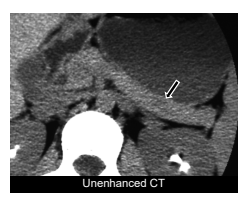
2. 内部

(***C. 凝固壊死、囊胞·出血、石灰化、脂肪)

造影パターン (neuroendocrine tumor)

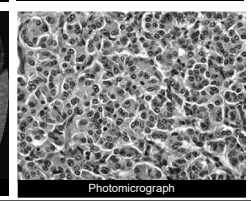


A 38-year-old man with neuroendocrine tumor (G1)









浸潤性膵管癌 (invasive ductal carcinomas)

(腺癌, 腺扁平上皮癌, 退形成癌, 粘液癌)

特長

性別:男性>女性(56.7%>43.2%) 年齢:60-70歳代(65.7±9.5,85-41歳)

部位:頭>体>尾部(60.1%:26.8%:13.1%)

画像:**浸潤性発育、被膜**(-)

MRI: T1WI 低信号 (95%), T2WI 高信号 (75%)

DWI高信号 (84%)

乏血性腫瘍(94.7%:約5%は等吸収)

主膵管狭窄(72.7%), 総胆管狭窄(48.6%)

予後(5 年生存率): 全症例: 8.5% 切除例: 15-25% 非切除例: 0-3%

Fukukura Y et al. [unpublished date

A 74-year-old woman with large PDAC





Portal venous phase CT

Delayed phase CT

膵充実性腫瘍の鑑別法

*造影効果

✓ 乏血性+膨張性増殖

神経内分泌腫瘍(G3-NEC)

1. 境界•辺縁

(明瞭・平明瞭、整・平盤、周囲組織の圧排/塞栓・共中)

2. 内部

(###)、凝固壞死、囊胞・出血、石灰化、脂肪)

膵充実性腫瘍の鑑別法

*造影効果

✓ 乏血性≒浸潤性増殖

通常型膵癌(管状腺癌)

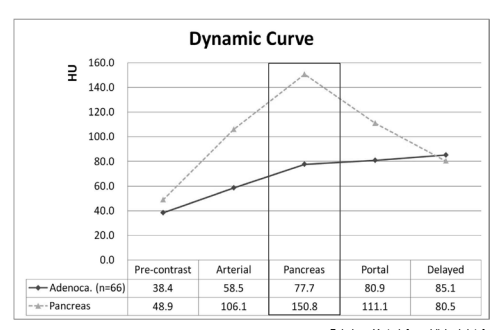
1. 境界•辺縁

(明瞭・不明瞭、 塩・不整、周囲組織の旺井/塞栓・狭窄)

2. 内部

(線維化、凝固壊死、囊胞・出血、石灰化、脂肪)

造影パターン (PDAC)



Fukukura Y et al. [unpublished data

膵充実性腫瘍の鑑別法

*造影効果

- ✓ 多血性 ≒膨張性増殖
- ✓ 乏血性≒浸潤性増殖
- 1. 境界·辺縁

(明瞭・不明瞭、整・不整、周囲組織の圧排/塞栓・疾ャ)

2. 内部

(###に 凝固壊死、嚢胞・出血、石灰化、脂肪)

神経内分泌腫瘍(neuroendocrine neoplasms)

神経内分泌細胞マーカー 陽性の細胞が索状、リボン状、ロゼット状などの多様な増殖パターン を呈する

性別:男/女=1/1.15

年齢:平均50歳(30-60歳)

部位:膵頭部(約60%)

形態: **膨張性発育 (84%)** ,線維性被膜 (15%)

T1WI 低信号(80%), T2WI 高信号(82%)

乏血性腫瘍(12-21%),門脈系脈管内腫瘍塞栓(12-33%) 壊死(32%),嚢胞・出血変性(8.5%、2.1%)

石灰化 (23%) ,脂肪 (5-10%)

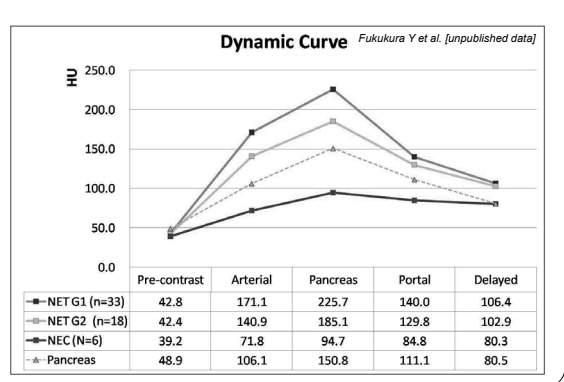
合併症:

MEN I (30-80%), von Hippel-Lindau病 (15%)

NFI, 結節性硬化症など

Eur J Radiol. 2015; 84:1436-43.

造影パターン (neuroendocrine tumor)



膵充実性腫瘍の鑑別法

*造影効果

✓ 乏血性+膨張性増殖 腺扁平上皮癌

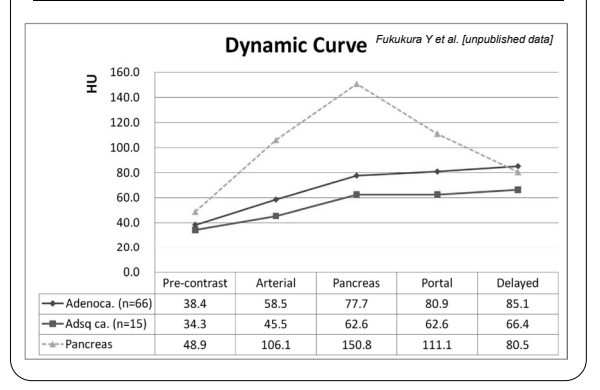
1. 境界•辺縁

(明瞭・不明瞭、整・不整、周囲組織の圧排/塞栓・狭窄)

2. 内部

(線維化、凝固壊死、嚢胞・出血、石灰化、脂肪)

造影パターン (adenosquamous carcinoma)



膵充実性腫瘍の鑑別法

*造影効果

✓ 乏血性+膨張性増殖 退形成癌

1. 境界•辺縁

(明瞭・不明瞭、整・不整、周囲組織の圧排/塞栓・狭窄)

2. 内部

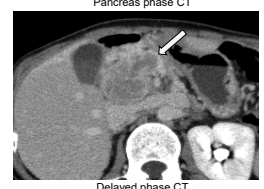
(線維化、凝固壊死、嚢胞・出血、石灰化、脂肪)

A 45-year-old woman with neuroendocrine tumor (G3)









腺扁平上皮癌(Adenosquamous carcinoma)

✓ 腺癌と扁平上皮癌(30%以上)の混在する腫瘍

✓ 外分泌腫瘍の1-4%

性別: 男性=女性 (54.5% = 45.5%)

年齢:60-70歳代(66.6±12.1)

部位:頭>体・尾部(44.6%:29.2%:26.3%)

画像:膨張性発育(58,3%),被膜様構造(70%)

T1WI 低信号, T2WI 高信号

DWI 高信号 (低ADC)

乏血性腫瘍, 門脈系脈管内腫瘍塞栓(14-38%)

嚢胞・出血変性(サイズ大), 石灰化(48%)

予後:不良(平均生存期間:5-12month)

J Surg Res 2012;174:12-19.

A 58-year-old woman with adenosquamous carcinoma







退形成癌 (Anaplastic carcinoma)

✓ 明らかな分化傾向を示さないが、一部に膵管癌成分を有する

✓ 膵悪性腫瘍の2-7%(多形細胞型:54%、紡錘細胞型:14%、破骨細胞様巨細胞型:32%)

性別:男性>女性

年齢:60-70歳代(平均:62.2歳)

部位:頭>体・尾部(56.8%:43.2%)

画像:膨張性発育(83%),線維性被膜(67%)

T1WI 低信号, T2WI 低~高信号

DWI 低~高信号

乏血性腫瘍,主膵管・門脈系脈管内腫瘍塞栓(14-38%)

囊胞 · 出血変性 (56%) , 石灰化 (16%)

予後:不良(平均生存期間=5-11month)

J Surg Res 2012;174:12-19.

造影パターン (anaplastic carcinoma) Dynamic Curve Fukukura Y et al. [unpublished data] 160.0 \exists 140.0 120.0 100.0 80.0 40.0 20.0 0.0 Portal Delayed → Adenoca. (n=66) 38.4 58.5 77.7 80.9 85.1 --- Anaplastic ca. (n=10) 41.5 62.7 76.0 74.9 71.5 ±-Pancreas 48.9 106.1 150.8 111.1 80.5

膵充実性腫瘍の鑑別法

*造影効果

✓ 乏血性+膨張性増殖 腺房細胞腫瘍

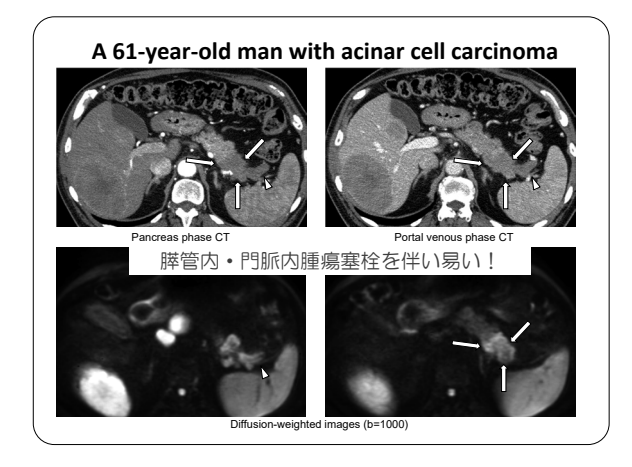
1. 境界•辺縁

(明瞭・不明瞭、整・不整、周囲組織の圧排/塞栓・狭窄)

2. 内部

(線維化、凝固壊死、囊胞・出血、石灰化、脂肪)

造影パターン (acinar cell carcinoma) Dynamic Curve Fukukura Y et al. [unpublished data] ⊋ ^{160.0} _{140.0} 120.0 100.0 80.0 40.0 20.0 0.0 Pre-contrast Arterial Pancreas Portal Delaved Adenoca. (n=66) 38.4 58.5 77.7 80.9 85.1 105.8 -----Pancreas 48.9 106.1 150.8 111.1



A 59-year-old woman with osteoclast-like giant cell type Unenhanced CT Pancreas phase CT

Portal venous phase CT Delayed phase CT

腺房細胞腫瘍 (acinar cell neoplasms)

腺房細胞癌(嚢胞腺癌), 腺房細胞腺腫(嚢胞腺腫), 混合性

頻度: 膵腫瘍の約1-2% 性別: 男/女=2-3.5/1 年齢: 平均59歳(20-88歳) 部位: 頭部(50%)

症状:リパーゼ上昇(10-15%) 画像:**膨張性発育(被膜:約50%)**

T1WI 低信号(87%), T2WI 高信号(100%)

乏血性腫瘍

囊胞・出血変性(50%),石灰化(20%)

主膵管内腫瘍塞栓(38.5%), 門脈内腫瘍塞栓(25-54%)

主膵管狭窄(20%),総胆管狭窄(30%)

World J Gastroenterol. 2013; 19:5713-9. Am J Roentoenol. 2005: 184:511-9.

A 60-year-old man with acinar cell carcinoma



Pancreas phase CT



ortal verious priese or

膵充実性腫瘍の鑑別法

*造影効果

✓ 乏血性+膨張性増殖充実性偽乳頭状腫瘍

1. 境界•辺縁

(明瞭・不明瞭、整・不整、周囲組織の圧排/塞栓・狭窄)

2. 内部

(線維化、凝固壊死、嚢胞・出血、石灰化、脂肪)

充実性偽乳頭状腫瘍 (solid pseudopapillary neoplasm)

- 異形の乏しい好酸性の胞体を有する未熟細胞が偽乳頭状に増殖
- 多くは良性の経過をたどるが、約10-15%に他臓器浸潤や転移

性別:女性(90%)

年齢:平均28歳(7-79歳)

部位: Anywhere

画像:膨張性発育,被膜(70-80%)

T1WI 低信号、T2WI 高信号

DWI 高信号 (低ADC)

乏血性腫瘍

門脈系脈管内腫瘍塞栓(O-12%)

出血(30-54.5%)・嚢胞変性(63-82%)

石灰化(48%)

AJR 2019; 213:1–8 J Comput Assist Tomogr. 2014; 38:383-90.

膵充実性腫瘍

• 造影効果と増殖形態

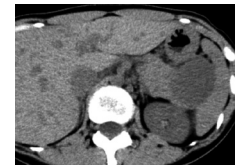
診断の3つのポイント

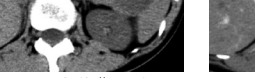
- T2強調像
- T1強調像

T2-weighted images for evaluation of the pancreas

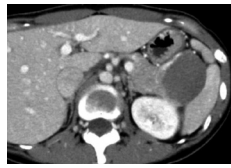
粘液癌(Mucinous carcinoma) ・ 粘液産生が著しく、粘液湖が腫瘍全体の80%以上をしめる。 • 多くは腸型IPMNから発生し、通常の管状腺癌よりも予後が良い

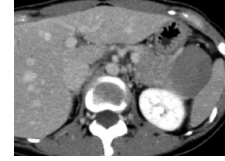
A 24-year-old woman with solid-pseudopapillary neoplasm











MRI protocol for pancreas diseases

Coronal T2WI: SSTSE

· Axial T2WI: breath hold TSE

T1WI: breath hold GRE (in/out)

• MRCP: SSFSE (2D) & SPACE (3D)

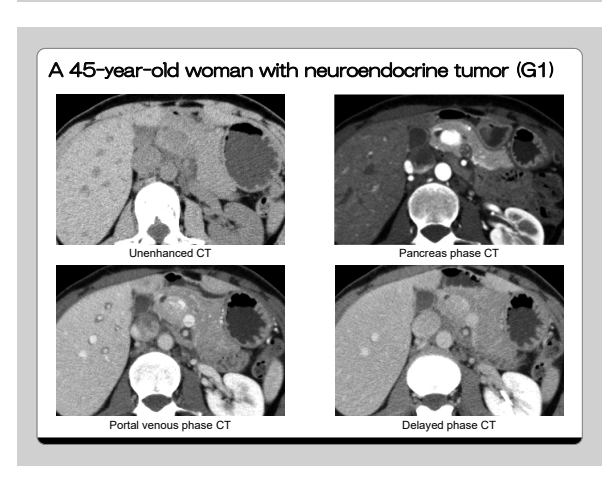
T2*WI: breath hold GRE

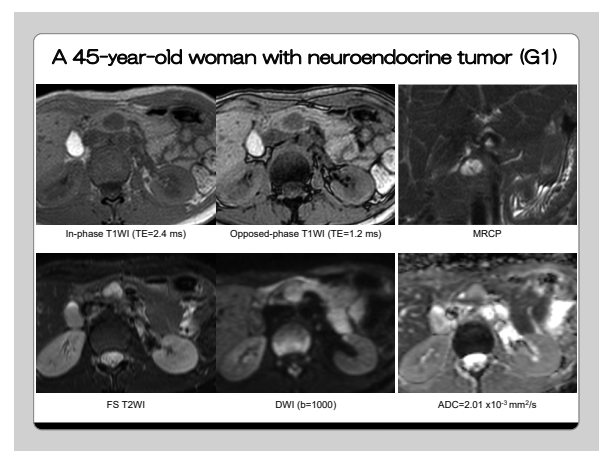
• Dynamic EOB-MRI: FS GRE (3D VIBE)

• FS T2WI: respiratory-triggered TSE

• DWI: b-values of 0 and 1000 s/mm²

Very high signal intensity on T2-weighted images for evaluation of the pancreas





充実性偽乳頭状腫瘍(solid pseudopapillary neoplasm)

- ・ 異形の乏しい好酸性の胞体を有する未熟細胞が偽乳頭状に増殖
- ・ 多くは良性の経過をたどるが、約10-15%に他臓器浸潤や転移

性別:女性(90%) 年齢:平均28歳(7-79歳)

部位: Anywhere 画像: 膨張性発育, 被膜 (70-80%)

T1WI 低信号,T2WI 高信号 DWI 高信号(低ADC)

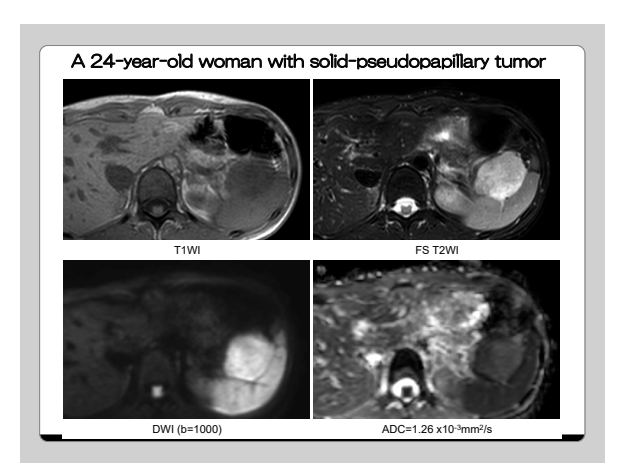
乏血性腫瘍

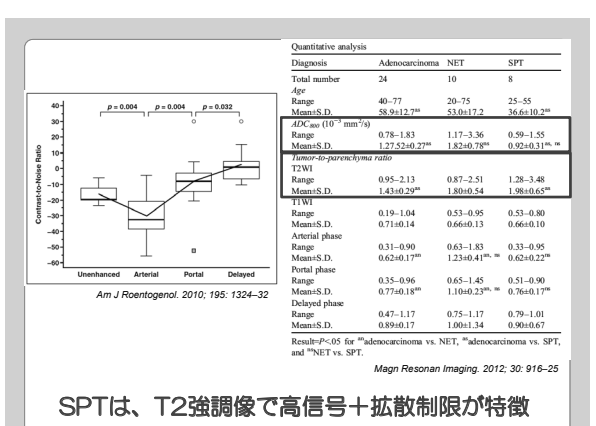
門脈系脈管内腫瘍塞栓(O-12%)

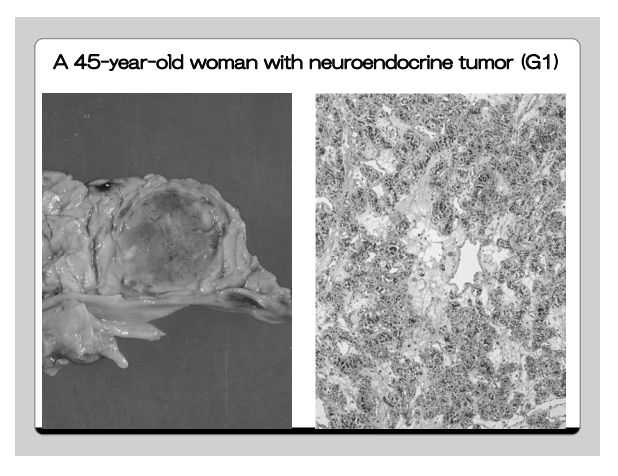
出血(30-54.5%)•囊胞変性(63-82%)

石灰化 (48%)

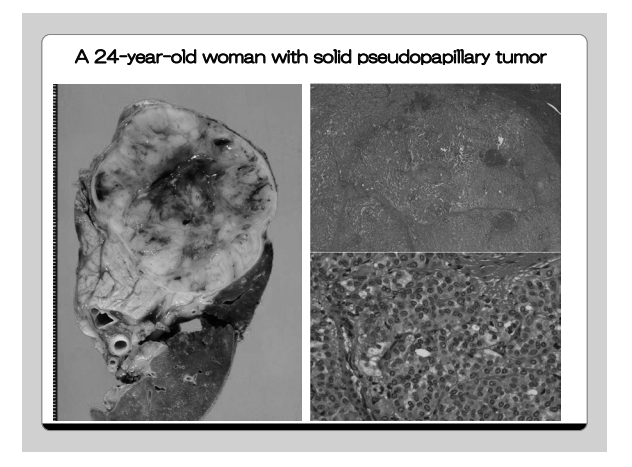
AJR 2019; 213:1–8 J Comput <u>Assist Tomogr. 2014; 38:383-90.</u>











<u>Very low signal intensity</u> on T2-weighted images for evaluation of the pancreas

退形成癌 (Anaplastic carcinoma)

✓ 明らかな分化傾向を示さないが、一部に膵管癌成分を有する

✓ 膵悪性腫瘍の2-7%

(多形細胞型:54%、紡錘細胞型:14%、破骨細胞様巨細胞型:32%)

性別:男性>女性

年齢: 60-70歳代(平均: 62.2歳) 部位:頭>体・尾部(56.8%: 43.2%)

画像: **膨張性発育 (83%) ,線維性被膜 (67%)** T1WI 低信号, T2WI 低~高信号

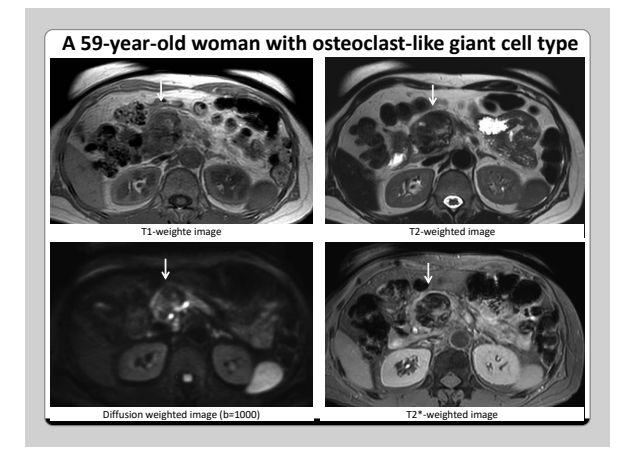
DWI低~高信号

乏血性腫瘍,主膵管・門脈系脈管内腫瘍塞栓(14-38%)

囊胞・出血変性(56%),石灰化(16%)

予後:不良(平均生存期間=5-11month)

I Surg Res 2012;174:12-19





神経内分泌腫瘍 (neuroendocrine neoplasms)

神経内分泌細胞マーカー 陽性の細胞が索状、リボン状、ロゼット状などの多様な増殖パターン を呈する

性別:男/女=1/1.15 年齢:平均50歳(30-60歳) 部位:膵頭部(約60%)

形態: **膨張性発育(84%),線維性被膜(15%)**

T1WI 低信号(80%) , T2WI 高信号(82%)

多血性腫瘍(79-88%),門脈系脈管内腫瘍塞栓(12-33%)

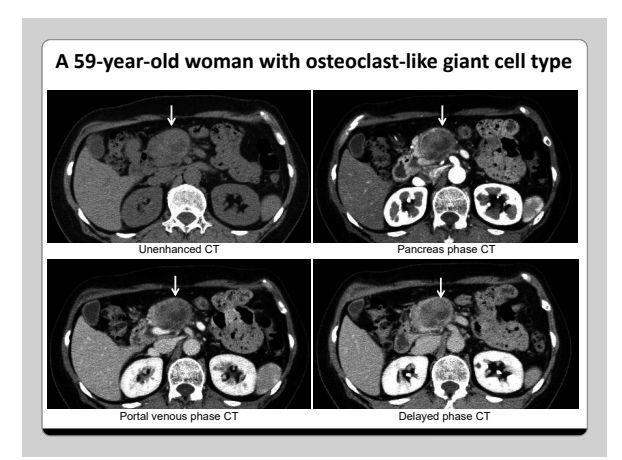
壊死 (32%), 囊胞・出血変性 (8.5%、2.1%)

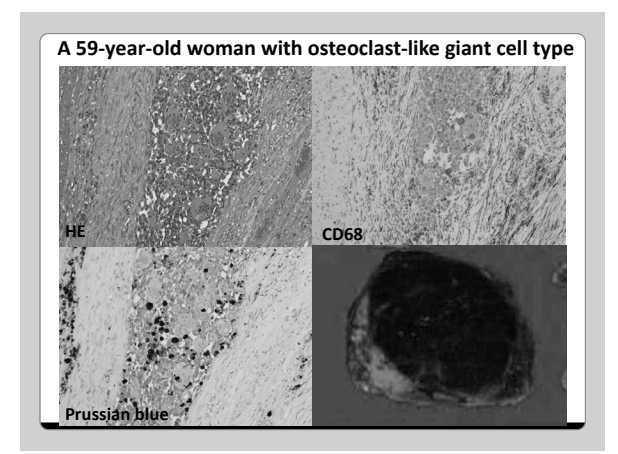
石灰化 (23%) , 脂肪 (5-10%)

合併症:

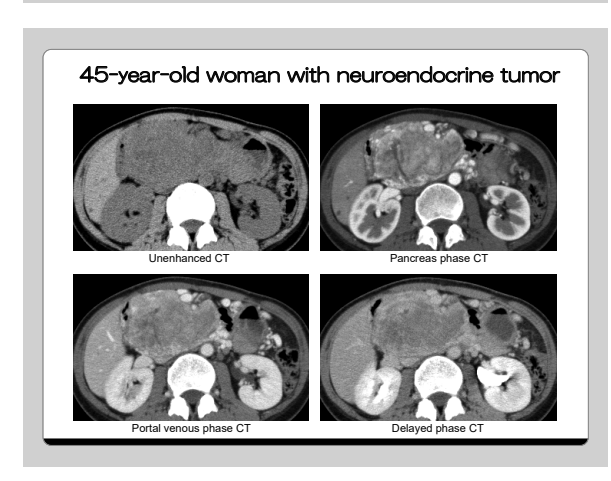
MEN I (30-80%), von Hippel-Lindau病 (15%),

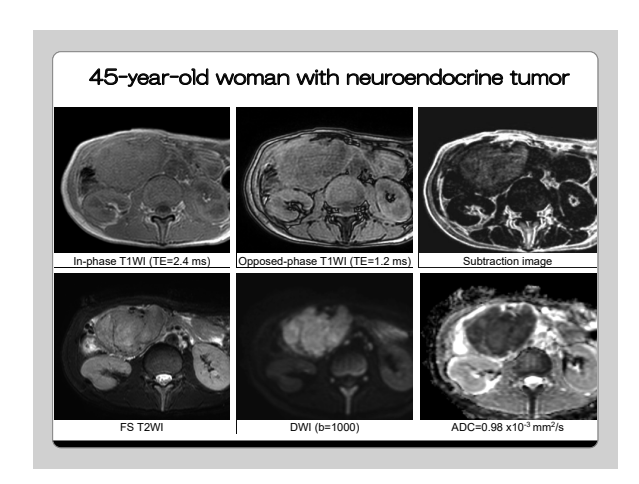
NF I,結節性硬化症など Eur J Radiol. 2015; 84:143





T1WI breath hold GRE (in/out) for evaluation of the pancreas





転移性膵腫瘍 (metastatic tumors)

膵悪性腫瘍の1-11%

(乳癌, 肺癌, 大腸癌, 腎癌など)

脂肪を含有する転移性膵腫瘍

> 淡明細胞型腎細胞癌

- 他臓器転移:25-30%

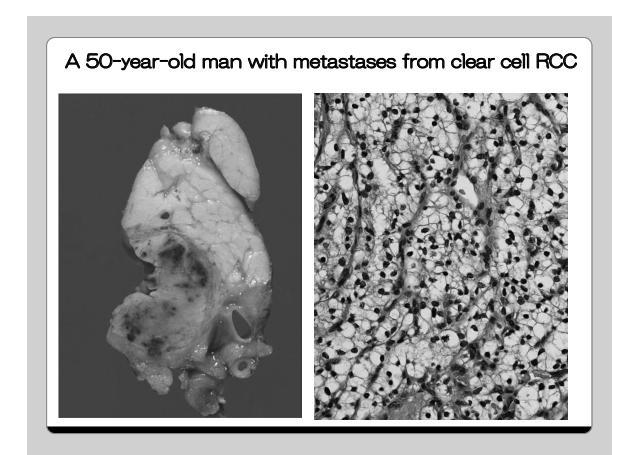
- 膵転移:1-3%

> 肝細胞癌

- 他臓器転移: 37%

- 膵転移<1%

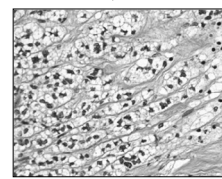
J Comput Assist Tomogr. 1999; 23:934-6. Jpn J radiol. 2013; 31:408-11.





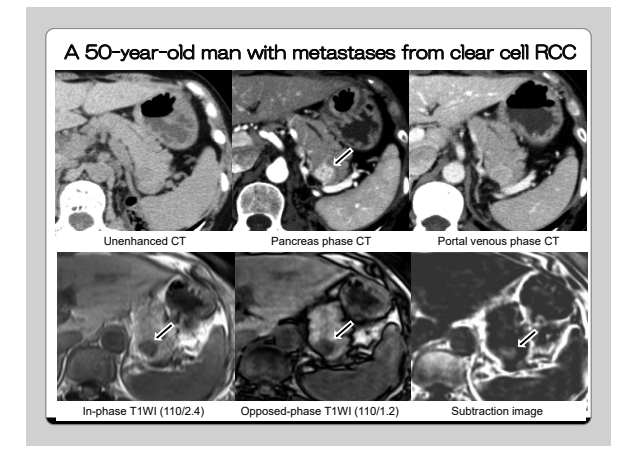
Lipid-rich neuroendocrine tumor of the pancreas

組織学的に多数の淡明な空胞や 微小胞に満たされた豊富な細胞質 を有する特殊型に分類される



- 全pancreatic NETの15% 60% in VHL disease-associated pancreas NETs
- 37.5% in MEN 1-associated pancreas NETs

- 通常のNETsよりサイズが大きい Enhanced CT and conventional MRIでは,通常のNETs
- Chemical-shift MRIにて脂肪の存在を同定可能(53%)



Hamartoma of the pancreas

正常組織(腺房・膵管)が混在する

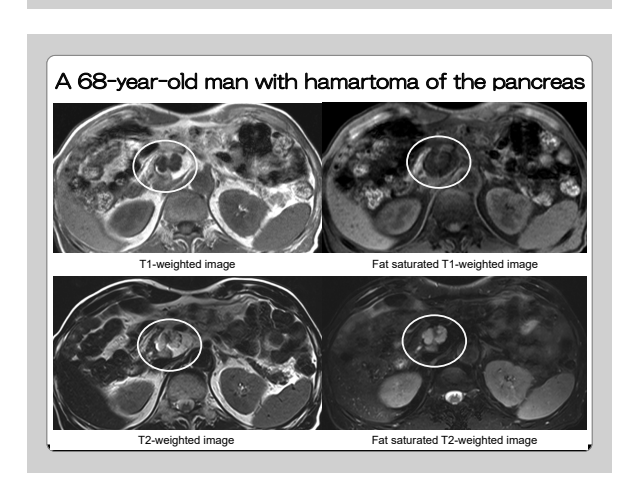
性別:男性=女性

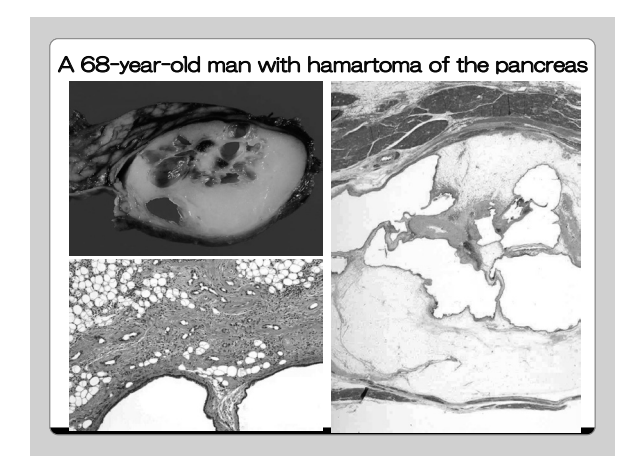
年齢:平均42.3歳代(O-78歳)

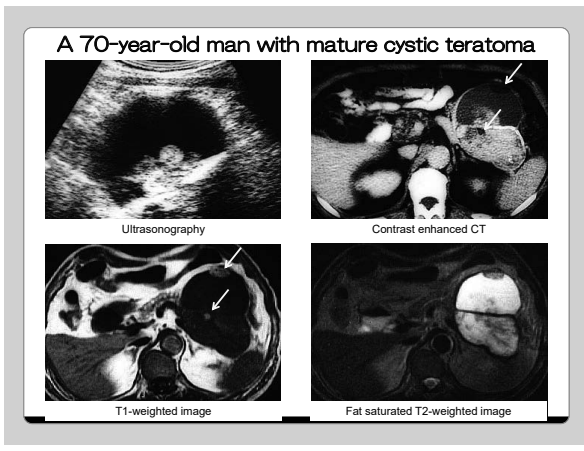
部位:頭部優位(70%) 形態:大きさ(1-14cm)

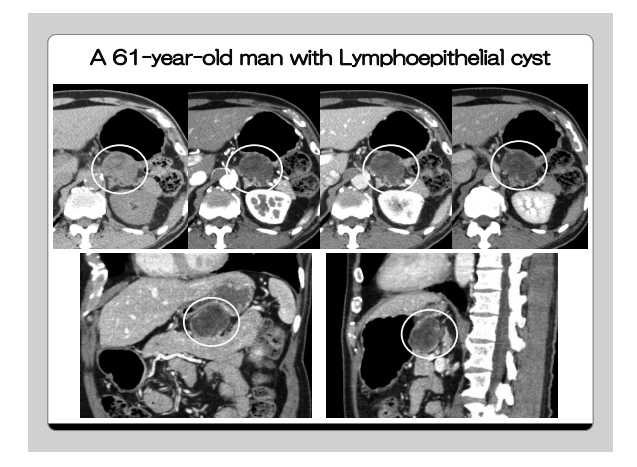
境界明瞭

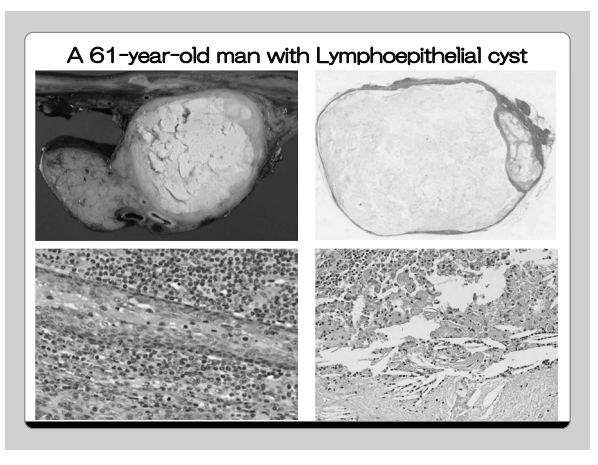
充実型と充実:嚢胞型=1:1











Mature cystic teratoma or Lymphoepithelial cyst

扁平上皮とそれを取り囲む発達したリンパ組織からなる壁を有する。 皮膚付属器腺を伴うと成熟嚢胞奇形腫に分類される。

性別:男性(80%)

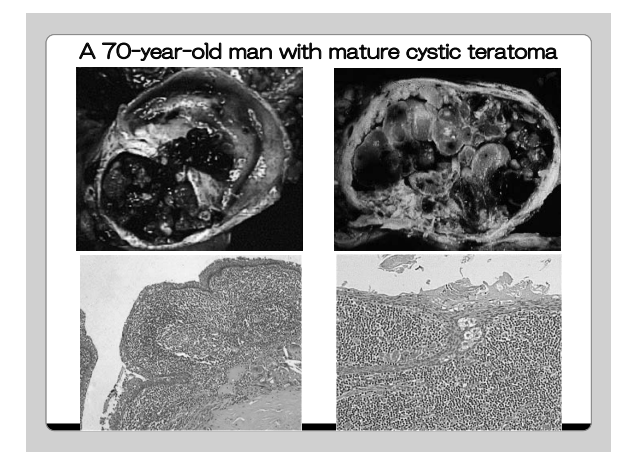
年齢:平均50歳代(40-80歳代)

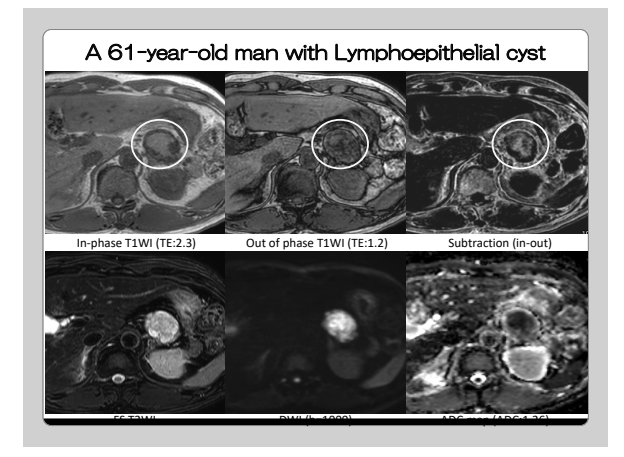
部位:膵臓外へ突出

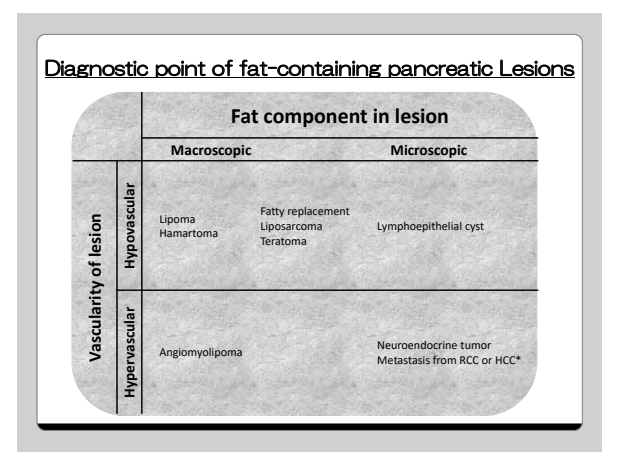
形態: 単房性(40%)、多房性(60%)

内容物

角化物質→DWIにて高信号 稀に脂質→脂肪抑制画像









11月2日(土)

ランチョンセミナー2

I:「頭頸部癌における最新 CT技術の臨床応用:

photon-counting detector CTの初期経験」

Ⅱ:「MRIの新世代画像再構成法:画質改善が臨床にもたらすインパクト」

ランチョンセミナー2

ランチョンセミナー2-1

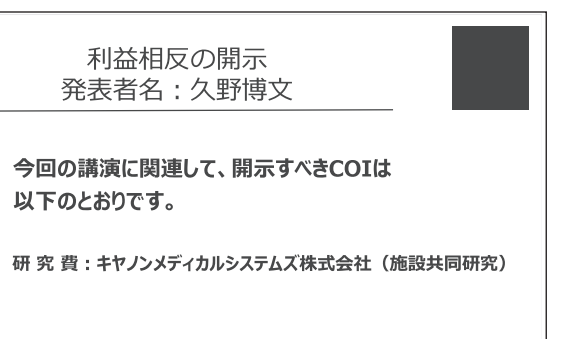


国立がん研究センター東病院 放射線診断科 ク野 博文

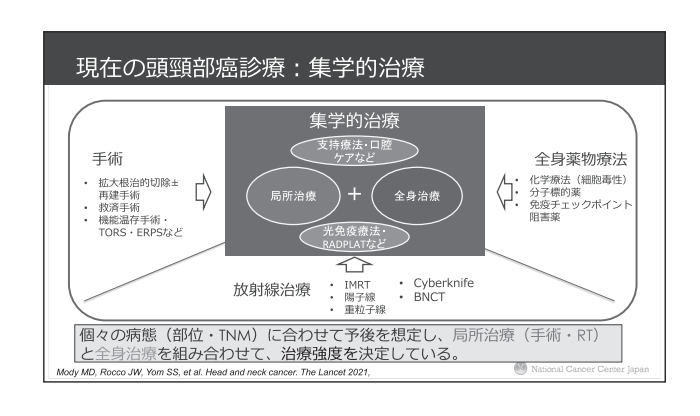
頭頸部癌における最新 CT技術の臨床応用: photon-counting detector CTの初期経験

頭頸部領域は、発声や嚥下など生活の質に直結する機能臓器の集合体である。画像診断医には、 頭頸部癌の評価において、正確な病期決定、治療の可否と選択、予想される機能障害など、臨床医の 判断に必要な情報を良質な画像と共に提供することが求められる。本講演では、過去15年間で当院に おいて臨床応用されてきたdual-energy imaging や subtraction 技術などの CT 技術を振り返る。ま た、2023年7月より当院で特定臨床研究として開始された、キヤノンメディカルシステムズ製 CZT ベースの Photon-Counting Detector CT の初期臨床画像を提示し、その可能性と未来展望について議論する。

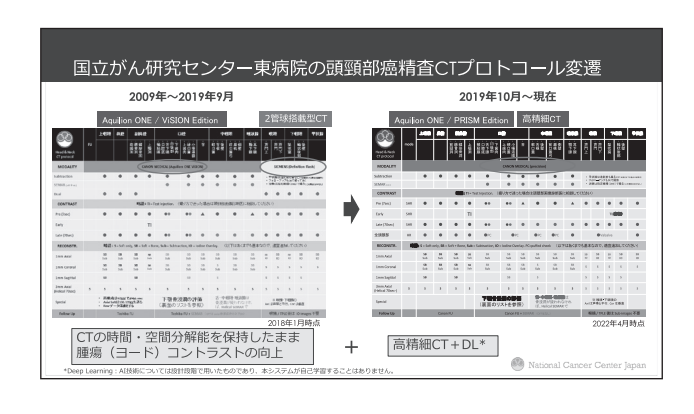


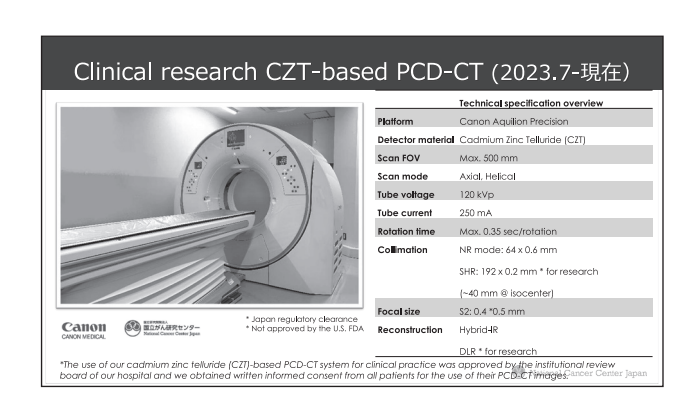


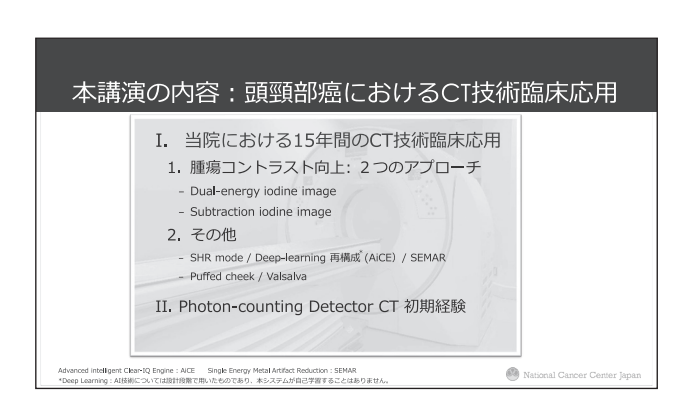


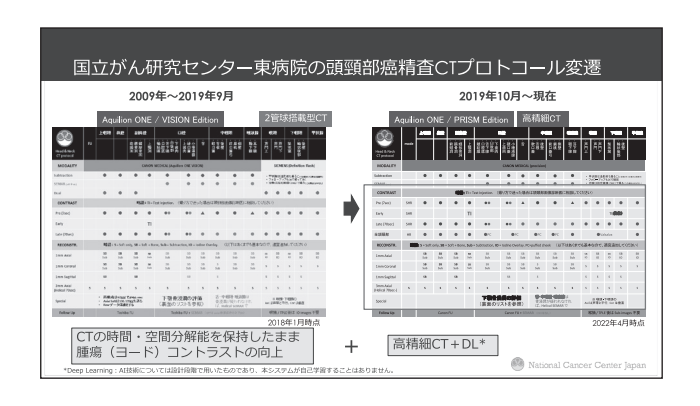


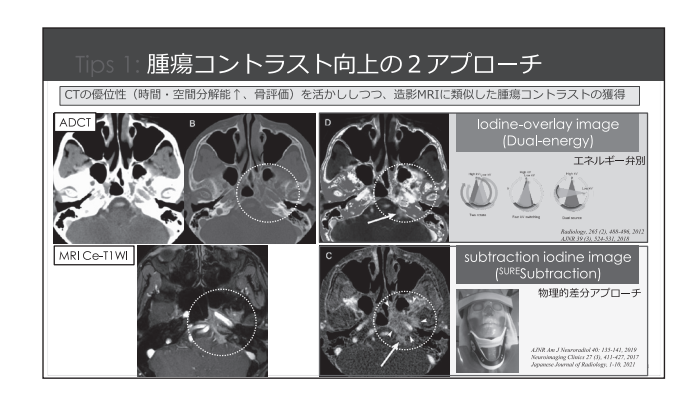


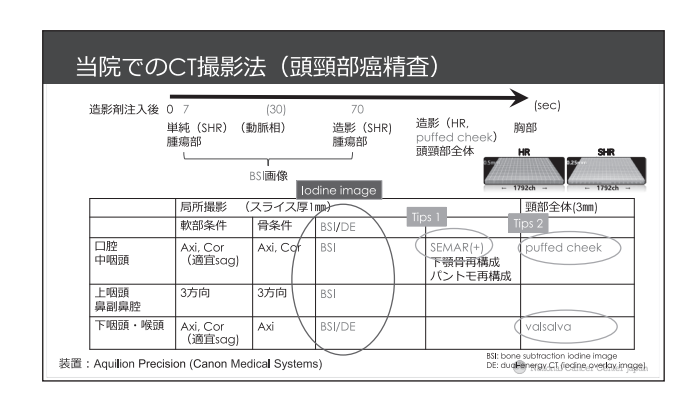




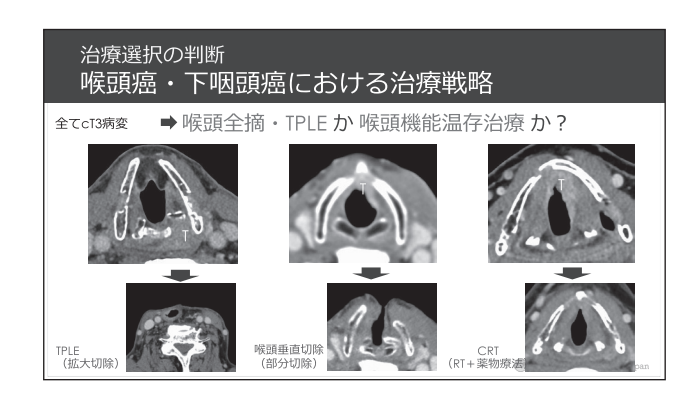


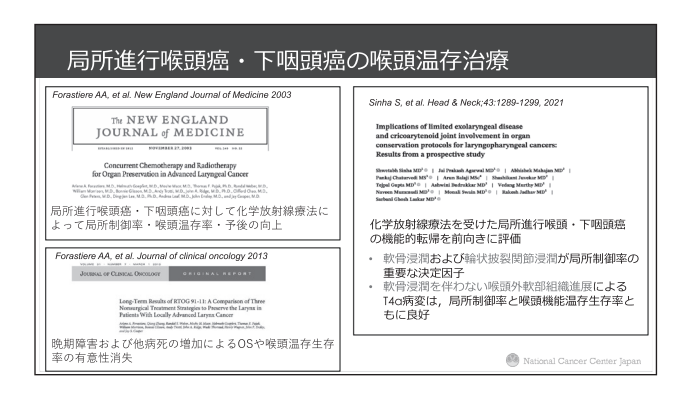


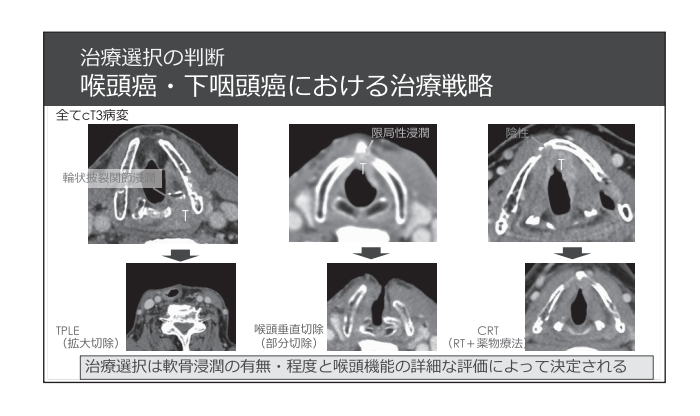


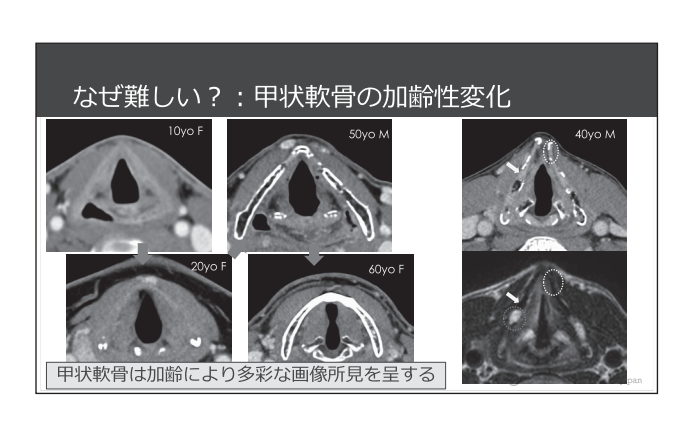


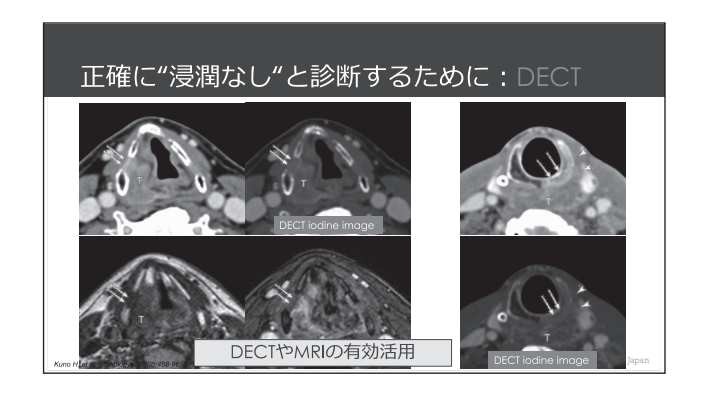


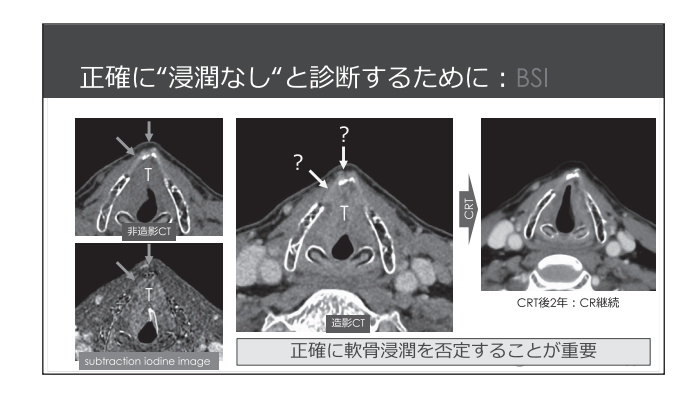


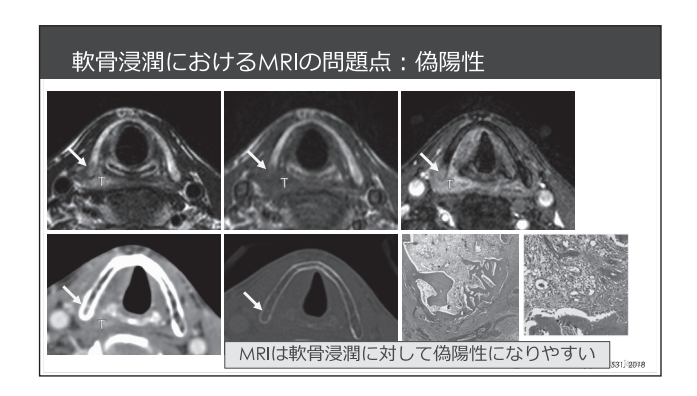


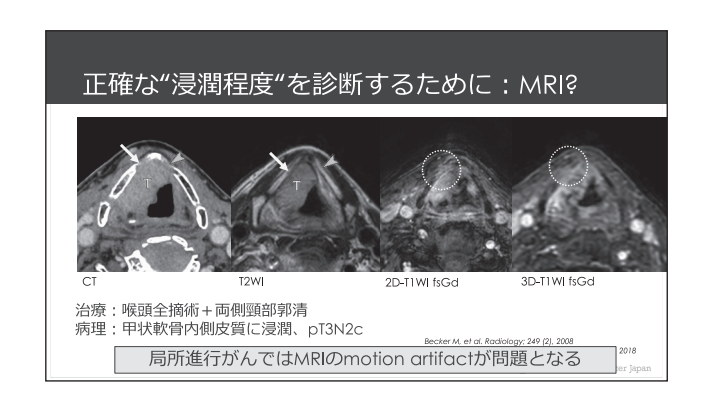




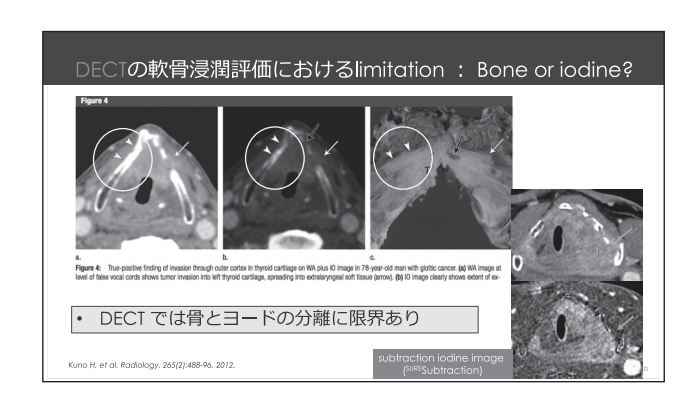


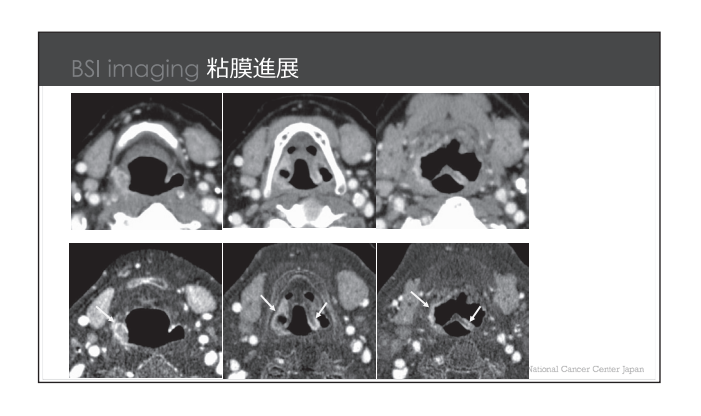


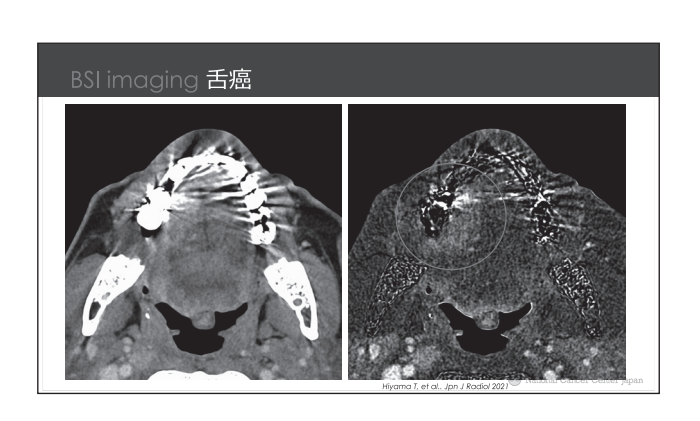


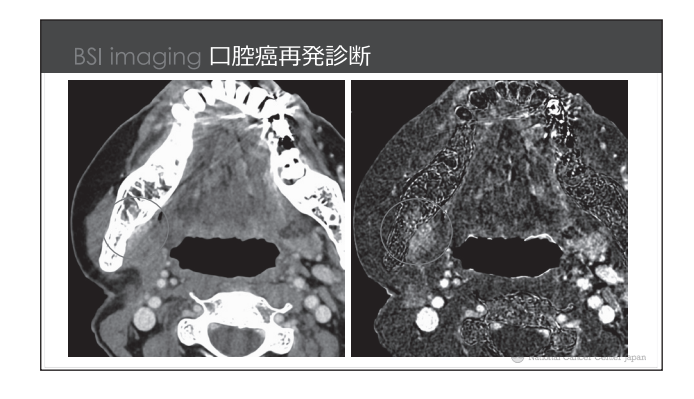


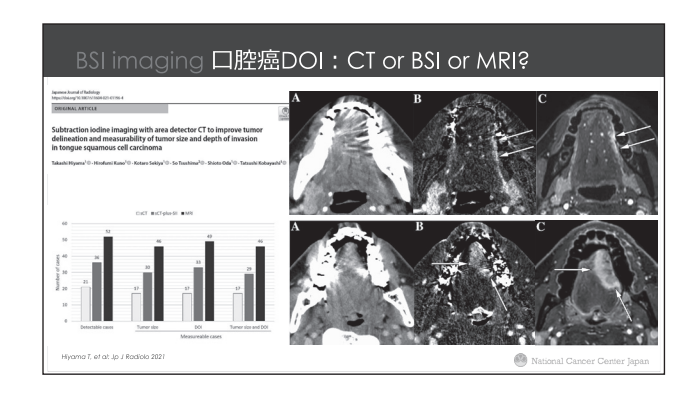


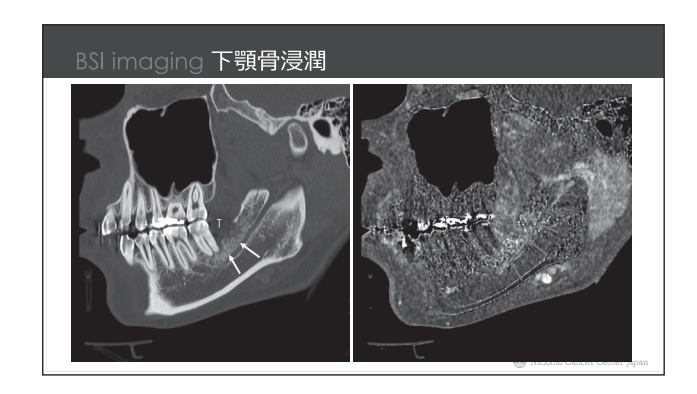


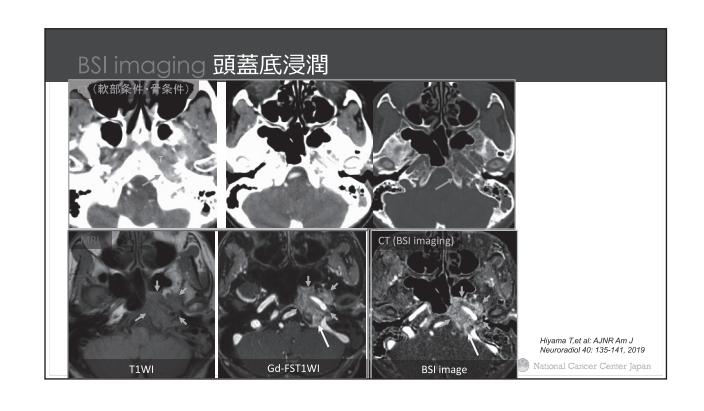


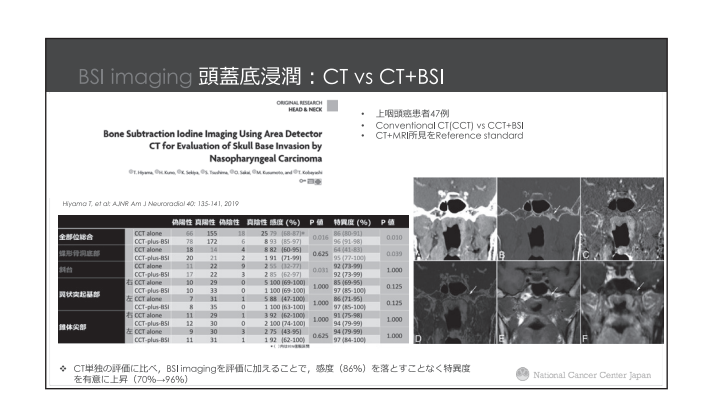


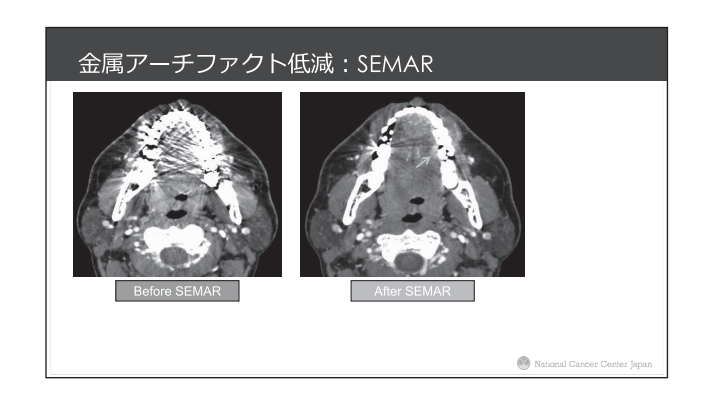


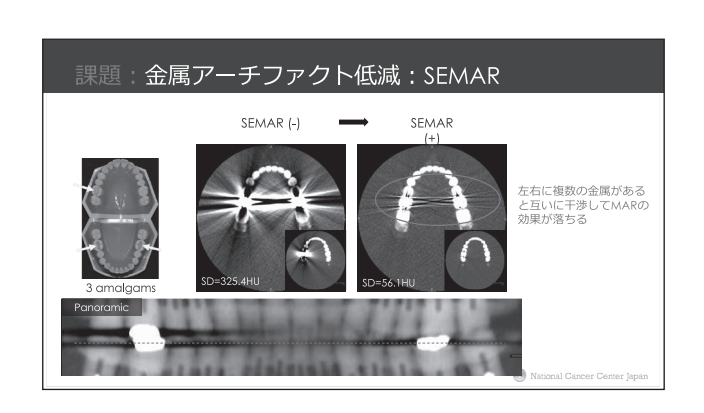


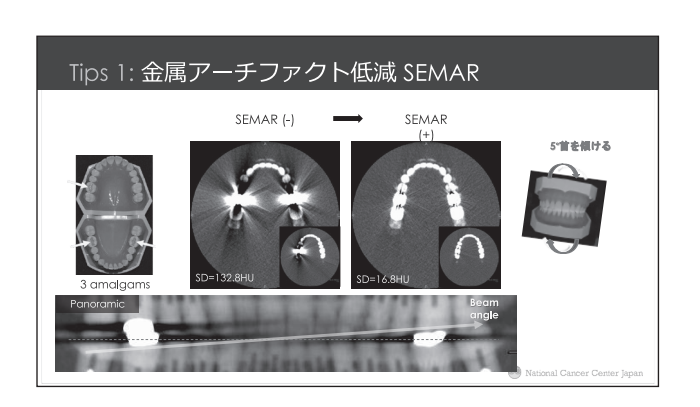


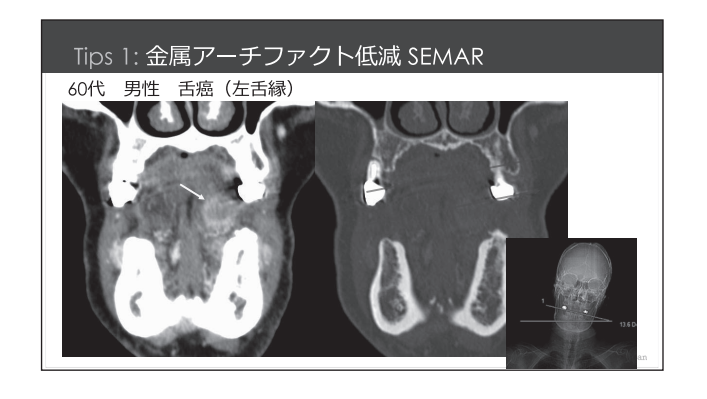


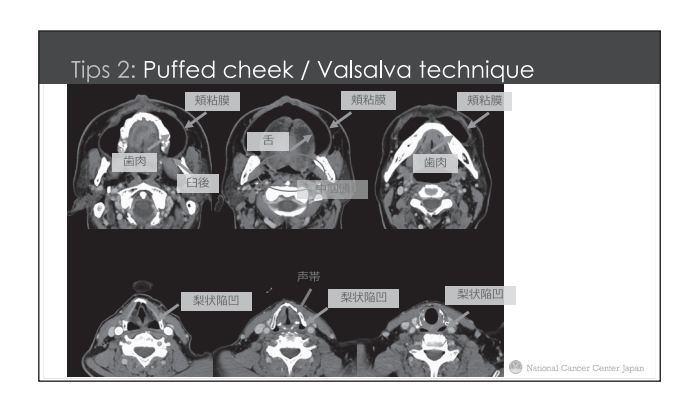


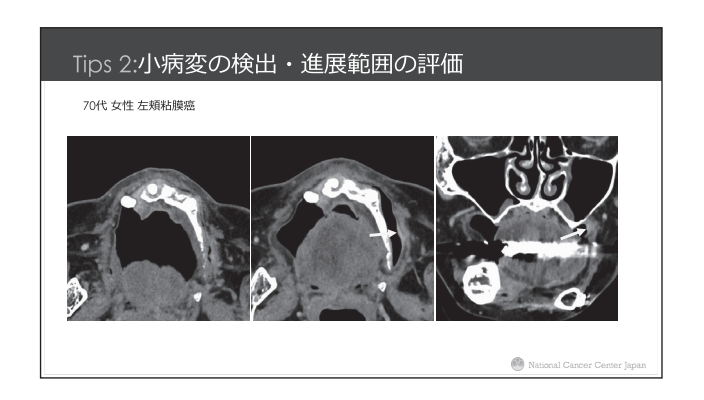


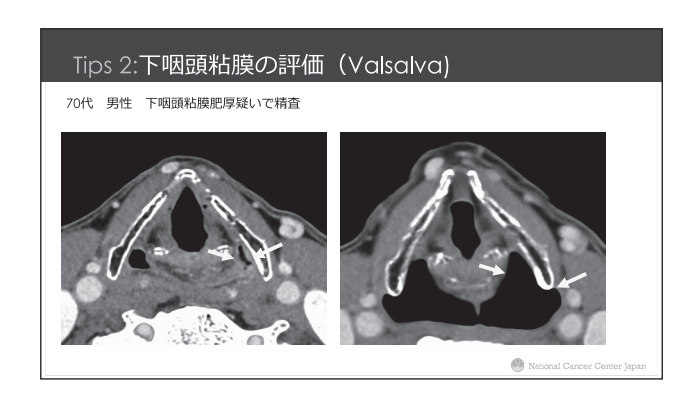


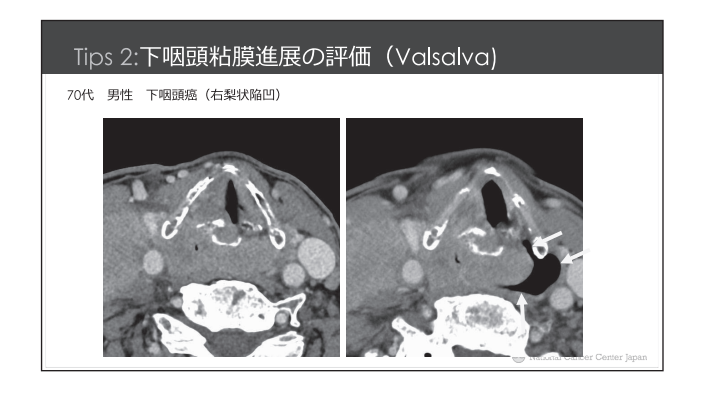


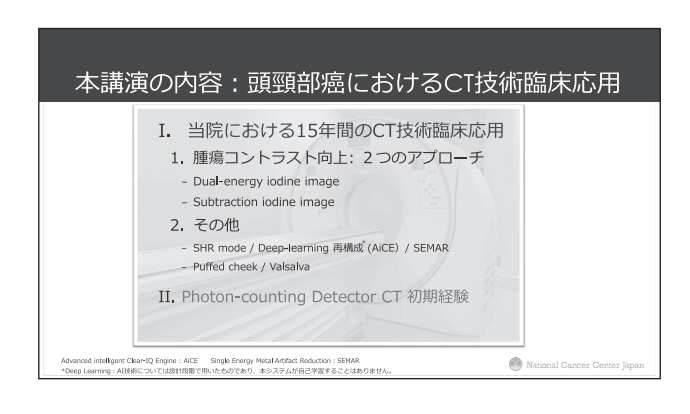


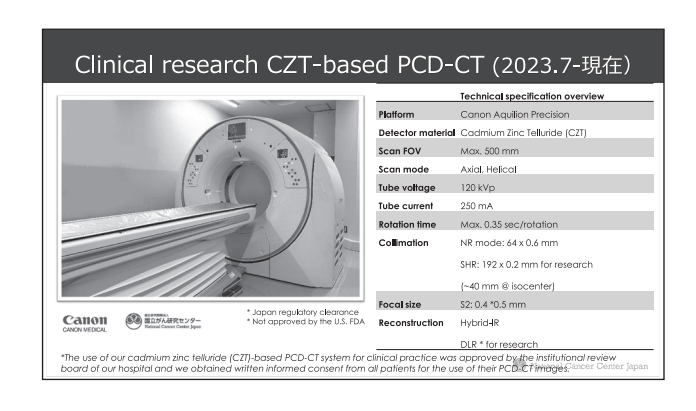


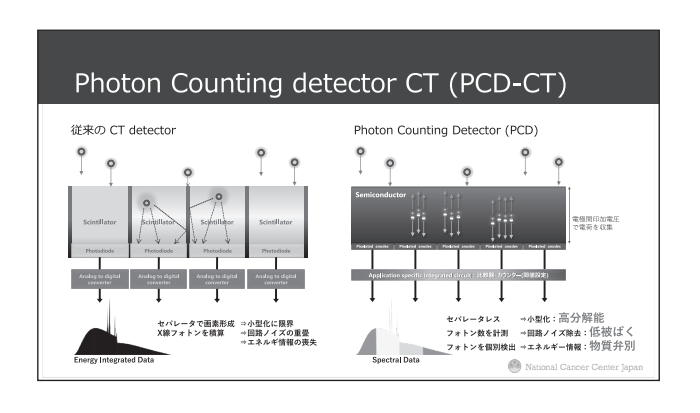


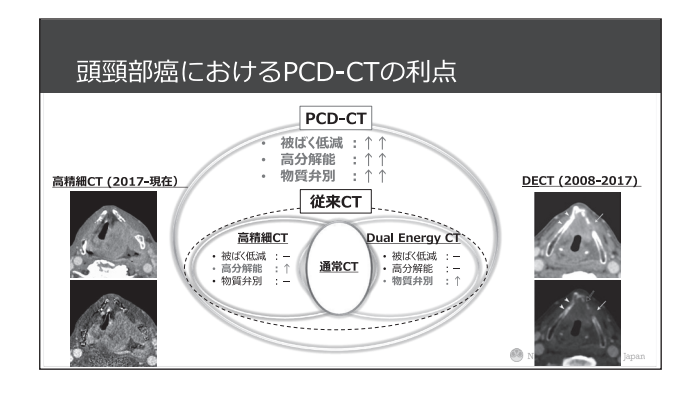




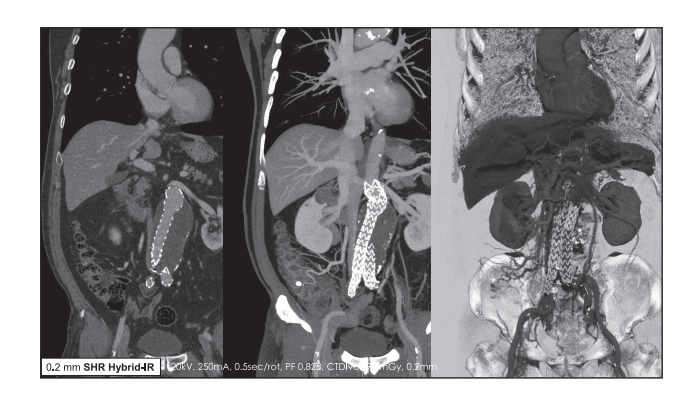




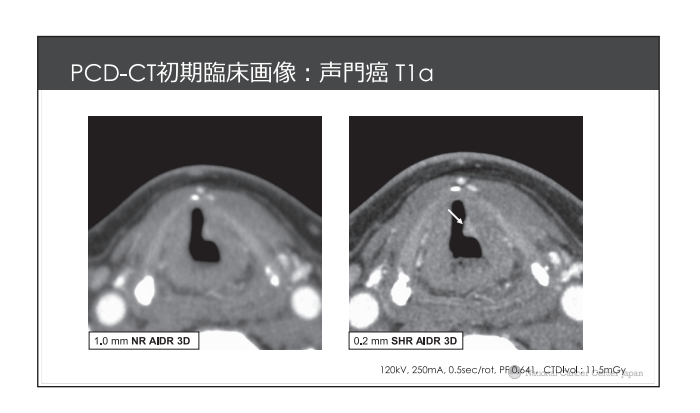














まとめ

- ■頭頸部癌診療には最適なCT画像技術の選択が重要
- -Dual-energy / subtraction 技術に、高精細技術・DL再構成・SEMARなどを組み合わせることで、診断能向上へ。
- -Photon-counting detector CTは、高精細とspectralの両立が可能であり、頭頸部癌診療への寄与に期待。

National Cancer Center Japan



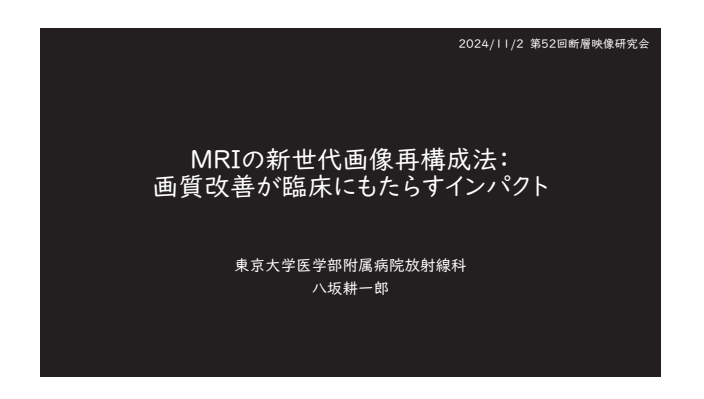
ランチョンセミナー2-11



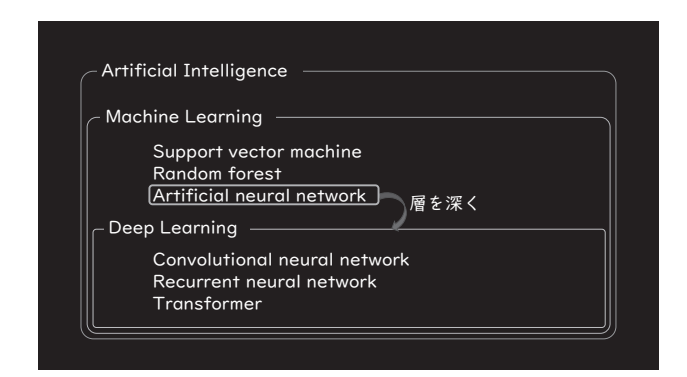
東京大学医学部附属病院 放射線科 八坂 耕一郎

MRIの新世代画像再構成法: 画質改善が臨床にもたらすインパクト

Deep Learning 画像再構成技術を用いることでMRI 画像のノイズを低減することや、空間分解能を向上することが可能である。また、画像再構成の過程で、体動によるアーチファクトを補正する技術も開発されている。本講演では、まず深層学習の概念や、MRI の新世代画像再構成法の原理について簡単に紹介する。そして、これらの技術を用いることによるMRI の画質改善が、画像診断へどのようなインパクトをもたらすのか紹介する。

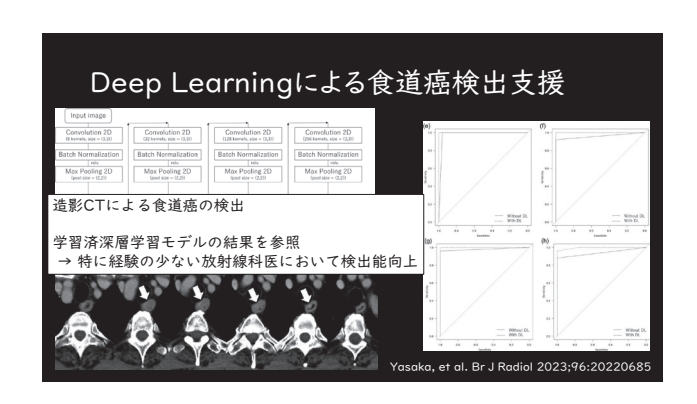


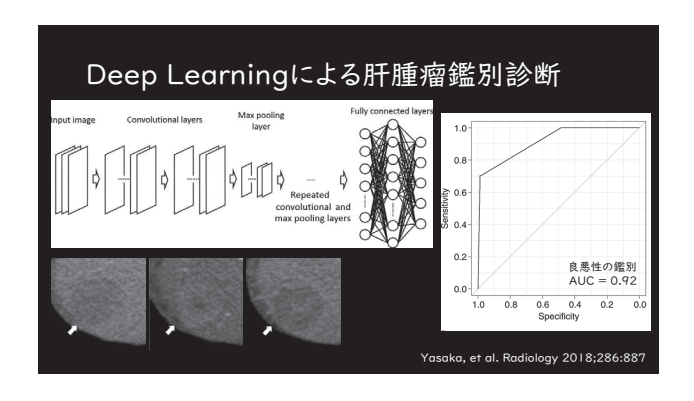


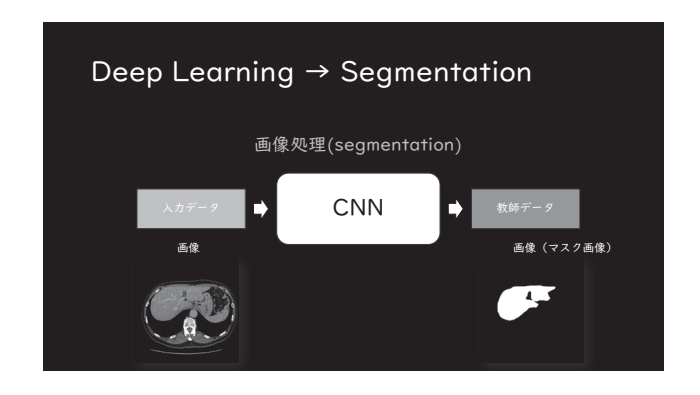






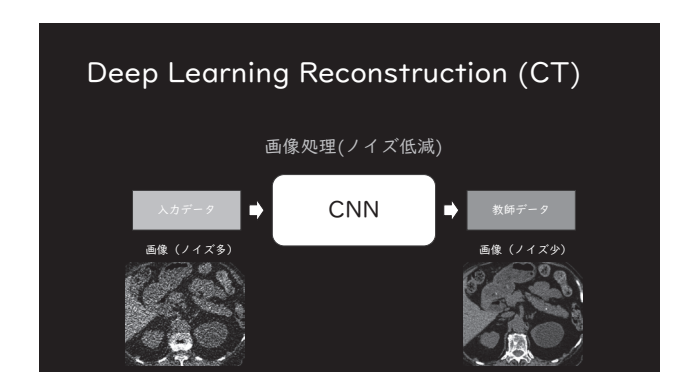


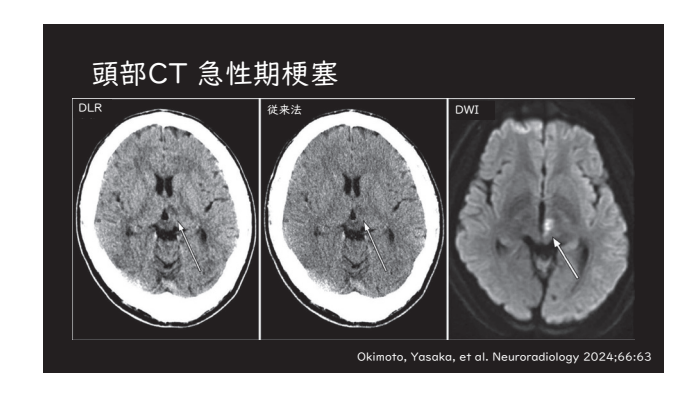


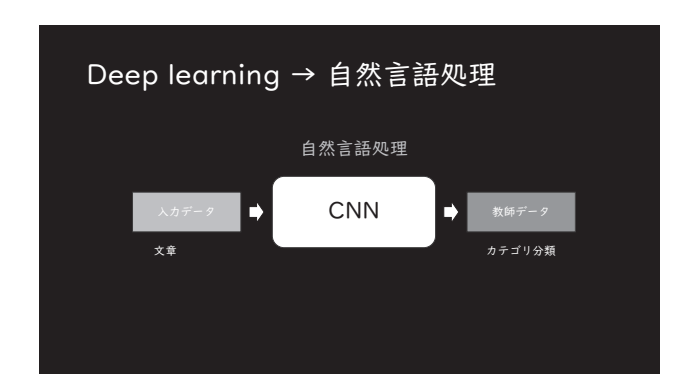




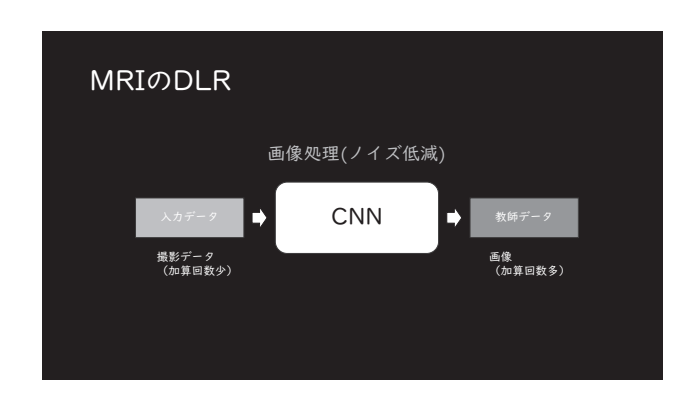


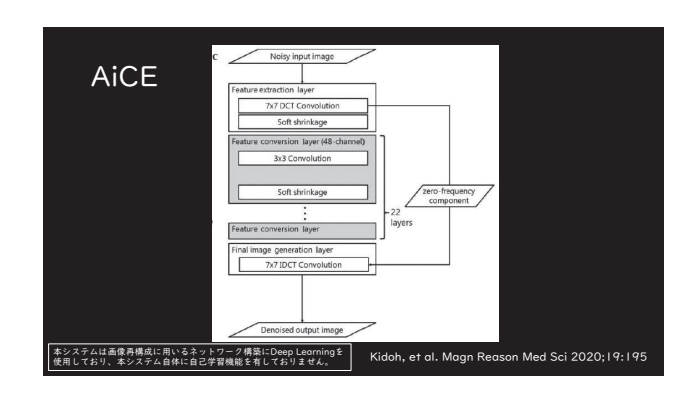


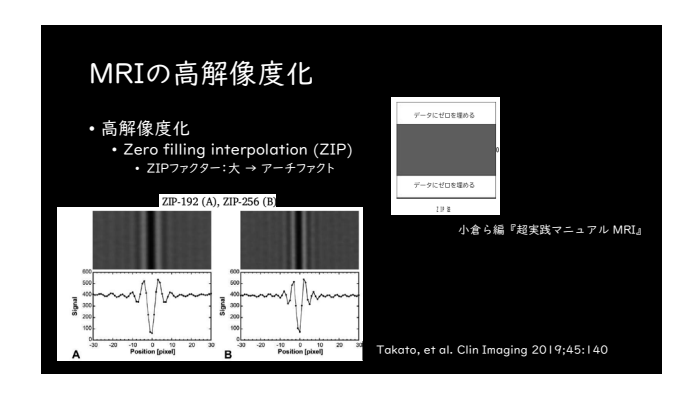




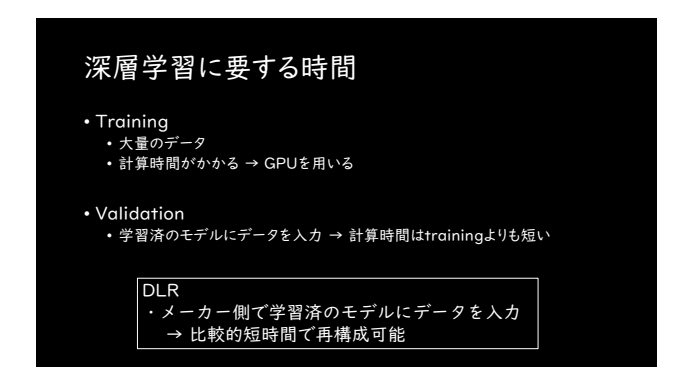


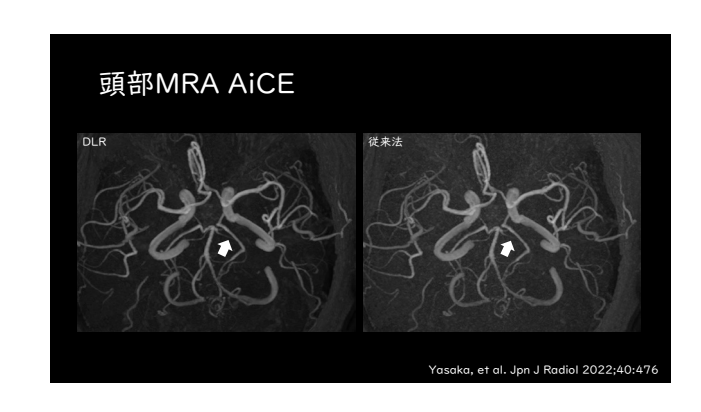


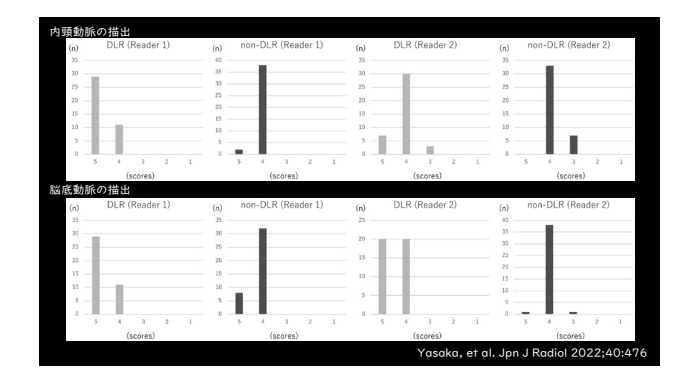


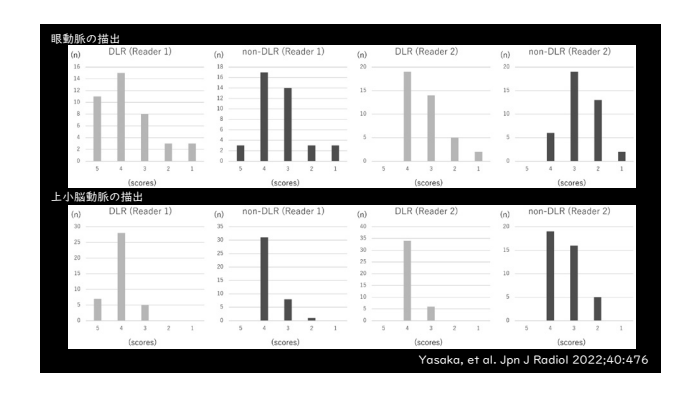




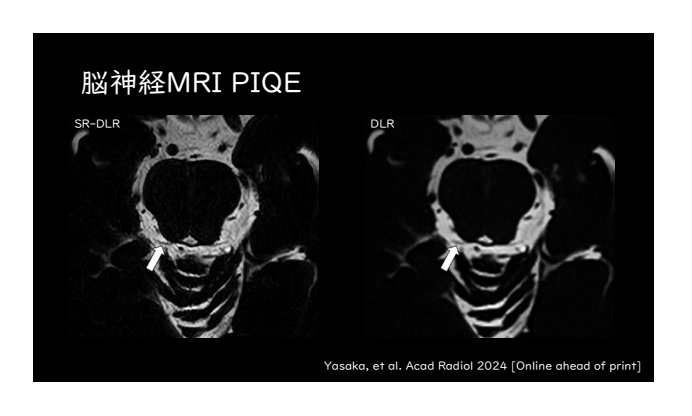


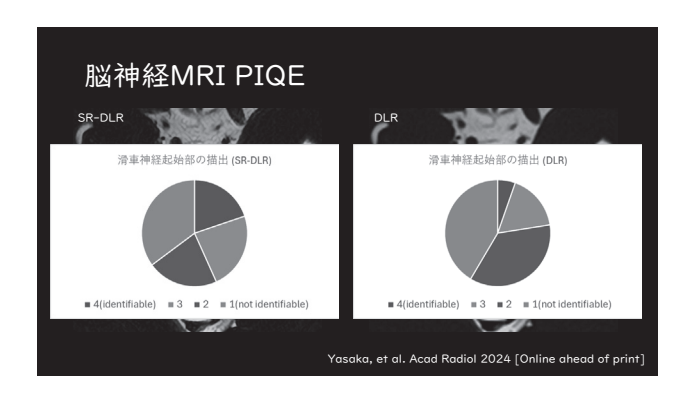


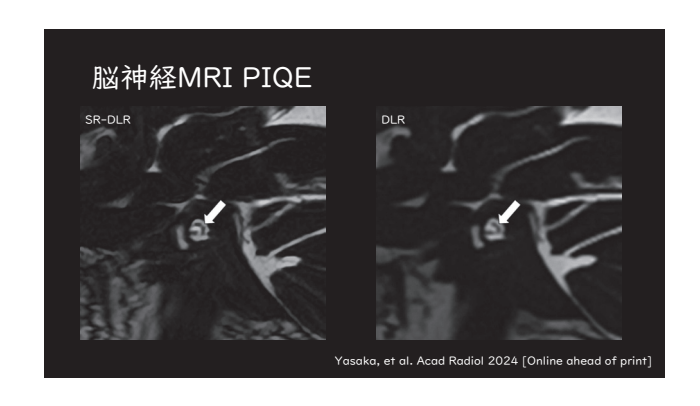


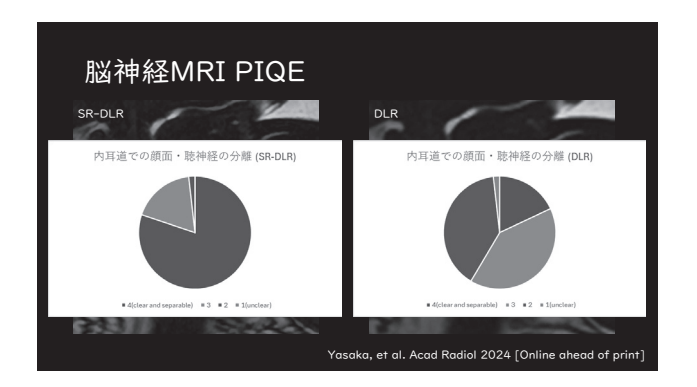


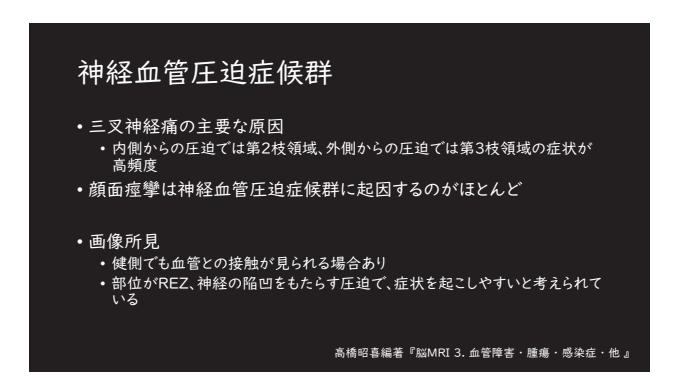


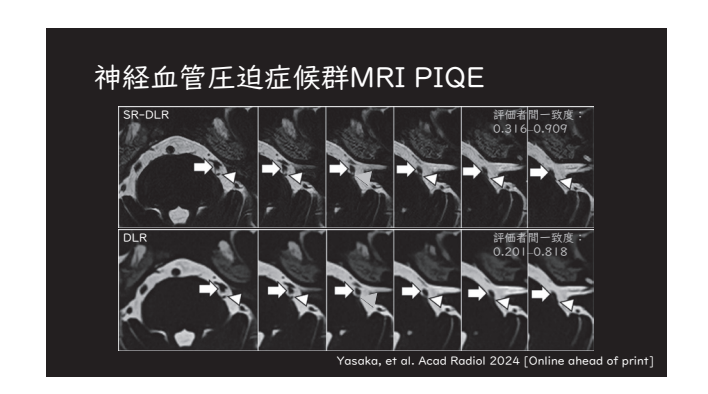


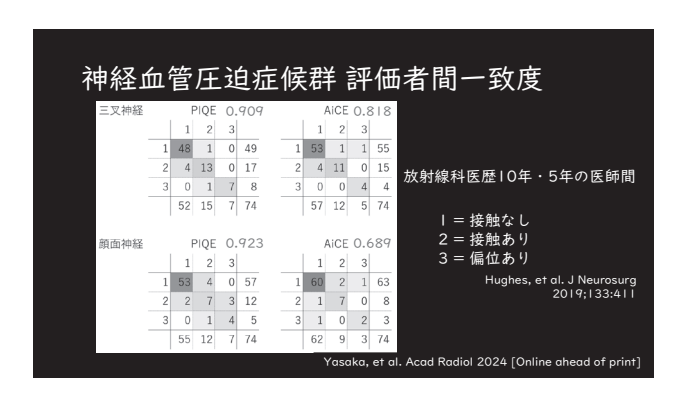


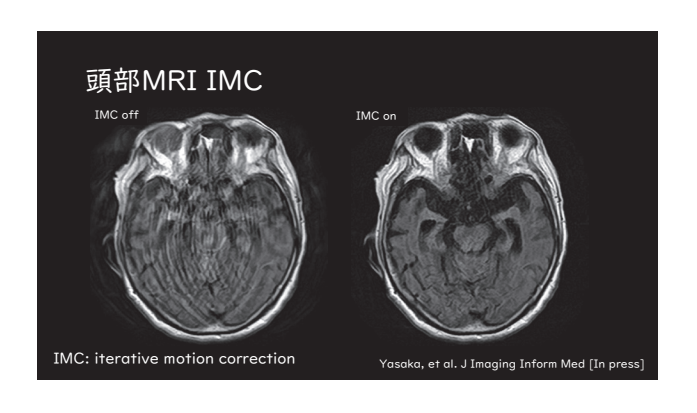


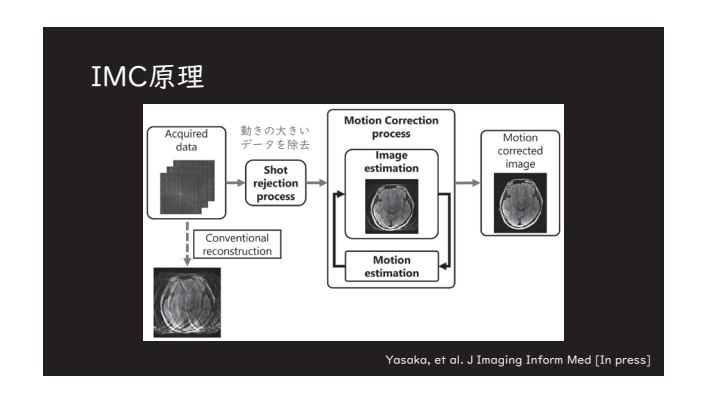




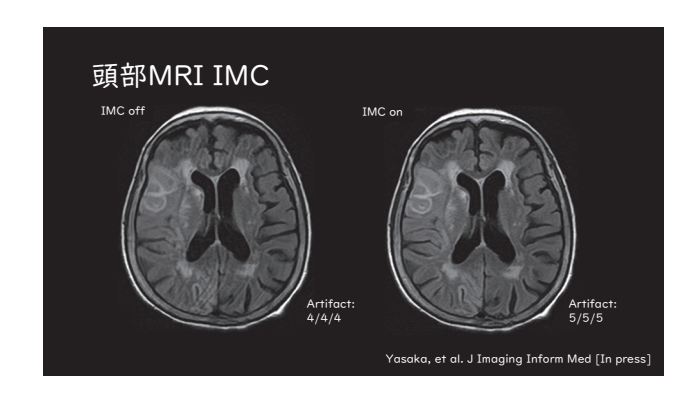


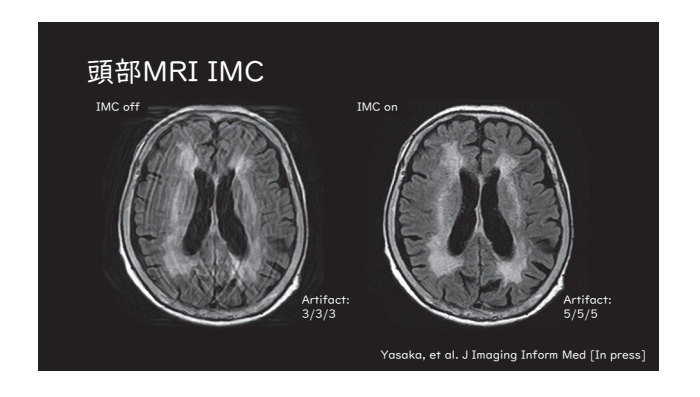


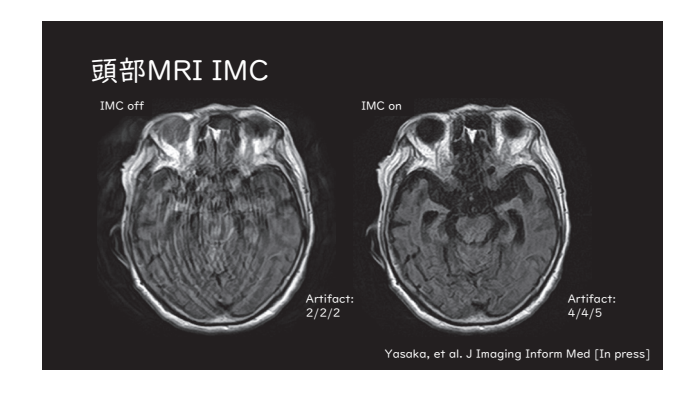


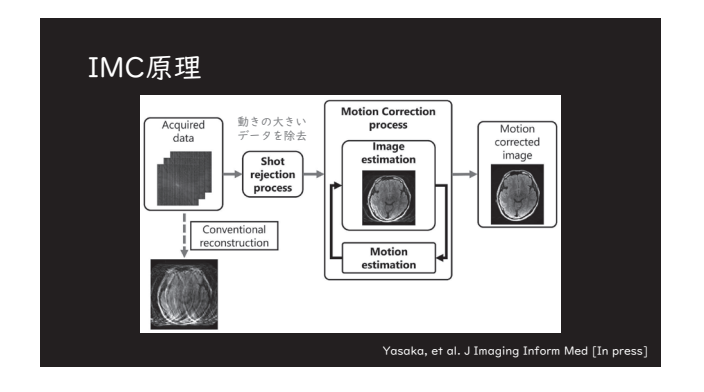


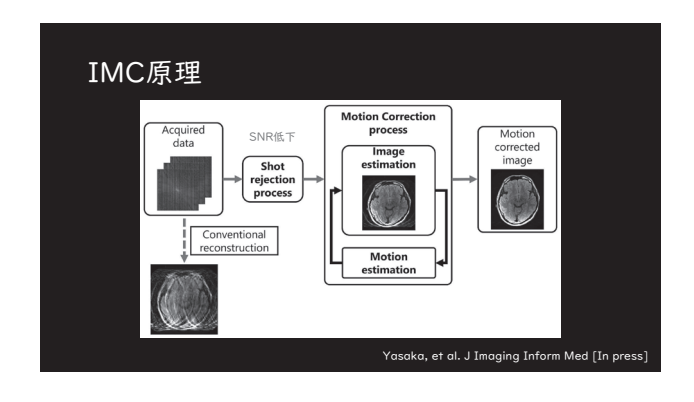
				IMC on	ı	
IMC off	合計	1	2	3	4	5
1 (poor)	60	16	32	8	4	0
2	87	0	11	38	31	7
3	64	0	0	8	23	33
4	374	0	0	3	168	203
5 (good)	1658	0	0	0	12	1646
		16	43	57	238	1889

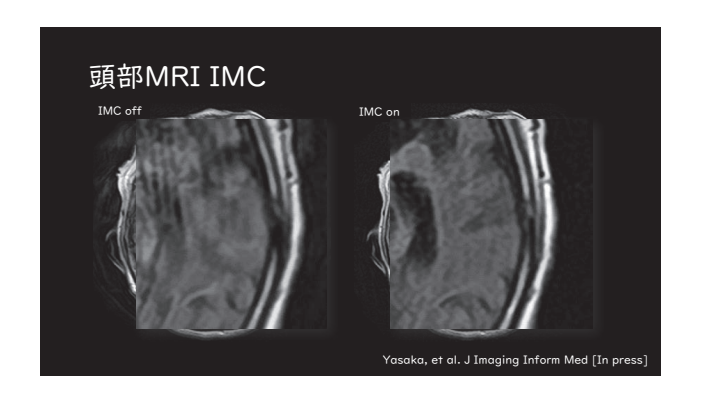


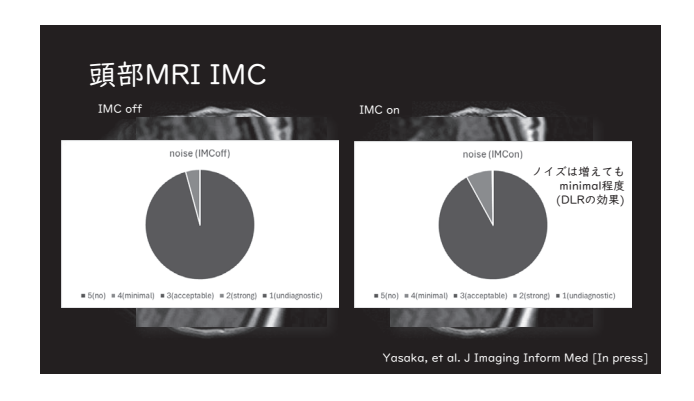












頸椎症

50歳以上では、MRIで80-90%に所見が見られる

Brinjikji, et al. AJNR 2015;36:811 Teraguchi, et al. Osteoarthritis Cartilage 2014;22:104

・ | 年あたり | 0万人に83人の頻度で神経根症を生じる

• 進行性の神経症状や、脊髄症を疑う所見がある場合にはMRI推奨

Theodore, et al. N Engl J Med 2020;383:159

頸椎症のMRI

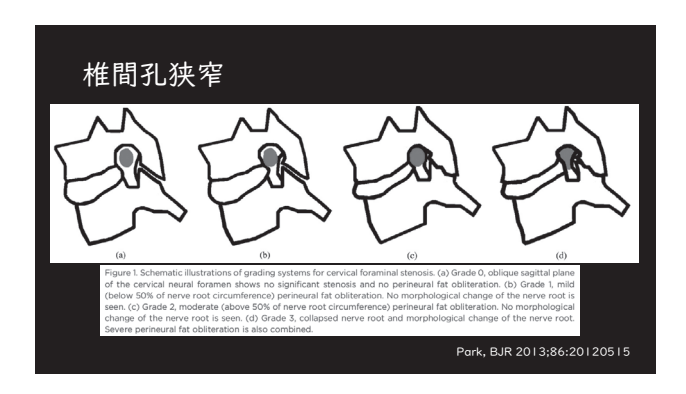
- 椎間孔のサイズは正常、狭窄部で約4.36 mm、2.21 mmと小さい Grams, et al. Surg Radiol Anat 2010;32:581
- •特に1.5Tの装置では椎間孔の描出は十分ではない

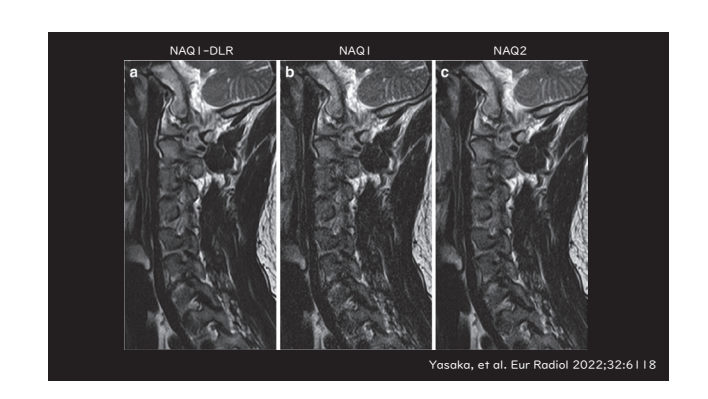
Meacock, et al. Neuroradiology 2021;63:305

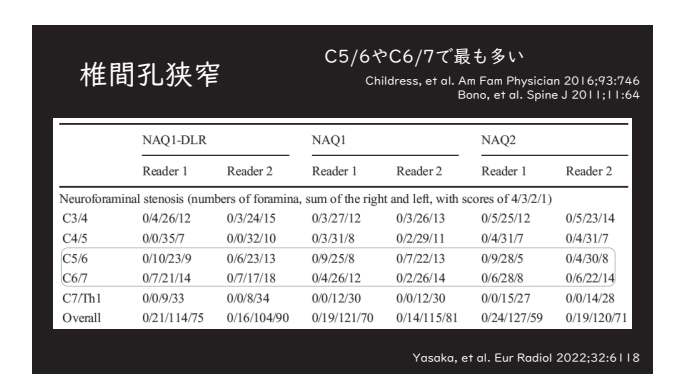
- 椎間孔狭窄の評価者間一致度を高める工夫

 - 評価基準の作成
 椎間乳の狭窄
 脊柱管中心管の狭窄
 画質向上

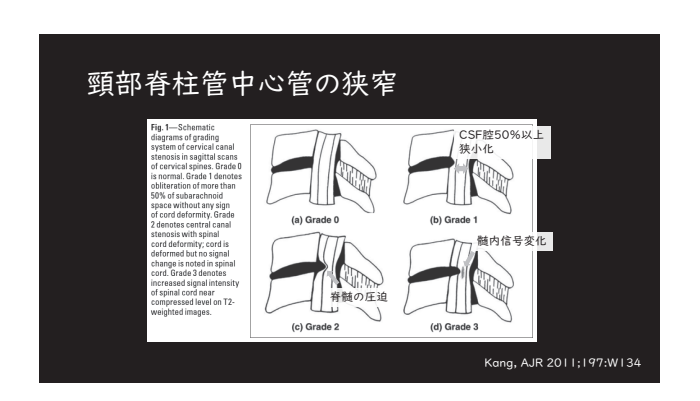
Park, BJR 2013;86:20120515 Kang, AJR 2011;197:W134

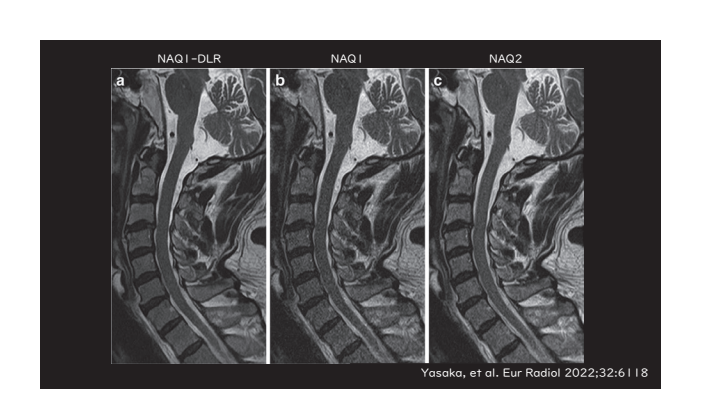












高齢者ではC3/4やC4/5の椎間に負荷が 脊柱管狭窄 生じやすい 稲岡努編『とにかく基礎から固める脊椎の画像診断													
	NAQ1-DLR		NAQ1		NAQ2								
	Reader 1 Reader 2			Reader 2	Reader 1 Reader 2								
Spinal canal	stenosis (number	s of patients wit	h scores of 4/3/2	'1)									
C3/4	0/5/9/7	0/5/6/10	0/6/9/6	0/5/6/10	0/5/8/8	0/4/8/9							
C4/5	0/4/14/3	0/2/15/4	0/4/15/2	0/4/13/4	0/3/15/3	0/3/14/4							
C5/6	0/5/14/2	0/3/16/2	0/7/13/1	0/4/12/5	0/4/16/1	0/3/15/3							
C6/7	0/4/15/2	0/1/18/2	0/4/15/2	0/2/14/5	0/2/18/1	0/0/19/2							
C7/Th1	0/0/5/16	0/0/5/16	0/0/5/16	0/0/6/15	0/0/8/13	0/0/7/14							
	0/18/57/30	0/11/60/34	0/21/57/27	0/15/51/39	0/14/65/26	0/10/63/32							

	脊柱管中心管狭窄 評価者間一致度																	
	NAQ1-DLR								NA	Q1				NAQ2				
	1	2	3	4				1	2	3	4			1	2	3	4	
1	30	4	0	0	34		1	26	13	0	0	39		25	7	0	0	32
2	0	53	7	0	60		2	1	43	7	0	51		2 1	57	5	0	63
3	0	0	11	0	11		3	0	1	14	0	15		3 0	1	9	0	10
4	0	0	0	0	0		4	0	0	0	0	0		4 0	0	0	0	0
	30	57	18	0	105			27	57	21	0	105		26	65	14	0	105
		κ = (.874	ļ.			$\kappa = 0.778$							κ = 0.818				
					Yasaka, et al. Eur Radiol 2022;32:6118													

頸椎MRI AiCE

・椎間孔狭窄度および脊柱管中心間狭窄度の評価者間一致度が向上

11月2日(土)

教育講演4:頭部・骨軟部【領域講習4】

I:「中枢神経感染症の画像診断」

Ⅱ:「骨軟部感染症の画像診断」

教育講演4:頭部・骨軟部【領域講習4】

教育講演4:頭部・骨軟部【領域講習4】-Ⅰ



自治医科大学とちぎ子ども医療センター 小児画像診断部 松木 充

中枢神経感染症の画像診断

中枢神経系感染症は、細菌、真菌、寄生虫やウイルスなど様々な病原体が原因となり、脳膿瘍、髄膜炎、脳炎などが生じる。また年齢に応じて、好発する中枢神経系感染症が異なる。日常臨床では、臨床症状、病歴、神経学的所見、血液所見、髄液所見、画像所見などを含めて総合的に診断されるが、画像診断の役割は大きく、その罹患部位、形態、信号強度、進展形式などに特徴的なことが多く、それらによって質的診断を絞り込むことができ、脳梗塞、水頭症などの合併症も評価する。さらに画像診断は、他部位の画像所見も含めて、感染の原因、感染経路の検索や病態の把握にも役立つ。本講演ではそれらを踏まえて代表的な中枢神経系感染症の特徴的な画像所見と画像診断の役割について述べたい。

頭蓋内結核

1. 結核性髄膜炎: tuberculous meningitis (最多)

2. 脳内結核腫: tuberculoma

3. 結核性脳膿瘍: tuberculous abscess (まれ)

結核性髄膜炎: tuberculous meningitis

1) 脳底部に好発 (脳底部髄膜炎)

2) 年間264±120例発症。15%が小児例

3) 症状: 頭痛・発熱など

4) 髄液検査: リンパ球優位の細胞増加、糖濃度低値

5) 診断:結核菌の塗抹・培養、PCR検査、T-SPOT、髄液ADA値測定

6) 合併症:水頭症、脳梗塞

7) MRI所見: ①**脳底部の髄膜に異常濃染、**②結核腫(±)、③**水頭症, 脳梗塞** (特に 基底核, 内包後脚)、④まれに限局性髄膜炎 (focal meningitis)、⑤paradoxical worsening of tuberculosis: 抗結核薬治療中に一時的な症状, 画像の悪化。 治療に伴って細胞性免疫が回復し、生菌・死菌を問わず結核菌の菌体成分に対して 過剰に反応を示す。 神経内科疾患の画像診断 第2版 秀潤社

脳内結核腫:tuberculoma

- 1) 血行性播種、単発~多数、結核性髄膜炎の合併(±)
- 2) 小児の場合はテント下、成人の場合はテント上に好発
- 3) 病理:非乾酪性肉芽腫→乾酪性肉芽腫→乾酪壊死が液状化し、膿瘍形成(結核性脳膿瘍)

	MRI	T2WI	Gd-T1WI
①非乾酪性肉芽腫	T2WI: 等信号 Gd-T1WI: 均一な造影効果		
②乾酪性肉芽腫	T2WI: 等~低信号 Gd-T1WI: リング状の造影効果		
③液状化	T2WI: 高信号 Gd T1WI: リング状造影効果		0

Bernaerts et al.Eur Radiol (2003) 13:1876-1890

クリプトコッカス髄膜炎: Cryptococcal meningitis

1. 髄膜炎, 髄膜脳炎: meningitis, meningoencephalitis

2. 肉芽腫: cryptococcoma

3. ゼラチン性偽嚢胞: gelatinous pseudocyst



クリプトコッカス髄膜炎: Cryptococcal meningitis

- 1) 脳底部に好発 (脳底部髄膜炎)
- 2) Cryptococcus neoformans による真菌感染症。土壌や鳥類の糞便を吸入すること で感染する。肺から血行性に進展するとされる。
- 3) HIV感染症、血液悪性疾患など免疫不全患者に好発するが、**健常人でも発症する。**
- 4) 症状:頭痛、嘔気、嘔吐、疲労感、記憶喪失、性格変化など
- 5) 髄液検査: リンパ球優位の細胞増加, 蛋白増加, 糖減少 (結核性髄膜炎と同じ)、 髄液クリプトコッカス抗原陽性
- 6) 合併症:水頭症、脳梗塞
- 7) 病態:①**髄膜炎, 髄膜脳炎**, ②**肉芽腫(cryptococcoma)**,:髄膜, 脳実質, 脈絡 叢で肉芽腫形成, ③**ゼラチン性偽嚢胞 (gelatinous pseudocyst)** :血管周囲 腔で粘液産生

Osborn's Brain: Imaging, Pathology, and Anatomy

クリプトコッカス髄膜炎のMRI所見

- 1) 髄膜炎, 髄膜脳炎:
- ① 髄軟膜に沿った造影効果, ② 隣接する脳浮腫, ③ 水頭症, 脳梗塞
- 2) Cryptococcoma (肉芽腫性病変):
- ① 濃染する肥厚した髄膜、② 脳実質内の結節状、リング状に濃染、
- ③ 脈絡叢の腫瘤形成
- 3) ゼラチン性偽嚢胞 (gelatinous pseudocyst):
- ① 基底核、中脳、小脳の血管周囲腔の拡張、② 両側、多発性の円型~楕円形の病変 (soap bubble状), ③ FLAIRで髄液より高信号, ④ Gd-T1WIでは造影効果なし。 免疫正常例ではリング状の濃染を示すことあり。

Osborn's Brain: Imaging, Pathology, and Anatomy

トキソプラズマ症: Toxoplasmosis

- 1) 経口感染で腸管から侵入した原虫(Toxoplasma gondii)が、主に血行性で全身に 播種され、骨以外のすべての組織・臓器に感染し、寄生する.
- 2) 免疫正常者が感染した場合には普通は無症状に経過。免疫不全患者、

特にHIV患者では最も多い日和見感染症

- 3) 症状:頭痛、発熱、意識状態の変化、局所的神経脱落症状
- 4) 髄液検査では蛋白は軽度~中等度の上昇、リンパ球優位の細胞増多、糖濃度正常。 髄腔内でのトキソプラズマ特異IgGあるいはIgM抗体陽性。 しかし、強度の免疫抑制状態ではこの抗体が消失。
- 5) 診断的治療:7~10日間の抗生物質の使用によって急速に消退するので、反応の ない際には生検を考慮

神経内科疾患の画像診断 第2版 秀潤社

トキソプラズマ症の画像所見

1) 基底核、視床および大脳皮髄境界に好発

2) CT:治癒後には石灰化が見られることあり。

3) MRI:

① T1WIで低信号、周辺部が高信号。

② DWIでの拡散制限はまれ



③ Gd-T1WIでリング状濃染と内部に結節状濃染("target sign"あるは "eccentric target sign.

- 1) Case Rep Neurol Med. 2018; 2018: 9876514.
- 2) 神経内科疾患の画像診断 第2版 秀潤社

単純ヘルペス脳炎: Herpes simplex encephalitis

- 1) 成人のウイルス性脳炎の原因として最も頻度が高い。
- 2) 病原体: HSV-1 が90%。 HSV-2でも生じる。
- 好発年齢:全年代に生じるが、9歳以下と20~50歳代にピーク。
- 4) 多くの場合、小児期に初感染し、三叉神経節、嗅球などに潜伏し、免疫低下によってHSV-1が再活性化 し、知覚神経を介し、**脳炎**に進展することがある。
- 5) 症状:発熱、頭痛、意識障害、痙攣、言語障害、性格変容、異常行動など
- 6) 診断: time HSV-DNA PCR(感度96~98%、特異度 94~99%)がGold standard。高感度PCRでも 発症48時間以内や14日以降、アシクロビル投与1週間後は陽性率が下がる。よって2回以上のPCRが
- 7) 治療:治療は、初感染,中等症の場合には、抗ヘルペス薬(アシクロビル、バラシクロビル)の内服 免疫不全者では抗ヘルペス薬(アシクロビル ビダラビン)
- 8) 予後: 死亡率 10~15%。死亡と高度後遺症を含めた転帰不良率は33~53%
 - 1) Osborn's brain imaging, pathology, and anator 2) 神経内科疾患の画像診断 第2版 秀潤社 3) Computerized Medical Imaging and Graphics

単純ヘルペス脳炎のMRI所見

- 1. 側頭葉内側部・外側部・尖端部を侵し、前頭葉眼窩部、前部帯状回、島回に進展。
- 2. 片側性ないしは左右非対称性の血行支配領域に一致しないT2強調像, FLAIRでの 高信品域.
- 3. 亜急性期にGd造影T1強調像で脳回に沿った増強効果を認める。
- 4. 出血を伴うことが多い。検出にはT2*WIや磁化率強調像が有用。
- 5. 早期の病変は、拡散強調像にて細胞性浮腫(cytotoxic edema)を反映して拡散制限 を示す。早期検出に有用。

 - Osborn's brain imaging, pathology,and anato 神経内科疾患の画像診断 第2版 秀潤社 Computerized Medical Imaging and Graphio

- 1. 側頭葉内側部・外側部・尖端部を侵し、前頭葉眼窩部、前部帯状回、島回に進展。
- 2. 片側性ないしは左右非対称性の血行支配領域に一致しないT2強調像, FLAIRでの高信号域。
- 亜急性期にGd造影T1強調像で脳回に沿った増強効果を認める。
- 4. 出血を伴うことが多い。検出にはT2*WIや磁化率強調像が有用。
- 5. 拡散強調像にて細胞性浮腫(cytotoxic edema)を反映して拡散制限を示す。早期検出に有用。

(非典型像)

- 1. 15%に側頭葉を含まない領域に分布
- 2. 前部帯状回は、側頭葉外の分布としては頻度は高く、比較的特徴的である。
- 3. 視床、脳幹、小脳を侵すことや広範に白質に広がることがある。 基底核はまれ。

Osborn's brain imaging, pathology,and an 神経内科疾患の画像診断 第2版 秀潤社

辺縁系脳炎: Limbic encephalitis

1) ヘルペス性急性辺縁系脳炎(herpetic limbic encephalitis)

単純ヘルペスウィルス-1.2、HHV-6、VZVなど

- 2) 非ヘルペス性急性辺縁系脳炎 (non-herpetic limbic encephalitis)
 - a) 自己免性, 自己免疫介在性:
 - 1. 細胞内抗原: Hu、Yo、Ri、Ma2、ANNA-3、SOX1、GAD、CRMP5/CV2、

Anti-Kelch-like Protein11など

- 2. 細胞膜表面抗原: NMDAR、AMPAR、GABABR、LGI1、Caspr-2、 GluRe2、mGluR1、lgLON5など
- b) 自己免疫疾患関連:橋本病、SLE、Sjogren症候群など c) 他のウィルス: エンテロウィルスなど

高橋幸利 臨床神経 2012; 52: 836-839

抗VGKC複合体

- 1) VGKCとは神経筋接合部に存在する電位依存性カリウムチャネル
- 2) VGKCは種々の分子 (Kv, LGI-1, Caspr-2など) からなる複合体
- 3) 2010年VGKCに対する自己抗体による辺縁系脳炎を抗VGKC複合体抗体関連脳炎と して報告。その後、VGKC複合体を形成するLGI1とCaspr2に対する自己抗体が辺縁系 脳炎の原因と判明



抗VGKC複合体抗体 抗Kv抗体 抗Caspr-2 抗体 抗コンタクチン-2抗体 抗Tag-1抗体

抗VGKC複合体抗体関連脳炎				
	抗LGI-1抗体関連脳炎	抗Caspr2抗体関連脳炎		
機序	自己免疫性が多い	傍腫瘍性が多い		
臨床症状	主に辺縁系脳炎 低Na血症(60%-88)、幻覚、妄想、 同側の顔面と上肢に限局シストニア様の 痙攣発作(faciobrachial dystonic seizures (FBDS))	主にMorvan症候群 (末梢神経+自律神経障害) 重症筋無力症、胸腺腫の合併		
頻度	10	1		
年齢性別	平均60歳 65% 男性	平均60歳 85% 男性		
予後	単相性	腫瘍による		
画像	8割でMRI病変あり 辺縁系脳炎、基底核	4割でMRI病変		

抗VGKC複合体抗体関連脳炎 抗LGI-1抗体関連脳炎

自己免疫性が多い 機序 主に辺縁系脳炎 低Na血症(60%-88)、幻覚、妄想, 同側の顔面と上肢に限局ジストニア様の 臨床症状 痙攣発作(faciobrachial dystoseizures (FBDS)) 平均60歳 65% 男性 年齢性別 予後 単相性

8割でMRI病変あり

辺縁系脳炎, 基底核

画像

抗Caspr2抗体関連脳炎 傍腫瘍性が多い 4割でMRI病変

高橋幸利 臨床神経 2012; 52: 836-839

1) FBSDあり群では基底核の異常信号 11/26例(42%)、FBDSなし群では 基底核の異常信号 0/22例

2) 基底核T1高信号は、エピソード中にT2高信号と同時に(62%)発生、あるいは 短期間T2高信号(38%)が先行した。

- 3)拡散制限伴うことあり。Gd-T1WIで造影効果を伴うことあり。
- 4) 基底核の異常信号は通常FBDSの対側。両側FBDS1例は両側基底核にT1高信号
- 5) T1高信号は、T2高信号より持続(中央値11週 vs 1週)
- 6) 基底核異常信号11例の内5例で側頭葉内側にT2高信号
- 7) 基底核T1高信号の原因は不明。 傷害を受けたミトコンドリア内の常磁性フリーラジカルで あるマンガン、鉄沈着で膨化したアストロサイト(gemistocytes)、脂質を含んだマクロ ファージ、タンパクの変性などの潜在的な要因が関与?

Neurol Neuroimmunol Neuroinflamm 2015;2: e161; doi: 10.1212/NXI.00000000000161

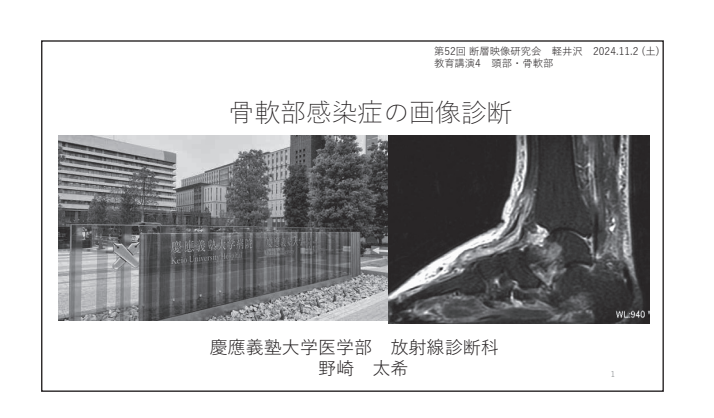
教育講演4: 頭部・骨軟部【領域講習4】-Ⅱ



慶應義塾大学医学部 放射線科学教室(診断) 野崎 太希

骨軟部感染症の画像診断

骨軟部感染症には、成長障害や慢性骨髄炎などの骨髄炎の晩期合併症や致死的になりうる壊死性筋膜炎、劇症型連鎖球菌感染などの軟部組織感染症があり、いずれも早期診断と適切な治療計画が重要である。画像診断では、存在診断、広がり診断ともにMRIが最適なモダリティとされ、効果的なプロトコールやシーケンス設定が必須である。MRIの基本的知識と読影における注意点、鑑別すべき病態等を骨髄炎と軟部組織感染症とに分けて概説する。



本講演に関連し、開示すべき利益相反(COI)関係にある企業・ 法人組織や営利を目的とした団体などはありません。

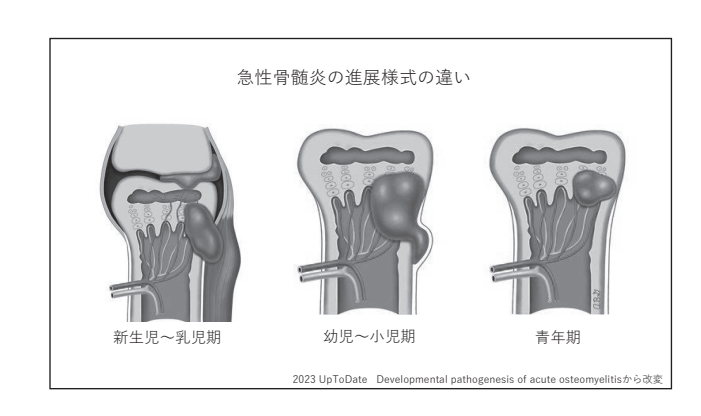
Today's Menu

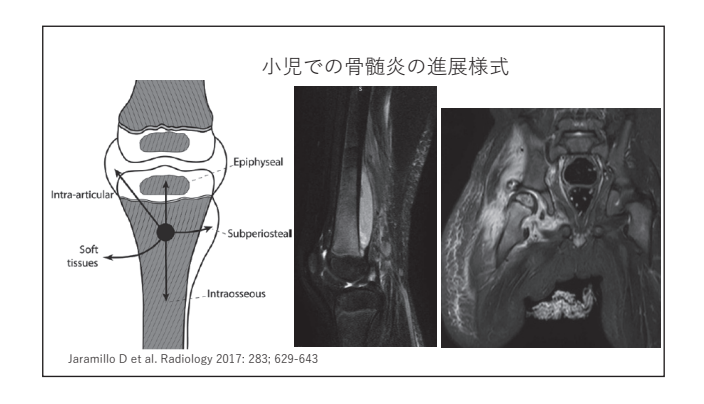
- 1. 骨髄炎
- 2. 軟部組織の感染症

Today's Menu

- 1. 骨髄炎
- 2 軟部組織の咸塾症

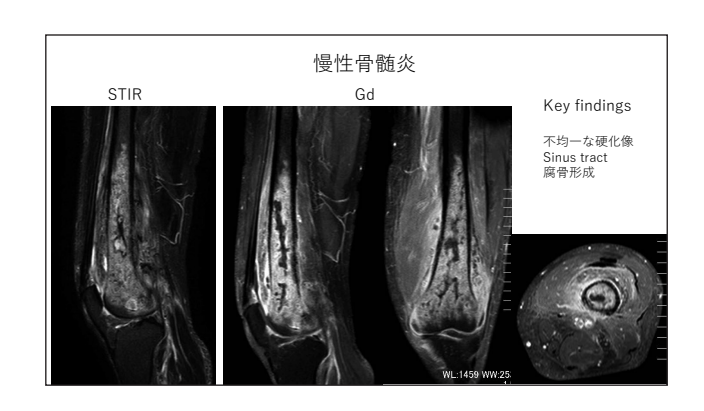




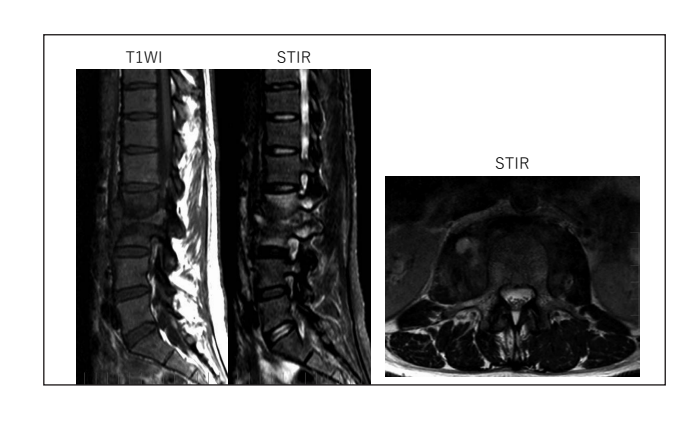


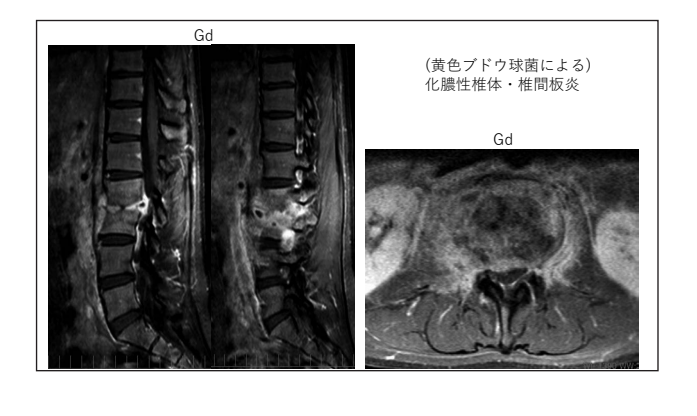


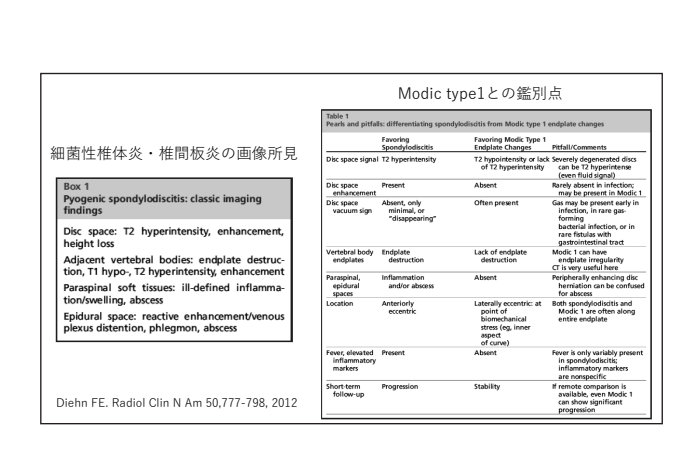






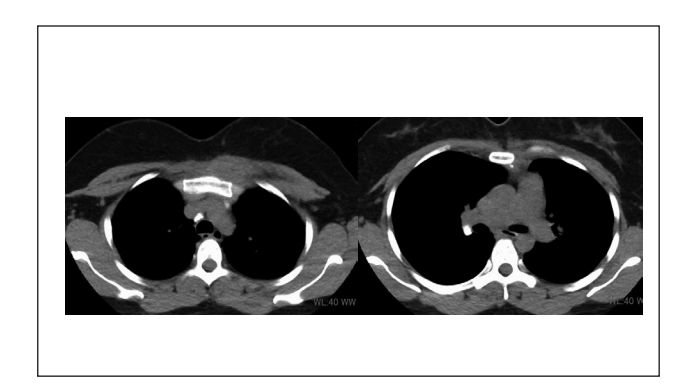


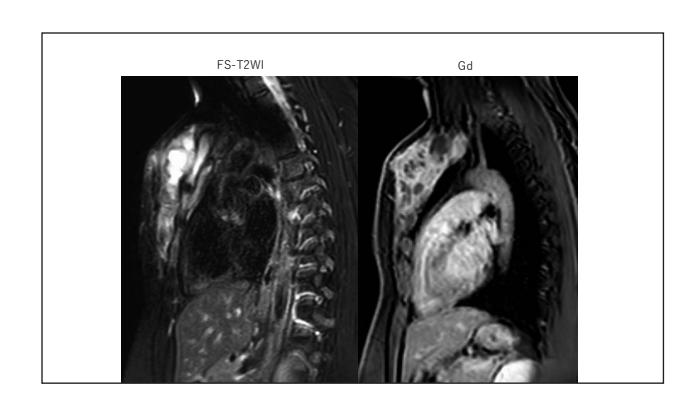






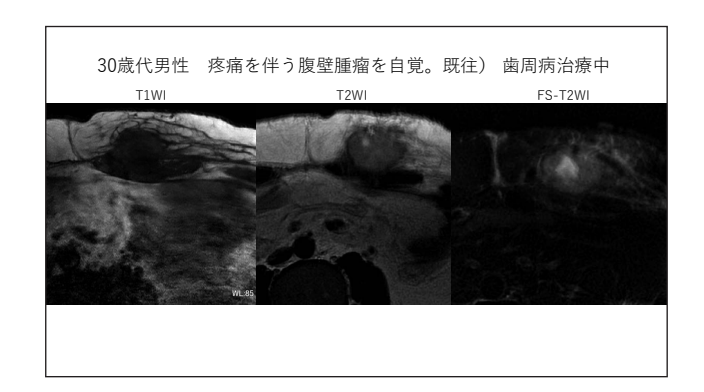


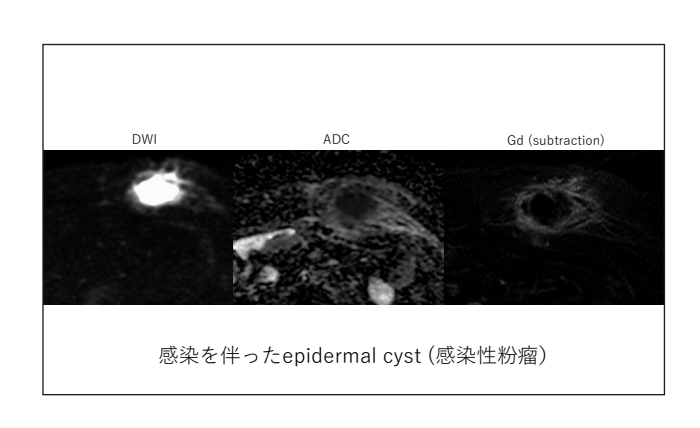


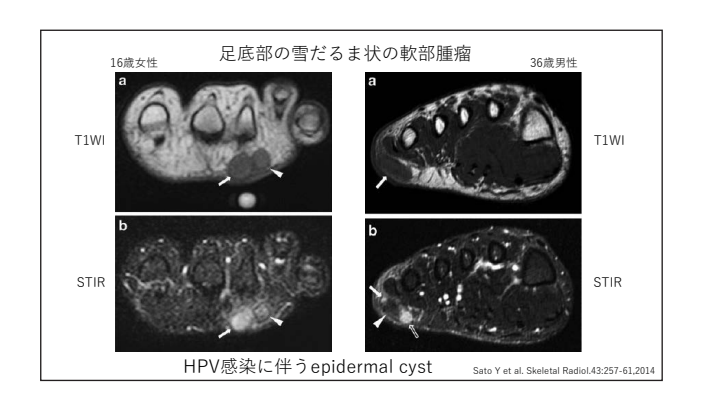


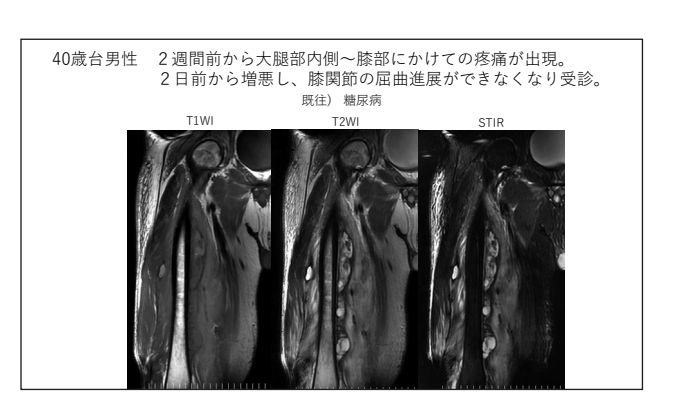


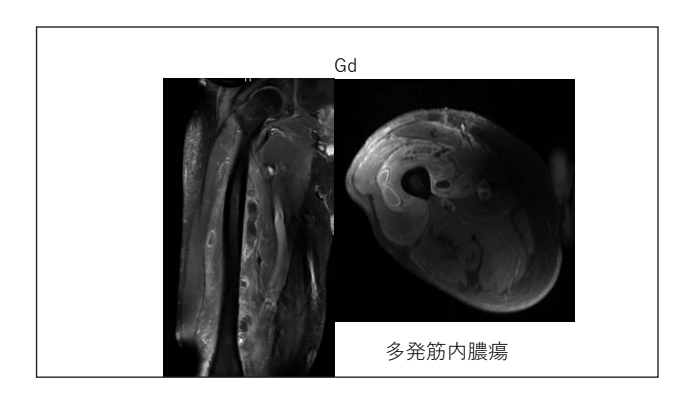


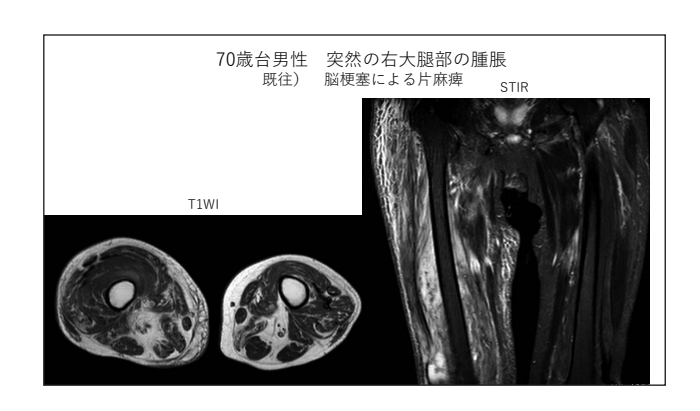




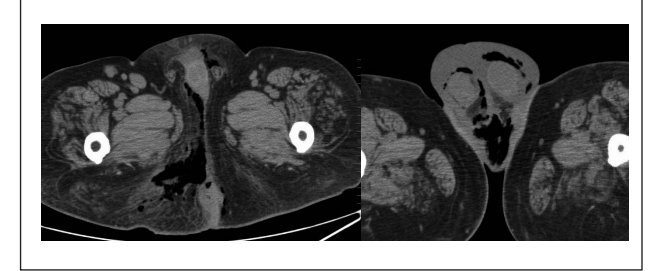


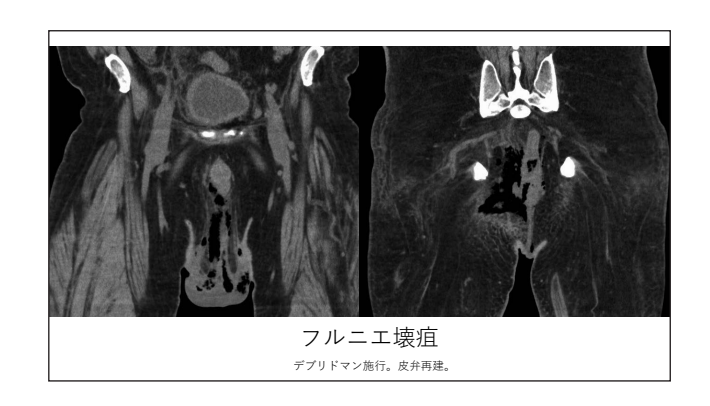






50歳台男性 発熱、両側陰嚢腫大 既往) 糖尿病。神経因性膀胱にて自己導尿中





フルニエ壊疽と壊死性筋膜炎

1883年にフランス人Fournierにより男性に突然発症し、急 速に進行する外陰部の壊疽として報告された

「外性器部・肛門周囲に生じる感染性の壊死性筋膜炎」

50-60歳男性に好発し、免疫抑制状態が背景にあることが多い。 (糖尿病が半数近くで、低栄養状態、悪性腫瘍、慢性腎不全など)

感染経路:泌尿器科疾患(尿路感染症・カテーテル留置など) 直腸肛門疾患(痔瘻・肛門周囲膿瘍・直腸癌など)

皮膚疾患(感染性粉瘤・外傷・皮下膿瘍・局所注射など)

致死率:約20%

病態:細菌感染による陰部動脈の閉塞性動脈炎からの急速壊疽

壊死性筋膜炎

浅筋膜を中心とする皮膚・皮下組織の壊死を伴う 重度の皮膚軟部組織感染症

懐死性筋膜炎の分類(病型) 病型 原因菌と特徴 1 菌種以上の嫌気性菌 1 菌種以上の過性嫌気性レンサ球菌 好気性グラム酸性桿菌 腸内細菌科 しばしば単独菌 高曲性レンサ球菌 A群, C群, G群 黄色ブドウ球菌の混合感染

Vibrio 属 魚類や海洋動物による刺し傷 カンジダによる真菌感染 極まれ

壊死の深さで、「壊死性蜂窩織炎」「壊死性筋膜 炎」「壊死性筋炎」と分けられ、「壊死性軟部組織 感染症」と包括されることもある。

1980年代から重症の連鎖球菌感染症の再興

激症型連鎖球菌感染症

Toxic shock-like syndrome(TSLS)"ない し"Streptococcal toxic shock syndrome(TSS)"の一つの症状として有名。

30歳台女性 前日から右鼠径部の腫脹と疼痛を自覚。そのまま我慢して寝ていたが、38度台の発熱が出現し、歩行もできなくなったので救急搬送。



まとめ

1. 骨髄炎

2. 軟部組織の感染症

御清聴ありがとうございました

11月2日(土)

スポンサードセミナー2

DeepResolveが切り拓く腹部骨盤MRI撮像のUpdate

I:「Deep Resolveで「今」撮れる、膵の高精細MRIシーケンス ~萎縮と膵管、わずかな変化を捉えるために~」

II:「正確な診断に必要な画像を得るために~Deep learning Reconstructionが拓く女性骨盤領域~」

スポンサードセミナー2

スポンサードセミナー2-1



石川県立中央病院 放射線診断科 角谷 嘉亮

Deep Resolveで「今」撮れる、膵の高精細 MRIシーケンス 萎縮と膵管、わずかな変化を捉えるために

我々はMRIの深層学習再構成法であるDeep Resolveを活用し、膵臓の高分解能、シンスライスな撮像シーケンスを開発した。これは近年の報告で注目されている、超早期膵癌が周囲膵に起こす微小な形態変化を非侵襲的に捉えることを目標としている。我々の検証では従来法より明瞭な膵辺縁の描出と、MRCPと同等の主膵管評価が同時に実現できた。このシーケンスは既に市販されている装置で「今」使用可能であり、臨床画像も交えて紹介したい。

Deep Resolveで「今」撮れる 膵の高精細MRIシーケンス

萎縮と膵管、わずかな変化を捉えるために

石川県立中央病院 放射線診断科 角谷 嘉亮 富山県立中央病院 放射線診断科 望月 健太郎 富山県立中央病院 画像技術科 朝野 暁大

富山県立中央病院(前職 2020-2023)

- ▶ 733床(一般665床、精神50床、結核16床、感染症2床)、県立の総合病院
- ▶ 三次救急病院
- ▶ 研究機関ではなく、第一線の臨床病院
- ▶ 放射線診断科は7名の常勤医師+時短常勤1名、うち6名が放射線診断専門医
- ▶ CT+MRI 180-200件/日、即時読影(画像診断管理加算3)
- ▶ CT: SOMATOM Force (96列192スライスx2) x4
- ▶ MRI: MAGNETOM Vida (3T) x2, MAGNETOM Sola (1.5T) x1
 - ▶ 2022年度に一括更新。
 - ▶ オペレーティングリースによる環境整備:新医療2023/9, 2023/10をご参照ください。

USで膵嚢胞を指摘された症例 (石川県立中央病院)





- ▶ 膵嚢胞精査、で単純MRIの依頼。
- ▶ 複数の膵嚢胞は充実部分や拡散制限なし。
- ▶ 膵頭部に10mm大の拡散制限される腫瘤を発見。

膵癌とMRI

- ▶ 提示症例:膵頭十二指腸切除術施行。
- ▶ 固定標本では11mmでpT1cの診断。pT1bまでは5年生存率80%とされる。 Egovs, et al. Japan Pancrestic Cancer Registry.

 ▶ 経験した膵癌では最小クラスだが...

 ▶ 閉部がよす。...



- ▶ 既報では「見えるサイズ(平均17mm)」の膵癌同定にはT1WI、DWI、MRCPが有効とされる。

Ren H, et al. Abnormal Findings on "TIWI or DWI or MRCP:" An Effective Boolean Interpretation
Model in Discriminating Small Pancreatic Ductal Adenocarcinoma from Control Group. J Clin
Imaging Sci. 2021;11:54.

- ▶ T1b以下の「見えないサイズ」の膵癌を同定したい。
- 特に厚癌の家族歴や障義的/IPAN打危険因子とされ、スクリーニング/経過観察をしたい。 Burner、et al. Alulfocal neoplastic precursor lesions associated with lobular stroppy of the purches in placets having a strong length philotrapy of parestract censer. Am J Sung Pathol. Uebran H, et al. Development of ductal carcinosa of the parcress during follow up of branch duct introductial populary microson expending on of the parcress. (Lo. 2005/2711):1631-6.

膵の微小な変化

AJR Am J Roentgenol. 2021;217(6):1353-64.

CT Abnormalities of the Pancreas Associated With the Subsequent Diagnosis of Clinical Stage I Pancreatic Ductal Adenocarcinoma More Than 1 Year Later: A Case-Control Study Fumilitio Toshima, MD, PhD², Ryosuke Watanabe, MD³, Dai Inoue, MD, PhD³, Norihide Yoneda, MD, PhD³, Tatsuya Yamamoto, MD, PhD, Nakid Sasahira, MD, PhD³, Taksahi Sasaki, MD, PhD³ Masako Matsuyama, MD, PhD³, Kool Minchino, PhD³, Ukihide Tateishi, MD, PhD³, Toshifumi Gabata, MD, PhD³

- ▶ 金沢大学放射線科 戸島 史仁先生の報告。
- ▶ 膵癌前癌病変(PanIN)あるいは微小膵癌が年単位で周囲膵に変化を起こす。

 with a first and a fir
- 膵癌と診断できる前に 主膵管変化:1.1年、局所性萎縮:4.6年、淡い局所性増強:3.3年。





膵の微小な変化

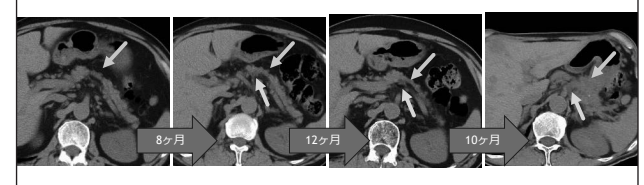
肺癌術後の経過観察 単純CT 5mmスライス



造影CT/MRI、EUSで腫瘤同定不能 続膵液細胞診(SPACE)で癌細胞を検出 膵体尾部切除し、上皮内癌 pT0

膵の微小な変化

悪性リンバ腫(CR)の経過観察 単純CT 5mmスライス



長期かつ頻回の経過観察が必要

膵の微小な変化をとらえるために

- ▶ 造影CTが望ましいが、被曝と造影剤投与のため、長期・頻回の検査には不向き。
- ▶ T2WI系のMRIは膵-脂肪、膵-主膵管のコントラストが良好。
 - ▶ 解像度でCTに劣り、薄いスライス(2.5mm以下が理想)ではノイズが強い。
- ▶ DWI(EPI)は腫瘤検出には優れるが、空間分解能は非常に低い。
- ▶ HASTE等single shotでは、ブラーリング(にじみ)が目立ち、コントラストも劣る(Heavily T2WIの傾向)。
- ▶ 通常のT2WIでは、時間がかかり動きによるアーチファクトが出やすい(特に脂肪抑制なしの時)。
- ▶ MRCPは主膵管の評価に優れるが、膵実質の形態は評価不能。
- ▶ 膵管の変化している部分の膵実質萎縮や腫瘤の有無は単独では不明。
- ▶ 高分解能・薄いスライスのT2WI系画像を現実的な時間で撮りたい。

2022年 MAGNETOM Vida & Sola 導入





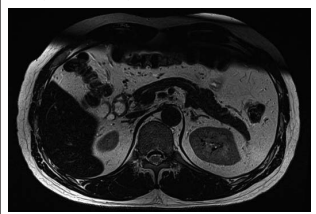
- ▶ 機種更新を機にMRIプロトコルを全て更新。
- ▶ 使用可能になった技術を活用して膵精査のためのシーケンス開発を開始。
- ▶ 圧縮センシングの使用や3DT2WIを試したが十分な画像は得られず。

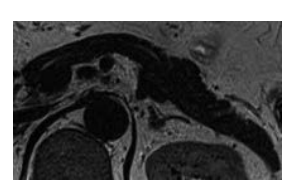
理想的なMRIシーケンスを「今」使える技術で

- ▶ 核となる新技術: Deep Resolve (Deep Learning-based Reconstruction)
 - ▶ 空間分解能を大幅に向上(撮像マトリックスを2倍に)。Deep Resolve Sharp。
 - ▶ 薄いスライスに耐えるノイズ低減。Deep Resolve Gain (最新版はDeep Resolve Boost)。
 - ▶ 2022年時の市販製品であり、我々が使用できたのは2DのTurbo Spin Echoのみ(VIBE、HASTEは不可)。
- ▶ ベースとなるシーケンスの再構築
 - ▶ 呼吸同期で5分以下で撮像可能なこと。
- ▶ Shot数を増やすとコントラスト向上、ブラーリング低減と引き換えに撮像時間が増え動きに弱くなる。
- ▶ 撮像対象を膵に絞って体動アーチファクトを抑制
 - ▶ 腹壁に飽和バルスによる信号抑制を施行。

Three Shot Turbo Spin Echo with Deep Learning-based Reconstruction 際職のための高精細MRシーケンス

Three Shot Turbo Spin Echo with Deep Learning-based Reconstruction (35-TSE-DLR)





- ▶ 呼吸同期で約4.5分、3Tの場合2mmスライス60枚。
- ▶ 1.5Tの場合3mmスライス40枚、約3分。

Three Shot Turbo Spin Echo with Deep Learning-based Reconstruction (3S-TSE-DLR)







- ▶ 3S-TSEのみでもHASTEよりブラーリングやノイズが低減し、コントラストが向上。
- ▶ 画質向上は十分、撮像時間は上限と判断して3 shotを採用。
- ▶ DLRを適用すると更に微細な構造が描出され、ノイズ低減。

健常ボランティア撮像による読影実験(JRS2024発表、論文投稿中)

- ▶ 50名の健常ボランティアの膵を、臨床使用しているシーケンス(2mm厚に変更)と3S-TSE-DLRで撮像。
- ▶ 画像の安定性(体動アーチファクト)、膵萎縮を捉えるための辺縁の明瞭さ、主膵管の同定能を2人の放射線診断専門医で各シーケンスを5点方式で評価(MRCPは主膵管のみ)。
- ▶ アーチファクト(少ないと高得点): T1WI > 3S-TSE-DLR > HASTE
- ▶ 辺縁(明瞭だと高得点): 3S-TSE-DLR > T1WI > HASTE
- ▶ 主膵管(広範囲に同定できると高得点): MRCP ≒ 3S-TSE-DLR ≧ HASTE > T1WI

膵の微少な変化をとらえるために: 3S-TSE-DLR

- ▶ 既存の臨床シーケンスより明瞭に膵の形状を描出:限局性膵萎縮の検出・経過観察。
- ▶ MRCPと同等に主膵管を評価:膵萎縮と同時に主膵管の変化を評価。
- ▶ 現実的な撮像時間:スクリーニングや経過観察に組み込みやすい。
- ▶ 既に市販されているMRIスキャナ*で撮像可能:研究用ではなく「今」使える。
- ▶ *Deep Resolve Gain/Sharpは必要です。

3S-TSE-DLRの臨床使用例

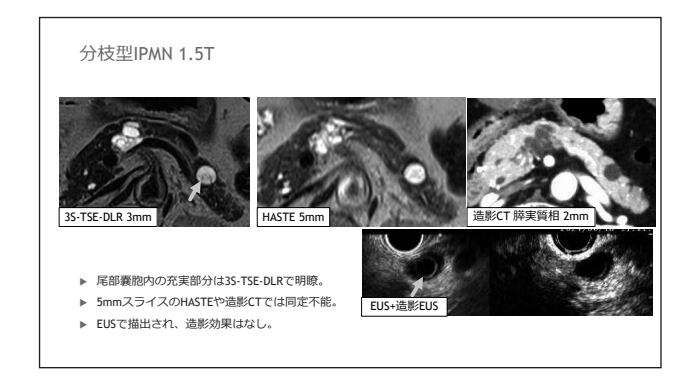
富山県立中央病院で2024年1月から膵MRI標準プロトコルに採用

膵萎縮・主膵管拡張 3SE-TSE-DLRの開発目的

限局性膵萎縮 1.5T HASTE 5mm HASTE 5mm ト 標準のHASTEでは満れる/ぼやける構造が描出される。 ト 1.5Tでは3mmスライスにしているが、他シーケンスとの画質差は3Tより大きい印象。

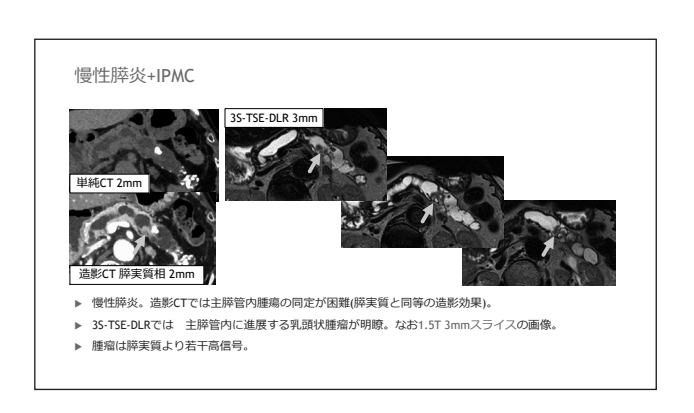






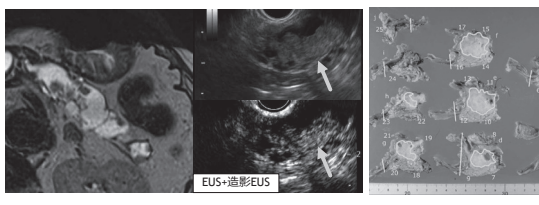






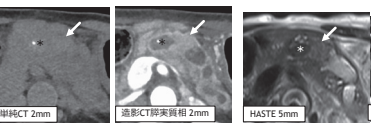
スポンサードセミナー2

慢性膵炎+IPMC



- ▶ EUSで主膵管内乳頭状腫瘤を確認。造影効果もあり。
- ▶ 膵体尾部切除術を施行。IPMCと診断された。
- ▶ 膵管内/嚢胞内腫瘤について3S-TSE-DLRでEUSに迫れるか。

IPMN術後再発(IPMC)、主膵管内結石





- ▶ 膵頭十二指腸切除術後、主膵管拡張をCTで指摘され紹介。CTでは結石(*)や腫瘤(矢印)が不明瞭。
- ▶ 3S-TSE-DLRではHASTEより明瞭に主膵管内乳頭状腫瘤が描出される。
- ▶ 3S-TSE-DLRでは腫瘤より尾側に水より軽度低信号の構造(粘液栓)が判別できる。

進行膵癌

「見えるサイズ」の膵癌はどう見えるか

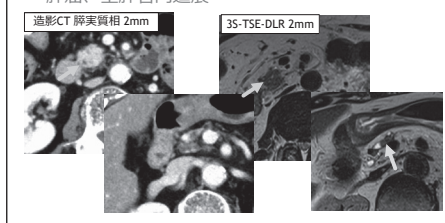
膵癌 1.5T





- ▶ 造影CT時は膵尾部 16mm大と報告。
- ▶ 3S-TSE-DLRで膵実質より軽度高信号で主膵管狭窄部を計測し、28mm大と報告。
- ▶ 1.5Tの撮像でもあり、HASTEはコントラスト、分解能とも低く腫瘤の評価が困難。
- ▶ 膵体尾部切除術を施行し、固定標本では30mmの腫瘤であった。

膵癌、主膵管内進展





- ▶ 広範囲に萎縮した膵の頭部に腫瘤が出現し、膵癌として精査。
- ▶ 3S-TSE-DLRで体部の主膵管内に腫瘤を発見。EUSでも確認でき、FNAで膵癌と診断。

3S-TSE-DLRの臨床使用、今後の展望

- ▶ 臨床症例で限局性膵萎縮、主膵管の変化を評価できている。
 - ▶ DWI、MRCPと組み合わせて15分程度のスクリーニング/経過観察プロトコルなど。
 - ▶ 息止めでの撮像も検討中。次世代のDeep Resolve Boostでは更に撮像時間を短縮できるか。
 - ▶ 造影CTとの比較評価は行えそう。
- ▶ 膵嚢胞や拡張膵管の内部構造をより詳細に評価できている。
- ▶ 造影効果の弱い充実部分、膵実質と同等に造影される充実部分を検出。
- ▶ 膵IPMN自体の評価と、並存膵癌検出のための経過観察を行える。
- ▶ EUSとの比較評価は行いたい。同等の評価ができれば非侵襲的検査として有用。
- ▶ 進行膵癌の形態、サイズ評価にも期待できる。
 - ▶ 主膵管の狭窄・途絶を同時に評価できている。
 - ▶ コントラストはDWIが優れるので、組み合わせて使用を。

結語

- ▶ 超早期膵癌発見のための高精細・非侵襲的かつ実用的なシーケンスを開発しました。
 - 富山県立中央病院で10ヶ月以上運用しています。
- ▶ DLRを生かせるベースのシーケンスを改めて開発しました。
 - ▶ 単純に既存のシーケンスに適用しても良い画像にはなりそうですが。
- ▶ ベースのシーケンス、DLR、腹壁偏号抑制はいずれも重要な3本柱です。▶ 膵腫瘤の質的評価にも貢献できると思います。
 - 富山県立中央病院では紹介した他に多数の症例を蓄積中です。
 - ▶ スクリーニングから精査まで活用が期待できます。
- ▶ 市販の製品のみを使用しており、同等のMRIがあれば「今」撮ることができます。
 - ▶ 特に1.5T MRIでは劇的な画質向上がありました。

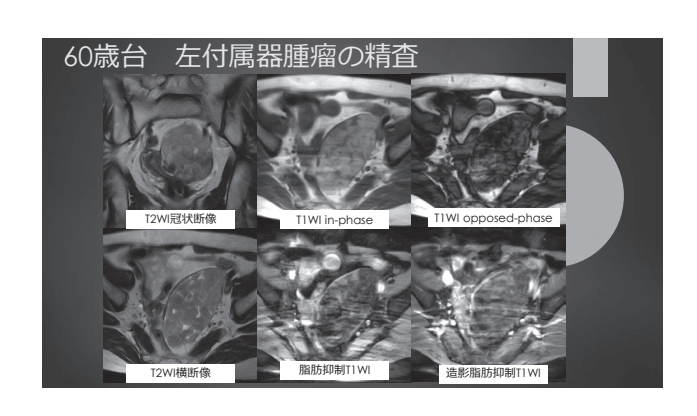
スポンサードセミナー2-11

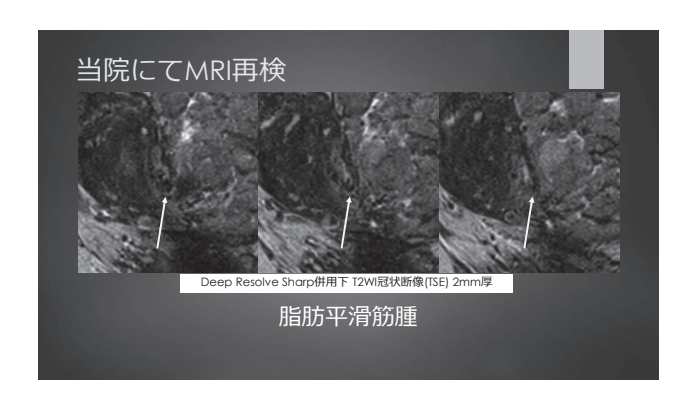
信州大学医学部附属病院 放射線部 大彌 歩

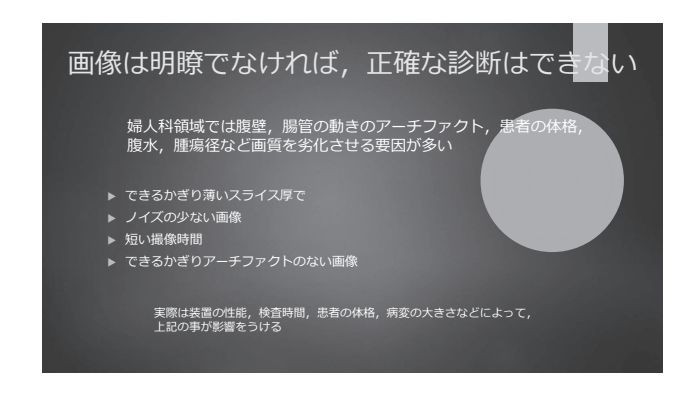
正確な診断に必要な画像を得るために ~Deep learning Reconstructionが拓く女性骨盤領域~

Deep learning Reconstruction (DLR) 技術による利点は、主に①ノイズ除去、②撮像時間短縮、③空間分解能向上が挙げられる。私は、正確な診断はアーチファクトが低減された美しい画像によって成されると考えており、DLRの利点はまさに女性骨盤領域に求められているものである。本講演では、当院の臨床におけるDLRを利用した $1.5 \mathrm{mm}$ スライス厚の拡散強調像、 $0.8 \mathrm{mm}$ スライス厚の3D dynamic MRIの画像などを供覧したい。

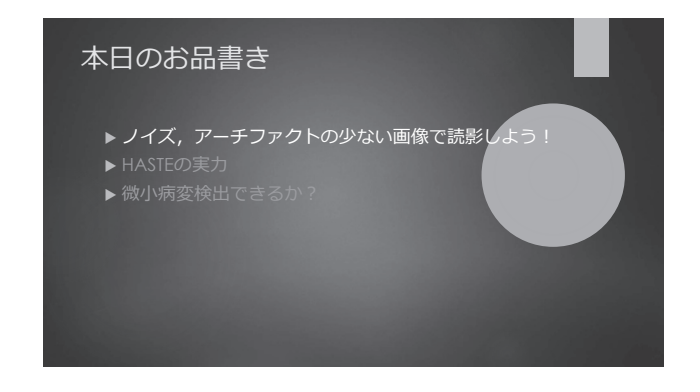










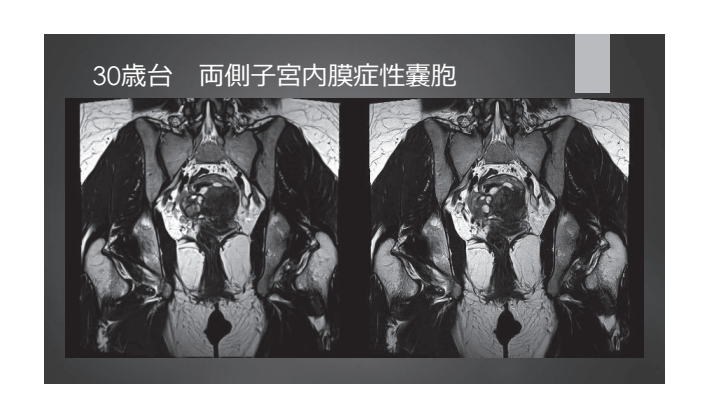


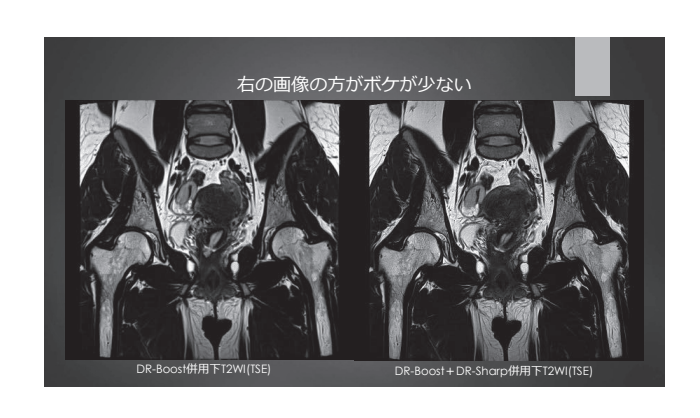




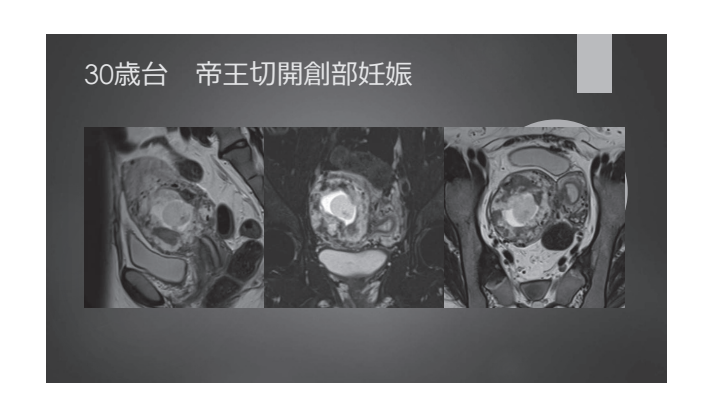




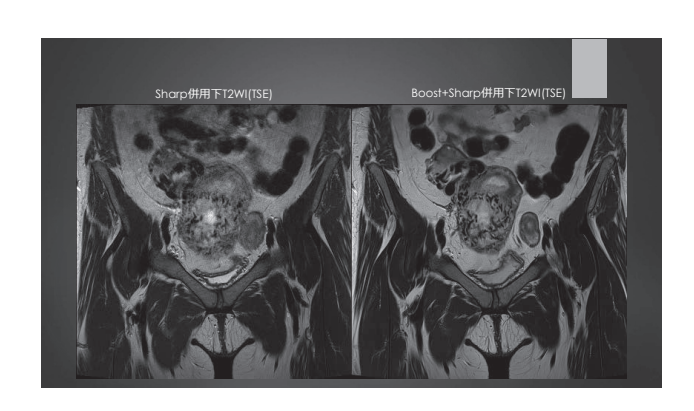




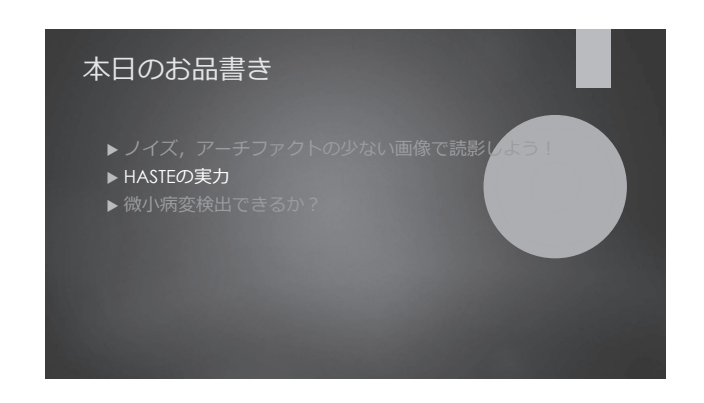


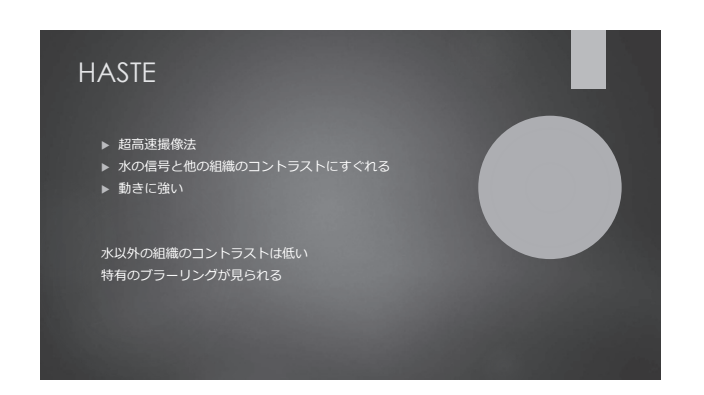




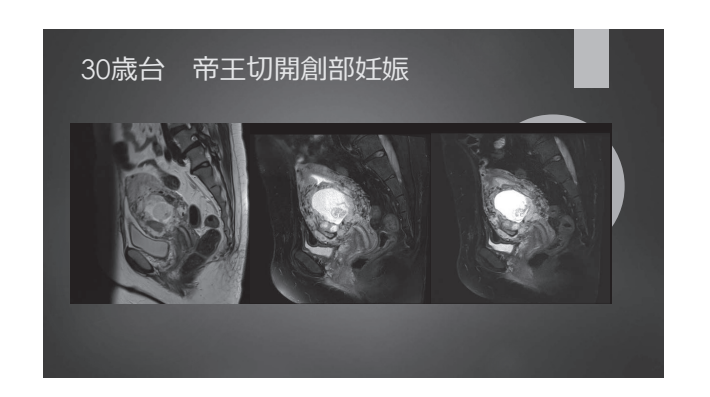


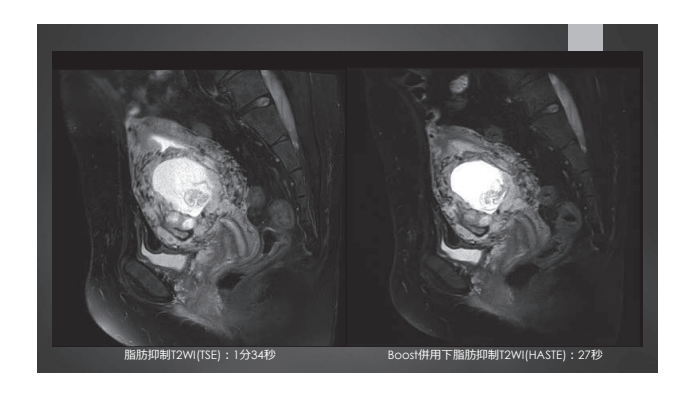


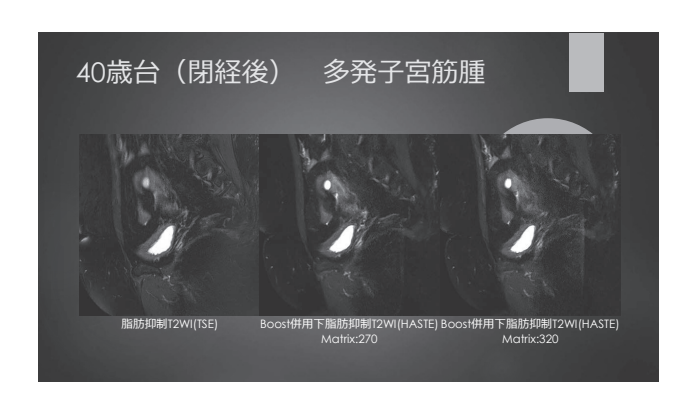


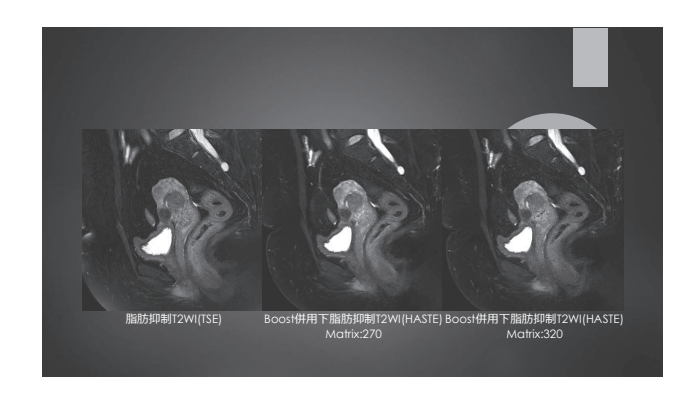


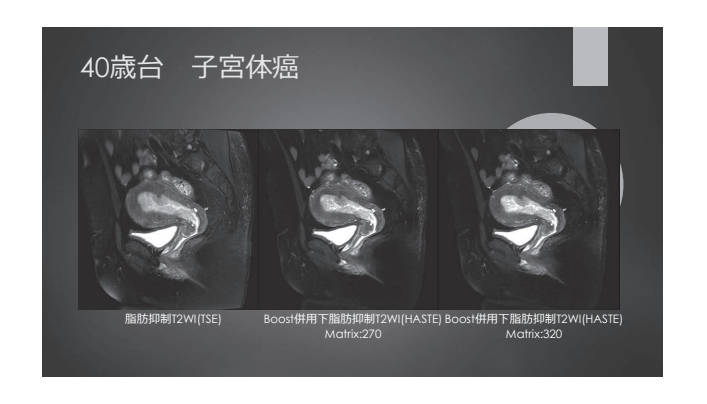


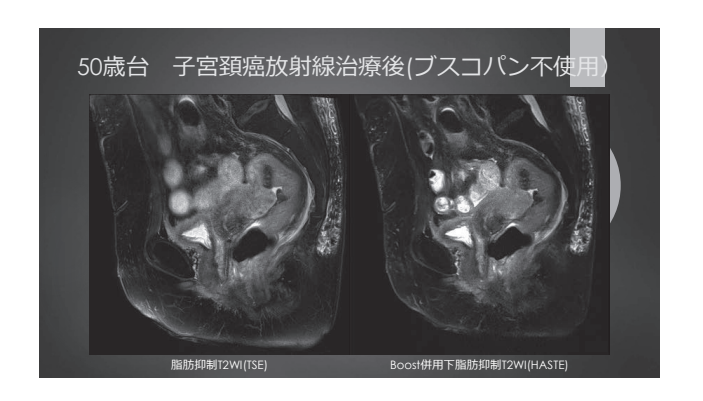




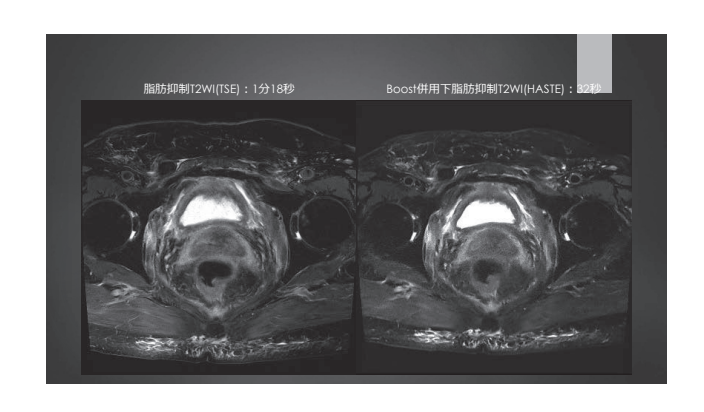










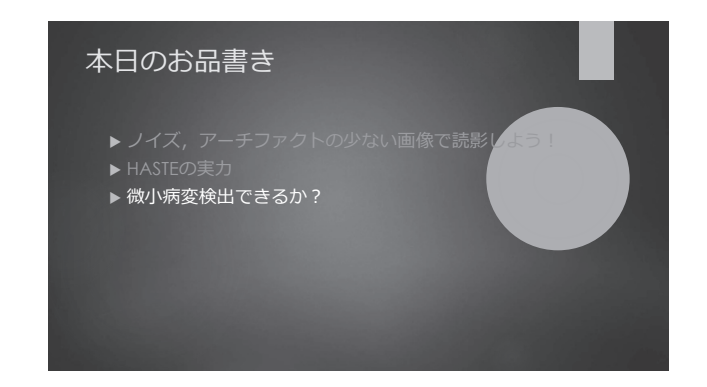


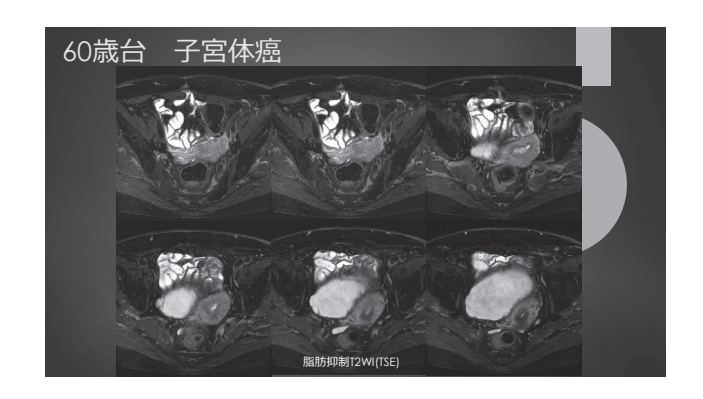


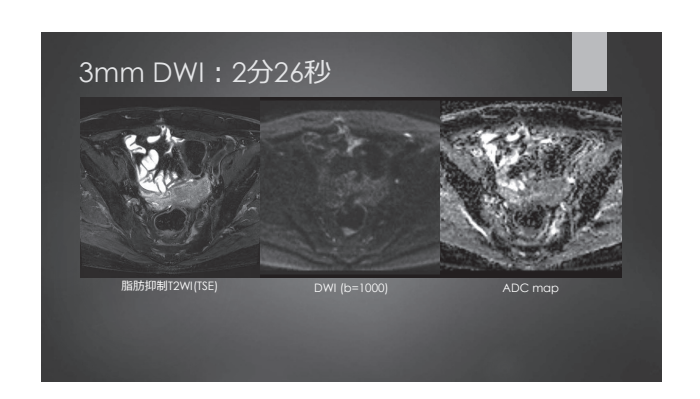


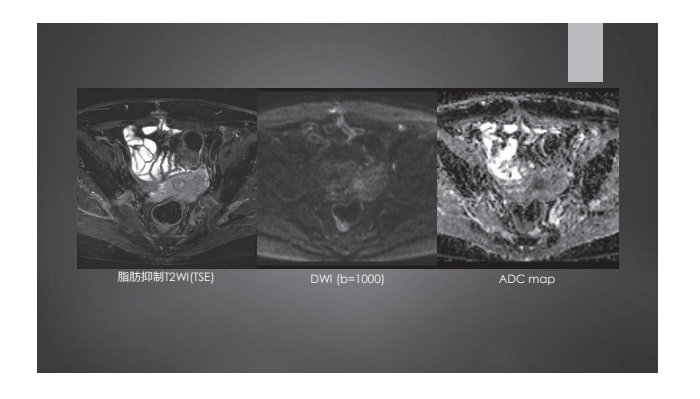


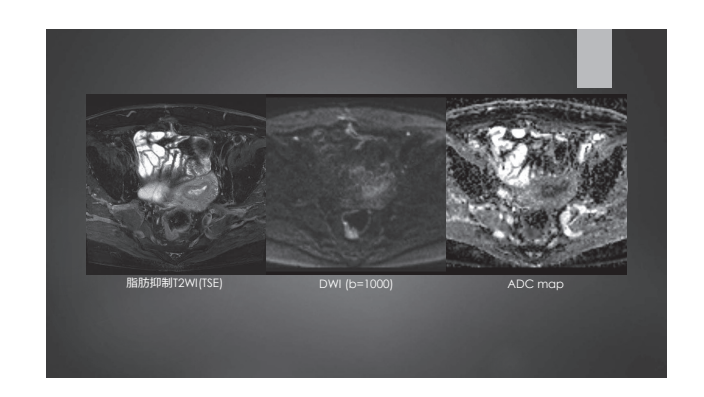


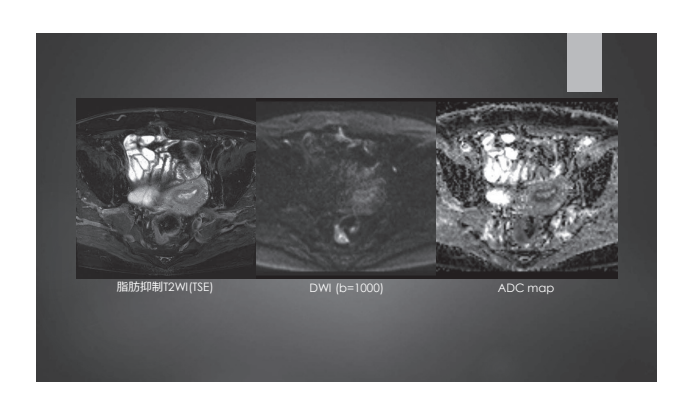


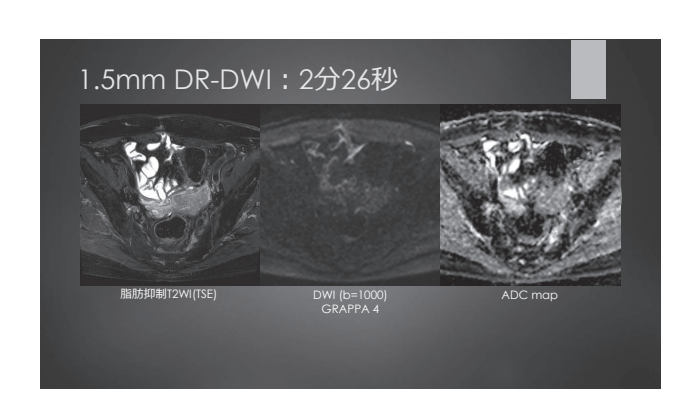


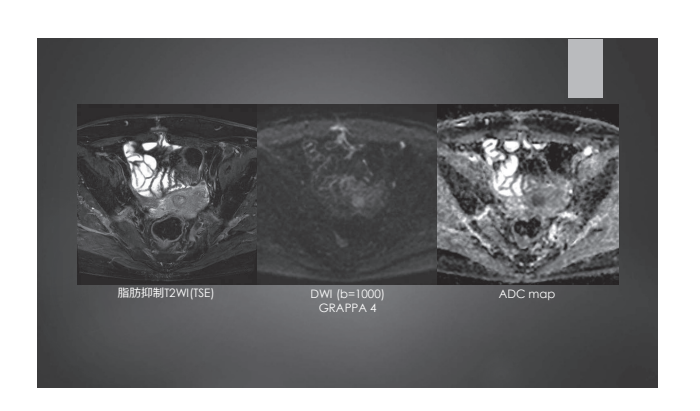


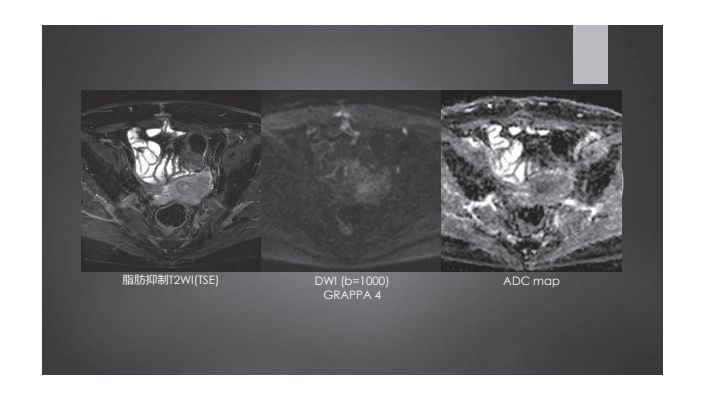


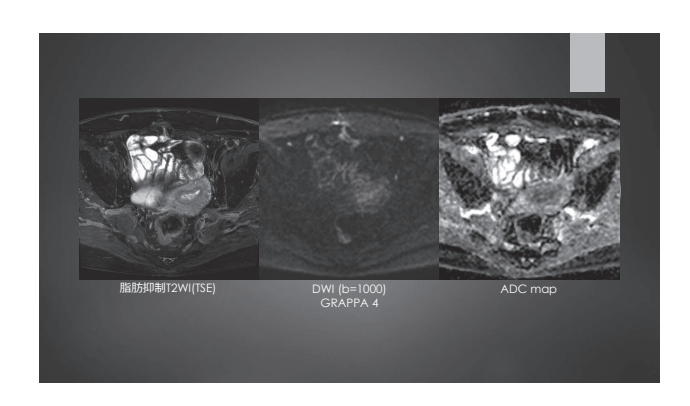


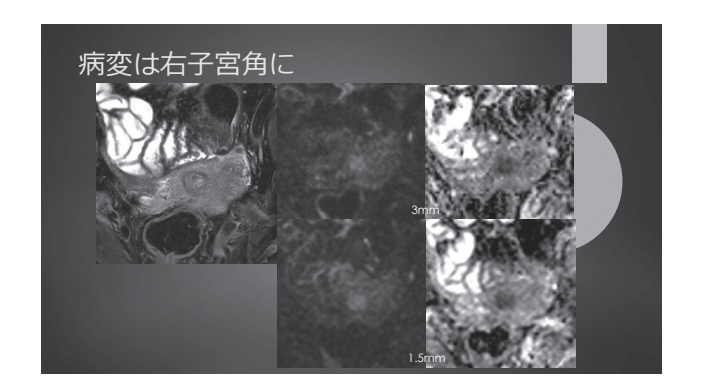






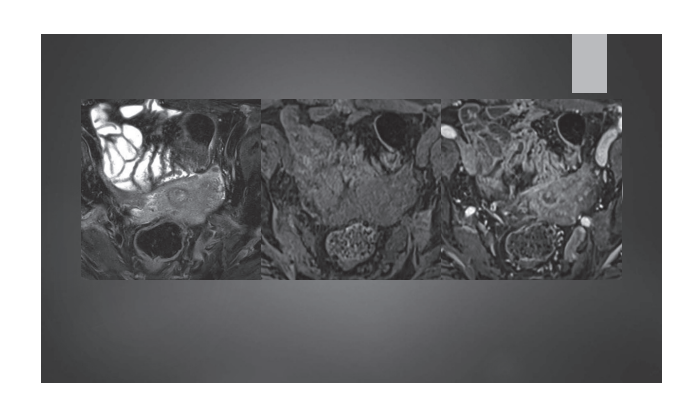




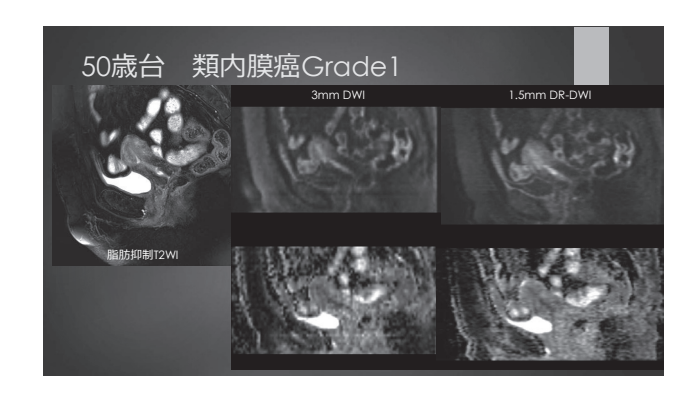




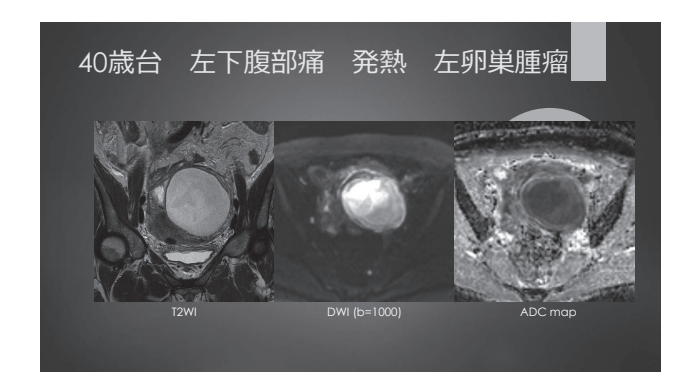


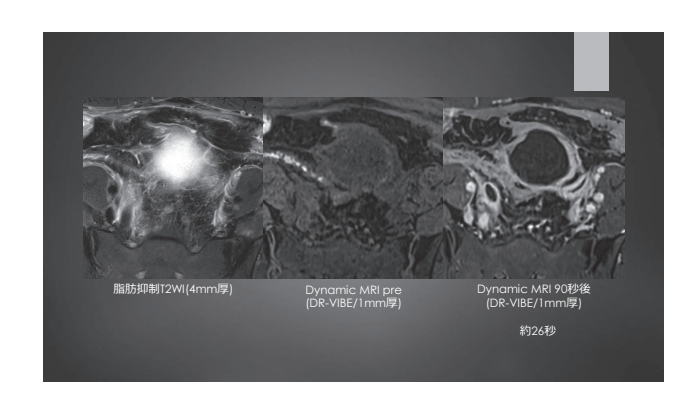




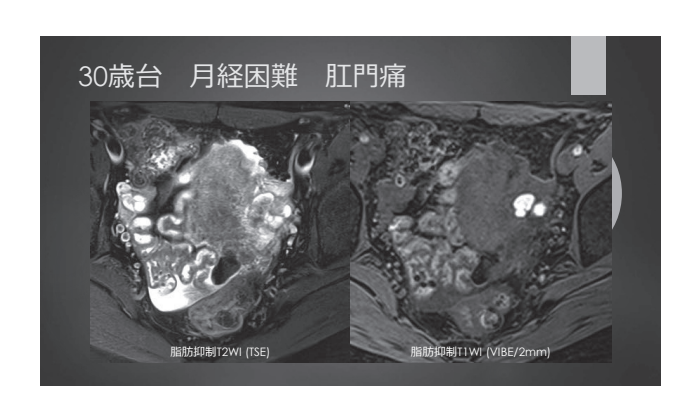


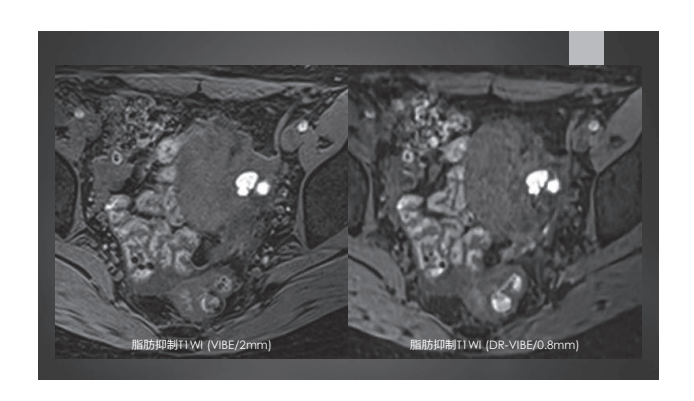
スポンサードセミナー2

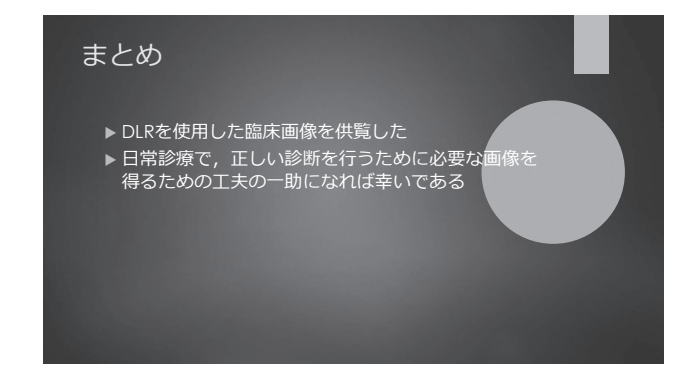












11月2日(土)

表彰論文

- 1. A Pictorial review: Lymphoma and Lymphoproliferative disease of Thorax
- 2. 尿道病変の画像診断における包括的な診断アプローチ
- 3. Repeated Carbon-Ion Radiation Therapy for Intrahepatic Recurrent Hepatocellular Carcinoma
- 4. 頭頸部癌における lodine imaging
- 5. How to Find CHD7 Disorder Beyond CHARGE Syndrome —

表彰論文

表彰論文-1



奈良県立医科大学附属病院 放射線診断·IVR学講座中野 亮汰

A Pictorial review: Lymphoma and Lymphoproliferative disease of Thorax

胸部のリンパ増殖性疾患・リンパ腫の画像所見は多彩で、一つ一つの所見は非特異的であるが臨床所見を併せて考えることでそれらの疾患を疑うきっかけとなる。臨床所見の中でも併存疾患や免疫状態、薬剤歴、血液検査のデータなどが重要な情報となり、臨床医とのコミュニケーションが必要不可欠である。昨年のRSNAにて胸部のリンパ増殖性疾患・リンパ腫について肺・胸膜・縦隔を中心にまとめた。それらの一部を抜粋して紹介する。

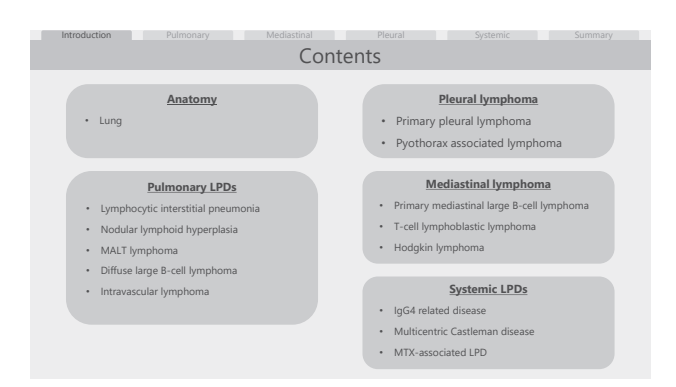
A Pictorial review:

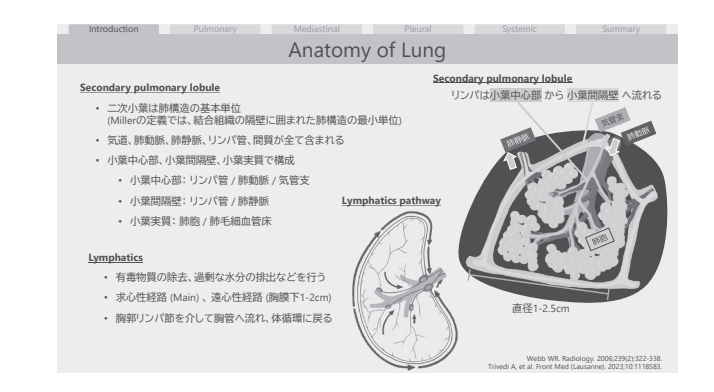
Lymphoma and Lymphoproliferative disease of Thorax

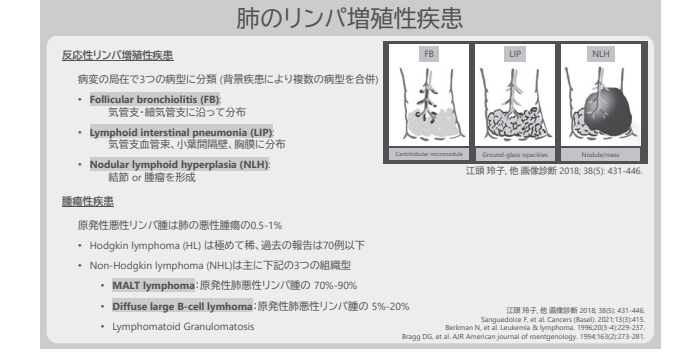
Ryota Nakano¹, R. Taiji¹, M. Ikeno⁵, K. Taira¹, S. Nakanishi¹, D. Yamamoto¹, S. Rikihisa¹, K. Matsuda²,
A. Yamada¹, K. Minamiguchi³, S. Yamauchi³, N. Marugami³, T. Tanaka¹

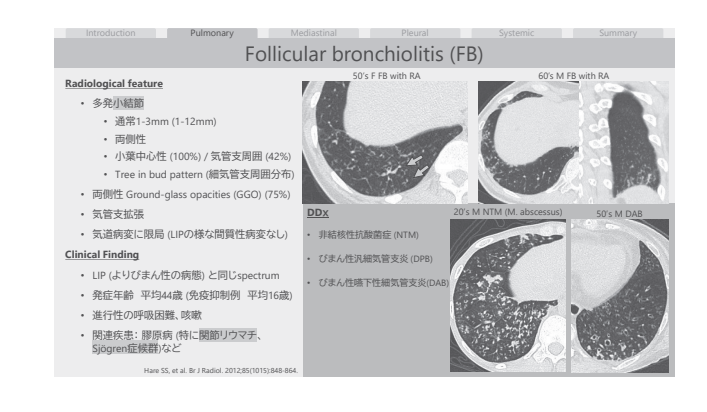
1. Department of Diagnostic and Interventional Radiology, Nara Medical University
2. Department of Radiology, Higashiosaka City Medical Center

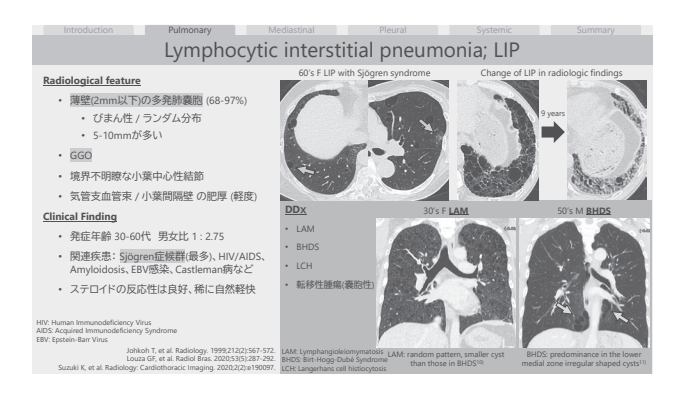
☑ 利益相反はありません。

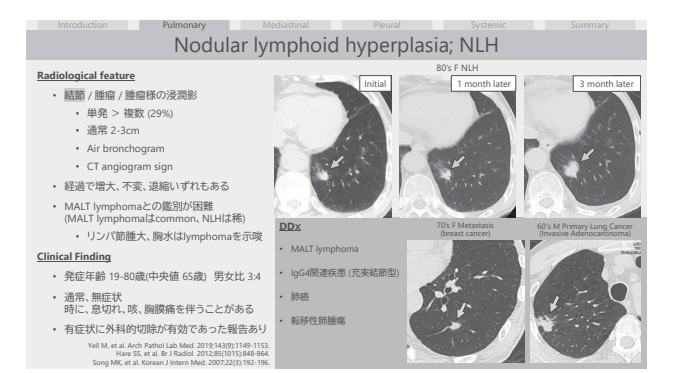


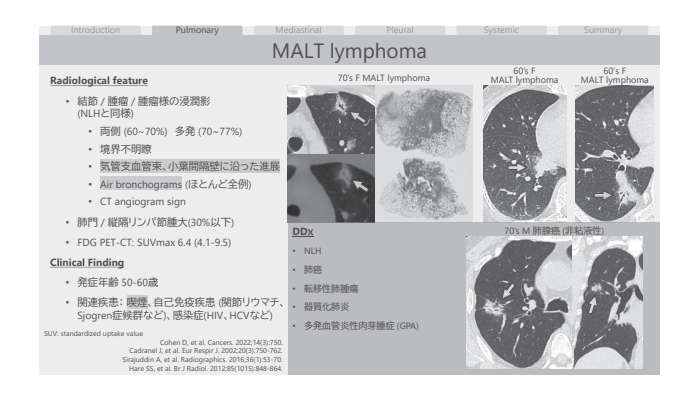


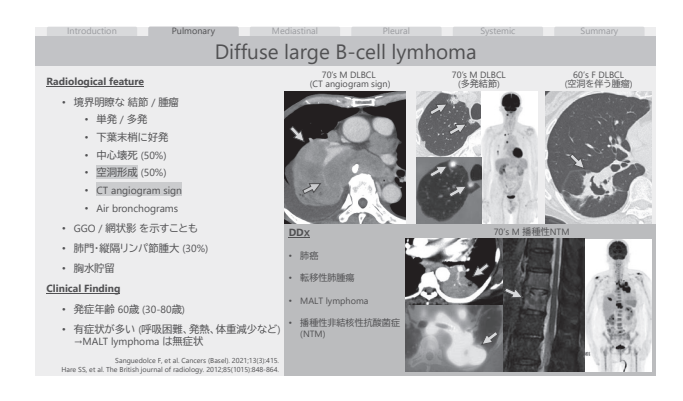


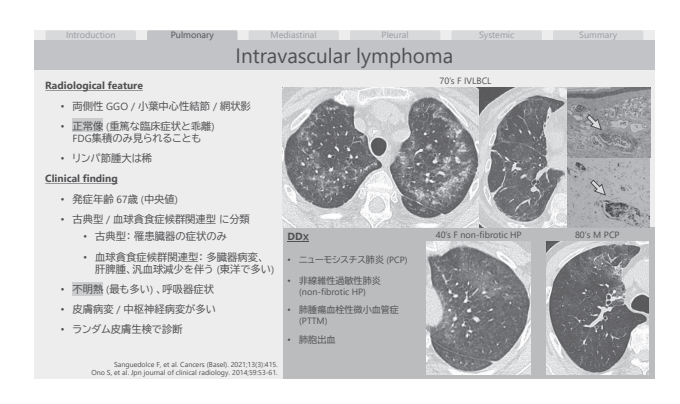






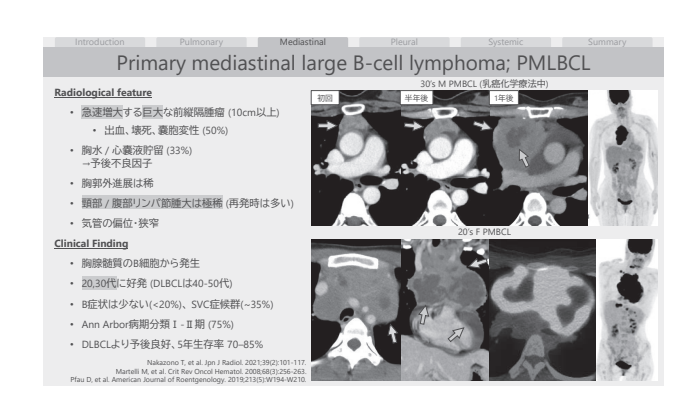


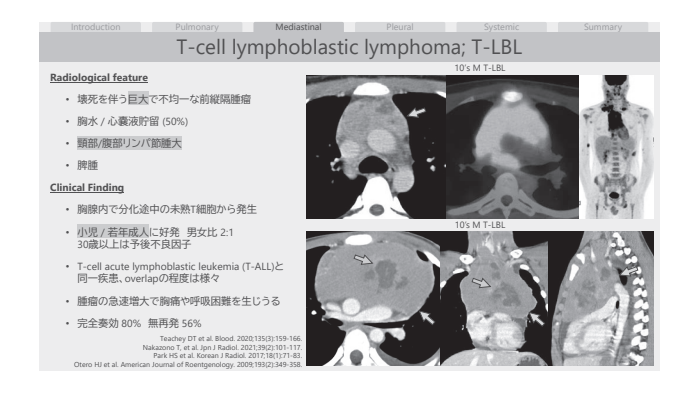


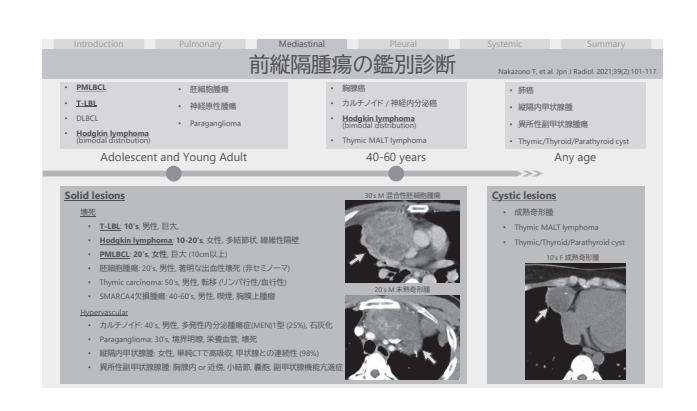


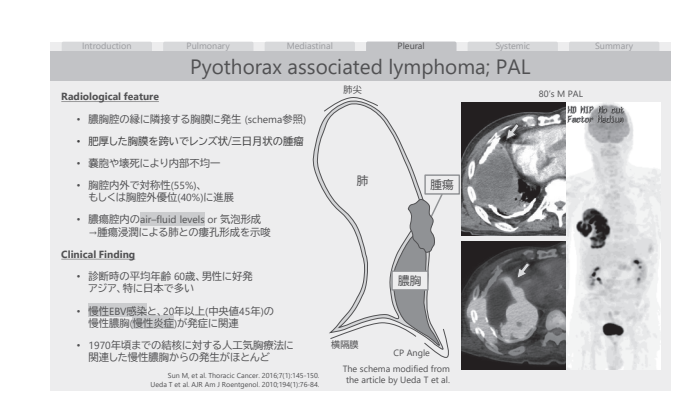


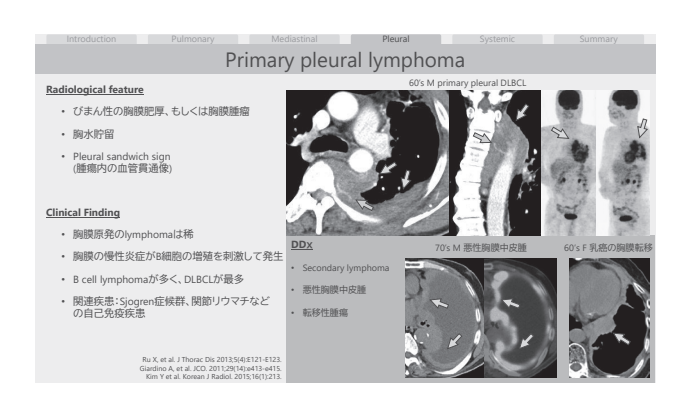


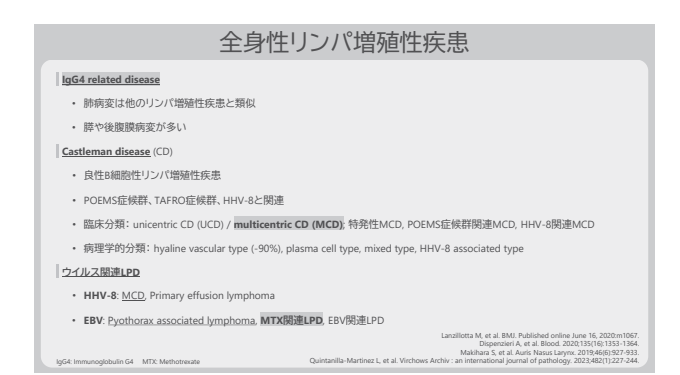


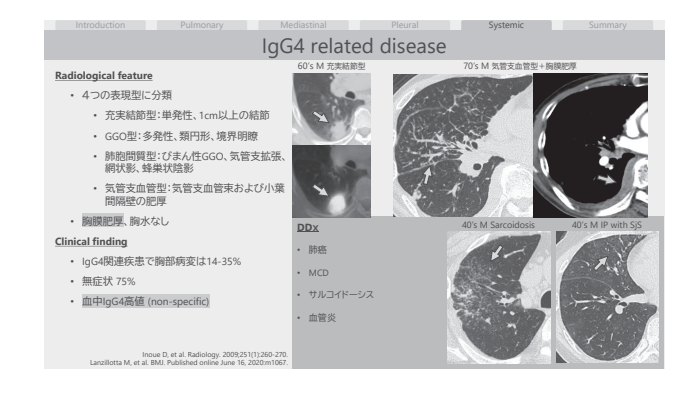


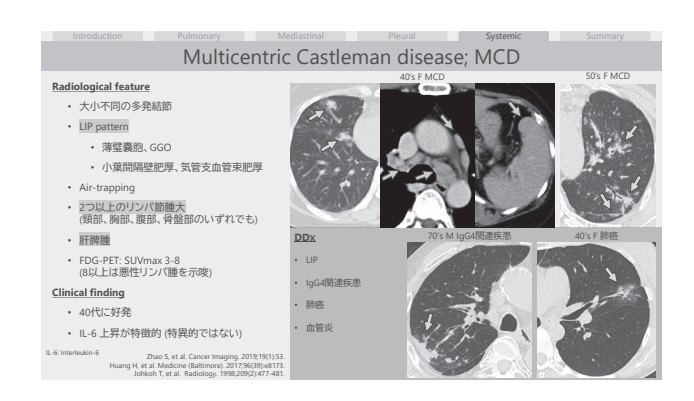


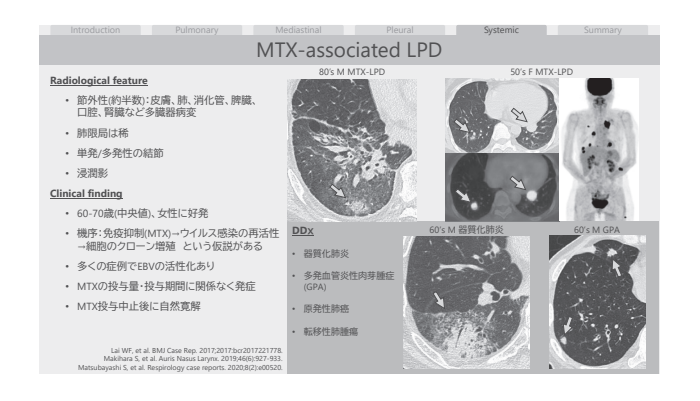












・ 胸部のリンパ増殖性疾患・リンパ腫は幅広い画像所見を示す。
・ これらの疾患の画像所見のみでの診断は難しく、臨床所見と併せて考えていく必要がある。
・ 今回、胸部のリンパ増殖性疾患・リンパ腫について画像所見・臨床所見をまとめた。

表彰論文-2



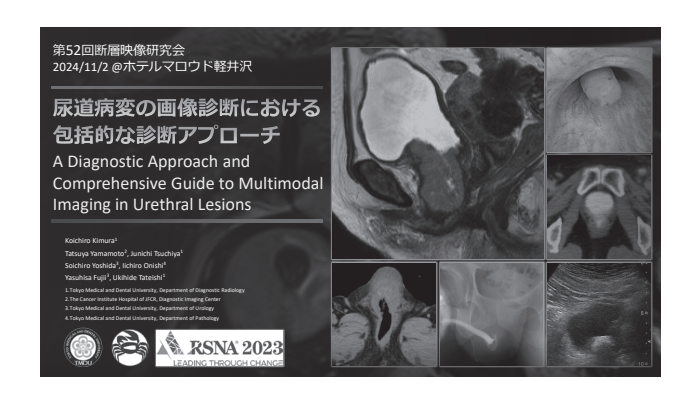
Department of Molecular and Medical Pharmacology, Ahmanson Translational Theranostics Division, David Geffen School of Medicine at UCLA

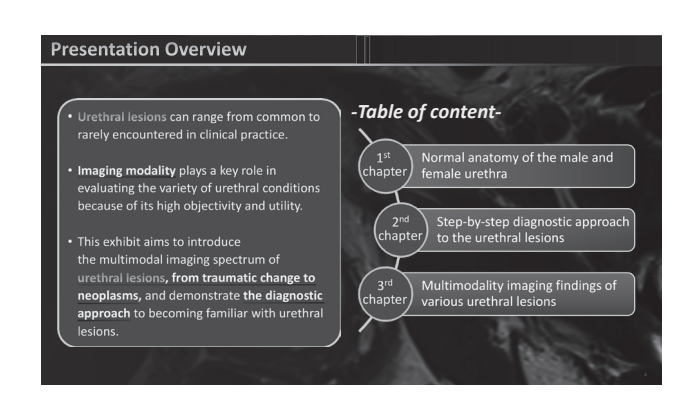
東京科学大学画像診断・核医学

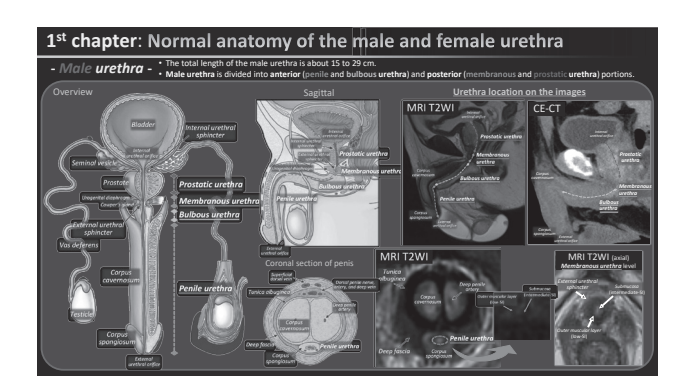
木村 浩一朗

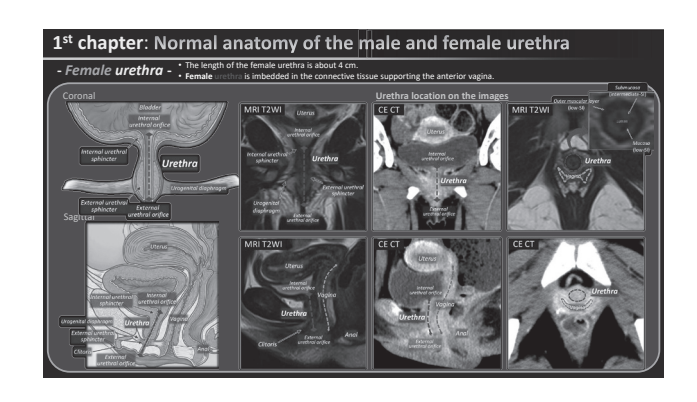
尿道病変の画像診断における包括的な診断アプローチ

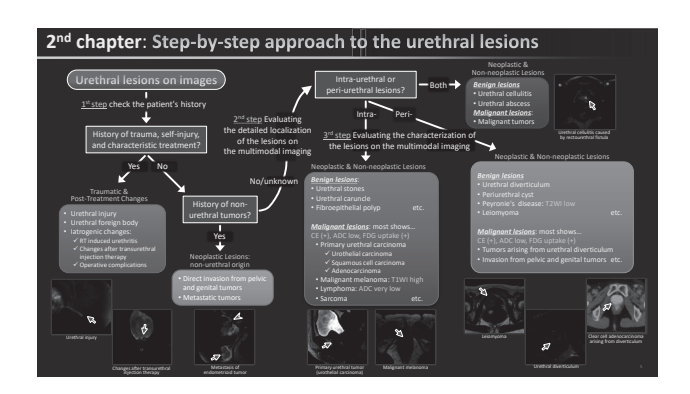
臨床現場において尿道疾患は比較的稀であり、これらを正確に診断するためには、医療面接で得られる情報が重要である。しかし、血尿や尿閉など尿道疾患に関連する症状は非特異的である。画像診断の発展により、尿道疾患の診断においてもそれらの役割が重要であることは疑いようがないが、尿道疾患の頻度は低いため、その画像所見を包括的に理解することは依然として困難なままである。本発表では、尿道疾患を体系的に理解し、放射線科医が知っておくべき尿道病変の画像所見について概説することを目的とする。

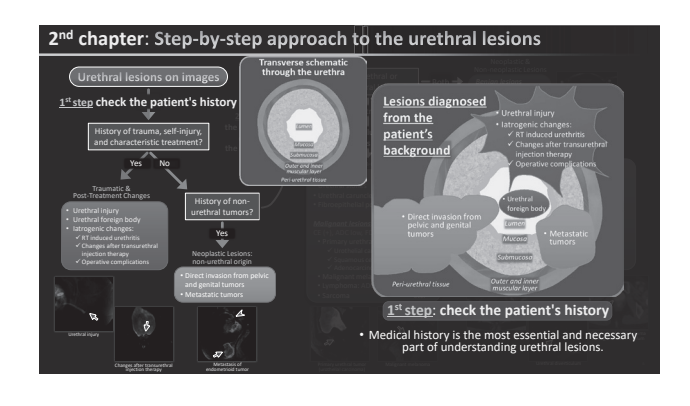


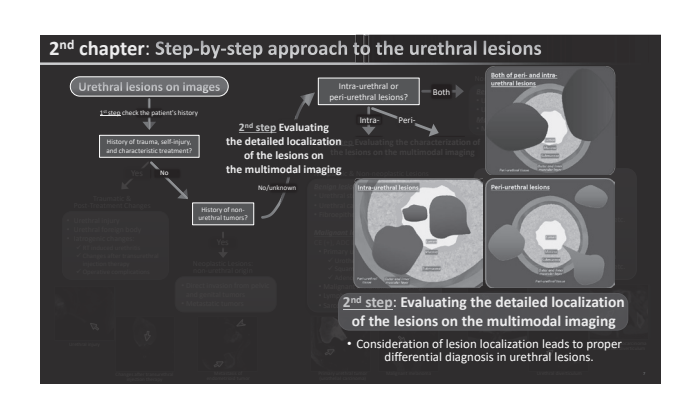


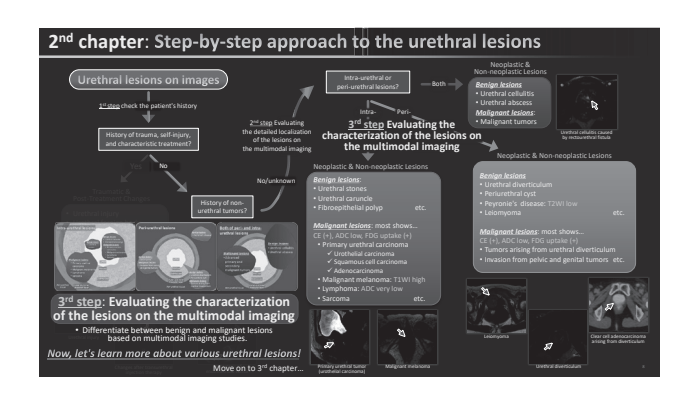


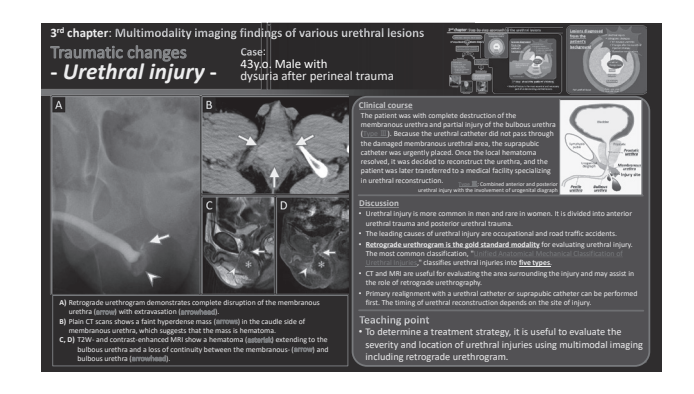


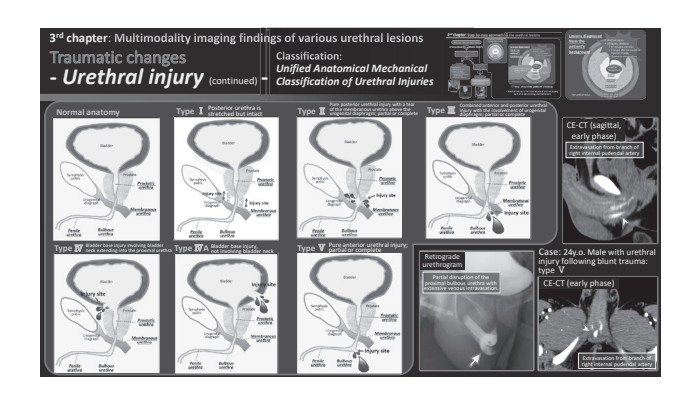


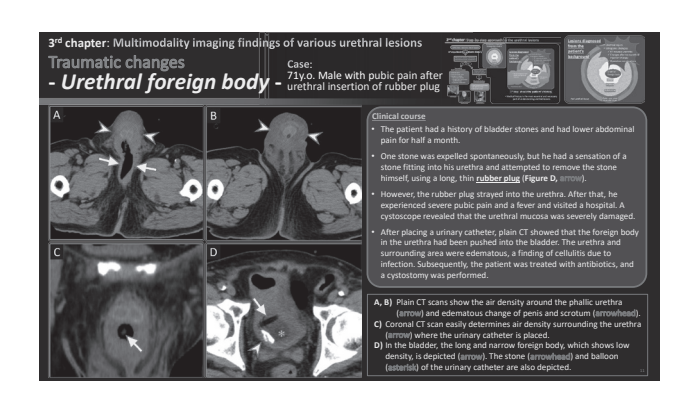


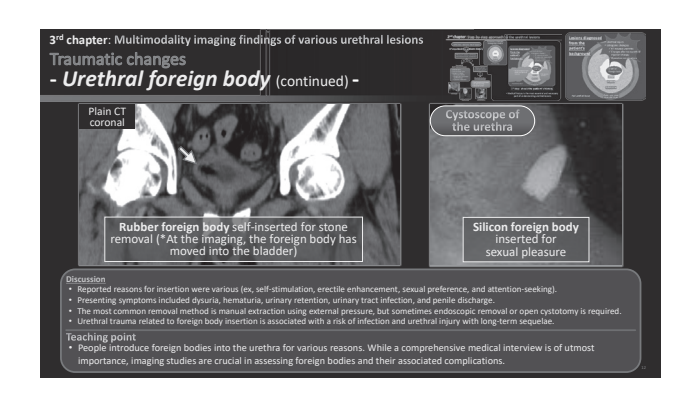




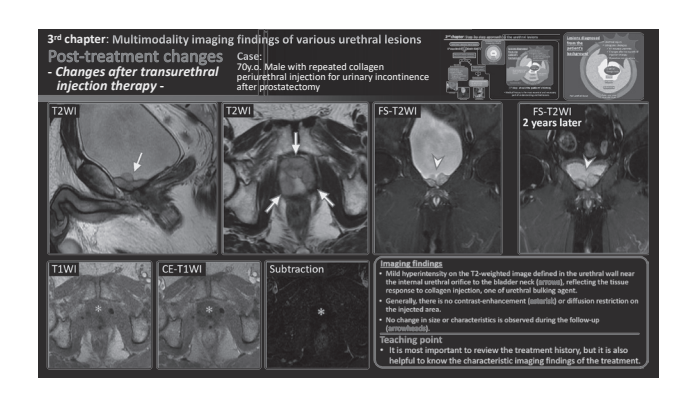


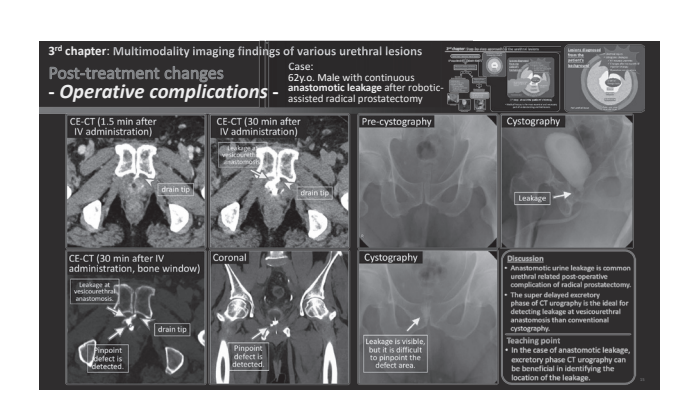


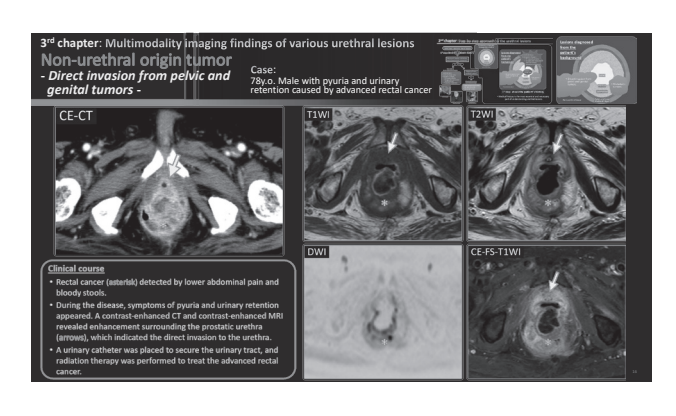


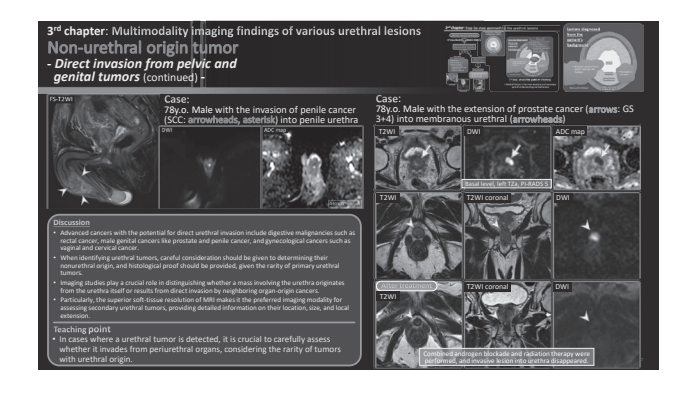


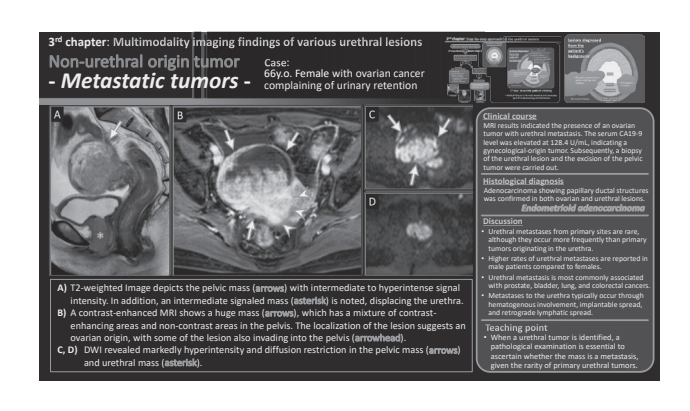


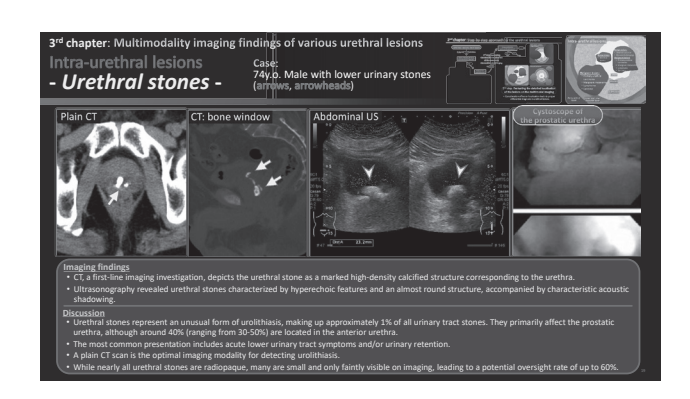


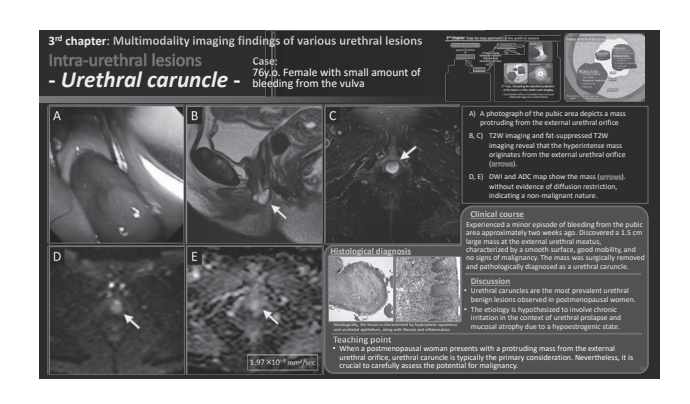


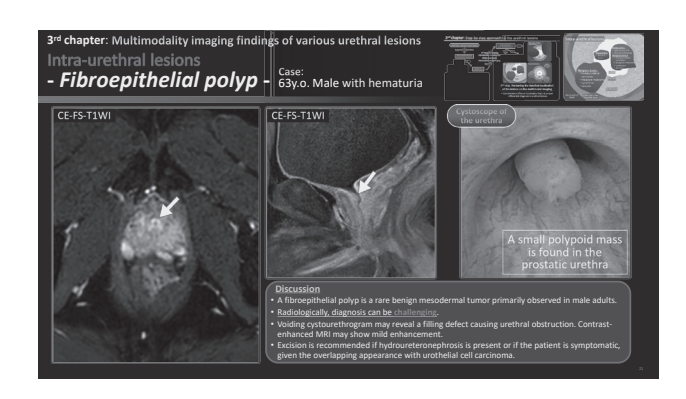


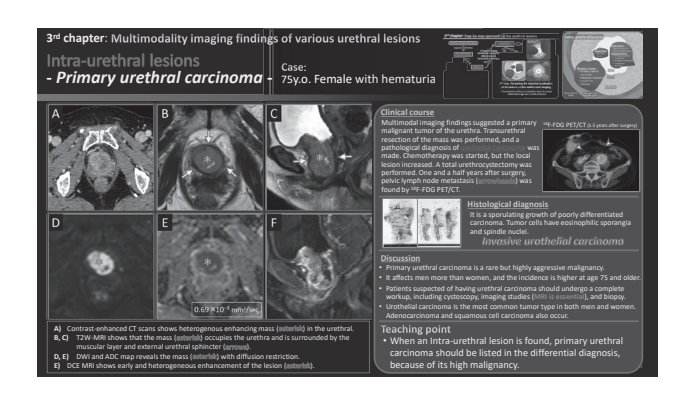


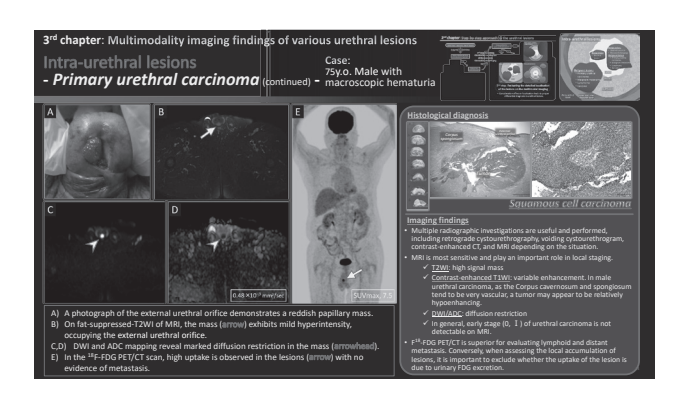


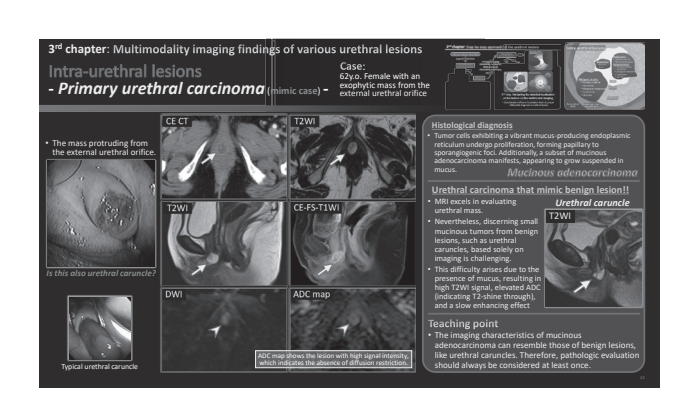


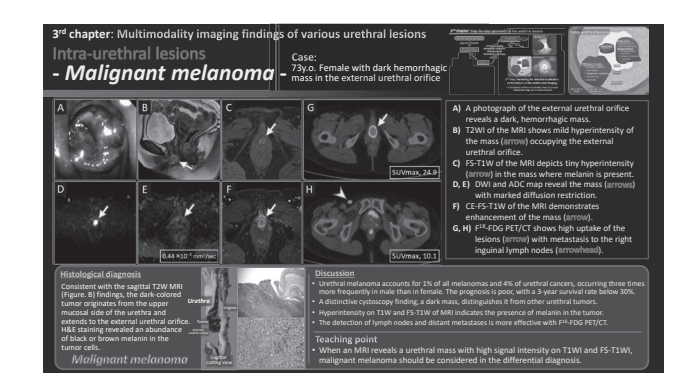


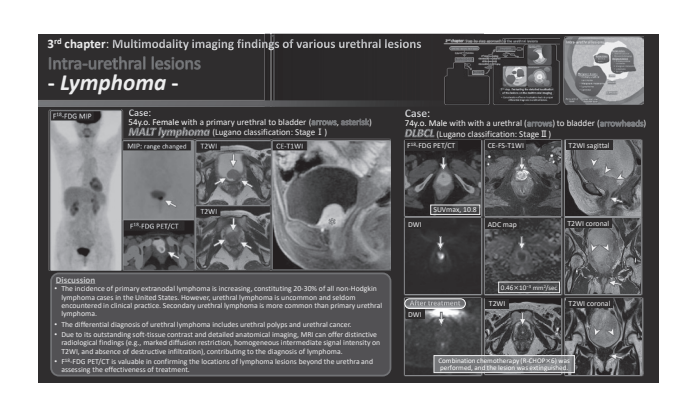


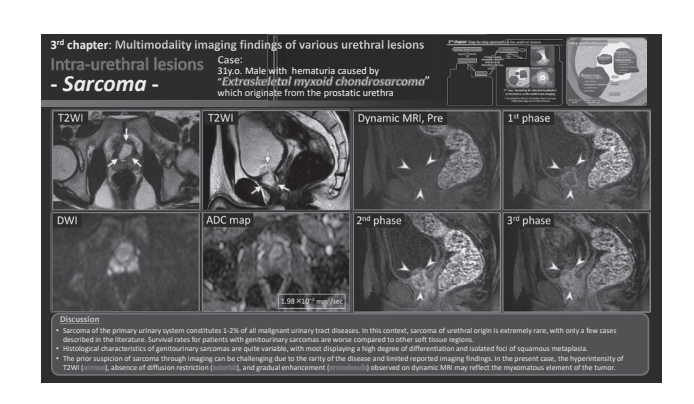




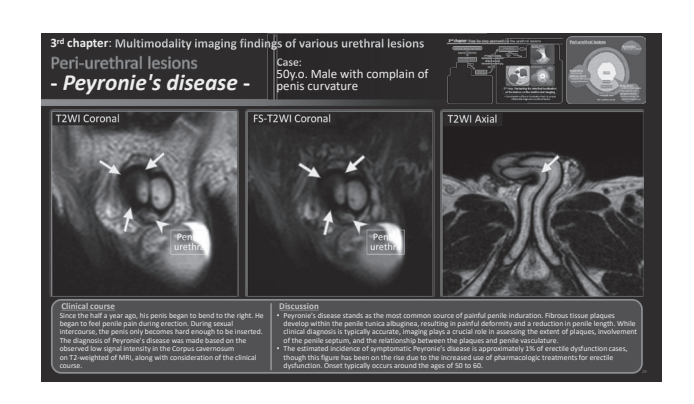


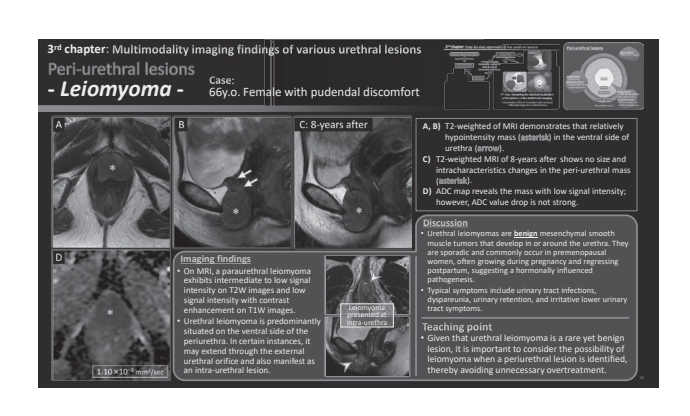


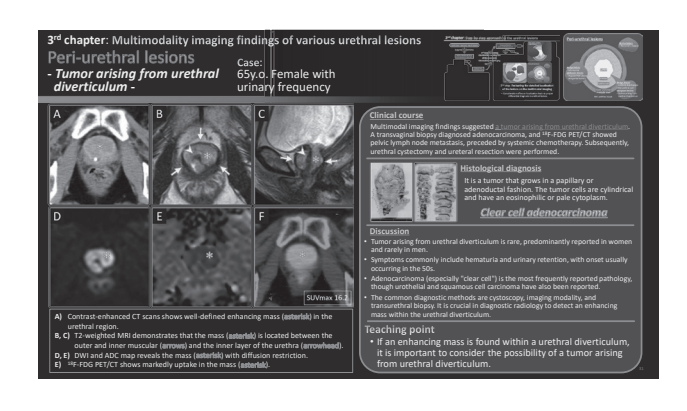


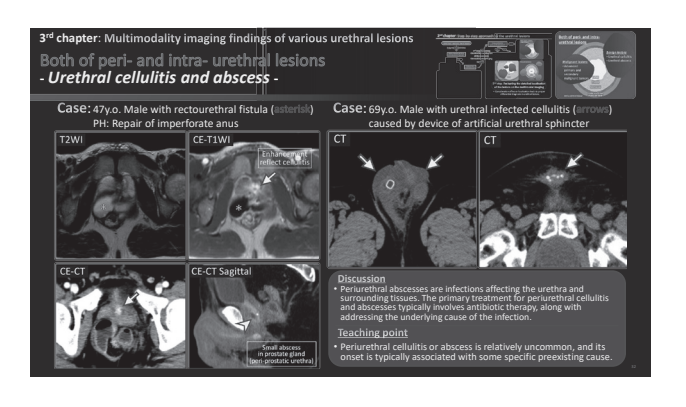


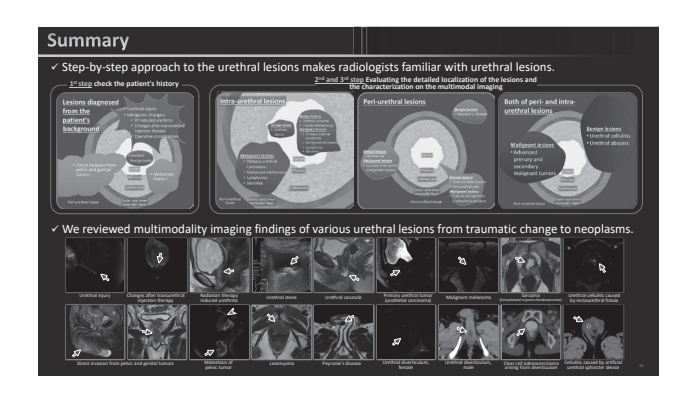


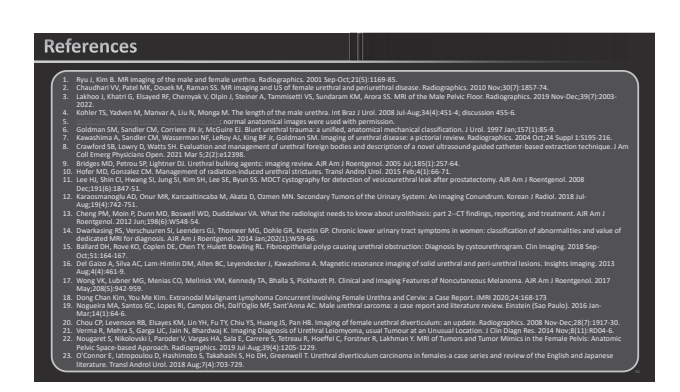














表彰論文-3



国立がん研究センター東病院 放射線治療科 富澤 建斗

Repeated Carbon-Ion Radiation Therapy for Intrahepatic Recurrent Hepatocellular Carcinoma

肝細胞癌は、本邦の死因として全がん種中で第5位であり、慢性肝障害を背景とした多中心性再発や肝内転移をきたしやすい。局所治療後も肝臓に再発腫瘍が出現し、繰り返しの治療が必要になることも少なくない。このため、肝細胞癌の局所治療では、繰り返し治療が可能であることは大きな利点となる。重粒子線治療は高い線量集中性を有しており、肝細胞癌に対する低侵襲な局所治療として近年注目されている。本発表では、肝内再発肝細胞癌に対する複数回の重粒子線治療を行った41症例を遡及的に検討し、その安全性と有効性について報告する。

第52回断層映像研究会

Repeated Carbon-Ion Radiation Therapy for Intrahepatic Recurrent Hepatocellular Carcinoma

富澤 建斗

国立がん研究センター東病院 放射線治療科

COI開示

演題発表内容に関連し、発表者(ら)に開示すべき COI関係にある企業などはありません。

背景

- 肝細胞癌は多中心性の再発を頻回にきたす疾患であり、 放射線治療後の肝内再発に対して再照射が行われること がある。
- 肝細胞癌の肝内再発に対するX線や陽子線の再照射の 有効性・安全性については既に報告がある[1-4]。 しかし、重粒子線については報告が少ない。

 - [1] Oshiro et al. Radiother Oncol. 2017;123(2):240-245. [2] Gkika et al. Strahlenther Onkol. 2019;195(3):246-253. [3] Kimura et al. Int J Radiot Oncol Biol Phys. 2020;108(5):1265-1275. [4] Eriguchi et al. Pract Radiat Oncol. 2021;11(1):44-52.

目的

■ 肝細胞癌の肝内再発に対して当院で重粒子線の再照射を 行った症例を遡及的に解析し、その有効性及び安全性を 報告すること。

方法

■ 2010年9月から2020年2月に群馬大学医学部附属病院 重粒子線医学研究センターにて肝細胞癌に対して重粒子線 治療を施行した248症例のうち、肝内再発を来し重粒子線の 再照射を施行した41例を対象として解析した。

患者背景①

- 1回目照射時年齢中央値 (範囲): 76歳 (49-91歳)
- 性別: 男性 27例、女性 14例
- 背景肝:

HBV 3例、HCV 23例、アルコール性肝硬変 4例 NASH/NAFLD 10例、その他 1例

■ 2回目の治療病変:

照射野内再発 17例、照射野外再発 24例

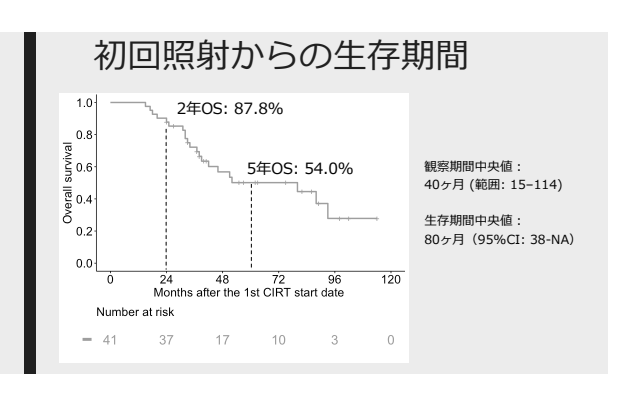
患者背景②

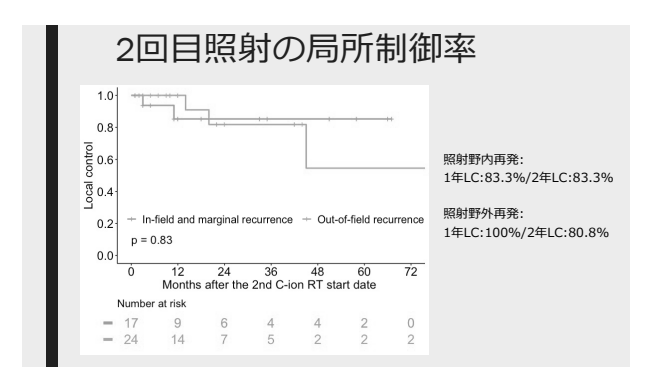
治療回数				
患者数/病変数				
前回照射からの間隔 (中央値, 月)	-	21 (3-63)	14 (7-40)	4
重粒子線治療を選択した理由				
他治療困難	29 (71%)	29 (71%)	3 (50%)	0 (0%)
患者希望	12 (29%)	12 (29%)	3 (50%)	1 (100%)
Performance status				
0	24 (59%)	23 (56%)	5 (83%)	1 (100%)
1	15 (37%)	16 (40%)	1 (17%)	0 (0%)
2	1 (2%)	1 (2%)	0 (0%)	0 (0%)
3	1 (2%)	1 (2%)	0 (0%)	0 (0%)

患者背景③

41/41 38 (93%)	41/44 35 (85%)	6/7	1/1
	35 (85%)		
	35 (85%)		
2 (70/)	(5570)	5 (83%)	0 (0%)
3 (7%)	6 (15%)	1 (17%)	1 (100%)
-2.48 (-3.29 to -1.57)	-2.31 (-3.03 to -1.13)	-2.54 (-2.76 to -1.33)	-1.74
17 (41%)	7 (17%)	3 (50%)	0 (0%)
6 (15%)	16 (39%)	1 (13%)	0 (0%)
18 (44%)	16 (39%)	1 (13%)	1 (100%)
	6 (15%)	6 (15%) 16 (39%)	6 (15%) 16 (39%) 1 (13%)

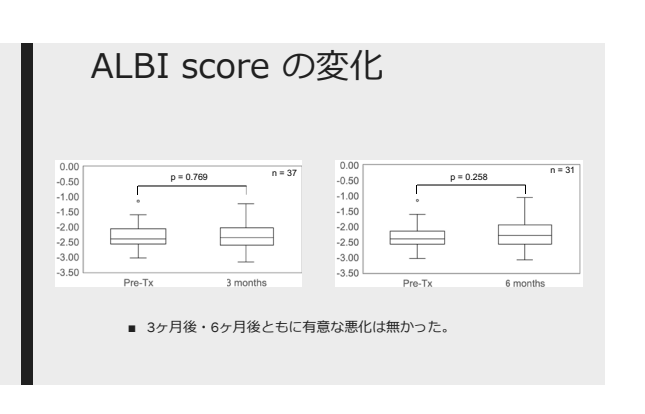
腫瘍の特徴と治療内容					
治療回数	10	20	30	40	
患者数/病変数					
腫瘍径(中央値, mm)	32 (9-90)	19 (6-150)	15 (10-66)	30	
T病期(UICC 7th)					
T1	23 (57%)	25 (61%)	4 (66%)	0 (0%)	
T2	16 (39%)	10 (24%)	1 (17%)	1 (100%)	
T3a	1 (2%)	3 (8%)	1 (17%)	0 (0%)	
T3b	1 (2%)	2 (5%)	0 (0%)	0 (0%)	
T4	0 (0%)	1 (2%)	0 (0%)	0 (0%)	
線量処方					
52.8 Gy (RBE)/4 fr	13 (32%)	7 (16%)	0 (0%)	0 (0%)	
55.2 Gy (RBE)/12 fr	0 (0%)	1 (2%)	0 (0%)	0 (0%)	
60 Gy (RBE)/4 fr	22 (54%)	30 (68%)	7 (100%)	1 (100%)	
60 Gy (RBE)/12 fr	6 (14%)	6 (14%)	0 (0%)	0 (0%)	





治療関連毒性 (Grade 3)				
治療回数	10	20	30	40
患者数				
血液毒性	3 (7.5 %)	1 (3.2%)	0 (0 %)	0 (0 %)
血小板減少	3 (7.5 %)	1 (3.2%)	0 (0%)	0 (0%)
非血液毒性	0 (0%)	3 (7.3 %)	1 (16.7 %)	0 (0%)
胆道出血	0 (0%)	0 (0%)	1 (16.7 %)	0 (0%)
胆管狭窄	0 (0%)	1 (2.4 %)	0 (0%)	0 (0%)
消化管出血	0 (0%)	2 (4.9 %)	0 (0%)	0 (0%)
■ 評価には CTCAE 第4版を ■ Grade4以上の治療関連毒 ■ 胆管狭窄・胆道出血それぞ ■ 消化管出血2例は再照射との	生は無かった。 れ1例が再照射の		た。	

ALBI score Child-Pugh score R 完全に定量的な評価ではない アルブミンや腹水といった影響を及ぼしあら因子が含まれている 腹水・肝性脳症の評価に主観が入る 近年、肝予備能評価指標として ALBI scoreの有効性が注目されている。



有効性の考察

- 本コホートでは初回照射からの5年生存率は54.0%であった。5年生存率に ついて、陽子線で49.4%、SBRTで60.4%という報告があり^[1,2]、本コホート では遜色ない治療成績だった。
- 再照射した病変の局所制御率も2年で80%を超える成績であった。
- 高齢の症例が多いこと、またおよそ7割の症例が手術やRFAなどの局所治療が施行できないために重粒子線治療を行った背景を考慮すると、良好な治療成績であると考えられる。

[1] Oshiro et al. Radiother Oncol. 2017;123(2):240-245. [2] Kimura et al. Int J Radiat Oncol Biol Phys. 2020;108(5):1265-1275.

安全性の考察

- Grade 3の治療関連事性として明らかに重粒子線再照射が原因と考えられたのは2回目照射後の胆管狭窄1例 (2.4%)、3回目照射後では胆道出血1例だった(16.7%)。 どちらもそれぞれの照射野の重なりが大きく、有害事象発生部位はその範囲内にあると考えられた。
- 再照射による急性期の肝機能変化を調べるために照射前と照射後3ヶ月、 6ヶ月のALBI scoreをそれぞれ評価したところ、いずれも重粒子線の 再照射前後で有意な悪化は無かった。

結語

■ 肝細胞癌の肝内再発に対する重粒子線の追加照射は有効かつ 安全であることが示唆された。

表彰論文-4



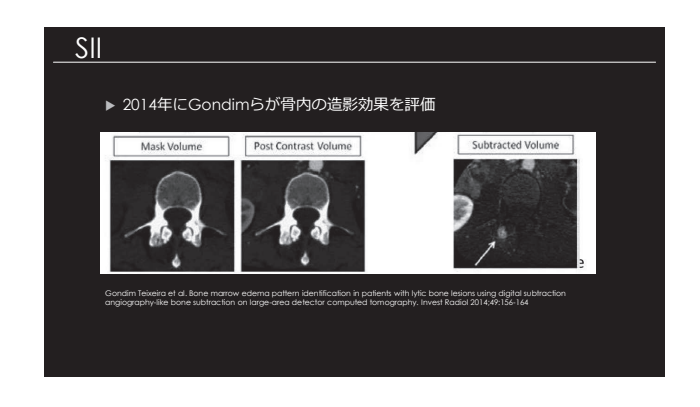
国立がん研究センター東病院 放射線診断科 檜山 貴志

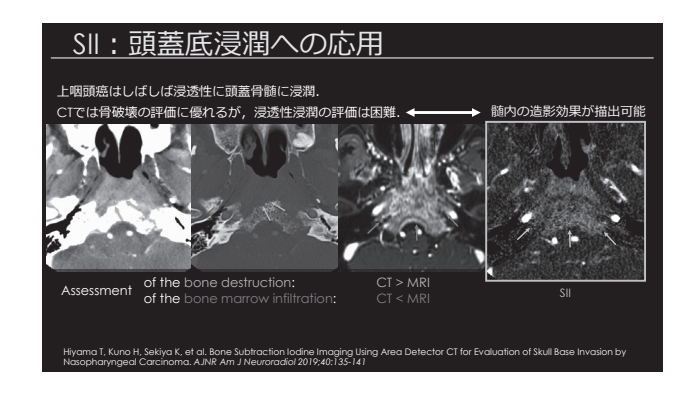
頭頸部癌における lodine imaging

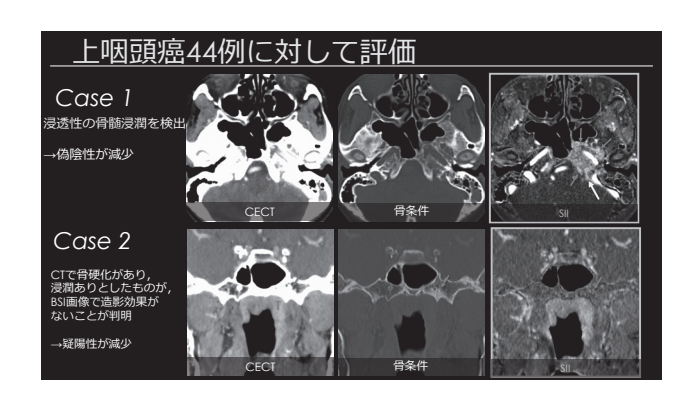
頭頸部CTでは骨や金属アーチファクトにより腫瘍進展の評価が困難な場合がある。この解決策として造影剤を強調するヨード画像があり、サブトラクション(SII: Subtraction iodine imaging)またはDualenergy CT(Dual-energy iodine imaging)によりヨード画像が得られる。我々はSIIを用いて、上咽頭癌頭蓋底浸潤の診断能や、舌癌の検出能・診断能の改善を示した。また、SIIとDEIIの比較では、SIIの方がCNRが良く、腫瘍進展をより明瞭に描出できた。

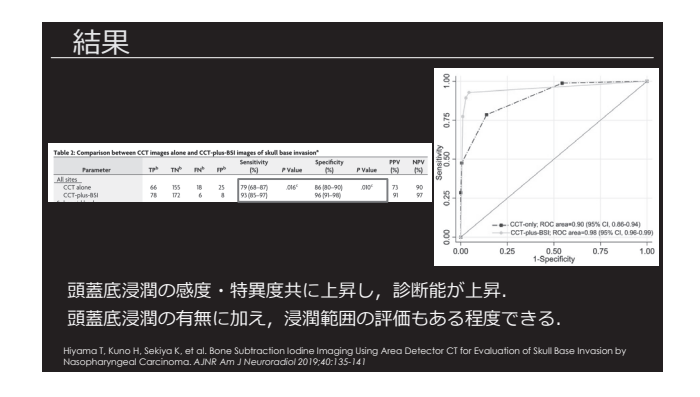
頭頸部癌における lodine imaging tell plat Bidth/Affictンター東病院 放射線診断科

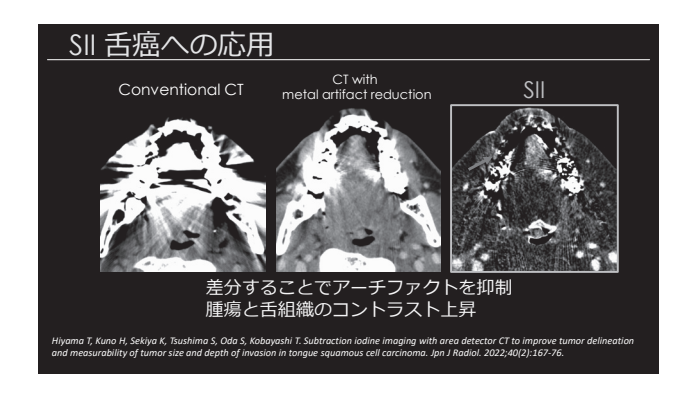
Background 頭頸部癌の進展範囲を正確に評価することは、予後予測や治療方針決定において重要である。 頭頸部CTでは骨組織や金属アーチファクトにより 評価が不十分であることも多い。 例)鼻副鼻腔癌・上咽頭癌の頭蓋内進展、口腔癌の下顎骨浸潤、金属アーチファクト etc. 造影剤(ヨード)の分布を反映した 画像の作成 = lodine imaging

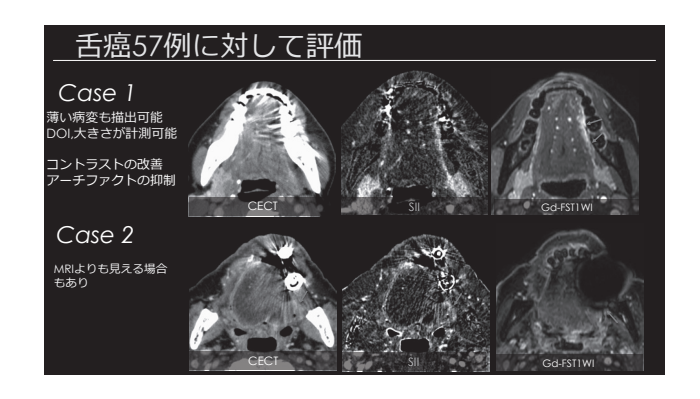


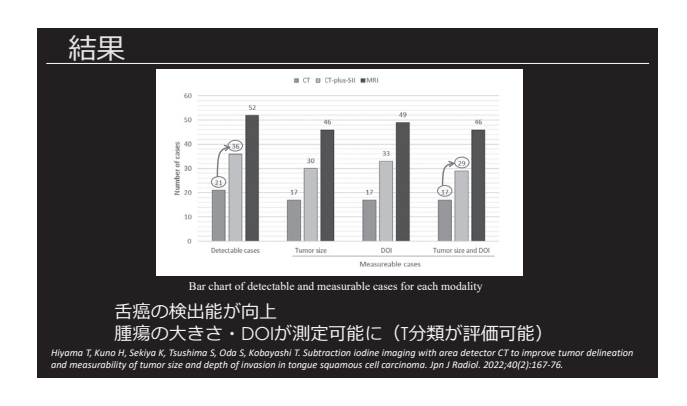


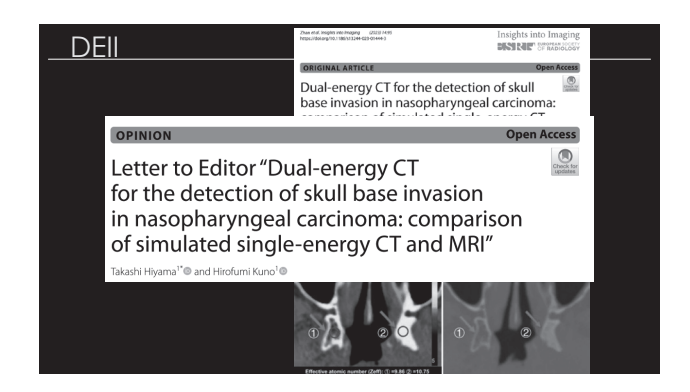


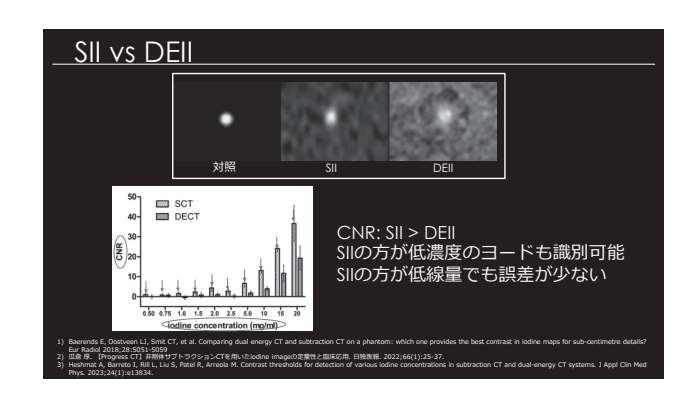












まとめ

SIIの有用性

- · SIIでは骨内の造影効果を描出可能で、骨髄浸潤の広がりも評価可能.
- ・ 金属アーチファクトと重なる部位の腫瘍の描出を改善できる.

SII vs DEII

- ・ ファントム実験ではSIIの描出能はDEIIよりも良い(特に低濃度、低線量).
- ・ 実臨床でもSIIの腫瘍描出能はDEIIよりも良い.

ただし、SIIとDEは同時に取得できるため、他のDEのパラメーターと組み合わせることができる。

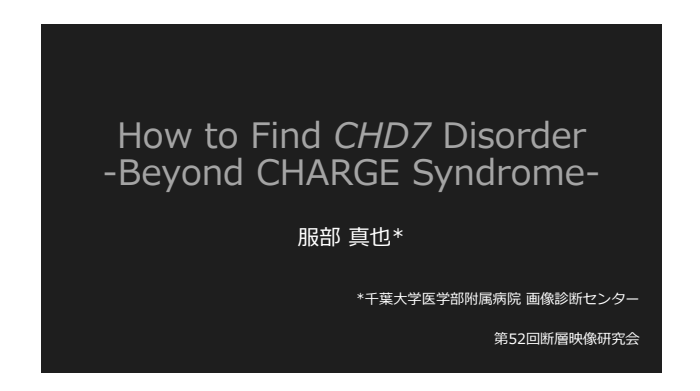
表彰論文-5



千葉大学医学部附属病院 画像診断センター 服部 真也

How to Find CHD7 Disorder — Beyond CHARGE Syndrome —

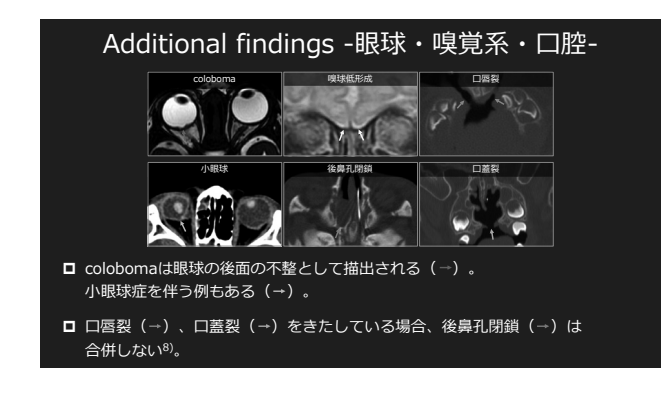
CHARGE 症候群は、特徴的な徴候の頭文字から名付けられた奇形症候群で、chromodomain helicase DNA-binding protein 7 (*CHD7*) 遺伝子の病的変異が原因である。近年、*CHD7*遺伝子異常の幅広いスペクトラムを包括する*CHD7* disorderという概念が提唱されている。共通する画像所見として、両側三半規管の低形成・無形成があり、顔面領域にも奇形が多発する。特徴的な所見に気付けば、画像から*CHD7*遺伝子異常を推測できる。

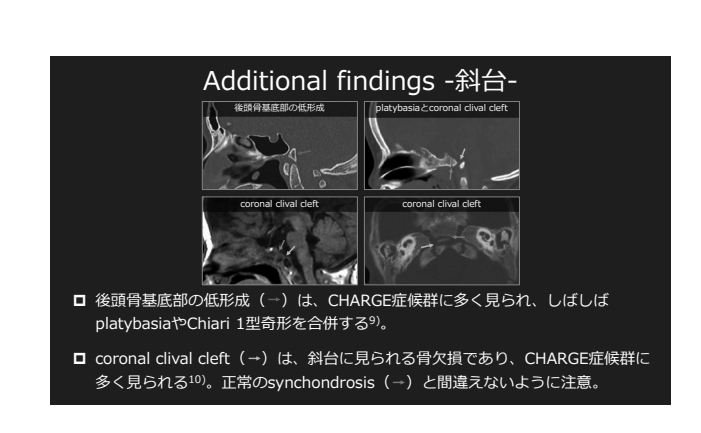




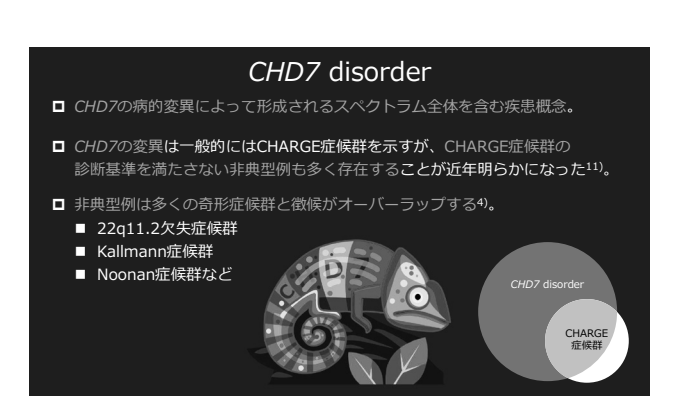
























Take-home message □ CHARGE症候群は両側性三半規管の低形成・無形成という特徴的な所見を示す。 顔面におけるadditional findingsを加えると、より高い確信度で診断できる。 □ CHD7変異はCHARGE症候群以外にも多くの表現型を示す。しかし画像所見は CHARGE症候群と共通する。 → 両側三半規管の低形成・無形成とadditional findingsを見つければ、 CHD7変異の存在を予測できる。 □ CHD7 disorderは決して稀な疾患ではない。 是非、日常診療に潜むCHD7 disorderを 画像から見つけ出して欲しい。

Pagon RA, Garbam JM Jr, Zonana J. Yong SL. Coloborns, congenital heart disease, and choanal attresia with multiple anomalies. CHARCE association, J. Pediatr 1981;59:233-227. With multiple anomalies. CHARCE Association and the process of the

大会運営支援団体

コニカミノルタジャパン株式会社

キヤノンメディカルシステムズ株式会社 栗原レントゲン株式会社/株式会社島津製作所 ゲルベ・ジャパン株式会社 GEヘルスケア・ジャパン株式会社 GEヘルスケアファーマ株式会社 シーメンスヘルスケア株式会社 株式会社根本杏林堂 バイエル薬品株式会社 株式会社フィリップス・ジャパン 富士製薬工業株式会社 ブラッコ・ジャパン株式会社

群馬大学同窓会 刀城クラブ

2024年10月25日現在

第52回 断層映像研究会

発 行:2024年11月

編 集: 群馬大学大学院医学系研究科 放射線診断核医学 〒371-8511 群馬県前橋市昭和町3-39-22 TEL. 027-220-8401

印 刷:株式会社klar

〒371-0013 群馬県前橋市西片貝町4-23-4

TEL. 027-260-9525 FAX. 027-260-9322



「忘れたくない」「失いたくない」そんな願いのために



TOF-PET装置

BresTome

人々の健康への願いにお応えするために、島津製作所は PET技術を結集し、半導体素子 SiPM を採用した TOF-PET 装置 BresTome を誕生させました。全身用 PET 装置では得ら れなかった高い空間分解能と感度で、これからの診療や研究で 重要な役割が期待される脳領域において新たな可能性を広げ ます。また、新しい臨床価値が認められつつある乳がん領域 では精度の高い診断・治療に貢献します。

私たちが守りたいもの、それは「大切な思い出」と「かけがえ のない笑顔」です。

これからの脳機能診断に大きな一歩を





「乳房を圧迫しない検査」がさらに進化





製造販売承認番号:30200BZX00329000 核医学診断用ポジトロンCT装置 [TOF-PET装置 BresTome] 管理医療機器、特定保守管理医療機器、設置管理医療機器

データご提供: 近畿大学高度先端総合医療センター PET 分子イメージング部様

栗原レントゲン株式会社 株式会社 島津製作所 医用機器事業部

〒371-0031 群馬県前橋市下小出町3丁目23番1号 電話:027-232-1200 FAX:027-232-1205 〒364-0013 埼玉県北本市中丸5-21-5

電話:048-580-7951 FAX:048-580-7953

https://www.med.shimadzu.co.jp

Nemoto

DUAL SHOT

NEW





造影剤をはじめとする製品と共に、エーザイ株式会社と手を携えて

30余年の間歩んで参りましたが、

2024年4月1日よりブラッコ・ジャパンとして新たな1歩を踏み出します。

今後ともよろしくお願い申し上げます。



ブラッコ・ジャパン株式会社

東京都豊島区南池袋 1-13-21

www.bracco.com

Guerbet |

Magnescope meglumine gadoterate



環状型MRI用造影剤

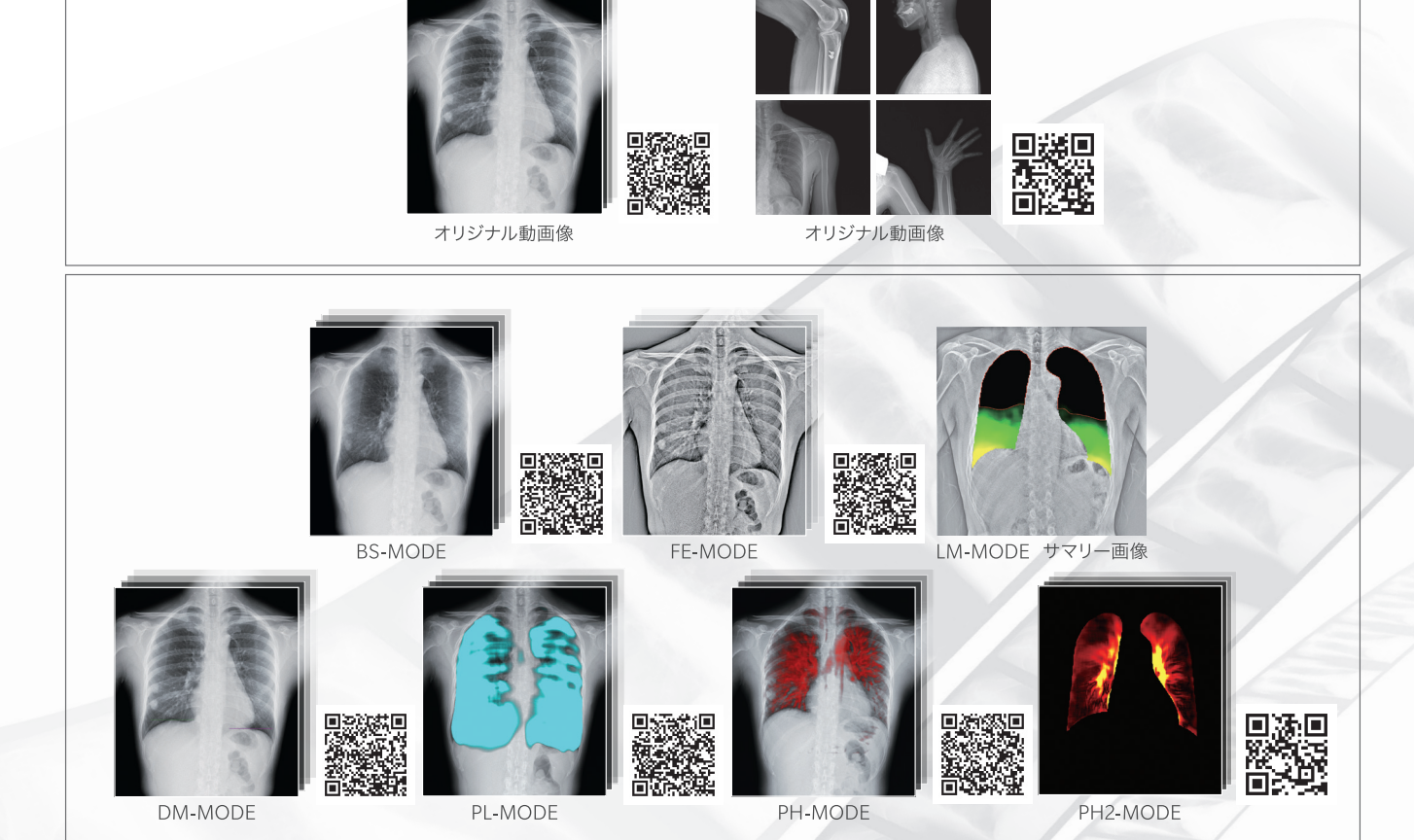
薬価基準収載

マグネスコープ 静注38%シリンジ

Magnescope® iv inj. 38% Syringe 10mL,11mL,13mL,15mL, 20mL ガドテル酸メグルミン注射液

処方箋医薬品注) 注) 処方箋医薬品:注意-医師等の処方箋により使用すること 効能・効果、用法・用量、警告、禁忌(原則禁忌を含む)および使用上の注意等の詳細につきましては、添付文書をご参照ください。





Dynamic Digital Radiography デジタルX線動画撮影システム

単純X線撮影は、動画撮影の領域へ

デジタルX線動画撮影システムは、X線動画解析ワークステーション「KINOSIS(キノシス)」、可搬型DR「AeroDR fine motion」、及び一般 X線撮影装置*1で構成され、パルスX線を連続照射し、コマ撮りした画像を連続表示することで、動画を作る、全く新しいシステムです。



X線動画解析ワークステーション



